



|  |
|--|
| <b>Projekt</b>   |
| <p>Juraleitung</p> <p><b>Raitersaich – Ludersheim – Sittling – Altheim</b></p> <p><b>380-kV-Ersatzneubauprojekt</b></p> <p><b>Ltg.-Abschnitt C Altheim – Sittling</b></p> <p><b>LH-08-B172</b></p> |

**Planfeststellungsunterlage**  
**Unterlage 9.2**

**Schalltechnisches Gutachten im Zuge der Baumaßnahmen (Ersatzneubau und Rückbau) und zur Betriebsphase**

|  |   |
|--|---|
| <p>Antragsteller:</p>  <p><b>TenneT TSO GmbH</b></p> <p>Bernecker Straße 70</p> <p>95448 Bayreuth</p> | <p>Bearbeitung:</p>  <p><b>SPIE SAG GmbH, CeGIT</b></p> <p>Landshuter Straße 65</p> <p>84030 Ergolding</p> |
|--|---|

|                                 |   |                                 |
|---------------------------------|---|---------------------------------|
| <b>Aufgestellt:</b>             | TenneT TSO GmbH<br><br>gez. i.V. J. Gotzler                      gez. i.V. A. Junginger | Bayreuth, den<br><br>11.10.2024 |
| <b>Bearbeitung:</b>             | SPIE SAG GmbH, CeGIT, gez. Dr. Oliver Reuß  |                                 |
| <b>Anlagen zum Dokument</b>     |   |                                 |
| <b>Änderungs-<br/>historie:</b> | Änderung:   | Änderungsdatum:                 |
|                                 |   |                                 |
|                                 |   |                                 |
|                                 |   |                                 |
|                                 |   |                                 |



**Mehr Wert.  
Mehr Vertrauen.**

## Gutachten

### Schalltechnische Untersuchung zum Betriebslärm und Baulärm zur geplanten 380-/110-kV-Freileitungstrasse zwischen UW Altheim und UW Sittling, Leitung LH-08-B172

#### (Juraleitung Abschnitt C)



Projekt: 380-/110-kV-Freileitungstrasse B172  
UW Altheim – UW Sittling (LH-08-B172)  
Juraleitung Abschnitt C

Betreiber: TenneT TSO GmbH

Datum: 07.10.2024

Unsere Zeichen:  
IS-USG-MUC/lei

Auftraggeber: SPIE SAG GmbH  
Balke-Dürr-Allee 7  
40882 Ratingen

Dokument:  
3872094\_SPIE\_Juraleitung\_C\_r  
ev3.docx

Auftrags-Nr. 3872094-20

Bestellzeichen: 4500492758 00010

Das Dokument besteht aus  
130 Seiten.  
Seite 1 von 130

Prüfumfang: **Lärmschutz**

Auftrags-Nr.: 3872094

Die auszugsweise Wiedergabe des Dokumentes und die Verwendung zu Werbezwecken bedürfen der schriftlichen Genehmigung der TÜV SÜD Industrie Service GmbH.

Sachverständiger: Dipl.-Ing. (FH) Herbert Leiker

Telefon-Durchwahl: 089/5791-2357

Telefax-Durchwahl: 089/5791-1174

E-Mail: [herbert.leiker@tuev-sued.de](mailto:herbert.leiker@tuev-sued.de)

Die Prüfergebnisse beziehen sich ausschließlich auf die untersuchten Prüfgegenstände.

**Sitz: München**  
Amtsgericht München HRB 96 869  
USt-IdNr. DE129484218  
Informationen gemäß § 2 Abs. 1 DL-InfoV  
unter [tuvsud.com/impressum](http://tuvsud.com/impressum)

**Aufsichtsrat:**  
Reiner Block (Vors.)  
**Geschäftsführer:**  
Ferdinand Neuwieser (Sprecher)  
Thomas Kainz  
Simon Kellerer  
Paula Pias Peleteiro

**TÜV SÜD Industrie Service GmbH**  
Abteilung Umwelt Service  
Genehmigungsmanagement  
Westendstraße 199  
80686 München  
Deutschland

[tuvsud.com/de-is](http://tuvsud.com/de-is)  
Telefon: 089 5791-1040  
Telefax: 089 5791-1174

**TÜV®**



## **Inhaltsverzeichnis:**

|              |  |           |
|--------------|--|-----------|
| <b>1.</b>    | <b>Aufgabenstellung und allgemeine Grundlagen.....</b>                         | <b>3</b>  |
| <b>2.</b>    | <b>Örtliche Verhältnisse .....</b>   | <b>5</b>  |
| <b>3.</b>    | <b>Betriebsbedingte Lärmimmissionen .....</b>                                  | <b>5</b>  |
| <b>3.1</b>   | <b>Allgemeine Grundsätze der TA Lärm, Immissionsorte und -richtwerte.....</b>  | <b>6</b>  |
| <b>3.2</b>   | <b>Geräuschemissionen der Freileitung.....</b>                                 | <b>8</b>  |
| <b>3.2.1</b> | <b>Allgemeines .....</b>   | <b>8</b>  |
| <b>3.2.2</b> | <b>Emissionsansätze der Berechnungen .....</b>                                 | <b>9</b>  |
| <b>3.3</b>   | <b>Ermittlung der Geräuschimmissionen .....</b>                                | <b>10</b> |
| <b>3.3.1</b> | <b>Allgemeines .....</b>   | <b>10</b> |
| <b>3.3.2</b> | <b>Ergebnisse der Berechnungen.....</b>  | <b>14</b> |
| <b>3.4</b>   | <b>Beurteilung der Geräuschimmissionen (Betriebslärm).....</b>                 | <b>15</b> |
| <b>4.</b>    | <b>Baulärm .....</b>   | <b>16</b> |
| <b>4.1</b>   | <b>Allgemeine Grundsätze der AVV Baulärm, Immissionsorte und -richtwerte..</b> | <b>17</b> |
| <b>4.2</b>   | <b>Geräuschemissionen bei Baustellenbetrieb.....</b>                           | <b>18</b> |
| <b>4.2.1</b> | <b>Allgemeines .....</b>   | <b>18</b> |
| <b>4.2.2</b> | <b>Emissionsansätze der Berechnungen .....</b>                                 | <b>19</b> |
| <b>4.3</b>   | <b>Ermittlung der Geräuschimmissionen .....</b>                                | <b>22</b> |
| <b>4.3.1</b> | <b>Allgemeines .....</b>   | <b>22</b> |
| <b>4.3.2</b> | <b>Ergebnisse der Berechnungen.....</b>  | <b>22</b> |
| <b>4.4</b>   | <b>Beurteilung der Geräuschimmissionen (Baulärm) .....</b>                     | <b>24</b> |
| <b>4.4.1</b> | <b>Trassenneubau .....</b>   | <b>24</b> |
| <b>4.4.2</b> | <b>Trassenrückbau .....</b>  | <b>34</b> |
| <b>5.</b>    | <b>Schallschutzmaßnahmen, Maßnahmen zur Geräuschminderung.....</b>             | <b>49</b> |
| <b>6.</b>    | <b>Zusammenfassung .....</b>   | <b>51</b> |

Dieses Gutachten darf ohne schriftliche Genehmigung TÜV SÜD Industrie Service GmbH auch auszugsweise nicht vervielfältigt oder veröffentlicht werden. Kopien für behörden- und/oder betriebsinterne Zwecke sowie Kopien, die zur Durchführung des Genehmigungsverfahrens erforderlich sind, bedürfen keiner Genehmigung. Die in diesem Gutachten enthaltenen gutachtlichen Aussagen sind nicht auf andere Anlagen bzw. Anlagenstandorte übertragbar.



## 1. Aufgabenstellung und allgemeine Grundlagen

Die TenneT TSO GmbH plant den Neubau der 380-/110-kV-Freileitungstrasse B172, der sogenannten Juraleitung Abschnitt C, zwischen den Umspannwerken UWA Itheim im Landkreis Landshut und dem Umspannwerk UW Sittling im Landkreis Kelheim.

Im Zuge des Genehmigungsverfahrens sind im Auftrag der SPIE SAG GmbH die durch den Betrieb der Trasse sowie den Baustellenbetrieb bei deren Realisierung zu erwartenden Geräuschemissionen zu prognostizieren und hinsichtlich des an den jeweiligen Einwirkorten bzw. maßgeblichen Immissionsorten entlang der Trasse einzuhaltenden Schutzniveaus zu bewerten.

Die in diesem Zusammenhang durchgeführte Schallimmissionsprognose ist im Rahmen der vorliegenden schalltechnischen Untersuchung dokumentiert und beschrieben.

Maßgebliche Beurteilungsgrundlagen der vorliegenden schalltechnischen Untersuchung ist dabei bzgl. des Aspektes Betriebslärm die Sechste Allgemeine Verwaltungsvorschrift zum Bundes-Immissionsschutzgesetz (Technische Anleitung zum Schutz gegen Lärm – TA Lärm) vom 26. August 1998 sowie bzgl. des Aspektes des Baulärms die Allgemeine Verwaltungsvorschrift zum Schutz gegen Baulärm – Geräuschemissionen (AVV Baulärm) vom 19. August 1970.

Sämtliche Prognoseberechnungen erfolgten gemäß dem im Anhang zur TA Lärm beschriebenen Verfahren der detaillierten Prognose und entsprechend der hierfür anzuwendenden Norm DIN ISO 9613-2, Dämpfung des Schalls bei der Ausbreitung im Freien vom Oktober 1999.

Grundlagen (Gesetze, Technische Regelwerke und Unterlagen, Pläne und sonstige Unterlagen) der vorliegenden schalltechnischen Untersuchung sind im Einzelnen:

- Gesetz zum Schutz vor schädlichen Umwelteinwirkungen durch Luftverunreinigungen, Geräusche, Erschütterungen und ähnliche Vorgänge (Bundes-Immissionsschutzgesetz – BImSchG) in der Fassung der Bekanntmachung vom 17. Mai 2013 (BGBl. I S. 1274; 2021 S. 123), zuletzt geändert durch Artikel 11 Absatz 3 des Gesetzes vom 26. Juli 2023 (BGBl. 2023 I Nr. 202)
- Allgemeine Verwaltungsvorschrift zum Schutz gegen Baulärm – Geräuschemissionen (AVV Baulärm) vom 19. August 1970 (Beilage zum BAnz. Nr. 160 vom 1. Sept. 1970)
- Gesetz über die Elektrizitäts- und Gasversorgung (Energiewirtschaftsgesetz – EnWG) vom 7. Juli 2005 (BGBl. I S. 1274; 2021 S. 123), zuletzt geändert durch Artikel 5 des Gesetzes vom 20. Juli 2022 (BGBl. I S. 1325)
- NABEG: Netzausbaubeschleunigungsgesetz Übertragungsnetz vom 28. Juli 2011 (BGBl. I S. 1690), zuletzt geändert durch Artikel 7 des Gesetzes vom 22. März 2023 (BGBl. 2023 I Nr. 88)
- 32. Verordnung zur Durchführung des Bundes-Immissionsschutzgesetzes (Geräte- und Maschinenlärmschutzverordnung – 32. BImSchV) vom 29. August 2002 (BGBl. I S.



- 3478) zuletzt geändert durch Artikel 14 des Gesetzes vom 27. Juli 2021 (BGBl. I S. 3146)
- Sechste Allgemeine Verwaltungsvorschrift zum Bundes-Immissionsschutzgesetz (Technische Anleitung zum Schutz gegen Lärm – TA Lärm) vom 26. August 1998 (GMBL 1998 S. 503) zuletzt geändert durch die Verwaltungsvorschrift vom 1. Juni 2017 (BANz AT 08.06.2017 B5)
  - Allgemeine Verwaltungsvorschrift zum Schutz gegen Baulärm – Geräuschemissionen (AVV Baulärm) vom 19. August 1970 (Beilage zum BANz. Nr. 160 vom 1. Sept. 1970)
  - Richtlinie 2000/14/EG des Europäischen Parlaments und des Rates zur Angleichung der Rechtsvorschriften der Mitgliedstaaten über umweltbelastende Geräuschemissionen von zur Verwendung im Freien vorgesehenen Geräten und Maschinen vom 8. Mai 2000 (ABl. EU Nr. L 162 S. 1), zuletzt berichtigt am 17. Juni 2006 (ABl. EU Nr. L 165 S.35)
  - DIN ISO 9613-2, Dämpfung des Schalls bei der Ausbreitung im Freien vom Oktober 1999
  - Technischer Inhalt der Richtlinie VDI 2714, Schallausbreitung im Freien vom Januar 1988 (zurückgezogenes Dokument)
  - Arbeitspapier des Bayerischen Landesamtes für Umweltschutz zur Meteorologischen Korrektur  $C_{met}$  der DIN ISO 9613-2
  - Messtechnische Felduntersuchungen zu Koronageräuschen des Hessischen Landesamtes für Umwelt und Geologie, Lärmschutz in Hessen Heft 5 vom Februar 2015
  - Lärmbekämpfung, Zeitschrift für Akustik, Schallschutz und Schwingungstechnik, 7. Jahrgang Nr. 4 vom Juli 2012 und 18. Jahrgang Nr. 5 vom September 2023
  - Hinweise für die Berücksichtigung des Faktors „Lärmintensive Baugeräte“ im Rahmen von Planfeststellungsverfahren beim Wasserbau der Bundesanstalt für Gewässerkunde vom September 2002
  - Baunutzungsverordnung in der Fassung der Bekanntmachung vom 21. November 2017 (BGBl. I S. 3786), zuletzt geändert durch Artikel 2 des Gesetzes vom 3. Juli 2023 (BGBl. 2023 I Nr. 176)
  - Technischer Bericht zur Untersuchung der Geräuschemissionen von Baumaschinen des Hessischen Landesamtes für Umwelt und Geologie, Heft Nr. 2 aus dem Jahre 2004
  - Technischer Bericht zur Untersuchung der Geräuschemissionen von Baumaschinen des Hessischen Landesamtes für Umwelt, Heft Nr. 247 aus dem Jahre 1998
  - Schalltechnische Untersuchungen des TÜV SÜD zum Betriebslärm und Baulärm diverser Freileitungsprojekte aus den Jahren 2016 bis 2023

- Pläne, Unterlagen und digitale Datensätze zum geplanten Vorhaben (aktueller Planungsstand 09/2023)

## 2. Örtliche Verhältnisse

Die 380-/110-kV-Freileitungstrasse B172 bzw. die Juraleitung Abschnitt C befindet sich im bayerischen Regierungsbezirk Niederbayern und verläuft vom am Flusslauf der Isar gelegenen Umspannwerk UWA Altheim im Landkreis Landshut und dem Umspannwerk UWSittling im Landkreis Kelheim.

Die Länge der Trasse zwischen diesen beiden Punkten beträgt Luftlinie etwa 42 km.

Eine Übersicht über den Standort kann dem nachfolgenden Auszug aus der topografischen Karte entnommen werden, der Start- und Endpunkt der Trasse sind dabei jeweils mit einem roten Kreis gekennzeichnet.

*Abbildung 1: Auszug aus der topografischen Karte*



Zusätzlich zu der o.a. Abbildung 2-1 sind die örtlichen Verhältnisse den Übersichtslegeplänen mit dem Trassenverlauf in den Anhängen 1.1 bis 1.5 zu entnehmen.

## 3. Betriebsbedingte Lärmimmissionen

Die zukünftig vom Betrieb der Freileitung ausgehenden Geräusche werden im Rahmen der vorliegenden Untersuchung prognostiziert und beurteilt.

Konkret werden dabei die durch den zukünftig möglichen Maximalbetrieb der 380-kV-Freileitung und die hierbei möglichen Koronaentladungen verursachten und in den schutzbedürftigen Bereichen im Einwirkungsbereich wirksamsten bzw. zu erwartenden Geräuschimmissionen ermittelt und bewertet bzw. beurteilt.



### 3.1 Allgemeine Grundsätze der TA Lärm, Immissionsorte und -richtwerte

Die TA Lärm dient dem Schutz der Allgemeinheit und der Nachbarschaft vor schädlichen Umwelteinwirkungen durch Geräusche sowie der Vorsorge gegen schädliche Umwelteinwirkungen durch Geräusche. Sie gilt für genehmigungsbedürftige oder nicht genehmigungsbedürftige Anlagen, die den Anforderungen des BImSchG unterliegen.

Nach Nr. 2.2 der TA Lärm wird der Einwirkungsbereich einer Anlage wie folgt definiert:

*„Einwirkungsbereich einer Anlage sind die Flächen, in denen die von der Anlage ausgehenden Geräusche*

- a) *einen Beurteilungspegel verursachen, der weniger als 10 dB(A) unter dem für diese Fläche maßgebenden Immissionsrichtwert liegt, oder*
- b) *Geräuschspitzen verursachen, die den für deren Beurteilung maßgebenden Immissionsrichtwert erreichen.“*

Die Zuordnung der innerhalb des Einwirkbereichs gelegenen Immissionsorte in eine der in der u.a. Tabelle 3.1 angegebenen Schutzkategorien nach TA Lärm ergibt sich nach den Festsetzungen in Bebauungsplänen. Sind keine Festsetzungen bzw. Bebauungspläne aufgestellt, so sind die Immissionsorte entsprechend der tatsächlichen baulichen Nutzung und der hiermit korrespondierenden Schutzbedürftigkeit durch den Sachverständigen zu beurteilen. Hinweise über die planerischen Absichten der Kommunen ergeben sich aus den Darstellungen der jeweiligen Flächennutzungspläne. Gemäß gängiger Praxis werden Wohnnutzungen im unbeplanten Außenbereich hinsichtlich deren Schutzwürdigkeit in der Regel einem Dorf-/ Mischgebiet gleichgesetzt.

Zusammengefasst sind in der folgenden Tabelle die Immissionsrichtwerte nach Ziffer 6.1 der TA Lärm gebietsbezogen angegeben.

Tabelle 1: Immissionsrichtwerte nach TA Lärm

| Gebietseinstufung nach TA Lärm                |            | Immissionsrichtwert (IRW) |          |
|---|------------|---------------------------|----------|
| Bezeichnung                                   | Kürzel     | tagsüber                  | nachts   |
| Industriegebiete                              | GI         | 70 dB(A)                  | 70 dB(A) |
| Gewerbegebiete                                | GE         | 65 dB(A)                  | 50 dB(A) |
| Urbane Gebiete                                | MU         | 63 dB(A)                  | 45 dB(A) |
| Kern-, Dorf-, Mischgebiete                    | MK, MD, MI | 60 dB(A)                  | 45 dB(A) |
| Allgemeine Wohngebiete, Kleinsiedlungsgebiete | WA, WS     | 55 dB(A)                  | 40 dB(A) |
| Reine Wohngebiete                             | WR         | 50 dB(A)                  | 35 dB(A) |
| Kurgebiete, Krankenhäuser, Pflegeanstalten    | ---        | 45 dB(A)                  | 35 dB(A) |





Zusätzlich zu den einzuhaltenden Immissionsrichtwerten muss sichergestellt sein, dass einzelne kurzzeitige Geräuschspitzen die Immissionsrichtwerte nach TA Lärm am Tage um nicht mehr als 30 dB(A) und in der Nacht um nicht mehr als 20 dB(A) überschreiten.

Wie aus der o. a. Tabelle hervorgeht, sind im Nachtzeitraum um 15 dB(A) niedrigere Immissionsrichtwerte als am Tage einzuhalten. Da die durch den geplanten Betrieb der Freileitungstrasse verursachten Geräuschemissionen tagsüber und nachts gleichermaßen einwirken können, beschränken sich entsprechende schalltechnische Untersuchungen auf den Nachtzeitraum der TA Lärm, in dem die niedrigeren Immissionsrichtwerte einzuhalten sind.

Als Bezugszeitraum für die Bildung der Beurteilungspegel ist tagsüber ein Zeitraum von 16 Stunden und nachts von einer Stunde (volle Stunde mit dem höchsten zu erwartenden Beurteilungspegel) maßgeblich.

Die genannten Immissionsrichtwerte gelten akzeptorbezogen, d. h. diese Werte sind durch alle Geräuscheinwirkungen aus gewerblichen/industriellen Anlagen bzw. Anlagen im Sinne der TA Lärm einzuhalten (Gesamtbelastung im Sinne der TA Lärm). Die Gesamtbelastung ergibt sich als energetische Summe aus der Vorbelastung sowie der Zusatzbelastung durch die zu beurteilende Anlage (hier die Freileitungstrasse).

Im Sinne der Ziffer 3.2.1 Abs. 2 der TA Lärm kann auf eine detaillierte Vorbelastungsuntersuchung verzichtet werden, wenn die Zusatzbelastung um mindestens 6 dB(A) unter den Immissionsrichtwerten liegt und somit im Sinne des Textes der TA Lärm nicht relevant zum Gesamtpegel beiträgt (sog. Irrelevanzkriterium).

Darüber hinaus ist bzgl. der Anlagengeräusche von Freileitungen nunmehr der Inhalt der zwischenzeitlich im Juli 2022 in Kraft getretenen Änderung des Energiewirtschaftsgesetzes EnWG und hierbei konkret § 49 Abs. 2b zu berücksichtigen, der entsprechende Gesetzestext lautet dabei wie folgt:

*„(2b) Witterungsbedingte Anlagengeräusche von Höchstspannungsnetzen gelten unabhängig von der Häufigkeit und Zeitdauer der sie verursachenden Wetter- und insbesondere Niederschlagsgeschehen bei der Beurteilung des Vorliegens schädlicher Umwelteinwirkungen im Sinne von § 3 Absatz 1 und § 22 des Bundes-Immissionsschutzgesetzes als seltene Ereignisse im Sinne der Sechsten Allgemeinen Verwaltungsvorschrift zum Bundes-Immissionsschutzgesetz (Technische Anleitung zum Schutz gegen Lärm). Bei diesen seltenen Ereignissen kann der Nachbarschaft eine höhere als die nach Nummer 6.1 der Technischen Anleitung zum Schutz gegen Lärm zulässige Belastung zugemutet werden. Die in Nummer 6.3 der Technischen Anleitung zum Schutz gegen Lärm genannten Werte dürfen nicht überschritten werden. Nummer 7.2 Absatz 2 Satz 3 der Technischen Anleitung zum Schutz gegen Lärm ist nicht anzuwenden.“*

Hierzu ist anzumerken, dass der in Nummer 6.3 der TA Lärm genannte Höchstwert innerhalb des Nachtzeitraumes (gebietsunabhängig) 55 dB(A) beträgt und somit deutlich über den bisher zugrunde gelegten Anforderungen liegt.



Bzgl. des Umstandes der Zumutbarkeit für die Geräuschbelastung durch witterungsbedingte Anlagengeräusche sind dabei exemplarisch Aspekte wie z. B. mögliche Gesundheitsgefahren, Dauer und Häufigkeit der einwirkenden Geräusche, Stand der Technik zur Lärminderung, soziale Adäquanz und Akzeptanz sowie die konkrete Schutzbedürftigkeit des jeweiligen Immissionsortes zu betrachten und abzuwägen.

Im vorliegenden Fall kommt (im Vorgriff und unter Einbeziehung der in Punkt 3.3 erarbeiteten Ergebnisse) eine Zumutbarkeitsprüfung zu dem Ergebnis, dass die durch das geplante Vorhaben zu erwartende Geräuschbelastung für den Sonderzustand mit witterungsbedingten Anlagengeräuschen aus gutachterlicher Sicht an allen Immissionsorten als zumutbar einzustufen ist.

Aus Sicht des Sachverständigen kann als untere Grenze zur Prüfung der Zumutbarkeit ein Wert von 45 dB(A) herangezogen werden. Dieser Wert stellt auch den für Kern-/Dorf-/Mischgebiete bzw. schutzbedürftige Bebauungen im Außenbereich nachts zulässigen Immissionsrichtwert dar (vgl. Tabelle 3.1). Diese Gebiete dienen auch bzw. hauptsächlich zum Wohnen, bei Einhaltung dieses Wertes werden keine schädlichen Umwelteinwirkungen verursacht.

## **3.2 Geräuschemissionen der Freileitung**

### **3.2.1 Allgemeines**

Während des Betriebes von Freileitungen kann es bei ungünstigen Wetterbedingungen, wie z. B. sehr feuchter Witterung (Regen oder hohe Luftfeuchte durch Nebel) zu Korona-Entladungen an der Oberfläche der Leiterseile kommen. Dabei können, zeitlich begrenzt, Geräusche verursacht werden die in diesem Kapitel beschrieben werden. Im anschließenden Kapitel 3.3 werden die daraus resultierenden betriebsbedingten Immissionen und ihre Berechnung erläutert.

Neben diese Witterungsbedingungen hängt der durch Koronageräusche verursachte Schalldruckpegel von der elektrischen Feldstärke auf der Oberfläche der Leiterseile (sog. Randfeldstärke) ab. Die Randfeldstärke wird beeinflusst durch die Höhe der Spannung, die Anzahl der Teilleiter je Phase, den Leiterseildurchmesser sowie durch die geometrischen Abstände der Leiterseile und Erdseile zueinander sowie zu geerdeten Bauteilen und in geringem Maße vom Abstand zum Boden.

Da wie o.a. Koronaentladungen bzw. -geräusche in relevantem und messbarem Umfang lediglich bei Niederschlag (Regen bzw. Schnee) bzw. entsprechend feuchter Witterung auftreten, werden aus diesem Grund im Folgenden die maßgeblichen Schallemissionsdaten für „leichten“ Niederschlag bis  $\leq 4,8$  mm/h bzw. 3,5 mm/h berechnet. Dies stellt gemäß gängiger Praxis die Vorgehensweise bei schalltechnischen Untersuchungen von Hochspannungsfreileitungen auch unter Berücksichtigung des Inhalts der in Punkt 1 zitierten einschlägigen fachtechnischen Unterlagen.

Die Intensität der Koronageräusche ist dabei im hohem Maße von der Regenmenge abhängig und steigt mit der Regenmenge. Ebenso hängt die Höhe des durch Regengeräusche am Immissionsort verursachten Pegels ebenfalls stark von der Regenmenge ab. Aus diesem Grunde ist bei entsprechend starken Regenintensitäten von einer vollständigen Verdeckung der Koronageräusche durch die hierdurch verursachten witterungsbedingten Fremdgeräusche auszugehen.



Allgemein treten Koronageräusche in bedeutsamer Höhe ausschließlich bei Leiterseilbündeln mit einer Nennspannung von  $\geq 380$  kV auf, im Rahmen einer an der maximalen oberen Grenze liegenden konservativen Abschätzung wurde bei der folgenden Berechnung der Koronageräusche eine maximale Spannung von 420 kV sowie für die Strombelastbarkeit der maximale betriebliche Dauerstrom eines Systems herangezogen.

Die in Teilabschnitten des Trassenverlaufs mitgeführten 110-kV-Stromkreise haben aus akustischer Sicht keinen immissionsrelevanten Einfluss, da die Geräuschemissionen dieser 110-kV-Leiterseile gegenüber den Geräuschemissionen der 380-kV-Leiterseilbündel um mehr als 15 dB geringer sind. Die 110-kV-Stromkreise werden daher im Zuge dieser schalltechnischen Untersuchung nicht weiter betrachtet.

### **3.2.2 Emissionsansätze der Berechnungen**

Die maßgeblichen schalltechnischen Emissionsdaten wurden unter Berücksichtigung der konkreten Lage und des Verlaufs der einzelnen Stromkreise bzw. Leiterseilbündel für repräsentative Spannungsfelder von der SPIE SAG GmbH mit dem EDV-Berechnungsprogramm „WinField“ der Forschungsgesellschaft für Energie und Umwelttechnologie – FGEU mbH unter Zugrundelegung der maßgeblichen Größe der elektrischen Randfeldstärke der Leiterseile unter Berücksichtigung der maximal möglichen o. g. Betriebsspannung („worst case“-Fall) nach EPRI (Transmission Line Reference Book - 345 kV and above, EPRI, Palo Alto Ca., 2 ed. 1982) sowie für eine Niederschlagsmenge von 3,5 mm/h berechnet.

Die einzelnen Leiterseile/Phasen der Trasse werden dabei als Linienschallquelle ausgegeben und nochmals in eine Vielzahl einzelner Segmente (Teilabschnitte) zwischen den Spannungsfeldern (Bereiche zwischen zwei Masten) unterteilt, wodurch eine hohe Anzahl an einzelnen Teillinien-schallquellen erzeugt wird.

Die so errechneten Emissionsdaten (längenbezogene Schalleistungspegel der Leitersegmente) und die Geometrie der Leiterseile wurden dann über eine sog. (normierte) QSI-Schnittstelle in das Schallausbreitungsprogramm „IMMI“ Version 2023 der Wölfel Engineering GmbH + Co. KG eingelesen und auf Plausibilität geprüft.

Konkret werden die Geräuschemissionen pro 4-er Leiterseilbündel/Phase berechnet, die beiden 380 kV Systeme bestehen aus jeweils 3 derartigen Leiterseilbündeln (somit in Summe 6 zu berücksichtigende Bündel). Für die auf diesem Weg errechneten Emissionen lässt sich unter den zugrunde gelegten Ansätzen ein längenbezogener Schalleistungspegel  $L_W$  von bis zu maximal 56 dB(A)/m als maßgebliche kennzeichnende Größe der Schallemission ermitteln.

Die TA Lärm sieht bei der Immissionsprognose unter anderem die Vergabe eines Zuschlages für Tonhaltigkeit  $K_T$  je nach Auffälligkeit in Höhe von 0 dB, 3 dB oder 6 dB vor, um die subjektiv erhöhte Störwirkung von reinen Tönen pauschal zu berücksichtigen.

Die tonhaltige Geräuschkomponente des Koronageräusches liegt im Bereich von 100 Hz und ist in der Regel lediglich im Nahbereich der Leiterseile ( $< 100$  m) deutlich ausgeprägt. Mit zunehmender seitlicher Entfernung von den Leiterseilen überlagert sich das Spektrum des Koronage-



räusches mit dem Spektrum des Regengeräusches bzw. mit dem Spektrum der Fremdgeräusche weiterer Geräuschquellen, sodass eine Tonhaltigkeit am Immissionsort i. d. R. nicht mehr vorliegt bzw. nicht mehr deutlich ausgeprägt ist.

Da sich im o. g. Abstand von 100 m zum Trassenverlauf keine im Sinne der TA Lärm schutzbedürftige Bebauung befindet, kann aus Sicht des Sachverständigen auf den Ansatz eines (immisionsseitigen) Tonzuschlags von  $K_T = 3 \text{ dB(A)}$  aus fachtechnischer Sicht verzichtet werden. Dieser Sachverhalt ist in der einschlägigen Fachliteratur bzw. einschlägigen Veröffentlichungen auch so entsprechend dokumentiert („... bei größeren Entfernungen wird ein Einzelton der Freileitung nicht mehr deutlich oder überhaupt nicht mehr wahrnehmbar sein ...“).

Im Rahmen einer an der maximalen oberen Grenze liegenden Abschätzung erfolgt in Punkt 3.4 zusätzlich eine Bewertung der zu erwartenden Geräuschimmissionen unter Einbeziehung eines Tonzuschlags von 3 dB.

### **3.3 Ermittlung der Geräuschimmissionen**

#### **3.3.1 Allgemeines**

Die im Zusammenhang mit dem Betrieb der Freileitung verursachten und in deren Umfeld zu erwartenden bzw. wirksamen Geräuschimmissionen wurden rechnerisch gemäß dem Anhang der TA Lärm nach dem Verfahren der detaillierten Prognose ermittelt. Die Schallausbreitungsrechnung wurde dabei auf der Grundlage der Norm DIN ISO 9613-2 durchgeführt.

Die Ausbreitungsberechnungen erfolgten frequenzabhängig für die Oktavmittenfrequenzen zwischen 31,5 Hz und 8.000 Hz. Hinsichtlich der zu berechnenden Bodendämpfung wurde gemäß gängiger Praxis das in Abschnitt 7.3.2 der DIN ISO 9613-2 beschriebene „alternative Verfahren“ (d. h. ohne konkrete Berücksichtigung der Bodenbeschaffenheit im Schallausbreitungsweg) zugrunde gelegt. Regelwerkskonform wurden eine Lufttemperatur von 10°C und eine relative Luftfeuchte von 70% angesetzt.

Gemäß Punkt A.1.4 des Anhangs der TA Lärm ist zur Ermittlung der im Einwirkungsbereich wirksamen Beurteilungspegel die meteorologische Korrektur nach Punkt 8 der DIN ISO 9613-2 zu berücksichtigen. Dabei ist auf der Grundlage der örtlichen Wetterstatistiken und nach deren Analyse ein Faktor  $C_0$  zu bestimmen, bzw. abzuschätzen der als Basis für die Bestimmung der meteorologischen Korrektur  $C_{\text{met}}$  heranzuziehen ist. In der vorliegenden Untersuchung erfolgten die Berechnungen konservativ für schallausbreitungsgünstige Mitwind-Situationen ohne Berücksichtigung einer (pegelmindernd wirkenden) meteorologischen Korrektur.

Als Bezugszeitraum für die Bildung der Beurteilungspegel ist gemäß den Anforderungen der TA Lärm nachts ein Zeitraum von einer Stunde (Stunde mit dem höchsten zu erwartenden Beurteilungspegel) heranzuziehen (vgl. Punkt 3.1), sämtliche relevanten Ausgangsdaten der Berechnungen sind in Anhang 2 aufgeführt.



Die Berechnungen erfolgten primär flächenhaft für einen repräsentativ gewählten Umgriff um die Freileitung für ein Immissionsniveau von 5 m über Grund (etwa entsprechend 1.OG einer Bebauung) unter Berücksichtigung freier Schallausbreitung.


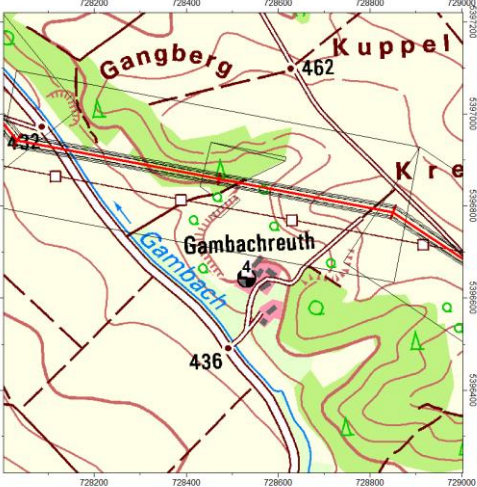
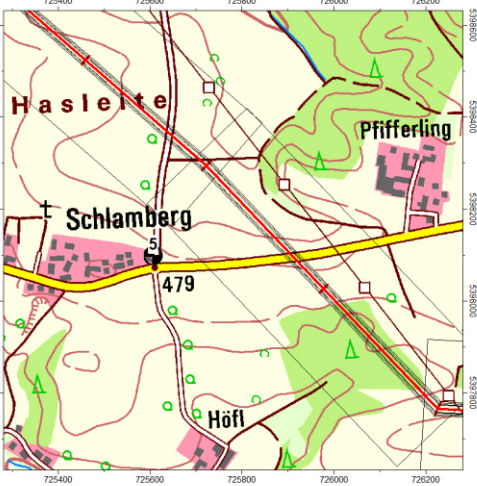
Diese Berechnungsergebnisse sind in Punkt 3.3.2 bzw. Abbildung 2 flächenhaft in Form eines farbigen Pegelrasters in 5 dB(A)-Abstufungen dargestellt, darüber hinaus erfolgten Einzelpunkt-berechnungen für exemplarisch ausgewählte Einzelpunkte/Immissionsorte im Sinne der TA Lärm entlang des Trassenverlaufs.

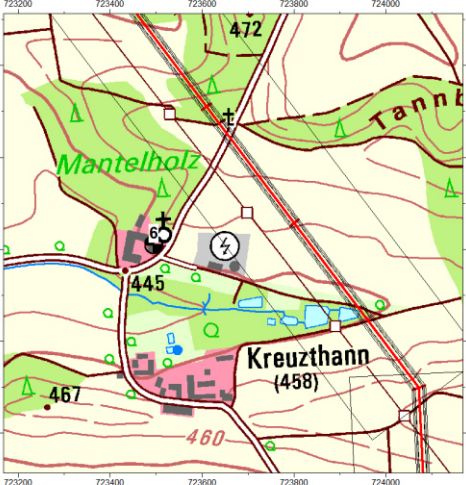


Als maßgebliche Parameter bei der Auswahl dieser Immissionsorte mit schutzbedürftiger Wohnnutzung wurden dabei der Abstand zur Trasse und dessen Schutzanspruch (z. B. Wohngebiet, Bebauung im Außenbereich) herangezogen.


Konkret wurden dabei folgende maßgebliche Immissionsorte betrachtet:

Tabelle 2: Maßgebliche Immissionsorte im Umfeld der Freileitung

| Nr. | Immissionsort<br>Beschreibung   | Darstellung  |
|-----|---|--|
| 1   | Wohnhaus Grundstück Flur-Nr. 176/2 Gem. Essenbach, WA „Müllerfeld“<br>Abstand zur Trassenachse etwa 250 m           |   |
| 2   | Wohnhaus Grundstück Flur-Nr. 740/2, Gem. Mirskofen, Bebauung im Außenbereich<br>Abstand zur Trassenachse etwa 270 m |  |

| Nr. | Immissionsort<br>Beschreibung  | Darstellung  |
|-----|--|--|
| 3   | Wohnhaus Grundstück Flur-Nr. 247/6, Gem. Oberergoldsbach, WA/MD „Oberergoldsbach“<br>Abstand zur Trassenachse etwa 400 m |    |
| 4   | Wohnhaus Grundstück Flur-Nr. 425 Gem. Andermannsdorf, Bebauung im Außenbereich<br>Abstand zur Trassenachse etwa 200 m    |   |
| 5   | Wohnhaus Grundstück Flur-Nr. 336/1 Gem. Oberrotterbach, Bebauung im Außenbereich<br>Abstand zur Trassenachse etwa 220 m  |  |

| Nr. | Immissionsort<br>Beschreibung  | Darstellung  |
|-----|--|--|
| 6   | Wohnhaus Grundstück Flur-Nr. 427 Gem. Pattendorf, Bebauung im Außenbereich<br>Abstand zur Trassenachse etwa 270 m      |    |
| 7   | Wohnhaus Grundstück Flur-Nr. 146 Gem. Niedereulenbach, Bebauung im Außenbereich<br>Abstand zur Trassenachse etwa 260 m |   |
| 8   | Wohnhaus Grundstück Flur-Nr. 1108/1 Gem. Kirchdorf, Bebauung im Außenbereich<br>Abstand zur Trassenachse etwa 200 m    |  |

| Immissionsort |   | Darstellung  |
|---------------|---|--|
| Nr.           | Beschreibung  |  |
| 9             | Wohnhaus Grundstück Flur-Nr. 620 Gem. Hörlbach, Bebauung im Außenbereich<br>Abstand zur Trassenachse etwa 290 m |  |

### 3.3.2 Ergebnisse der Berechnungen

Die unter den in den Punkt 3.2 und 3.3.1 detailliert genannten Voraussetzungen resultierenden Ergebnisse der Berechnungen sind nachfolgend dargestellt bzw. Anhang 3 zu entnehmen.

Die exemplarisch im Umfeld der Freileitung (Abstand jeweils etwa 1 km links und rechts des Trassenverlaufs) innerhalb des Nachtzeitraums resultierenden Beurteilungspegel gehen aus folgender Abbildung in Form eines farbigen Pegelrasters in 5 dB(A)-Abstufungen hervor.

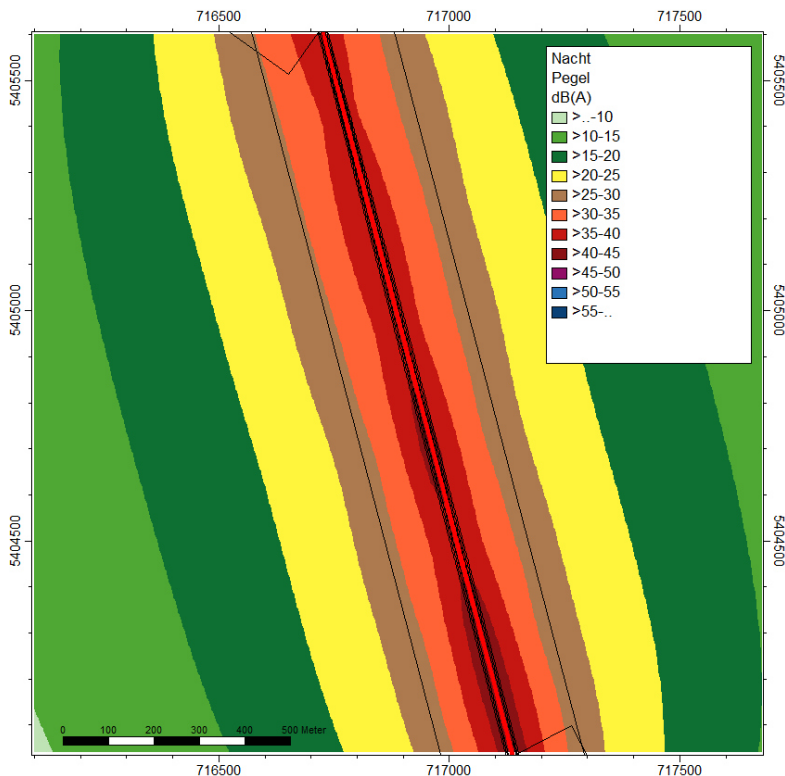


Abbildung 2: Pegelraster im Umfeld der Freileitung





An den zusätzlich betrachteten und in Punkt 3.3.1 beschriebenen, exemplarisch ausgewählten Einzelpunkten bzw. maßgeblichen Immissionsorten errechnen sich innerhalb des Nachtzeitraumes folgende durch den Betrieb der Freileitung verursachte (ganzzahlig gerundete) Beurteilungspegel:

Tabelle 3: Beurteilungspegel Betrieb Freileitungstrasse

| Immissionsort | Beurteilungspegel in dB(A) |
|---------------|----------------------------|
| 1             | 23                         |
| 2             | 23                         |
| 3             | 19                         |
| 4             | 25                         |
| 5             | 24                         |
| 6             | 23                         |
| 7             | 23                         |
| 8             | 25                         |
| 9             | 22                         |

Wie bereits o. a. gehen die Ergebnisse der Berechnungen aus Anhang 3 hervor, Erläuterungen zu den Ergebnislisten sind Anhang 4 zu entnehmen.

Zu den konkret betrachteten Immissionsorten wurde aus Sicht des Sachverständigen angenommen, dass die Bebauung auf dem Grundstück Flur-Nr. 333/2 der Gemarkung Mirskofen kein schutzbedürftiges Wohnhaus darstellt.

Unabhängig hiervon errechnet sich an diesem Immissionsort/Aufpunkt ein (witterungsbedingter) Beurteilungspegel von maximal 33 dB(A).

Der anzusetzende Immissionsrichtwert von 45 dB(A) wird somit auch hier sehr deutlich unterschritten.

### **3.4 Beurteilung der Geräuschimmissionen (Betriebslärm)**

Den Ergebnissen der Berechnungen ist zu entnehmen, dass in einem Abstand von 200 m zur Mittelachse der Freileitung Beurteilungspegel von maximal 25 dB(A) zu erwarten sind (vgl. Pegelraster in Abbildung 2). Dies entspricht etwa dem minimalen Abstand der Freileitungstrasse zu schutzbedürftigen Bebauungen im Umfeld.

An den ausgewählten Immissionsorten sind Beurteilungspegel von 19 dB(A) bis 25 dB(A) zu erwarten, der Immissionsrichtwert der TA Lärm in Höhe von

40 dB(A) an den Immissionsorten 1 und 3

45 dB(A) an den Immissionsorten 2, 4 bis 9



wird somit jeweils deutlich um mindestens 17 dB(A) unterschritten.

Das Maß der Unterschreitung des Immissionsrichtwerts beträgt selbst unter Einbeziehung eines Tonzuschlags im Sinne der TA Lärm von 3 dB (der aus fachtechnischer Sicht bei den hier vorliegenden Abständen zur Freileitungstrasse nicht angesetzt werden muss) noch an allen Immissionsorten mindestens 14 dB(A).

Selbst bei einer eventuell gegebenen Vorbelastung durch Gewerbebetriebe im Nachtzeitraum ist aufgrund der deutlichen Unterschreitung der Immissionsrichtwerte sichergestellt, dass die durch den Betrieb der Freileitungstrasse verursachten Beurteilungspegel den Immissionsrichtwert im gesamten Einwirkungsbereich um mehr als 6 dB(A) unterschreiten.

Da die witterungsbedingten Anlagengeräusche der Freileitung gemäß § 49 Abs. 2b s EnWG im Sinne der TA Lärm nunmehr als seltene Ereignisse zu bewerten sind (vgl. hierzu die Ausführungen in Punkt 3.1, im Besonderen diejenigen zur Zumutbarkeit der Geräusche) ist sichergestellt, dass der hierfür gemäß Nummer 6.3 der TA Lärm innerhalb des Nachtzeitraumes maximal zulässige Immissionsrichtwert in Höhe von 55 dB(A) eingehalten bzw. an allen maßgeblichen Immissionsorten jeweils sehr deutlich unterschritten wird.

Darüber hinaus ist die durch das geplante Vorhaben zu erwartende Geräuschbelastung für den Sonderzustand mit witterungsbedingten Anlagengeräuschen aus gutachterlicher Sicht an allen Immissionsorten als zumutbar einzustufen. Der als untere Grenze zur Prüfung der Zumutbarkeit heranzuziehende Wert von 45 dB(A) wird im Bereich aller schutzbedürftiger Bebauungen im Umfeld der Freileitung deutlich unterschritten

Hinzuweisen ist an dieser Stelle nochmals, dass die angegebenen Beurteilungspegel nicht unbedingt die an den Immissionsorten zukünftig einwirkenden Geräuschimmissionen widerspiegeln müssen, da in dieser schalltechnischen Untersuchung konservative Annahmen getroffen wurden. Es sind an den Immissionsorten tendenziell niedrigere Beurteilungspegel zu erwarten.

#### **4. Baulärm**

Die Geräuschentwicklungen, die im Zusammenhang mit den notwendigen Baumaßnahmen bei der geplanten Errichtung der Freileitungstrasse und dem Rückbau der 220-kV Bestandstrasse zu erwarten sind, werden anhand einer "Musterbaustelle" für unterschiedliche, typische Bauphasen (im Wesentlichen im Bereich der zukünftigen Maststandorte) prognostiziert und beurteilt.

Als Ergebnis werden, ausgehend vom akustischen Zentrum der Baustelle, Entfernungen berechnet, bei deren Unterschreitung mit einer Überschreitung der jeweiligen gebietsbezogenen Immissionsrichtwerte nach der in Punkt 1 zitierten Allgemeinen Verwaltungsvorschrift zum Schutz gegen Baulärm – Geräuschimmissionen (AVV Baulärm) zu rechnen ist und bei denen ggf. Lärmschutzmaßnahmen erforderlich werden.

Hinsichtlich der Zeitkorrekturen für die tägliche Einwirkzeit der einzelnen Baumaschinen bzw. Bauphasen bei der Bildung des Beurteilungspegels sowie hinsichtlich der Beurteilungskriterien basieren die nachfolgenden Untersuchungen auf der o. g. AVV Baulärm, für die Schallimmissions-



prognose wurde das in der Technischen Anleitung zum Schutz gegen Lärm – TA Lärm angegebene Berechnungsverfahren der detaillierten Prognose angewandt.

#### 4.1 Allgemeine Grundsätze der AVV Baulärm, Immissionsorte und -richtwerte

Die als fachtechnische Grundlage für die Beurteilung der Schallimmissionen aus dem Baubetrieb heranzuziehende AVV Baulärm gilt für den Betrieb von Baumaschinen auf Baustellen, soweit die Baumaschinen gewerblichen Zwecken dienen oder im Rahmen wirtschaftlicher Unternehmungen Verwendung finden.

Sie enthält u. a. Bestimmungen über Richtwerte für die von Baumaschinen auf Baustellen hervorgerufenen Geräuschimmissionen sowie das Messverfahren, ein Prognoseverfahren ist darin nicht vorgeschrieben.

Gemäß Punkt 3.1.1 AVV Baulärm sollen an den nächstgelegenen schutzbedürftigen Bebauungen folgende Immissionsrichtwerte nicht überschritten werden.

Tabelle 4: Immissionsrichtwerte nach AVV Baulärm

| Buchstabe nach Punkt 3.1.1<br>Gebietsbeschreibung  | Bezeichnung | Immissionsrichtwert            |                              |
|--|-------------|--------------------------------|------------------------------|
|  |             | tagsüber<br>(7:00 – 20:00 Uhr) | nachts<br>(20:00 – 7:00 Uhr) |
| a) Gebiete in denen nur gewerbliche oder industrielle Anlagen und Wohnungen für Inhaber und Leiter der Betriebe sowie für Aufsichts- u. Bereitschaftspersonen untergebracht sind | GI          | 70 dB(A)                       | 70 dB(A)                     |
| b) Gebiete in denen vorwiegend gewerbliche Anlagen untergebracht sind  | GE          | 65 dB(A)                       | 50 dB(A)                     |
| c) Gebiete mit gewerblichen Anlagen und Wohnungen, in denen weder vorwiegend gewerbliche Anlagen noch vorwiegend Wohnungen untergebracht sind *)                                 | MD/MI       | 60 dB(A)                       | 45 dB(A)                     |
| d) Gebiete in denen vorwiegend Wohnungen untergebracht sind  | WA          | 55 dB(A)                       | 40 dB(A)                     |
| e) Gebiete in denen ausschließlich Wohnungen untergebracht sind  | WR          | 50 dB(A)                       | 35 dB(A)                     |
| f) Kurgelände, Krankenhäuser und Pflegeanstalten   | SO          | 45 dB(A)                       | 35 dB(A)                     |

\*) Bebauungen im unbeplanten Außenbereich sind primär zwar nach ihrer konkreten Schutzbedürftigkeit zu bewerten, i.d.R. entspricht diese allgemein oftmals der eines Mischgebietes MI bzw. Dorfgebietes MD womit diese Immissionsrichtwerte auch für diese Nutzungen heranzuziehen sind.

Bei den im Folgenden betrachteten, im Außenbereich gelegenen schutzbedürftigen Bebauungen bzw. Wohnnutzungen im Einwirkungsbereich der jeweiligen Baustellen bzw. der Maststandorte gilt, dass unter Berücksichtigung der jeweils vor Ort vorherrschenden Gegebenheiten bzw. der tatsächlichen baulichen Nutzung für die Gesamtheit dieser Einzelbebauungen die einem Mischgebiet/Dorfgebiet entsprechende Schutzbedürftigkeit mit den o.g. Immissionsrichtwerten (Zeile 4) anzusetzen ist.

Überschreitet der nach Nummer 6 der AVV Baulärm ermittelte Beurteilungspegel des von Baumaschinen hervorgerufenen Geräusches den Immissionsrichtwert um mehr als 5 dB(A), sollen Maßnahmen zur Minderung der Geräusche angeordnet werden.

Dieser jeweils um 5 dB(A) erhöhte Richtwert wird im Folgenden als „Eingreifwert“ bezeichnet.



Hierbei kommen nach AVV Baulärm folgende Maßnahmen in Betracht:

- a) Maßnahmen bei der Einrichtung der Baustelle
- b) Maßnahmen an den Baumaschinen
- c) Die Verwendung geräuscharmer Baumaschinen
- d) Die Anwendung geräuscharmer Bauverfahren
- e) Die Beschränkung der Betriebszeit lautstarker Baumaschinen

Von Maßnahmen zur Lärminderung kann abgesehen werden, soweit durch den Betrieb von Baumaschinen infolge nicht nur gelegentlich einwirkender Fremdgeräusche keine zusätzlichen Gefahren, Nachteile oder Belästigungen eintreten (Verdeckung der Baustellengeräusche durch Fremdgeräusche).

Grundsätzlich gilt, dass die o.g. gegenüber den Immissionsrichtwerten um 5 dB(A) höheren Eingreifwerte im Rahmen von Prognosen im Genehmigungsverfahren formal nicht anzuwenden sind (vgl. hierzu z.B. auch Urteil des BVerwG 7 A 11/11 vom 10.07.2012) und im Wesentlichen der Steuerung des behördlichen Handlungsermessens bzw. -spielraums dienen.

Im Folgenden werden bei der Veranschaulichung/Darstellung der Ausgangsbedingungen und Ergebnisse der Untersuchungen neben den Immissionsrichtwerten jedoch auch weiterhin die Eingreifwerte informell mit betrachtet.

## **4.2 Geräuschemissionen bei Baustellenbetrieb**

### **4.2.1 Allgemeines**

Die im Rahmen der vorliegenden Untersuchungen durchgeführten Berechnungen dienen ganz wesentlich der Orientierung, da sich zeitliche Abläufe einzelner Bauphasen im weiteren Verlauf der Planung und Ausführung noch ändern können. Die angegebenen Ergebnisse der Immissionsberechnungen wurden ohne eventuell notwendige Minderungsmaßnahmen berechnet.

Bei den Berechnungen wurde von nicht abgeschirmten Schallquellen ausgegangen, von denen angenommen wird, dass sie über die gesamte Fläche der Baustelle verteilt sind (z. B. Fahrbewegungen). Im Einzelfall bestehen aber in der Regel Möglichkeiten, z. B. durch eine optimierte Organisation der Baustelle, die Immissionen zu verringern.

Die Bauphase während des Trassenneubaus kann grob in die folgenden 3 Bauabschnitte unterteilt werden:

- Baustellenvorbereitung
- Gründungsarbeiten
- Montage- und Beseilungsarbeiten

Für den Rückbau der Bestandstrasse (bzw. der beiden Bestandsleitungen) sind im Wesentlichen die folgenden 3 Bauabschnitte zu betrachten:



- Demontage/Zerlegung der Gittermasten
- Freilegung/Wiederverfüllung Fundamentbereich
- Fundamentabbruch/-entfernung

Die genannten Arbeitsschritte finden dabei i. d. R. örtlich nicht gleichzeitig, sondern nacheinander statt.

Aus schalltechnischer Sicht ist allgemein bzgl. Trassenneubau bei dem Bauabschnitt der Mastgründung und bzgl. Leitungsrückbau beim Fundamentabbruch mit den höchsten Geräuschemissionen und somit auch -immissionen zu rechnen, die weiteren Bauphasen sind im Vergleich hierzu akustisch von untergeordneter Bedeutung.

In der Regel erfolgen die Baustellentätigkeiten ausschließlich am Tage in der Zeit zwischen 07:00 Uhr und 20:00 Uhr (Tagzeitraum nach A V V Baulärm), in Ausnahmefällen sind Tätigkeiten bzw. Vorgänge wie z. B. Lkw-Anlieferungen im Speziellen in den Sommermonaten auch vor 07:00 Uhr sowie nach 20:00 Uhr (und somit innerhalb des Nachtzeitraumes nach A V V Baulärm) möglich.

Ebenso ist in Abhängigkeit vom Untergrund beim Neubau der Mastfundamente u. U. eine Wasserhaltung erforderlich, dabei kann auch ein kontinuierlicher 24-stündiger Pumpen- und Stromaggregatbetrieb (und somit auch nachts) notwendig sein.

Für derartige Quellen ist eine maßgebliche Geräuschkürzung der Emissionen und somit auch der Immissionen mit verhältnismäßig geringem Aufwand möglich (z. B. Einhausung, Aufstellung in Containern).

#### 4.2.2 Emissionsansätze der Berechnungen

Die A V V Baulärm sieht hinsichtlich der durchschnittlichen täglichen Betriebszeit einer Baumaschine am Tage (7:00 bis 20:00 Uhr) folgende pauschalen Zeitkorrekturen vor:

Tabelle 5: Zeitkorrektur nach A V V Baulärm

| Tagzeitraum (07:00 bis 20:00 Uhr) |               |
|-----------------------------------|---------------|
| durchschnittliche Betriebszeit    | Zeitkorrektur |
| bis 2½ h                          | 10 dB(A)      |
| über 2½ h bis 8 h                 | 5 dB(A)       |
| über 8 h                          | 0 dB(A)       |

Die Zeitkorrektur ist nach A V V Baulärm bei Messungen von Baustellenlärm vom Wirkpegel ( $L_{A,FTeq}$ ) der jeweiligen Baumaschinen abzuziehen und wird im Folgenden bei der Schallimmissionsprognose emissionsseitig von den für die jeweilige Baumaschine/Bauvorgang zugrunde gelegten Schalleistungspegeln abgezogen (Schalleistungswirkpegel  $L_{W,r}$ ).



Im Folgenden wird vorausgesetzt, dass die Baustelle unter den in Punkt 4.2.1 erläuterten Randbedingungen nur tagsüber zwischen 07:00 und 20:00 Uhr betrieben wird, die weiteren Untersuchungen erstrecken sich daher ausschließlich auf diesen Zeitraum.

Die für die jeweiligen Baumaschinen angesetzten Geräuschemissionen wurden im Wesentlichen der unter Punkt 1 zitierten Fachliteratur entnommen bzw. stellen Erfahrungswerte unseres Hauses von schalltechnischen Untersuchungen vergleichbarer Projekte dar.

Konkret wurden für die untersuchten typischen Bauphasen während des Trassenneubaus folgende Szenarien bzw. Varianten unter Einsatz der jeweils aufgeführten Baumaschinen betrachtet:

- Variante 1 : Vorbereitung (Baufeldfreimachung, Gehölbeseitigung, Wegebau etc.)

Einsatz von z. B. Lkw, Kleinbagger/-lader, Walze, Freischneider  
durchschnittliche Betriebszeit der einzelnen Baumaschinen jeweils  $\leq 8$  Stunden

- Variante 2: Gründungsarbeiten

Variante 2a: Stufen- oder Plattenfundament

Einsatz von Lkw, Bagger, Betonmischer, Betonpumpe und Flaschenrüttler  
durchschnittliche Betriebszeit der einzelnen Baumaschinen jeweils  $\leq 8$  Stunden

Variante 2b: Fundamentgründung mit Bohrgerät

Einsatz von Lkw, Bagger, Betonmischer, Betonpumpe und Bohrgerät  
durchschnittliche Betriebszeit der einzelnen Baumaschinen jeweils  $\leq 8$  Stunden

Variante 2c: Fundamentgründung mit Rammgerät

Einsatz von Lkw, Bagger, Betonmischer, Betonpumpe und Rammgerät  
durchschnittliche Betriebszeit der einzelnen Baumaschinen jeweils  $\leq 8$  Stunden

- Variante 3 : Montage- und Beseilungsarbeiten

Einsatz von z. B. Lkw, Seilwinden-/seilbremsenbetrieb, Montagetätigkeiten etc.  
durchschnittliche Betriebszeit der einzelnen Baumaschinen jeweils  $\leq 8$  Stunden

In besonderen Fällen wird bei dem Arbeitsschritt der Beseilung zum Transport des Vorseils unter Umständen auch ein Hubschrauber eingesetzt. Dieser Einsatz ist hauptsächlich bei Waldüberspannungen zur Vermeidung von Beeinträchtigungen geschützter Biotope vorgesehen und hinsichtlich des potenziellen Einsatzgebiets (überwiegend unbewohnte Bereiche) und der Einwirkzeit vernachlässigbar.

Für die Bauabschnitte während des Trassenrückbaus wurden folgende Szenarien bzw. Varianten unter Einsatz der jeweils aufgeführten Baumaschinen betrachtet:

- Variante 4 : Demontage/Zerlegung der Gittermasten

Einsatz von z. B. Lkw, Seilwinden-/seilbremsenbetrieb, Montagetätigkeiten etc.  
durchschnittliche Betriebszeit der einzelnen Baumaschinen jeweils  $\leq 8$  Stunden



- Variante 5: Freilegung/Wiederverfüllung Fundamentbereich

Einsatz von Lkw, Bagger, Kleinbagger/-lader

durchschnittliche Betriebszeit der einzelnen Baumaschinen jeweils  $\leq 8$  Stunden

- Variante 6 : Fundamentabbruch/-entfernung

Variante 6a: Fundamentabbruch mit Abbruchzange

Einsatz von Lkw und Bagger mit Abbruchzange

durchschnittliche Betriebszeit der einzelnen Baumaschinen jeweils  $\leq 8$  Stunden

Variante 6b: Fundamentabbruch mit Hydraulikhammer bzw. Meißelbagger

Einsatz von Lkw und Bagger mit Hydraulikhammer

durchschnittliche Betriebszeit der einzelnen Baumaschinen jeweils  $\leq 8$  Stunden

In den beiden folgenden Tabellen 6 und 7 sind für die vorgenannten Szenarien bzw. Varianten des Trassenneubaus sowie des Rückbaus die jeweils zugrunde gelegten Schalleistungspegel  $L_W$ , die tägliche Betriebs-/Einwirkzeit  $T_E$  der Baumaschinen wie o. a., die hierfür zu berücksichtigende Zeitkorrektur nach AVV Baulärm  $\Delta L$  sowie die resultierenden Schalleistungswirkpegel  $L_{W,r}$  angegeben.

**Tabelle 6:** Emissionsansätze der untersuchten Szenarien/Varianten für die Bauphase Trassenneubau

| Variante | Beschreibung                      | $L_W$ in dB(A) | $T_E$ in h | $\Delta L$ in dB | $L_{W,r}$ in dB(A) |
|----------|-----------------------------------|----------------|------------|------------------|--------------------|
| 1        | Baustellenvorbereitung            | 110            | $\leq 8,0$ | -5               | 105                |
| 2a       | Gründung Stufen-/Plattenfundament | 110            | $\leq 8,0$ | -5               | 105                |
| 2b       | Gründung Bohrgerät                | 115            | $\leq 8,0$ | -5               | 110                |
| 2c       | Gründung Rammgerät                | 125            | $\leq 8,0$ | -5               | 120                |
| 3        | Montage und Beseilung             | 108            | $\leq 8,0$ | -5               | 103                |

**Tabelle 7:** Emissionsansätze der untersuchten Szenarien/Varianten für die Bauphase Trassenrückbau

| Variante | Beschreibung                     | $L_W$ in dB(A) | $T_E$ in h | $\Delta L$ in dB | $L_{W,r}$ in dB(A) |
|----------|----------------------------------|----------------|------------|------------------|--------------------|
| 4        | Demontage/Zerlegung Gittermasten | 108            | $\leq 8,0$ | -5               | 103                |
| 5        | Freilegung/Wiederverf. Fundament | 110            | $\leq 8,0$ | -5               | 105                |
| 6a       | Fundamentabbruch Abbruchzange    | 115            | $\leq 8,0$ | -5               | 110                |
| 6b       | Fundamentabbruch Meißelbagger    | 120            | $\leq 8,0$ | -5               | 115                |

Die in der letzten Spalte dieser Tabelle angegebenen Schalleistungswirkpegel  $L_{W,r}$  wurden den Schallausbreitungsberechnungen als maßgebliche Eingangsgröße zugrunde gelegt.

Mit Ausnahme der Variante 2c wurden die im Zusammenhang mit den untersuchten Szenarien zu berücksichtigenden Schallquellen zusammengefasst und im Schallausbreitungsmodell als horizontale Flächenschallquelle (Flächengröße 400 m<sup>2</sup>) mit einer Emissionshöhe von 3 m über Boden



abgebildet. Für die Variante 2c (Rammgerät etc.) wurde eine vertikale Linienschallquelle mit einer Höhe zwischen 0 m und 15 m angesetzt.

### **4.3 Ermittlung der Geräuschimmissionen**

#### **4.3.1 Allgemeines**

Die AVV Baulärm enthält keine Vorgaben bzgl. der rechnerischen Ermittlung von Schallimmissionen anhand eines konkreten Berechnungsmodells (vgl. Punkt 4.1).

Gemäß gängiger Praxis erfolgt die Schallimmissionsprognose analog zu den betriebsbedingten Lärmimmissionen auf der Grundlage des Verfahrens der detaillierten Prognose gemäß dem Anhang zur TA Lärm, die Ermittlung der durch den Baustellenbetrieb zu erwartenden Geräuschimmissionen erfolgte somit rechnerisch anhand eines dreidimensionalen digitalen Schallausbreitungsmodells.

Die in diesem Zusammenhang durchgeführten Berechnungen erfolgten regelwerkskonform mit A-bewerteten Summenschallpegeln. Hinsichtlich der zu berechnenden Bodendämpfung wurde auch regelwerkskonform das in Abschnitt 7.3.2 der DIN ISO 9613-2 beschriebene „alternative Verfahren“ (d. h. ohne konkrete Berücksichtigung der Bodenbeschaffenheit im Schallausbreitungsweg) zugrunde gelegt, ebenso analog zu den betriebsbedingten Lärmimmissionen wurde eine Lufttemperatur von 10°C und eine relative Luftfeuchte von 70% angesetzt.

Eine meteorologische Korrektur gemäß Punkt A.1.4 des Anhangs der TA Lärm wurde zur Ermittlung der baustellenbedingten Beurteilungspegel nicht berücksichtigt, die Berechnungen erfolgten somit für eine schallausbreitungsgünstige Mitwind-Wetterlage.

Wie mehrfach erwähnt, beschränken sich sämtliche Untersuchungen primär auf den Tagzeitraum gemäß AVV Baulärm zwischen 07:00 und 20:00 Uhr.

Die baustellenbedingten Geräuschimmissionen werden anhand einer „Musterbaustelle“ für die unterschiedlichen Bauphasen bzw. Szenarien/Varianten gemäß 4.2.2 für eine Immissionsorthöhe von 5 m prognostiziert und beurteilt (vgl. Erläuterungen hierzu eingangs in Punkt 4).

Als Ergebnis werden, ausgehend vom akustischen Zentrum der Baustelle, Entfernungen berechnet, bei deren Unterschreitung mit einer Überschreitung der jeweiligen gebietsbezogenen Immissionsrichtwerte der AVV Baulärm gemäß Punkt 4.1 zu rechnen ist und bei denen dann ggf. Lärm-schutzmaßnahmen erforderlich werden.

Anhand dieser berechneten gebietsbezogenen Abstände werden dann diejenigen Bereiche/Orte mit evtl. vorhandener schutzbedürftiger (Wohn-) Bebauung näher analysiert, die im Einwirkbereich der Geräuschimmissionen des Baustellenbetriebes liegen bzw. liegen können.

#### **4.3.2 Ergebnisse der Berechnungen**

In der nachfolgenden Tabelle 8 sind für die vorgenannten Szenarien/Varianten der Bauphase beim Trassenneubau und beim Trassenrückbau die jeweiligen Entfernungen bzw. Mindestabstände zwischen potenziellen Immissionsorten und dem akustischen Zentrum der Baustelle an-





gegeben, bei denen die gebietsabhängigen Immissionsrichtwerte nach Punkt 3.1.1 a) bis e) AVV Baulärm am Tage eingehalten bzw. unterschritten werden (Dokumentation der Ergebnisse der durchgeführten Berechnungen in Anhang 6).

**Tabelle 8:** Mindestabstände zur Einhaltung der Immissionsrichtwerte der AVV Baulärm

| Variante | Beschreibung                      | Mindestabstand in m |          |          |          |          |          |
|----------|-----------------------------------|---------------------|----------|----------|----------|----------|----------|
|          |                                   | 3.1.1 a)            | 3.1.1 b) | 3.1.1 c) | 3.1.1 d) | 3.1.1 e) | 3.1.1 f) |
| 1        | Baustellenvorbereitung            | 25                  | 40       | 60       | 90       | 140      | 230      |
| 2a       | Gründung Stufen-/Plattenfundament | 25                  | 40       | 60       | 90       | 140      | 230      |
| 2b       | Gründung Bohrgerät                | 40                  | 60       | 90       | 140      | 230      | 380      |
| 2c       | Gründung Rammgerät                | 95                  | 150      | 235      | 385      | 655      | 1020     |
| 3        | Montage und Beseilung             | 20                  | 30       | 50       | 75       | 115      | 190      |
| 4        | Demontage/Zerlegung Gittermasten  | 20                  | 30       | 50       | 75       | 115      | 190      |
| 5        | Freilegung/Wiederverf. Fundament  | 25                  | 40       | 60       | 90       | 140      | 235      |
| 6a       | Fundamentabbruch Abbruchzange     | 40                  | 60       | 90       | 140      | 235      | 380      |
| 6b       | Fundamentabbruch Meißelbagger     | 60                  | 90       | 140      | 235      | 385      | 655      |

In der nachfolgenden Tabelle 9 sind für diese betrachteten Szenarien/Varianten die jeweiligen Entfernungen bzw. Mindestabstände zwischen potenziellen Immissionsorten und dem akustischen Zentrum der Baustelle angegeben, bei denen die (gegenüber den Immissionsrichtwerten um jeweils 5 dB(A) höheren) Eingreifwerte nach AVV Baulärm am Tage eingehalten bzw. unterschritten werden.

**Tabelle 9:** Mindestabstände zur Einhaltung der Eingreifwerte der AVV Baulärm

| Variante | Beschreibung                      | Mindestabstand in m |          |          |          |          |          |
|----------|-----------------------------------|---------------------|----------|----------|----------|----------|----------|
|          |                                   | 3.1.1 a)            | 3.1.1 b) | 3.1.1 c) | 3.1.1 d) | 3.1.1 e) | 3.1.1 f) |
| 1        | Baustellenvorbereitung            | 15                  | 25       | 40       | 60       | 90       | 140      |
| 2a       | Gründung Stufen-/Plattenfundament | 15                  | 25       | 40       | 60       | 90       | 140      |
| 2b       | Gründung Bohrgerät                | 25                  | 40       | 60       | 90       | 140      | 230      |
| 2c       | Gründung Rammgerät                | 65                  | 95       | 150      | 235      | 385      | 655      |
| 3        | Montage und Beseilung             | 13                  | 20       | 30       | 50       | 75       | 115      |
| 4        | Demontage/Zerlegung Gittermasten  | 13                  | 20       | 30       | 50       | 75       | 115      |
| 5        | Freilegung/Wiederverf. Fundament  | 15                  | 25       | 40       | 60       | 90       | 140      |
| 6a       | Fundamentabbruch Abbruchzange     | 25                  | 40       | 60       | 90       | 140      | 235      |
| 6b       | Fundamentabbruch Meißelbagger     | 40                  | 60       | 90       | 140      | 235      | 385      |



An dieser Stelle ist nochmals anzumerken, dass diese gegenüber den Immissionsrichtwerten um jeweils 5 dB(A) höheren Eingreifwerte nach AVV Baulärm gemäß den Ausführungen in Punkt 4.1 formal nicht anzuwenden sind.

#### **4.4 Beurteilung der Geräuschimmissionen (Baulärm)**

Sämtliche nachfolgend getroffenen Einstufungen bzgl. der Schutzbedürftigkeit von Immissionsorten (z.B. Wohnnutzungen, Büronutzungen etc.) nach AVV-Baulärm erfolgten anhand von rechtskräftigen Bebauungsplänen (soweit existent) bzw. anhand der Darstellungen in den Flächennutzungsplänen sowie nach Einschätzung des Sachverständigen.

##### **4.4.1 Trassenneubau**

Im Abstand von < 200 m links und rechts des geplanten Trassenverlaufs befinden sich keine Gebäude mit schutzbedürftiger Bebauung (vgl. hierzu auch Punkt 3.3.1).

Die nächstgelegenen schutzbedürftigen Außenbereichsbebauungen und Bebauungen in Mischgebieten bzw. Dorfgebieten entlang der Trasse sind mindestens 200 m entfernt, die minimale Entfernung zu einem ausgewiesenen Wohngebiet beträgt etwa 250 m.

Wie Tabelle 8 zu entnehmen ist, werden die ermittelten, notwendigen Mindestabstände zwischen dem potenziellen Immissionsort und der Baustelle beim Trassenneubau für die untersuchten Szenarien bzw. Varianten 1, 2a, 2b und 3 stets überschritten und somit die Immissionsrichtwerte der AVV Baulärm eingehalten/unterschritten.

Lediglich für die schalltechnisch ungünstigste Variante 2c, Gründung mit Rammgerät, wird der notwendige Mindestabstand gemäß Tabelle 8 von

- 235 m für Außenbereichsbebauungen und Bebauungen in Mischgebieten bzw. Dorfgebieten
- 385 m für Wohngebiete (konkret allgemeine Wohngebiete WA)

z. T. nicht eingehalten bzw. unterschritten.

Hiervon potenziell betroffene Bebauungen sind im Folgenden exemplarisch aufgeführt und in den jeweiligen Abbildungen dargestellt, die parallel zur geplanten Trasse einzuhaltenden Mindestabstände sind dabei mit blauen Linien bei 235 m für Bebauungen im Außenbereich/Mischgebiet/Dorfgebiet sowie bei 385 m für Bebauungen in Wohngebieten gekennzeichnet (grüne Linien).

## Bereich Essenbacher Ortsteil Altheim, Wohngebiet Müllerfeld und Weiler Koislhof

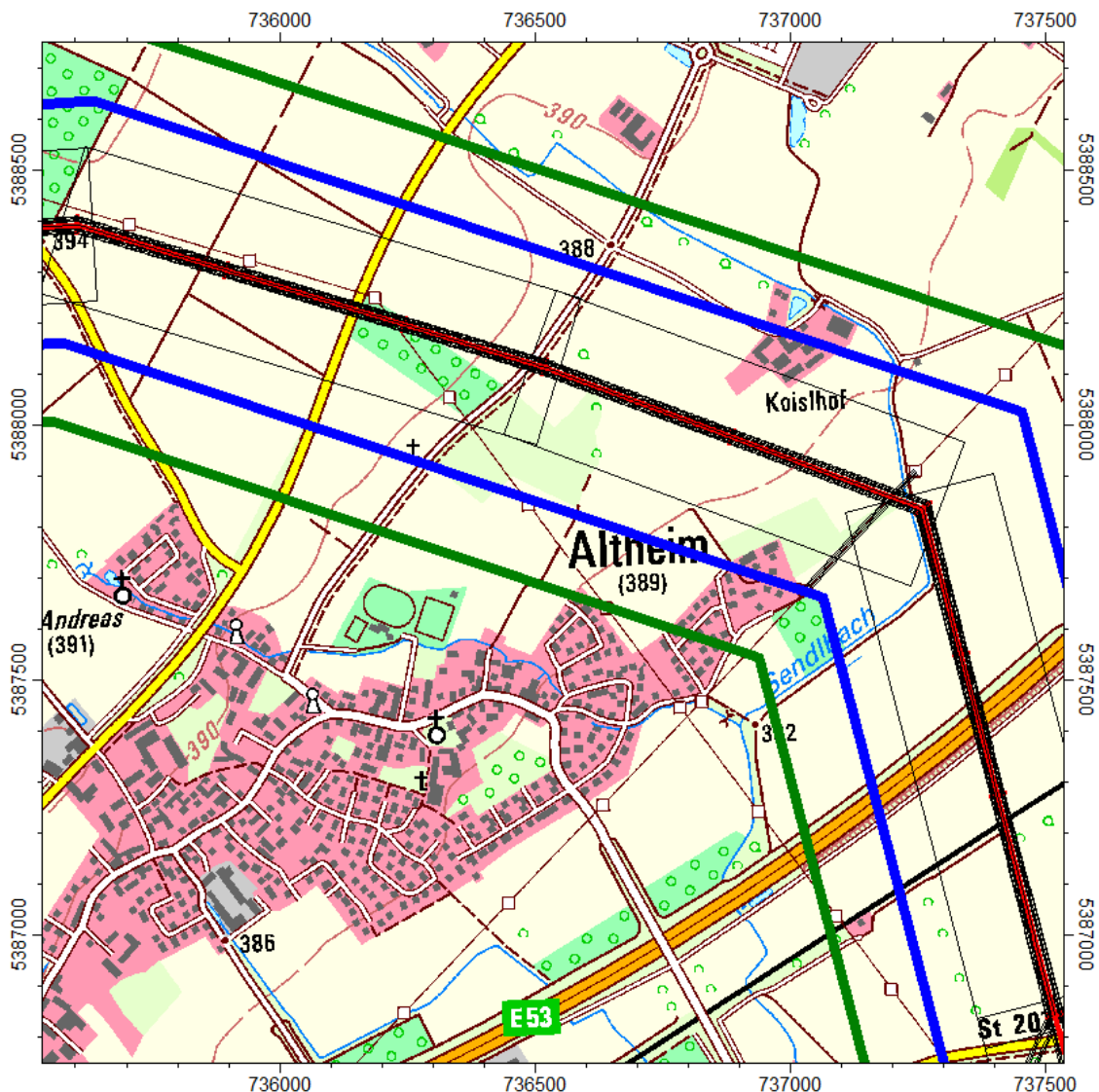


Abbildung 3: Trassenverlauf im Bereich Altheim, Wohngebiet „Müllerfeld“ und Weiler Koislhof

Der für die schalltechnisch ungünstigste Variante 2c, Gründung mit Rammgerät, notwendige Mindestabstand von hier 385 m wird im äußersten nordöstlichen Bereich der Ortsbebauung von Altheim innerhalb von Teilen des Geltungsbereichs des Bebauungsplans „Müllerfeld“ unterschritten, der Immissionsrichtwert der AVV Baulärm in Höhe von 55 dB(A) wird somit überschritten.

An den nächstgelegenen maßgeblichen Immissionsorten im Wohngebiet (minimaler Abstand zu Mast Nr. 6 etwa 250 m) ist für diesen Fall ein Beurteilungspegel von maximal 59 dB(A) zu erwarten, die Überschreitung des Immissionsrichtwerts beträgt somit 4 dB(A).

Die schutzbedürftigen Bebauungen im nördlich der Trasse gelegenen Weiler Koislhof (Gemeinde Essenbach) befinden sich auf dem Grundstück Flur-Nr. 144 der Gemarkung Altheim, der Abstand zum nächstgelegenen Mast Nr. 6 beträgt 250 m.

Der hier anzusetzende Mindestabstand von 235 m wird eingehalten bzw. überschritten.

## Bereich Essenbacher Ortsteil Bruckbach und Hohenthanner Ortsteil Oberergoldsbach

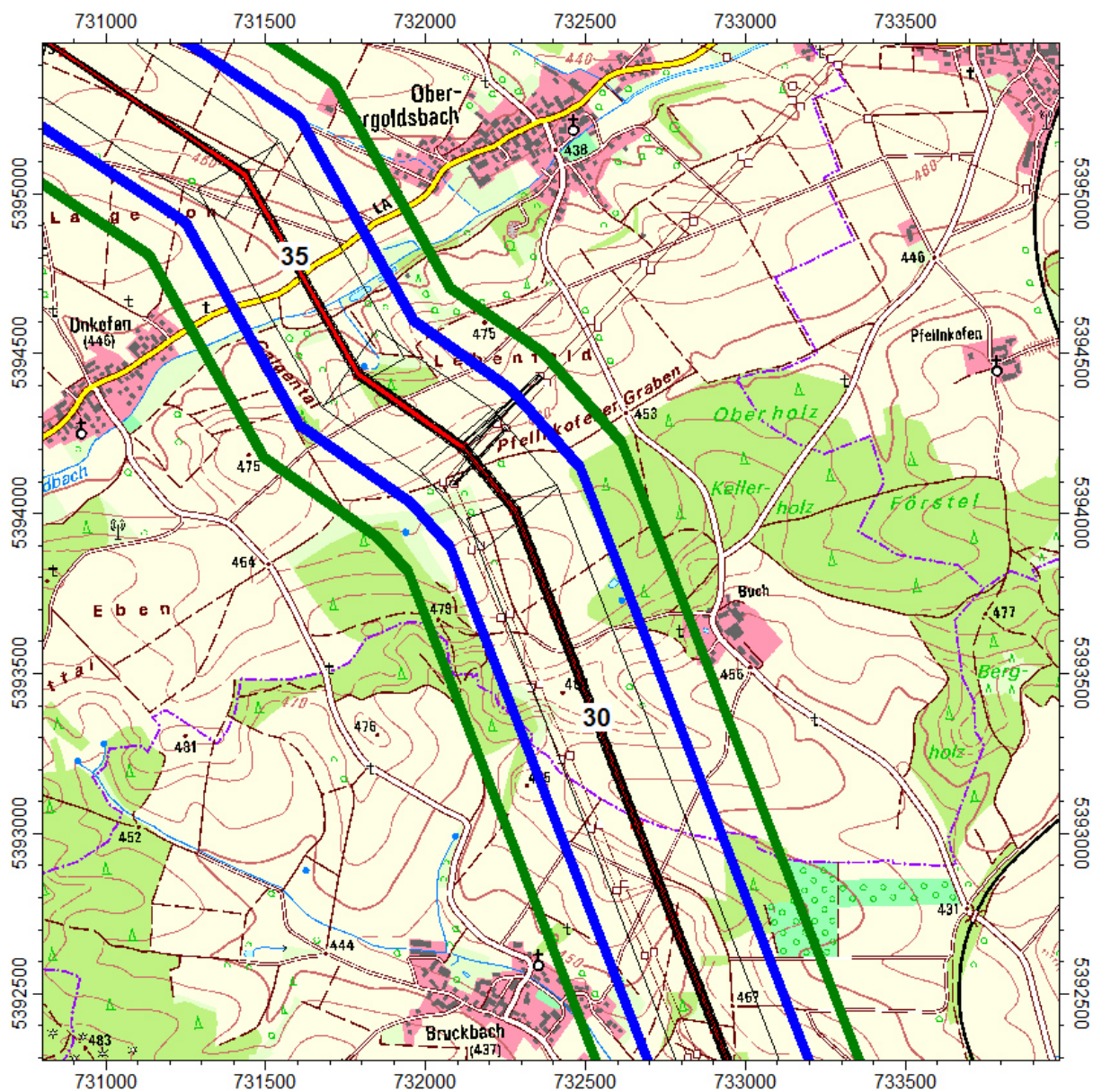


Abbildung 4: Trassenverlauf im Bereich Bruckbach und Oberergoldsbach

Die Mindestabstände für die schalltechnisch ungünstigste Variante 2c, Gründung mit Rammgerät, von 235 m für den Bereich der Bebauung von Bruckbach sowie vom 385 m für das Wohn-/Dorfgebiet in Oberergoldsbach werden jeweils eingehalten bzw. überschritten.

### Bereich Hohenthanner Ortsteile/Weiler Gambachreuth, Gatzkofen und Laber

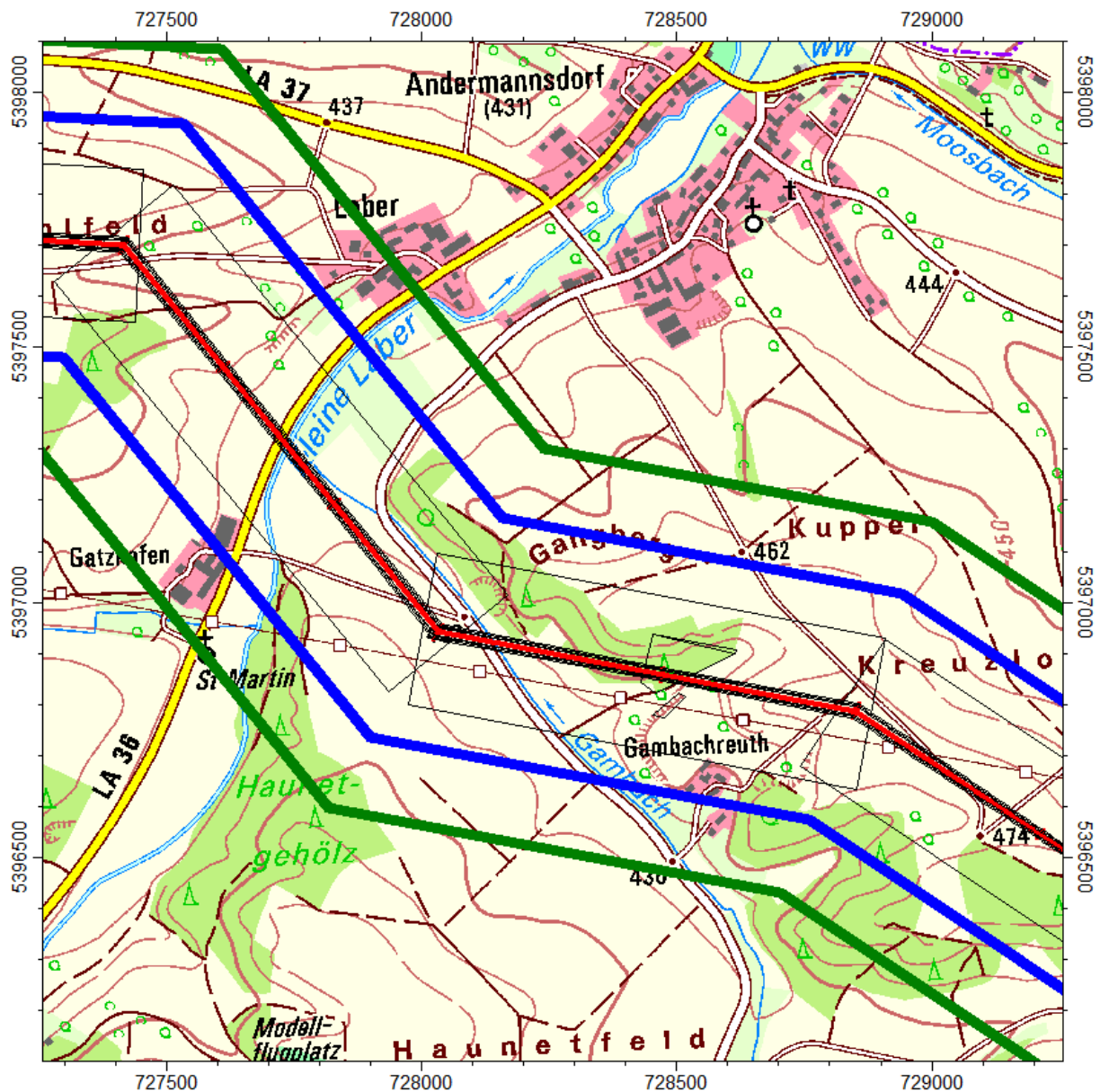


Abbildung 5: Trassenverlauf im Bereich Gambachreuth, Gatzkofen und Laber

Der für die schalltechnisch ungünstigste Variante 2c, Gründung mit Rammgerät, notwendige Mindestabstand von hier 235 m (gemessen zum Mast Nr. 45) wird an der schutzbedürftigen Bebauung im Weiler Gambachreuth gerade noch eingehalten.

Im Bereich der Weiler Gatzkofen und Laber wird dieser Wert jeweils überschritten.

### Bereich Rottenburger Ortsteile/Weiler Schlamburg, Pfifferling und Oberndorf sowie Hohenthanner Ortsteil/Weiler Schmidhof

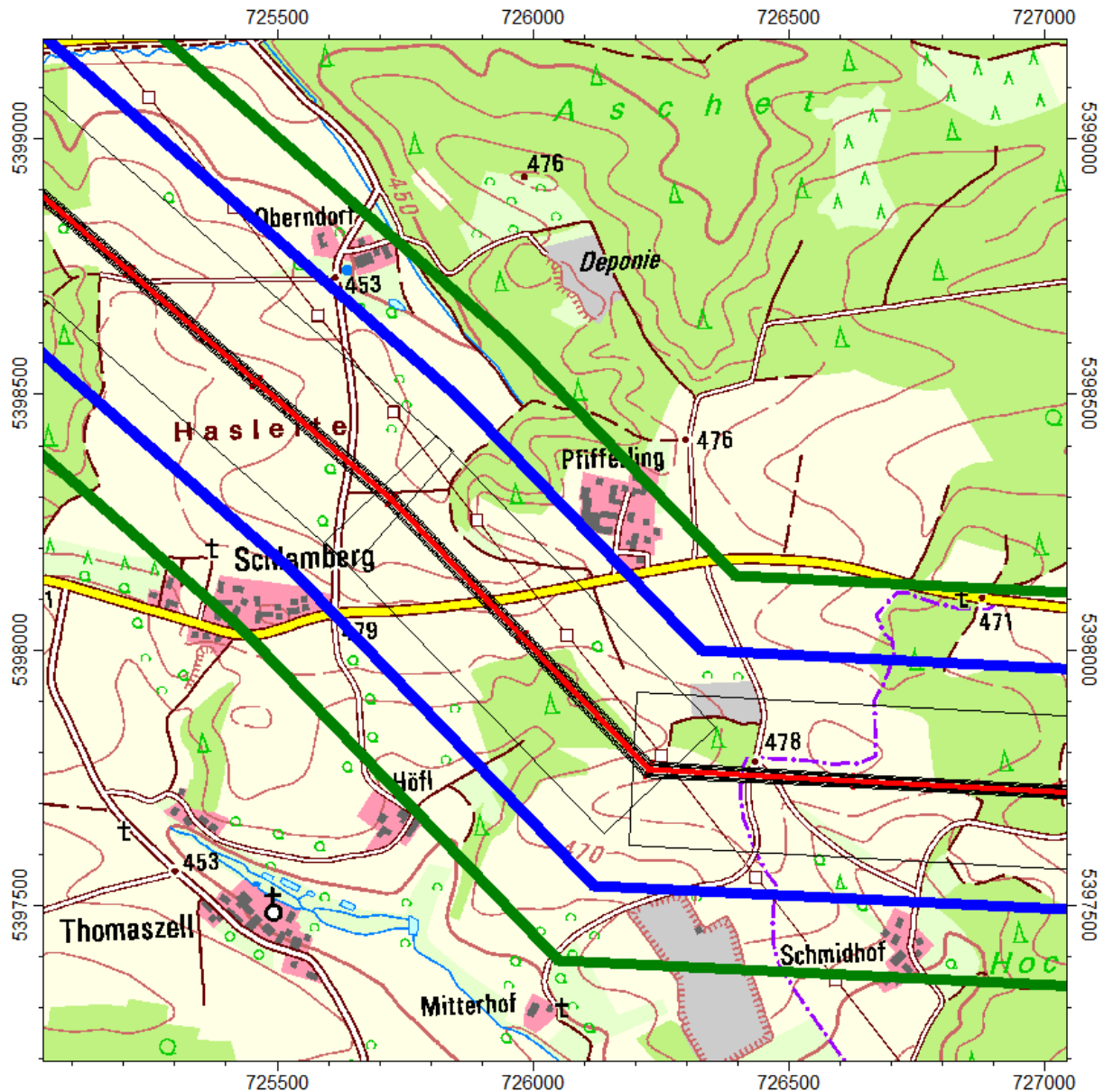


Abbildung 6: Trassenverlauf im Bereich Schlamburg, Pfifferling, Oberndorf und Schmidhof

Der für die schalltechnisch ungünstigste Variante 2c, Gründung mit Rammgerät, notwendige Mindestabstand von hier 235 m (gemessen zum Mast Nr. 45) wird an der schutzbedürftigen Bebauung in den Rottenburger Ortsteilen/Weiler Schlamburg, Pfifferling und Oberndorf sowie im Hohenthanner Ortsteil Schmidhof jeweils überschritten.

### Bereich Rottenburger Ortsteile/Weiler Birkenhof und Kreuzthann

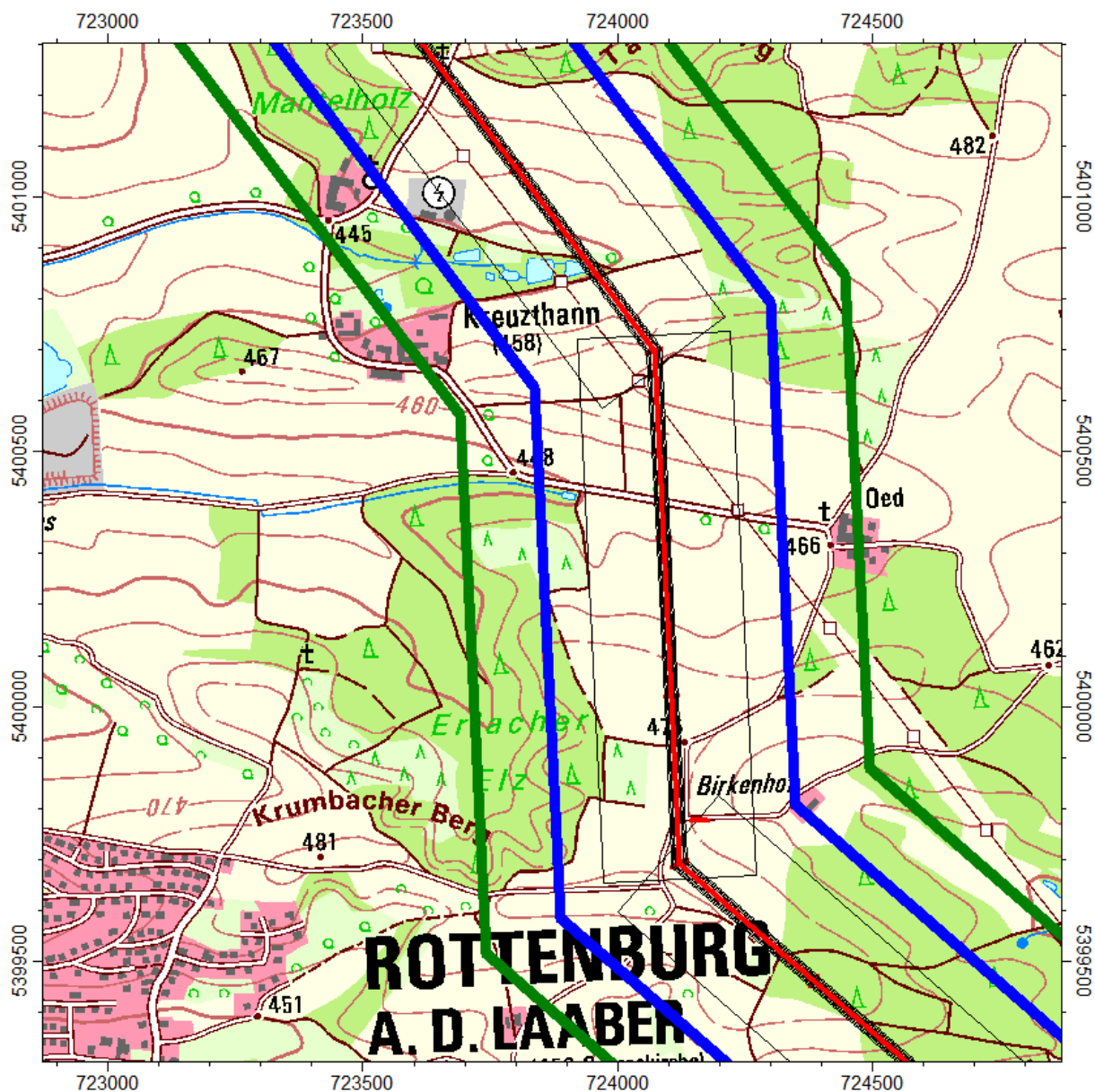


Abbildung 7: Trassenverlauf im Bereich Birkenhof und Kreuzthann

Der für die schalltechnisch ungünstigste Variante 2c, Gründung mit Rammgerät, notwendige Mindestabstand von hier 235 m (gemessen zum Mast Nr. 45) wird an der schutzbedürftigen Bebauung in den Rottenburger Ortsteilen/Weiler Schlamburg, Pfifferling und Oberndorf sowie im Hohenhanner Ortsteil Schmidhof jeweils überschritten.

### Bereich Rottenburger Ortsteile/Weiler Oberaichgarten und Unteraichgarten

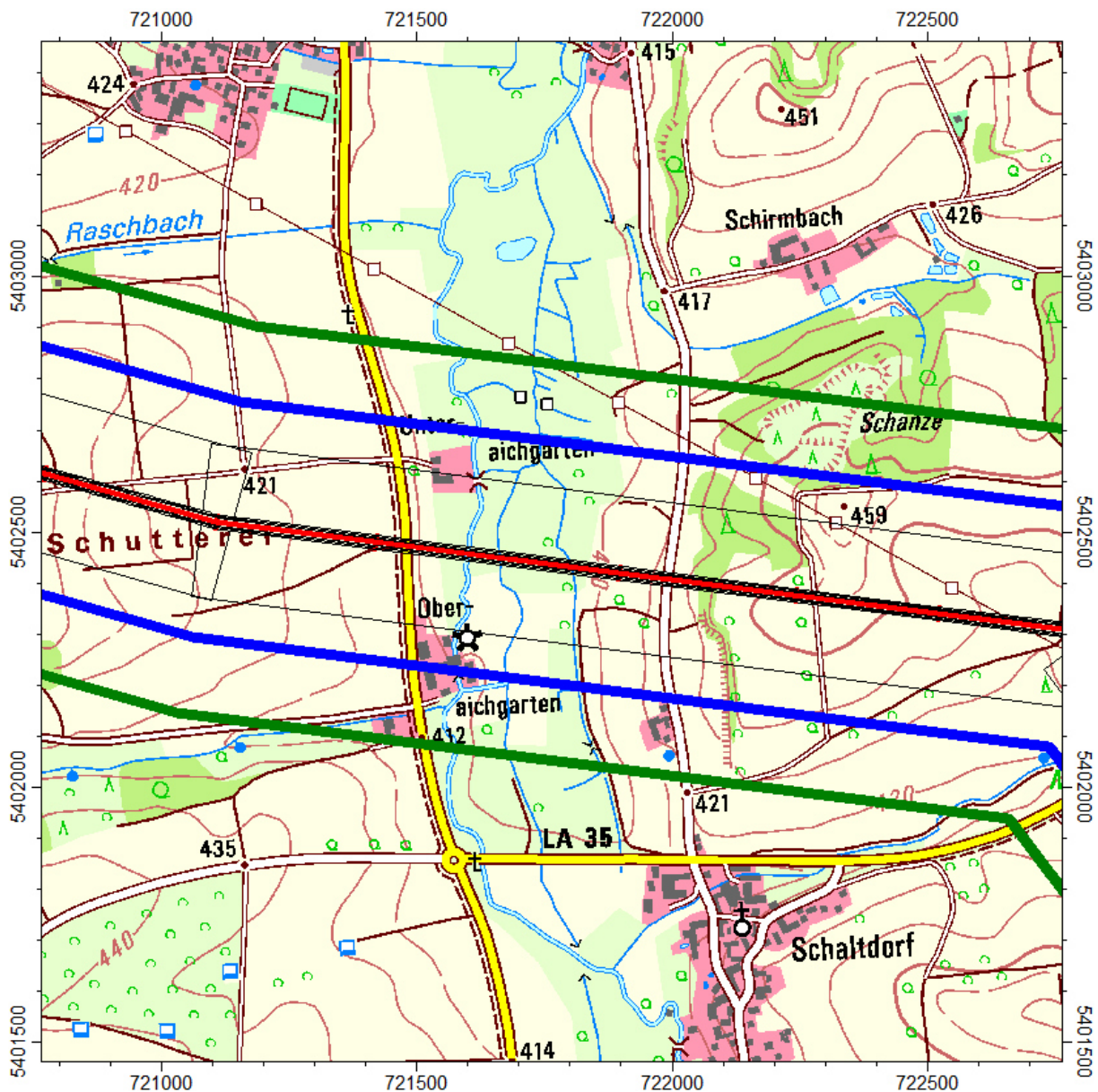


Abbildung 8: Trassenverlauf im Bereich Oberaichgarten und Unteraichgarten

Der für die schalltechnisch ungünstigste Variante 2c, Gründung mit Rammgerät, notwendige Mindestabstand von hier 235 m (gemessen zum Mast Nr. 72) wird an der schutzbedürftigen Bebauung im Rottenburger Ortsteil/Weiler Oberaichgarten überschritten.

Im Ortsteil Unteraichgarten befindet sich keine schutzbedürftige Bebauung.



## Bereich Kirchdorfer Ortsteil Bettellohe

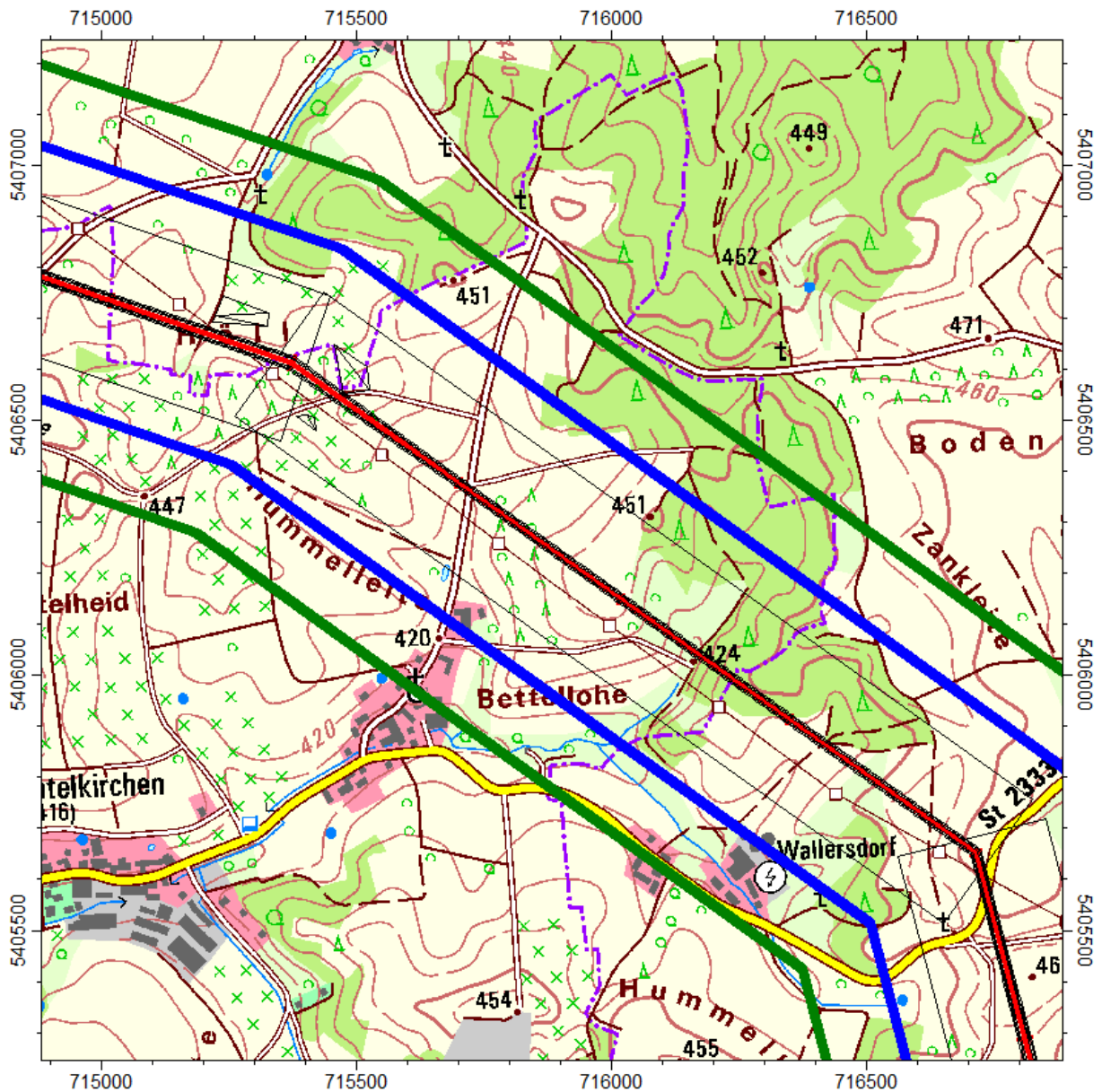


Abbildung 9: Trassenverlauf im Bereich Bettellohe

Der für die schalltechnisch ungünstigste Variante 2c, Gründung mit Rammgerät, notwendige Mindestabstand von hier 235 m (gemessen zum Mast Nr. 93) wird an der schutzbedürftigen Bebauung im Kirchdorfer Ortsteil Bettellohe eingehalten bzw. knapp überschritten.

## Bereich Abensberger Ortsteil/Weiler Lehen

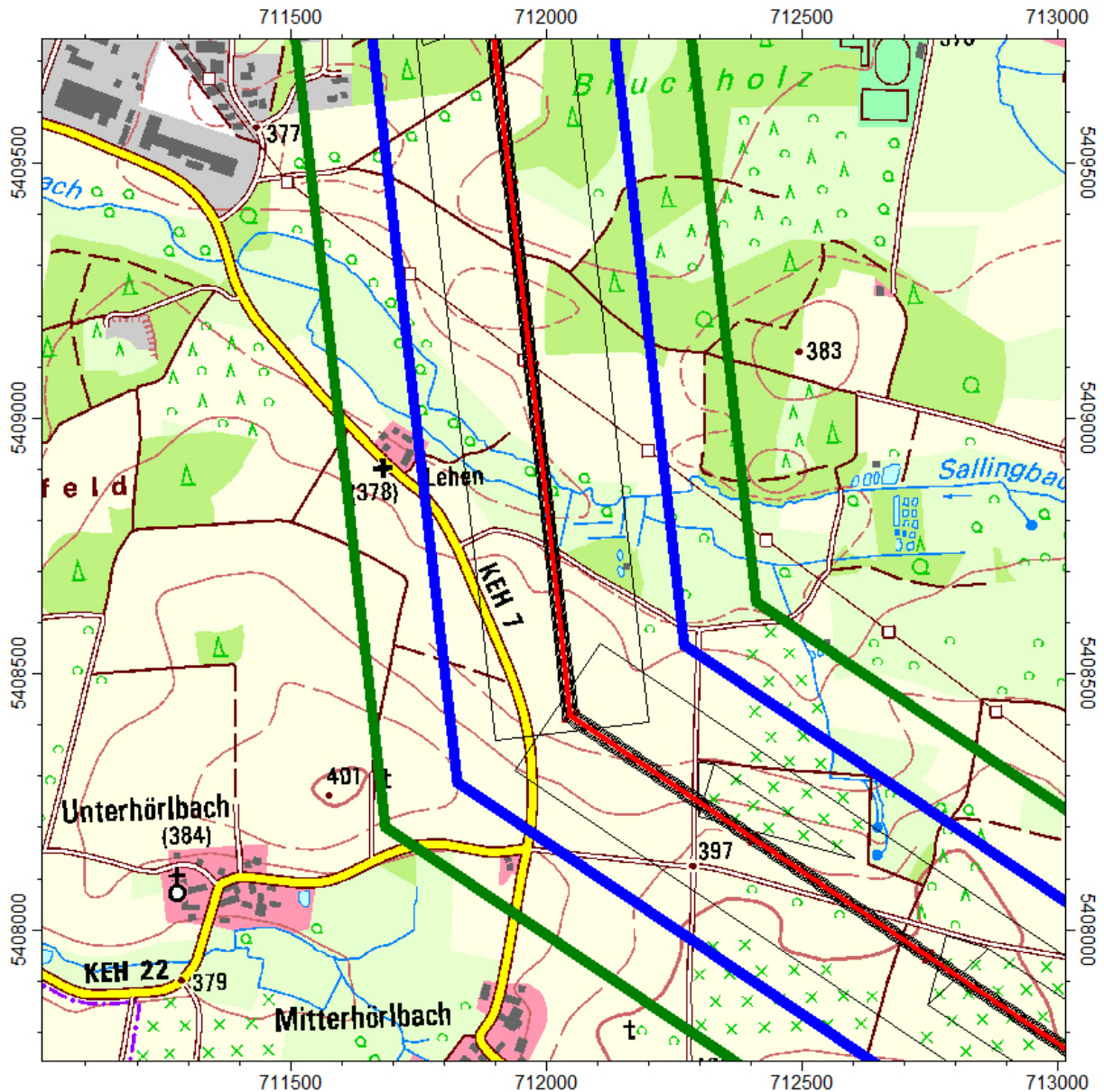


Abbildung 10: Trassenverlauf im Bereich Lehen

Der für die schalltechnisch ungünstigste Variante 2c, Gründung mit Rammgerät, notwendige Mindestabstand von hier 235 m (gemessen zu den Masten Nr. 105 und 106) wird an der schutzbedürftigen Bebauung im Abensberger Ortsteil/Weiler Lehen überschritten.

Aus der Gesamtheit dieser erarbeiteten Ergebnisse kann für sämtliche weiter entfernte schutzbedürftige Bebauungen entlang der Trasse abgeleitet werden, dass der dort jeweils zulässige Immissionsrichtwert der AVV Baulärm eingehalten bzw. unterschritten wird.

Wie o. a. wird der für allgemeine Wohngebiete WA notwendige Mindestabstand von 385 m innerhalb des östlichen Teilbereichs des im Essenbacher Ortsteils Altheim gelegenen Plangebiets



„Müllerfeld“ unterschritten, der Immissionsrichtwert der AVV Baulärm in Höhe von 55 dB(A) wird um bis zu maximal 4 dB(A) überschritten.

Der bereits mehrfach thematisierte um 5 dB(A) höhere „Eingreifwert“, der im Rahmen einer Prognose formal nicht anzuwenden ist, wird eingehalten bzw. unterschritten.

Bei allen weiteren Bauphasen wird der jeweilige Mindestabstand zum Wohngebiet „Müllerfeld“ allgemein bzw. speziell zu sämtlichen hierin zu betrachtenden Immissionsorten überschritten, somit wird der Immissionsrichtwert eingehalten bzw. unterschritten.

Aufgrund der oben konstatierten Überschreitung des Immissionsrichtwerts beim Neubau der Masten Nr. 4 bis 6 mit dem Bauverfahren zur Mastgründung mit Rammgerät (Variante 2c), wären entweder Schallschutzmaßnahmen erforderlich oder es wird (in Abhängigkeit des Untergrunds am Standort) eines der beiden leiseren Verfahren entsprechend Variante 2a (Flachgründung, Stufen-/Plattenfundament) oder 2b (Gründung mit Bohrgerät) angewandt.

Für diesen Fall wird der Immissionsrichtwert der AVV Baulärm in Höhe von 55 dB(A) dann eingehalten bzw. unterschritten, aus fachtechnischer Sicht wäre die Anwendung eines dieser beiden leiseren Verfahren ohnehin zu präferieren.

Grundsätzlich gilt, dass sich gemäß Punkt 4.1 AVV Baulärm die Notwendigkeit von Schallminderungsmaßnahmen erst bei einer durch Schallpegelmessungen an einer konkreten Baustellensituation nach AVV Baulärm nachgewiesenen Überschreitung der Immissionsrichtwerte um mehr als 5 dB(A) (und somit Erreichen der „Eingreifwerte“) ergibt.

Dies ist im vorliegenden Fall wie o. a. selbst bei Anwendung des schalltechnisch ungünstigsten Bauverfahrens nicht zu erwarten.

Des Weiteren sind Minderungsmaßnahmen generell einzelfallbezogen und stets hinsichtlich ihrer prinzipiellen Anwendbarkeit sowie der Wirtschaftlichkeit zu prüfen. Hierbei ist auch die Gesamtdauer der Baustelle, die Dauer der jeweiligen einzelnen Bauabschnitte und wohl auch die Anzahl der konkret Betroffenen (die im vorliegenden Fall sicherlich eher gering ist) mit einzubeziehen.

Grundsätzlich gilt für alle Betriebszustände der Baustellen, dass in Ausnahmefällen Tätigkeiten bzw. Vorgänge wie z. B. Lkw-Anlieferungen im Speziellen in den Sommermonaten auch vor 07:00 Uhr sowie nach 20:00 Uhr (und somit innerhalb des Nachtzeitraumes nach AVV Baulärm) erfolgen können (vgl. Punkt 4.2.1). Dies ist dabei jedoch ausschließlich auf die Zeiträume von 06:00 Uhr bis 07:00 Uhr sowie von 20:00 bis 21:00 Uhr zu beschränken.

Für diesen Fall ist aufgrund der gegebenen Abstandsverhältnissen zwischen den Standorten der potenziellen Baustellen und den maßgeblichen Immissionsorten im Einwirkungsbereich sowie unter Berücksichtigung des Umstandes dass im Rahmen möglicher o. a. Anlieferungen keine geräuschintensiven Tätigkeiten/Vorgänge erfolgen werden, eine Überschreitung des jeweils nachts zulässigen Immissionsrichtwertes der AVV Baulärm nicht zu erwarten.



Wie bereits in Punkt 4.2.1 ausgeführt, kann in Abhängigkeit vom Untergrund beim Neubau der Mastfundamente u. U. eine Wasserhaltung erforderlich sein, hierbei kann sich auch die Notwendigkeit eines kontinuierlichen 24-stündigen Pumpen- und Stromaggregatbetriebs (somit auch nachts) ergeben.

Um für diesen Fall den an den maßgeblichen Immissionsorten jeweils zulässigen Immissionsrichtwert einhalten zu können bzw. unter Einbeziehung des Standes der Lärmbekämpfungstechnik hinreichend unterschreiten zu können, ist für die eingesetzten Pumpen etc. in Summe ein maximal zulässiger, immissionswirksamer Schalleistungspegel von 85 dB(A) einzuhalten. Die Einhaltung dieses Wertes kann auch durch eine maßgebliche Minderung der Geräuschemissionen und somit auch Immissionen (z. B. Einhausung, Aufstellung in Containern) sichergestellt werden.

#### **4.4.2 Trassenrückbau**

Die rückzubauende 220-kV Bestandsleitung (Verlauf gemäß der hellblauen Linie in den folgenden Abbildungen) befindet sich z. T. nur in relativ geringem Abstand zur jeweils nächstgelegenen schutzbedürftigen Bebauung, im Besonderen betrifft dies das Stadtgebiet von Abensberg.

Im Folgenden werden somit sämtliche Bebauungen im Einwirkungsbereich der jeweiligen Masten der Bestandstrasse betrachtet, bei denen eine Unterschreitung der in Tabelle 8 aufgeführten, notwendigen Mindestabstände zwischen potenziellen Immissionsorten und der Baustelle evtl. zu erwarten ist. Dies wird jeweils auf die beiden schalltechnisch ungünstigsten Phasen des Trassenrückbaus beim Fundamentabbruch mit Meißelbagger bzw. mit Abbruchzange bezogen.

Zur Veranschaulichung sind hierzu diese betroffenen Bebauungen in den folgenden Abbildungen (z. T. mit Markierung konkreter Immissionsorte) dargestellt, die parallel zur rückzubauenden Leitung einzuhaltenden Mindestabstände sind dabei wie folgt gekennzeichnet:

- 90 m (violette Linien), Mindestabstand für Außenbereichsbebauungen und Bebauungen in Mischgebieten bzw. Dorfgebieten bei Fundamentabbruch mit Abbruchzange
- 140 m (blaue Linien), Mindestabstand für Außenbereichsbebauungen und Bebauungen in Mischgebieten bzw. Dorfgebieten bei Fundamentabbruch mit Meißelbagger  
Mindestabstand für Wohngebiete (konkret allgemeine Wohngebiete WA) bei Fundamentabbruch mit Abbruchzange
- 235 m (grüne Linien), Mindestabstand für Wohngebiete (konkret allgemeine Wohngebiete WA) bei Fundamentabbruch mit Meißelbagger

## Nördlicher Randbereich von Essenbach

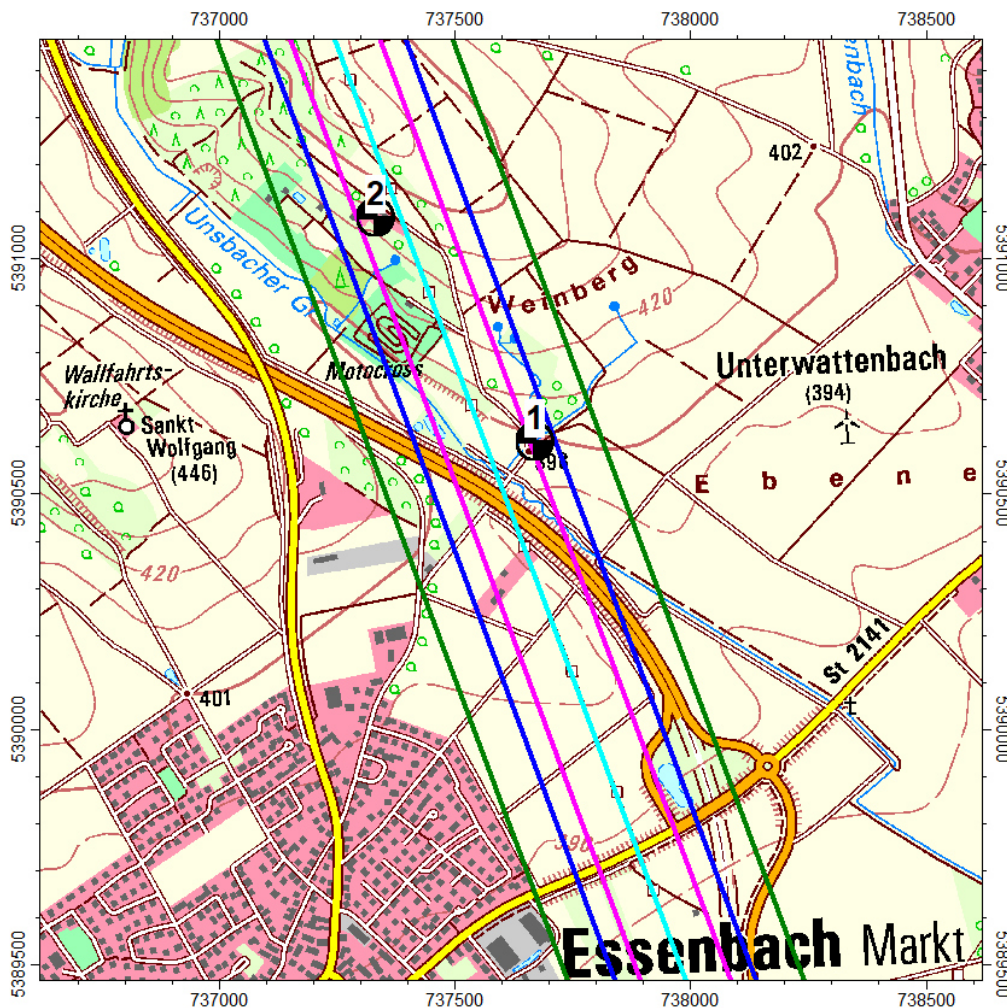


Abbildung 11: Trassenverlauf im Bereich nördlich von Essenbach

An dem in Abbildung 11 mit der Nummer 1 gekennzeichneten Immissionsort, Wohnhaus Flur-Nr. 1247, Gemarkung Essenbach wird der für die schalltechnisch ungünstigste Variante Fundamentabbruch mit Meißelbagger notwendige Mindestabstand von 140 m zwischen Immissionsort und dem nächstgelegenen Mast gerade noch eingehalten.

An dem mit der Nummer 2 gekennzeichneten Immissionsort, Wohnhaus Flur-Nr. 1342, Gemarkung Essenbach wird der für beide Varianten des Fundamentabbruchs notwendige Mindestabstand von 140 m bzw. 90 m zwischen Immissionsort und dem nächstgelegenen Mast unterschritten, der zulässige Immissionsrichtwert der AVV Baulärm wird somit überschritten.

Für den „leiseren“ Fundamentabbruch mit Abbruchzange beträgt das Maß der Überschreitung maximal 5 dB(A), bei der „lauteren“ Abbruchvariante mit Meißelbagger wird der Immissionsrichtwert um mehr als 5 dB(A) überschritten. Somit sind für diesen Immissionsort Maßnahmen zur Geräuschminderung bzw. Schallschutzmaßnahmen zu prüfen (vgl. Punkt 5).

## Bereich Essenbacher Ortsteil Unterunsbach

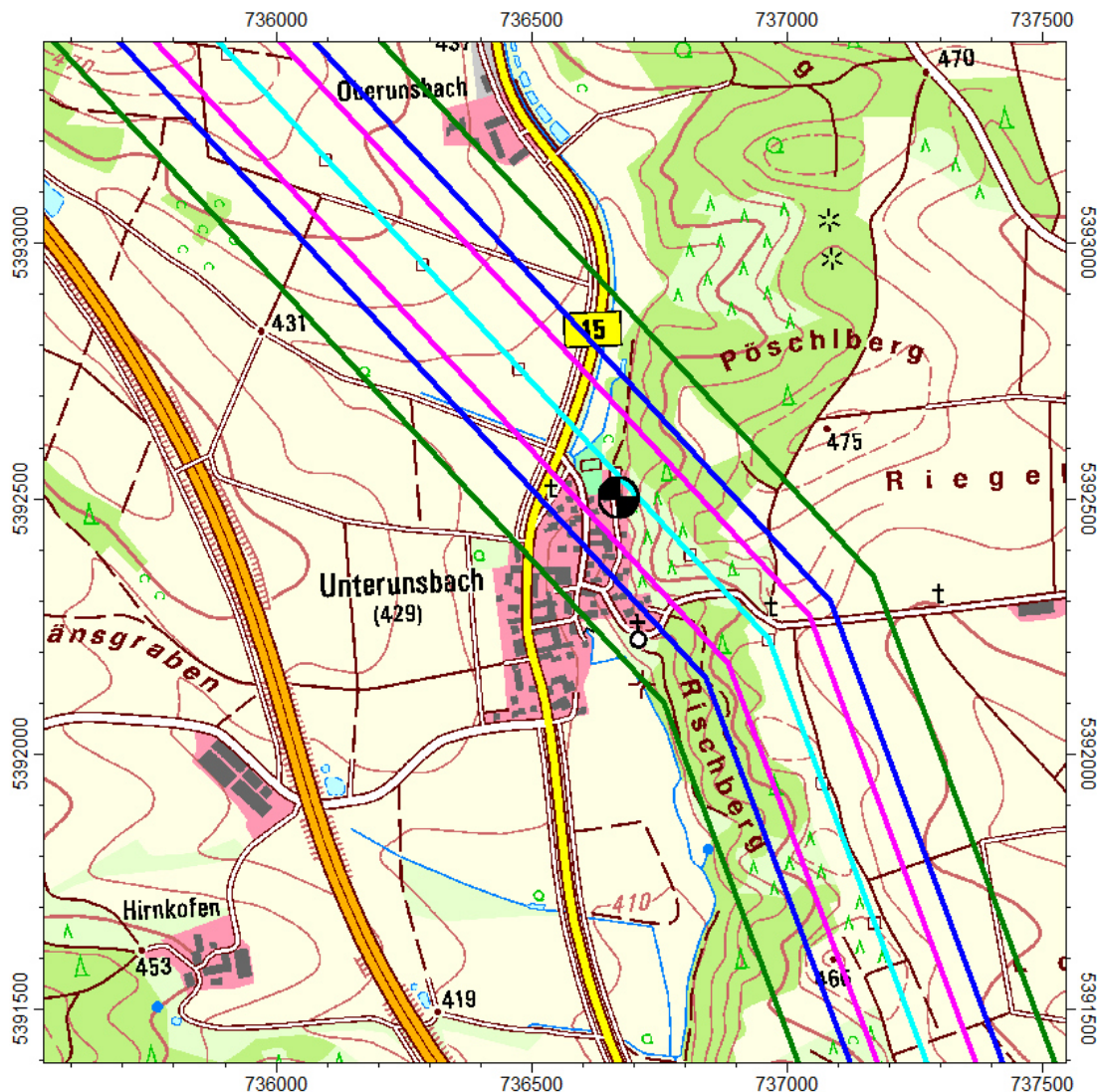


Abbildung 12: Trassenverlauf im Bereich Unterunsbach

Im nordöstlichen Bereich von Unterunsbach beträgt der Abstand des in unmittelbarer Nähe der Bebauung gelegenen Masten der Bestandsleitung zum nächstgelegenen Immissionsort, Wohnhaus Flur-Nr. 1247, Gemarkung Martinshaun < 50 m, somit wird der für beide Varianten des Fundamentabbruchs notwendige Mindestabstand von 140 m bzw. 90 m zwischen Immissionsort und dem nächstgelegenen Mast unterschritten. Der für Außenbereichsbebauungen und Bebauungen in Mischgebieten bzw. Dorfgebieten zulässige Immissionsrichtwert der AVV Baulärm in Höhe von 60 dB(A) wird somit überschritten.

Bei der „lauteren“ Abbruchvariante mit Meißelbagger wird der Immissionsrichtwert um mehr als 5 dB(A) überschritten, selbst für den „leiseren“ Fundamentabbruch mit Abbruchzange beträgt das Maß der Überschreitung > 5 dB(A). Somit sind für diesen Immissionsort Maßnahmen zur Geräuschminderung bzw. Schallschutzmaßnahmen zu prüfen (vgl. Punkt 5).

Bei Abbruch des Fundaments am etwa 220 m südöstlich des o. a. Masten (und ebenso auf dem

Grundstück Flur-Nr. 3273) gelegenen weiteren Masten der Bestandstrasse wird für die schalltechnisch ungünstigste Variante bei Einsatz eines Meißelbaggers der Immissionsrichtwert der AVV Baulärm am hierfür nächstgelegenen Immissionsort geringfügig um etwa 1 dB(A) überschritten. Für die Variante mit Einsatz einer Abbruchzange wird der Mindestabstand überschritten.

### Bereich Hohenthanner Ortsteil Oberergoldsbach und Weiler Weilmühle

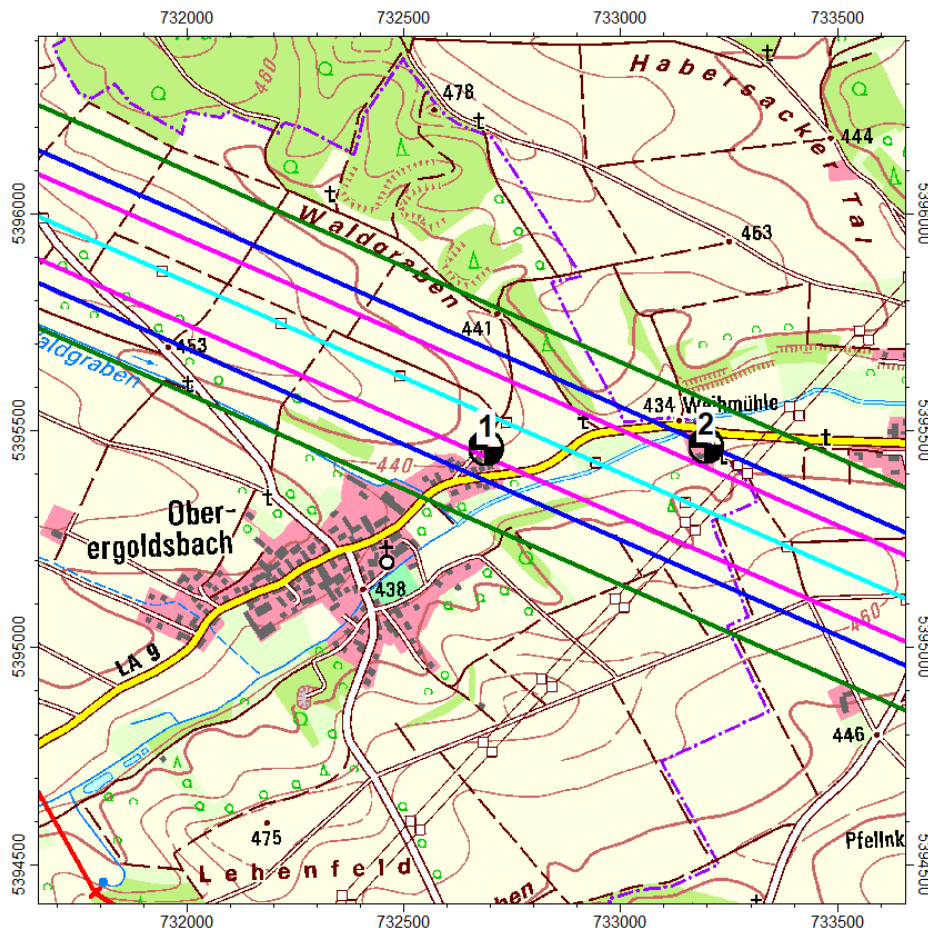


Abbildung 13: Trassenverlauf im Bereich Oberergoldsbach und Weilmühle

Im nordöstlichen Bereich von Oberergoldsbach beträgt der Abstand des auf Grundstück Flur-Nr. 153 der Gemarkung Oberergoldsbach gelegenen Masten zur nächstgelegenen schutzbedürftigen Bebauung auf dem Grundstück Flur-Nr. 154/1 (in Abbildung 13 mit der Nummer 1 gekennzeichnet) knapp 75 m, somit wird der für beide Varianten des Fundamentabbruchs notwendige Mindestabstand von 140 m bzw. 90 m zwischen Immissionsort und diesem Masten unterschritten. Der für Außenbereichsbebauungen und Bebauungen in Dorfgebieten zulässige Immissionsrichtwert der AVV Baulärm in Höhe von 60 dB(A) wird somit überschritten.

Bei der „lauteren“ Abbruchvariante mit Meißelbagger wird der Immissionsrichtwert um mehr als 5 dB(A) überschritten, für den „leiseren“ Fundamentabbruch mit Abbruchzange beträgt das Maß der Überschreitung lediglich etwa 2 dB(A). Somit sind für diesen Immissionsort für den Fall des Einsatzes des Abbruchverfahrens mit einem Meißelbagger Maßnahmen zur Geräuschminderung bzw. Schallschutzmaßnahmen zu prüfen (vgl. Punkt 5).

An der schutzbedürftigen Bebauung im Weiler Weilmühle bzw. am nächstgelegenen Immissionsort auf dem Grundstück Flur-Nr. 798 (in Abbildung 13 mit der Nummer 2 gekennzeichnet) wird der notwendige Mindestabstand von 140 m für die „laute“ Abbruchvariante gerade noch eingehalten.

### Bereich Hohenthanner Ortsteil/Weiler Mantel

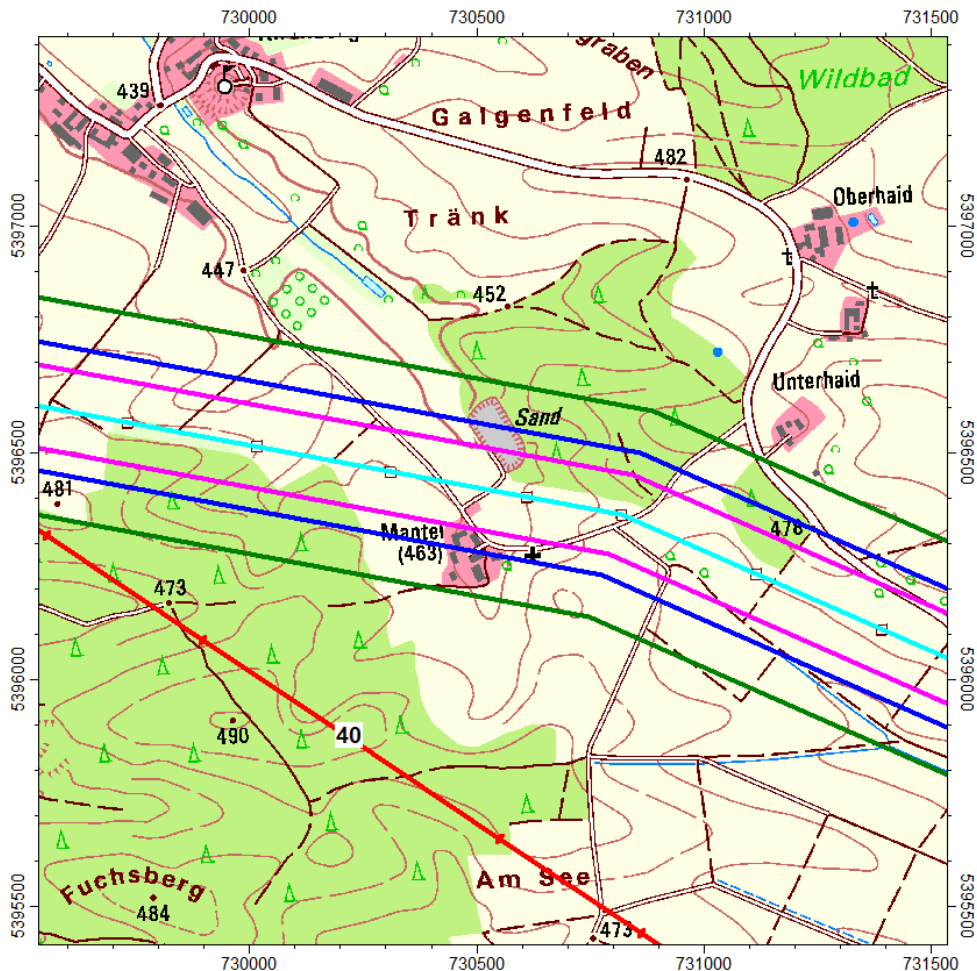


Abbildung 14: Trassenverlauf im Bereich Mantel

An der schutzbedürftigen Bebauung im Weiler Mantel bzw. am nächstgelegenen Immissionsort auf dem Grundstück Flur-Nr. 641, Gemarkung Andermannsdorf wird der notwendige Mindestabstand von 140 m für die „laute“ Abbruchvariante gerade noch eingehalten.



## Bereich Hohenthanner Ortsteile/Weiler Gambachreuth und Gatzkofen

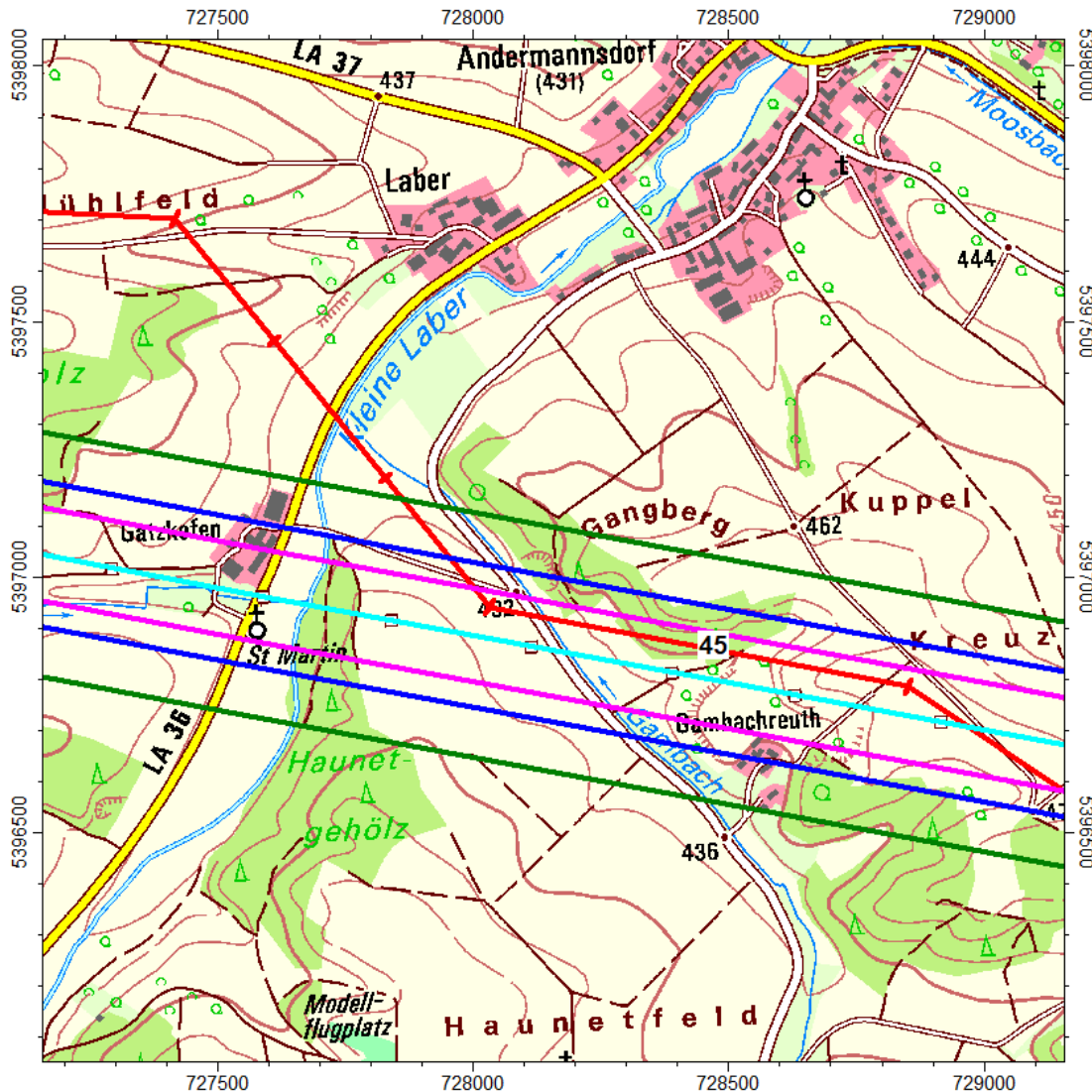


Abbildung 15: Trassenverlauf im Bereich Gambachreuth und Gatzkofen

An der schutzbedürftigen Bebauung im Weiler Gambachreuth bzw. am nächstgelegenen Immissionsort auf dem Grundstück Flur-Nr. 423, Gemarkung Andermannsdorf wird der notwendige Mindestabstand von 140 m für die „laute“ Abbruchvariante eingehalten bzw. überschritten.

An der schutzbedürftigen Bebauung im Weiler Gatzkofen bzw. am nächstgelegenen Immissionsort auf dem Grundstück Flur-Nr. 1311, Gemarkung Andermannsdorf wird der notwendige Mindestabstand von 140 m für die „laute“ Abbruchvariante nicht eingehalten bzw. überschritten. Der Immissionsrichtwert der AVV Baulärm von 60 dB(A) wird hierbei um  $< 5$  dB(A) überschritten. Für die Variante mit Einsatz einer Abbruchzange wird der Mindestabstand überschritten d. h. der Immissionsrichtwert wird eingehalten bzw. unterschritten.

## Bereich Hohenthanner Ortsteil/Weiler Schmidhof und Rottenburger Ortsteile/Weiler Pfifferling und Oberndorf

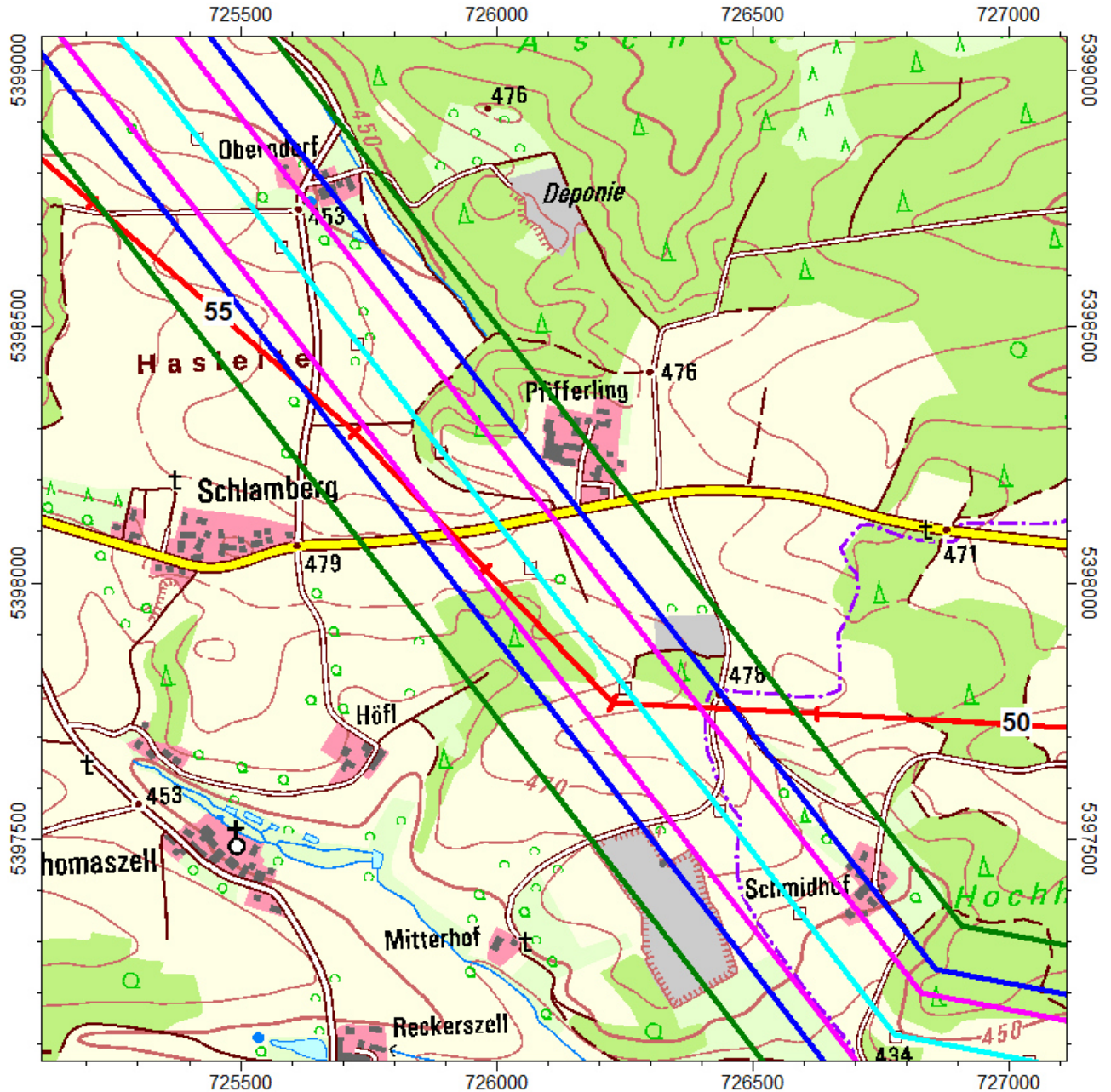


Abbildung 16: Trassenverlauf im Bereich Schmidhof, Pfifferling und Oberndorf

An der schutzbedürftigen Bebauung im Weiler Schmidhof bzw. am nächstgelegenen Immissionsort auf dem Grundstück Flur-Nr. 1307/1, Gemarkung Andermannsdorf wird der notwendige Mindestabstand von 140 m für die „laute“ Abbruchvariante noch eingehalten.

Gleiches gilt für die schutzbedürftige Bebauung in den Rottenburger Ortsteilen/Weilern Pfifferling und Oberndorf (jeweils auf der Gemarkung Oberrotterbach gelegene Grundstücke).

### Bereich Rottenburger Ortsteile/Weiler Oed und Kreuzthann

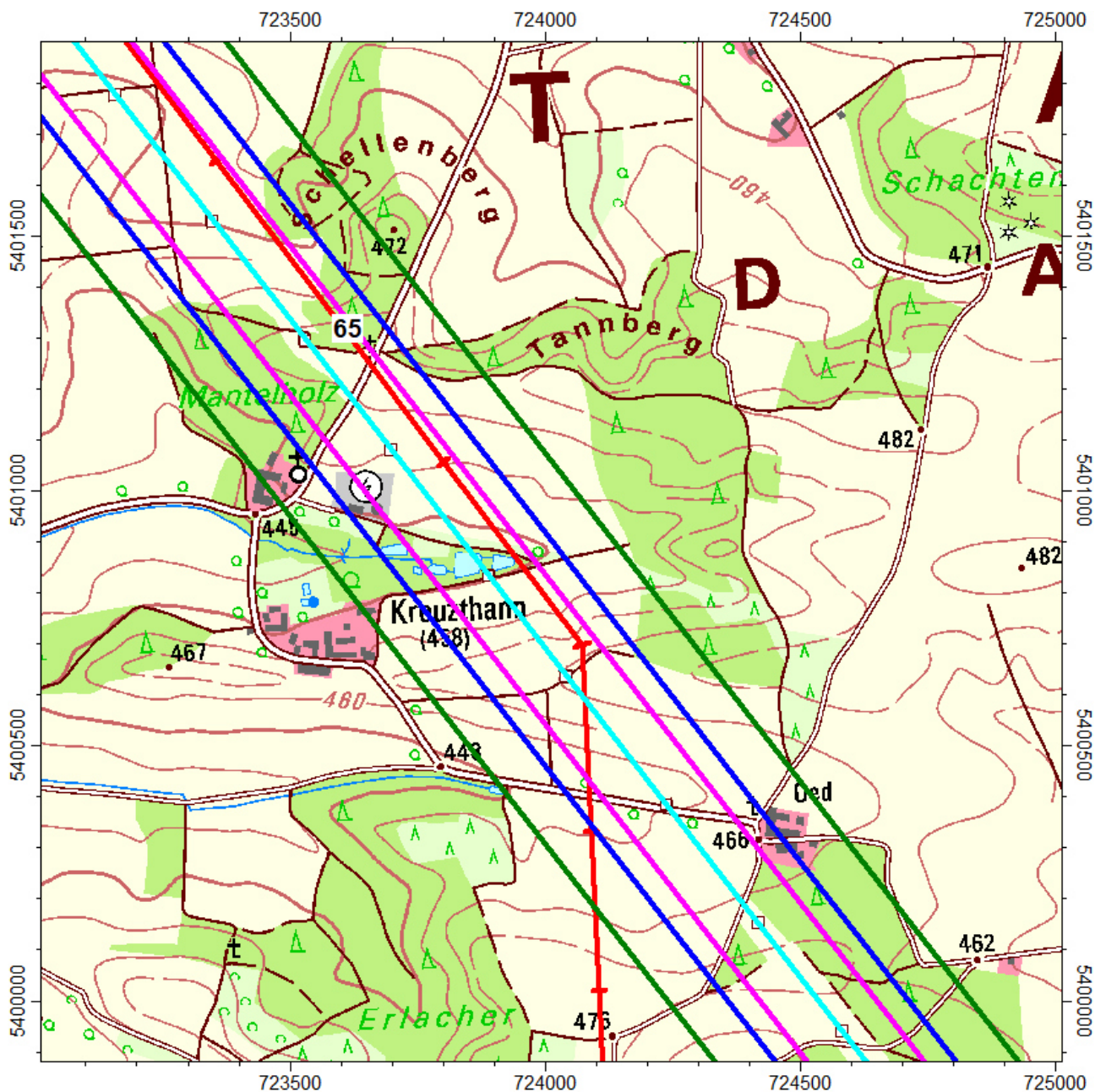


Abbildung 17: Trassenverlauf im Bereich Oed und Kreuzthann

An der schutzbedürftigen Bebauung in den Weilern Oed und Kreuzthann (jeweils auf der Gemarkung Pattendorf gelegene Grundstücke) wird der notwendige Mindestabstand von 140 m für die „laute“ Abbruchvariante eingehalten bzw. überschritten.

## Bereich Rottenburger Ortsteil Niedereulenbach

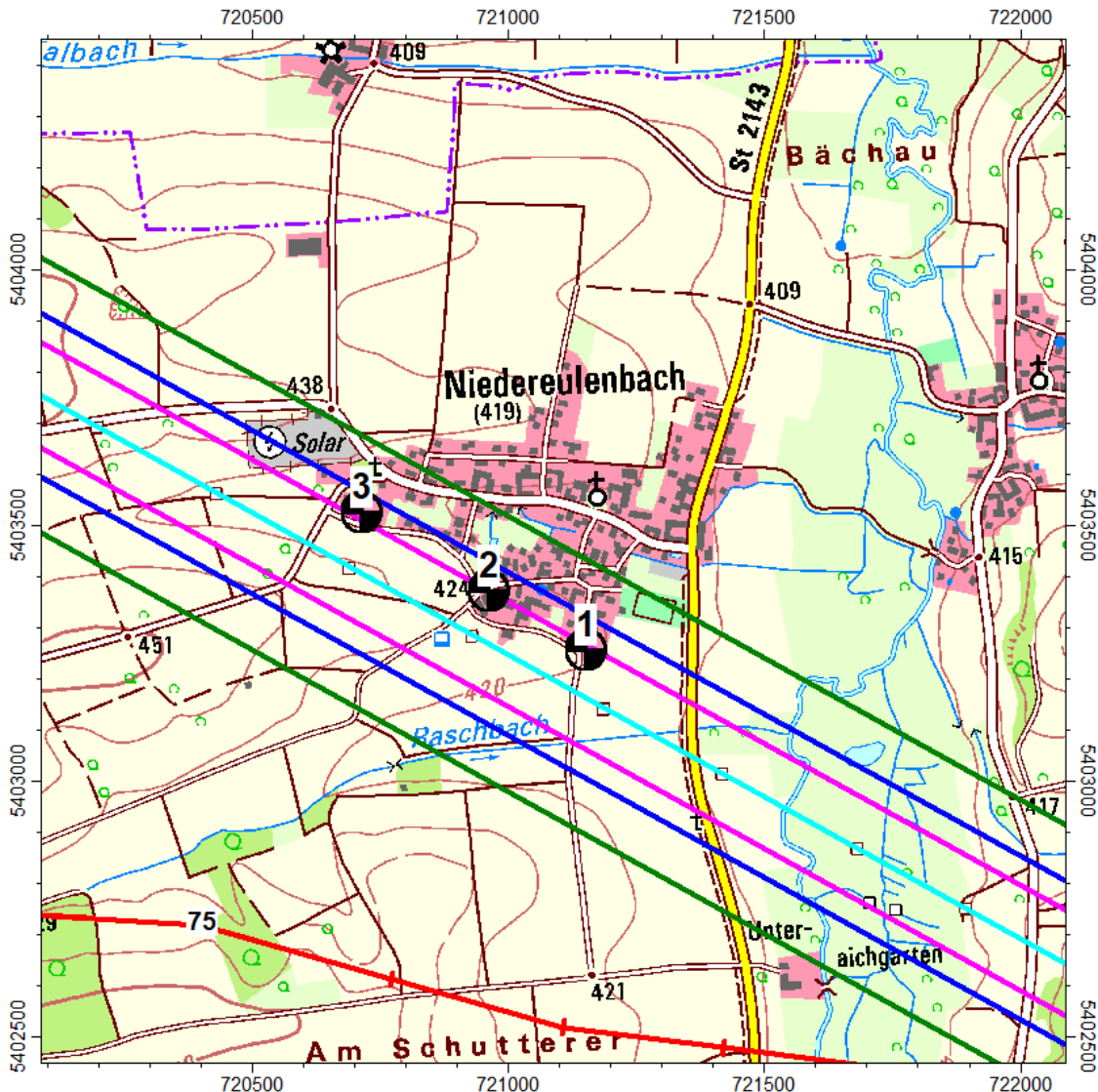


Abbildung 18: Trassenverlauf im Bereich Niedereulenbach

Im südöstlichen Bereich von Niedereulenbach beträgt der Abstand des auf Grundstück Flur-Nr. 52 der Gemarkung Niedereulenbach gelegenen Masten zur nächstgelegenen schutzbedürftigen Bebauung auf dem Grundstück Flur-Nr. 51/3 (in Abbildung 18 mit der Nummer 1 gekennzeichnet) etwa 110 m, der notwendige Mindestabstand von 140 m für die Abbruchvariante mit Meißelbagger wird somit unterschritten. Der für Außenbereichsbebauungen und Bauungen in Dorfgebieten zulässige Immissionsrichtwert der AVV Baulärm in Höhe von 60 dB(A) wird somit überschritten, das Maß der Überschreitung beträgt jedoch lediglich 2 dB(A).

Der Abstand des auf Grundstück Flur-Nr. 446 der Gemarkung Niedereulenbach gelegenen Masten zur nächstgelegenen schutzbedürftigen Bebauung auf dem Grundstück Flur-Nr. 44 (in Abbildung 18 mit der Nummer 2 gekennzeichnet) beträgt etwa 90 m, der notwendige Mindestabstand von 140 m für die Abbruchvariante mit Meißelbagger wird somit unterschritten, der Immissionsrichtwert der AVV Baulärm wird um ein Maß von < 5 dB(A) überschritten.

Der Abstand des auf Grundstück Flur-Nr. 471 der Gemarkung Niedereulenbach gelegenen Masten zur nächstgelegenen schutzbedürftigen Bebauung auf dem Grundstück Flur-Nr. 474 (in Abbildung 18 mit der Nummer 3 gekennzeichnet) beträgt knapp 110 m, der notwendige Mindestabstand von 140 m für die Abbruchvariante mit Meißelbagger wird somit unterschritten, der Immissionsrichtwert der AVV Baulärm wird lediglich um ein Maß von 2 dB(A) überschritten.

### Bereich Ortsteile/Weiler Kiefernühle und Obereulenbach der Gemeinde Rohr i. NB

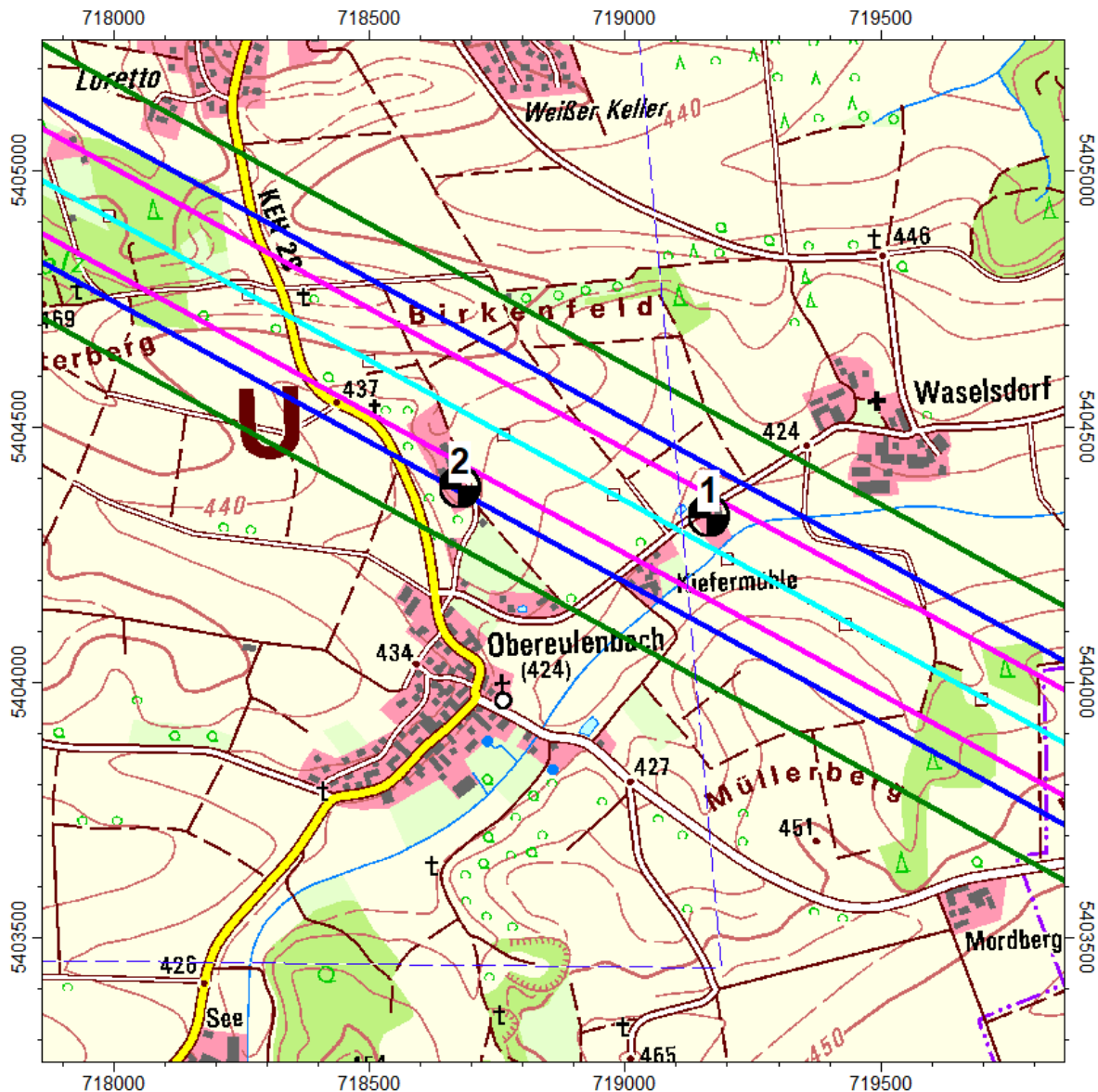


Abbildung 19: Trassenverlauf im Bereich Obereulenbach und Kiefernühle

Der Abstand des auf Grundstück Flur-Nr. 333 der Gemarkung Obereulenbach gelegenen Masten zur nächstgelegenen schutzbedürftigen Bebauung des Weilers Kiefernühle auf dem Grundstück Flur-Nr. 44 (in Abbildung 19 mit der Nummer 1 gekennzeichnet) beträgt etwa 90 m, der notwendige Mindestabstand von 140 m für die Abbruchvariante mit Meißelbagger wird somit unterschritten, der Immissionsrichtwert der AVV Baulärm wird um ein Maß von < 5 dB(A) überschritten.

Der Abstand des auf Grundstück Flur-Nr. 246 der Gemarkung Oberereulenbach gelegenen Masten zur nächstgelegenen schutzbedürftigen Bebauung auf dem Grundstück Flur-Nr. 233 (in Abbildung 19 mit der Nummer 2 gekennzeichnet) beträgt etwa 130 m, der notwendige Mindestabstand von 140 m für die Abbruchvariante mit Meißelbagger wird somit knapp unterschritten, der Immissionsrichtwert der AVV Baulärm wird lediglich um weniger als 1 dB(A) überschritten.

### Bereich Rohrer bzw. Kirchdorfer Ortsteile/Weiler Wallersdorf und Bettellohe

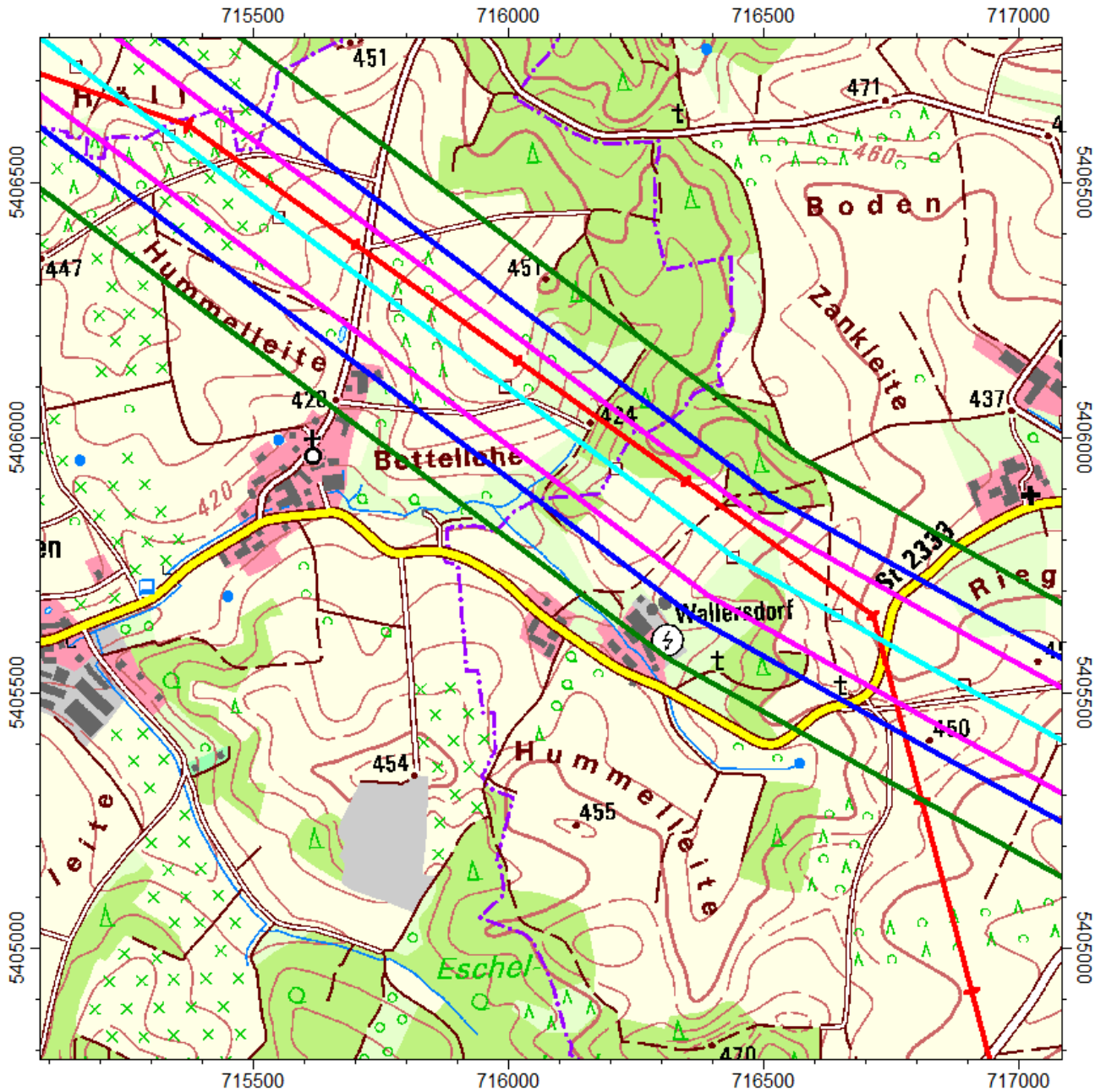


Abbildung 20: Trassenverlauf im Bereich Wallersdorf und Bettellohe

An der schutzbedürftigen Bebauung in den Weilern Wallersdorf und Bettellohe (auf der Gemarkung Rohr i. NB bzw. Kirchdorf gelegene Grundstücke) wird der notwendige Mindestabstand von 140 m für die „laute“ Abbruchvariante eingehalten bzw. überschritten.

## Bereich Ortsteil Gaden der Stadt Abensberg

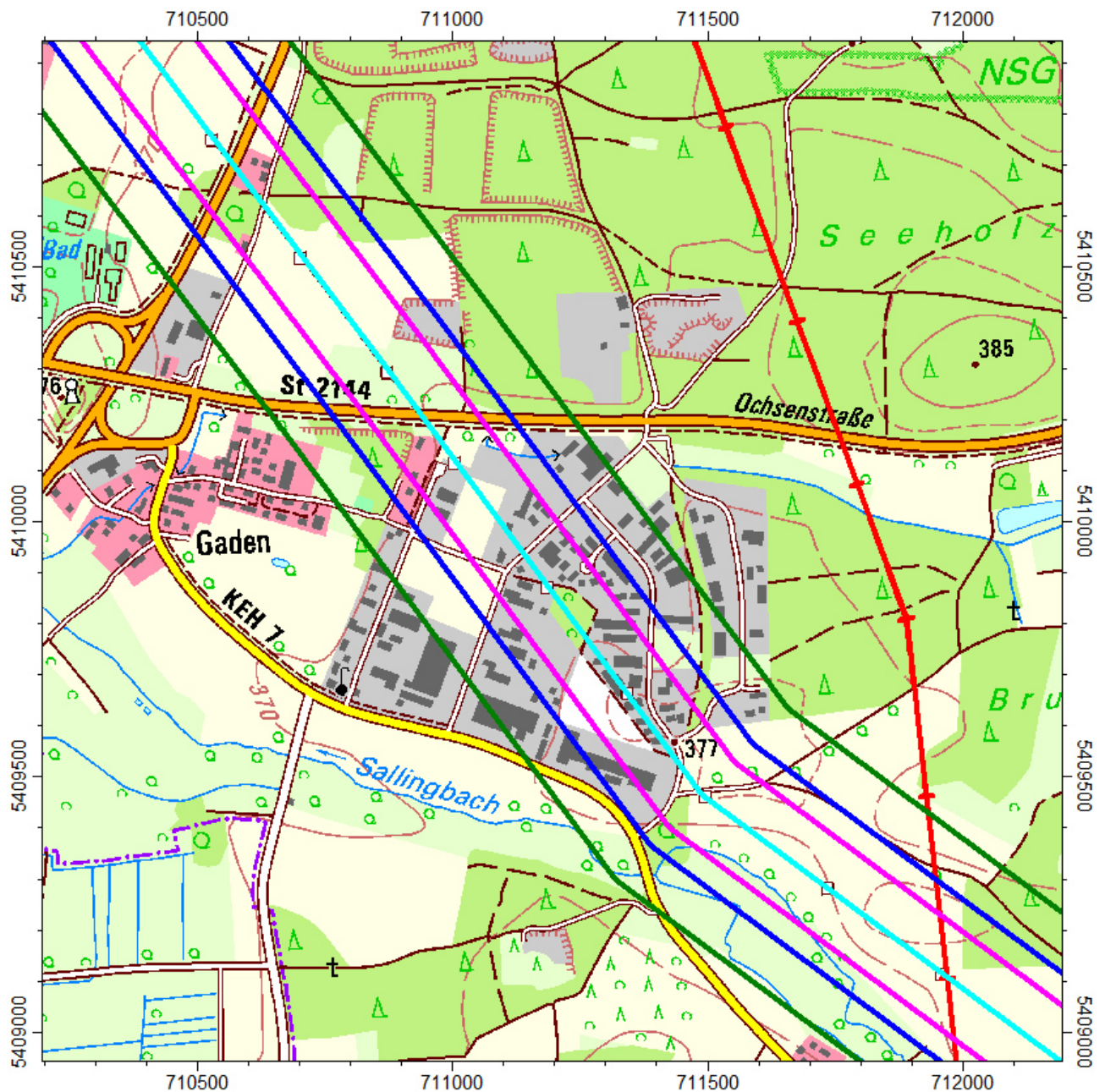


Abbildung 21: Trassenverlauf im Bereich Gaden

An schutzbedürftigen Immissionsorten innerhalb des ausgedehnten Industrie-/Gewerbegebietes Gaden werden die zulässigen Mindestabstände gemäß Tabelle 8 für alle Abbruchvarianten überschritten, der Immissionsrichtwert der AVV Bauärm wird somit jeweils eingehalten/unterschritten. Gleiches gilt für die westlich anschließende Wohnbebauung bzw. gemischte Bebauung in Gaden.

## Östlicher Bereich der Stadt Abensberg

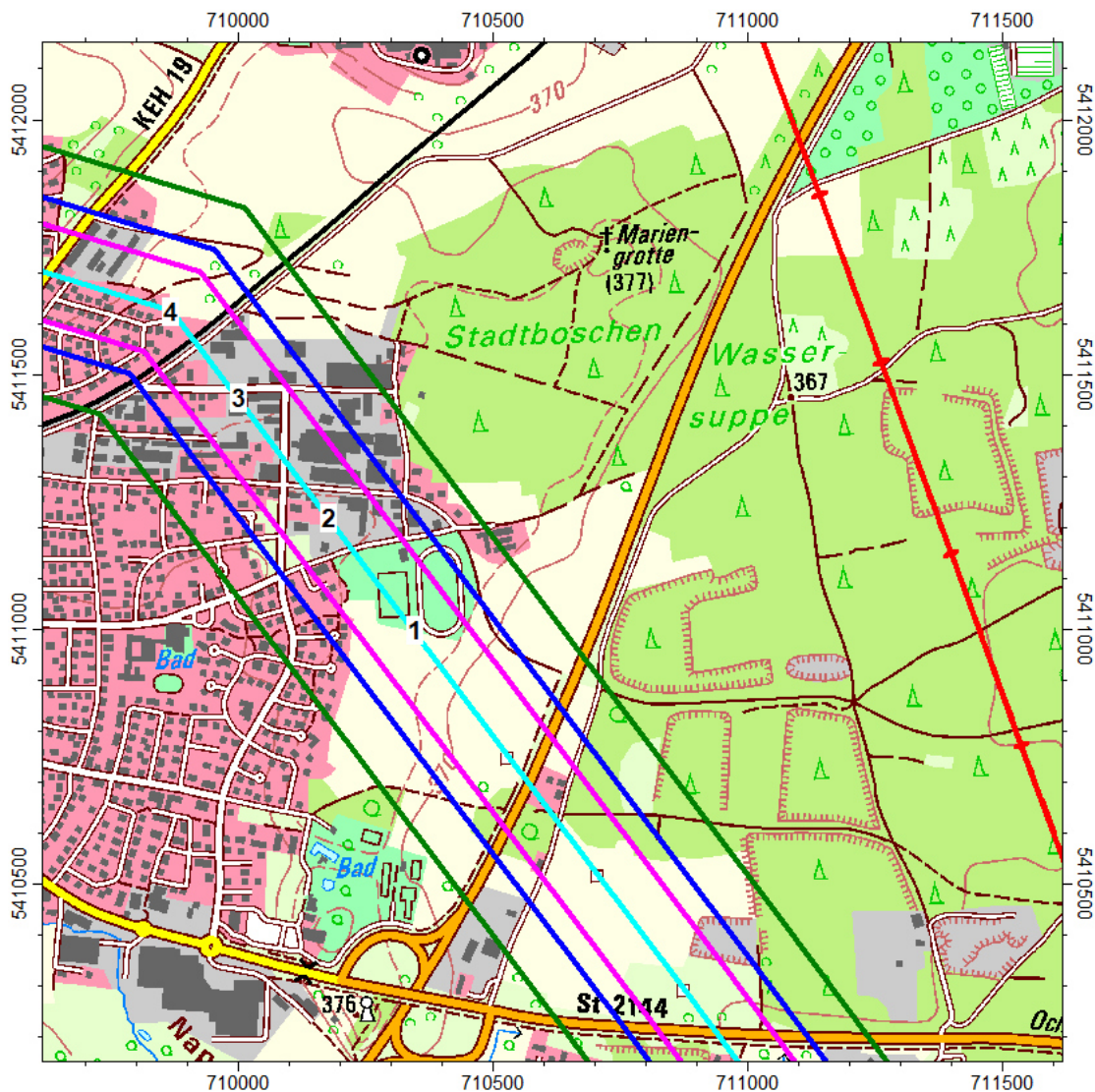


Abbildung 22: Trassenverlauf im östlichen Stadtgebiet von Abensberg

Der Abstand des auf Grundstück Flur-Nr. 914/3 der Gemarkung Abensberg gelegenen Masten (in Abbildung 22 mit der Nummer 1 gekennzeichnet) zur nächstgelegenen schutzbedürftigen Wohnbebauung an der Straße „An den Sandwellen“ beträgt etwa 140 m, der notwendige Mindestabstand von 140 m für die Abbruchvariante mit Meißelbagger wird somit unterschritten, der Immissionsrichtwert der AVV Baulärm wird um ein Maß von  $< 5$  dB(A) überschritten.

Für den auf Grundstück Flur-Nr. 1190/82 der Gemarkung Abensberg gelegenen Masten (in Abbildung 22 mit der Nummer 2 gekennzeichnet) beträgt der Abstand zur o. g. Wohnbebauung etwa 100 m, der notwendige Mindestabstand von 140 m für die Abbruchvariante mit Meißelbagger wird unterschritten, der Immissionsrichtwert der AVV Baulärm wird um etwa 3 dB(A) überschritten.

Der Abstand des auf Grundstück Flur-Nr. 914/3 der Gemarkung Abensberg gelegenen Masten (in Abbildung 22 mit der Nummer 3 gekennzeichnet) zur nächstgelegenen schutzbedürftigen Bebauung auf dem Grundstück Flur-Nr. 1180/1 beträgt knapp 50 m.



Die notwendigen Mindestabstände von 140 m (Abbruch mit Meißelbagger) bzw. 90 m (Abbruch mit Abbruchzange) werden jeweils unterschritten. Der Immissionsrichtwert der AVV Baulärm wird bei der Abbruchvariante mit Abbruchzange um ein Maß von  $< 5$  dB(A) überschritten, bei der „lauteren“ Abbruchvariante mit Meißelbagger beträgt die Überschreitung mehr als 5 dB(A) überschritten. Somit sind für diesen Immissionsort bzw. beim Abbruch dieses Masten Maßnahmen zur Geräuschminderung bzw. Schallschutzmaßnahmen zu prüfen (vgl. Punkt 5).

Für den auf Grundstück Flur-Nr. 1053 der Gemarkung Abensberg gelegenen Masten (in Abbildung 22 mit der Nummer 4 gekennzeichnet) beträgt der Abstand zu den nächstgelegenen Immissionsorten (Grundstücke Flur-Nr. 1056/3 und 1174/9) innerhalb der Wohnbebauung an der Lesingstraße und Goethestraße etwa 40 m. Die notwendigen Mindestabstände werden somit für beide Abbruchvarianten deutlich unterschritten, der Immissionsrichtwert der AVV Baulärm wird jeweils um mehr als 5 dB(A) überschritten. Somit sind für diesen Immissionsort bzw. beim Abbruch dieses Masten Maßnahmen zur Geräuschminderung bzw. Schallschutzmaßnahmen zu prüfen (vgl. Punkt 5).

### Nördlicher Bereich der Stadt Abensberg

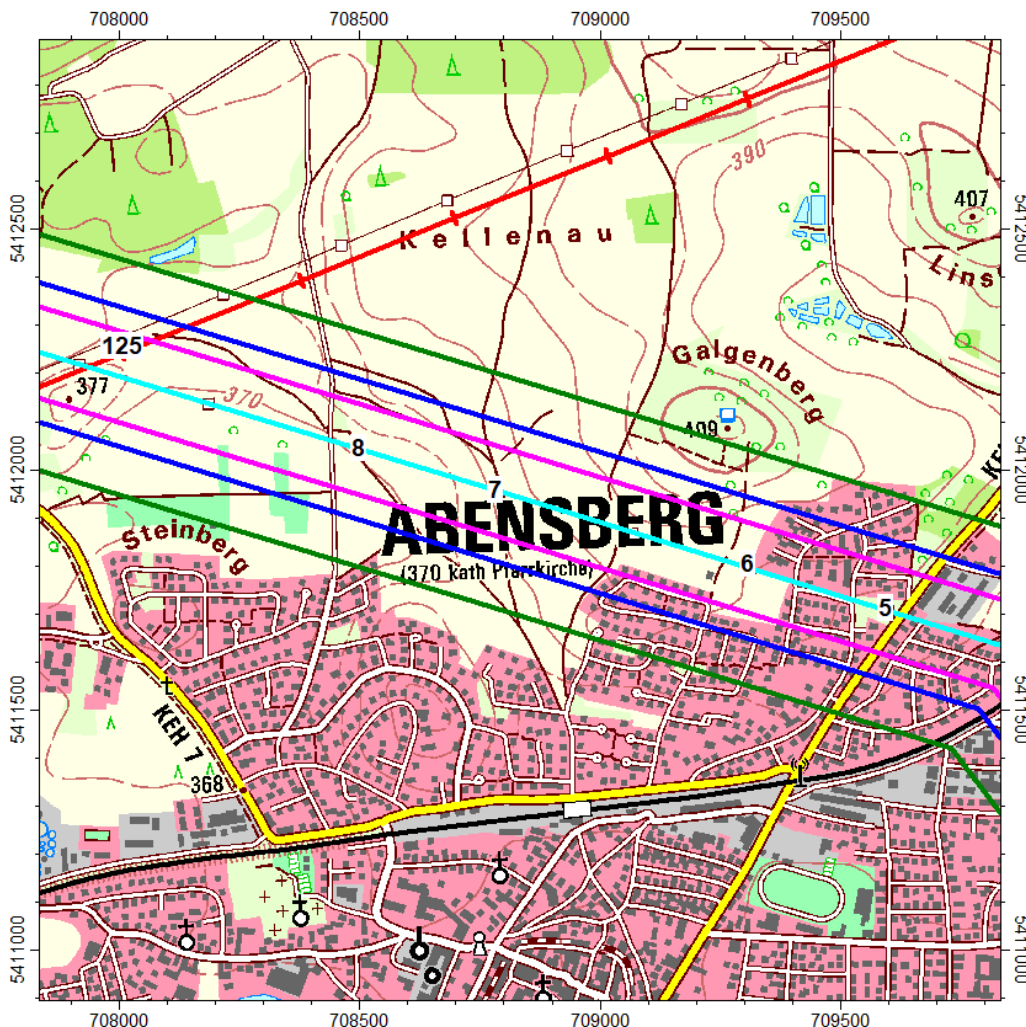


Abbildung 23: Trassenverlauf im nördlichen Stadtgebiet von Abensberg



Für die beiden auf den Grundstücken Flur-Nr. 1249/2 und 1260/4 der Gemarkung Abensberg gelegenen Masten (in Abbildung 23 mit den Nummern 5 und 6 gekennzeichnet) beträgt der Abstand zu den nächstgelegenen Immissionsorten (Grundstücke Flur-Nr. 1247/8 und 1250/9 beim Mast Nr. 5, Grundstück Flur-Nr. 1251/52 beim Mast Nr. 6) im allgemeinen Wohngebiet „Galgenberg“ im Mittel etwa 40 m. Die notwendigen Mindestabstände werden somit für beide Abbruchvarianten deutlich unterschritten, der Immissionsrichtwert der AVV Baulärm wird jeweils um mehr als 5 dB(A) überschritten. Somit sind für diesen Immissionsort bzw. beim Abbruch dieses Masten Maßnahmen zur Geräuschminderung bzw. Schallschutzmaßnahmen zu prüfen (vgl. Punkt 5).

Anzumerken ist, dass die Mindestabstände auch im südlich des Verlaufs der Bestandstrasse gelegenen Wohngebiet „Am Wasserwerk“ ebenso z. T. unterschritten werden.

Für den auf dem Grundstück Flur-Nr. 1376 der Gemarkung Abensberg gelegenen Masten (in Abbildung 23 mit der Nummer 7 gekennzeichnet) beträgt der Abstand zum nächstgelegenen Immissionsort (Grundstück Flur-Nr. 1369/76) im südlich gelegenen allgemeinen Wohngebiet „Am Wasserwerk“ etwa 75 m. Die notwendigen Mindestabstände werden somit für beide Abbruchvarianten unterschritten, der Immissionsrichtwert der AVV Baulärm wird jeweils um mehr als 5 dB(A) überschritten. Somit sind für diesen Immissionsort bzw. beim Abbruch dieses Masten Maßnahmen zur Geräuschminderung bzw. Schallschutzmaßnahmen zu prüfen (vgl. Punkt 5).

Für die beiden auf den Grundstücken Flur-Nr. 1639 und 1657 der Gemarkung Abensberg gelegenen Masten (in Abbildung 23 mit den Nummern 8 und 9 gekennzeichnet) beträgt der Abstand zu den nächstgelegenen Immissionsorten in den südlich/südöstlich gelegenen Wohngebieten „Am Wasserwerk“ und „Weinberg“ jeweils mindestens 235 m. Die notwendigen Mindestabstände werden somit für beide Abbruchvarianten eingehalten bzw. überschritten, der Immissionsrichtwert der AVV Baulärm in Höhe von 55 dB(A) wird somit eingehalten bzw. unterschritten.

Nordwestlich von Abensberg befinden sich im Umfeld des weiteren Verlaufs der 220-kV Bestandstrasse bis zum Umspannwerk Sittling keine weiteren schutzbedürftigen Bereiche/Bebauungen.

Wie bereits in Punkt 4.4.1 ausgeführt, ergibt sich gemäß Punkt 4.1 AVV Baulärm die Notwendigkeit von Schallminderungsmaßnahmen erst bei einer durch Schallpegelmessungen an einer konkreten Baustellensituation nach AVV Baulärm nachgewiesenen Überschreitung der Immissionsrichtwerte um mehr als 5 dB(A) (und somit bei Erreichen der „Eingreifwerte“), Details zu Schallschutzmaßnahmen bzw. allgemein zu Maßnahmen zur Geräuschminderung sind im folgenden Punkt 5 ausgeführt.

## **5. Schallschutzmaßnahmen, Maßnahmen zur Geräuschkürnung**

Wie bereits mehrfach erwähnt, ergibt sich die Notwendigkeit der Umsetzung von Schallminderungsmaßnahmen erst bei einer durch Schallpegelmessungen an einer konkreten Baustellensituation nach A V V Baulärm nachgewiesenen Überschreitung der Immissionsrichtwerte um mehr als 5 dB(A). Die vorliegende schalltechnische Untersuchung beruht auf sehr konservativen Annahmen und spiegelt daher nicht zwangsläufig die tatsächliche Immissionssituation vor Ort wider.

Nach A V V-Baulärm kommen bei einer messtechnisch ermittelten Überschreitung der Immissionsrichtwerte um mehr als 5 dB(A), also bei Erreichen des Eingreifwertes, grundsätzlich die folgenden Maßnahmen in Betracht. Die Maßnahmen sind einzelfallbezogen hinsichtlich ihrer Anwendbarkeit sowie der Wirtschaftlichkeit zu prüfen. Hierbei ist auch die Gesamtdauer der Baustelle sowie die Dauer der jeweiligen einzelnen Bauabschnitte mit einzubeziehen.

### **Einsatz der Baumaschinen:**

Grundsätzlich kann aufgrund der pauschalen Zeitkorrekturen bezüglich der Betriebs-/Einwirkzeit der einzelnen Baumaschinen/Bauvorgänge (und hier allen voran der besonders Lärmintensiven Baugeräte) eine Reduzierung der an den Immissionsorten wirksamen Beurteilungspegel erreicht werden. Theoretisch kann durch die zeitliche Begrenzung der täglichen Betriebszeit auf maximal  $\leq 2,5$  h am Tage eine Pegelminderung von 5 dB(A) erreicht werden.

In der Praxis kann dies jedoch bedeuten, dass sich die gesamte Bauphase und mithin die Belastung der Anwohner deutlich (um mehr als das Dreifache) in die Länge ziehen wird.

### **Standort der Baumaschinen:**

Bei der Einrichtung der Baustelle ist nach Möglichkeit darauf zu achten, dass ortsfeste Baumaschinen und Baucontainer so aufgestellt werden, dass eine größtmögliche effektive Abschirmung zu den nächstgelegenen Immissionsorten hin erreicht wird. Diese Maßnahme betrifft in der Regel Baustellencontainer und Lagerflächen, die bei dem geplanten Vorhaben voraussichtlich nicht zur Anwendung kommen.

### **Schallschirme:**

Prinzipiell bieten Schallschirme in Form von Lärmschutzwänden eine effektive Möglichkeit, die Baustellengeräusche deutlich zu reduzieren. Einschränkend ist allerdings festzuhalten, dass diese Maßnahme i.d.R. lediglich für bodennahe Schallquellen geeignet ist. Auch ist im konkreten Anwendungsfall zu prüfen, ob die Schirmwirkung der Lärmschutzwände auch unter Berücksichtigung der Topografie und der Höhenverhältnisse zwischen Immissionsort und Schallquelle noch gegeben ist.

Für den klassischen Fundamentbau bei Stufen- und Plattenfundamenten, der überwiegend unterhalb der Erdgleiche stattfindet, ist der Einsatz von Schallschutzwänden hier als die praktikabelste und wirksamste Lärminderungsmaßnahme zu nennen, gleiches gilt beim Trassenrückbau für die beiden möglichen Varianten des Fundamentabbruchs mit Abbruchzange bzw. Hydraulikmeißel/Meißelbagger.



Beim Einsatz von Bohr- oder Rammgeräten zur Pfahlgründung ist der Einsatz von Schallschutzwänden hingegen evtl. nur bedingt effektiv, da sich bei diesen Baumaschinen der Bohrantrieb in einer großen Höhe befindet. Hier wäre nur das Bohraggregate selbst relativ gut abgeschirmt.

Aufgrund der relativ kurzen Baustellentätigkeit von wenigen Tagen an den jeweiligen einzelnen Masten kommt hier allerdings nur der Einsatz von mobilen Schallschutzwänden zum Tragen, die in ihrer Höhe begrenzt sind. Bei Einsatz von höheren (ortsfesten) Schallschirmen geht die Aufstellung und Verankerung zur Gewährleistung von Standsicherheit (Windlasten) wiederum mit zusätzlichen Geräuschemissionen sowie mit einem deutlich höheren zeitlichen Aufwand (Gesamtdauer der Bauphase) einher.

### **Schallschürzen:**

Der Einsatz von Schallschürzen ist einzelfall- und anwendungsbezogen für die jeweiligen Baumaschinen zu prüfen. Prinzipiell bietet diese Maßnahme eine kostengünstige und kurzfristig anwendbare Möglichkeit zur Reduzierung von Geräuschemissionen. Der Einsatz von Schallschürzen findet bei der hier vorliegenden Baustellensituation und den hier eingesetzten Baumaschinen nach Einschätzung des Sachverständigen keine Anwendung.

### **Kapselung von Baumaschinen:**

Für die eingesetzten mobilen Geräuschquellen wie Bagger, Bohr-Rammgerät, Mobilkran, Lkw, etc. ist eine Kapselung technisch nicht möglich oder kommt aufgrund der eingeschränkten Funktionalität nicht in Frage.

Für überwiegend ortsfeste (kleinere) Baumaschinen wie beispielsweise Kompressoren und Stromgeneratoren hingegen ist eine Kapselung i.d.R. ohne weiteres möglich und meist durch baumaschinenseitige Applikationen bereits umgesetzt. Sollten derartige Baumaschinen zum Einsatz kommen, sind ausschließlich geräuscharme/ gekapselte Aggregate einzusetzen.

### **Maßnahmen an den Baumaschinen:**

Auf der Baustelle sind ausschließlich Maschinen und Geräte einzusetzen, die dem Stand der Technik zur Lärminderung gemäß der in Punkt 1 zitierten Geräte- und Maschinenlärmschutzverordnung – 32. BImSchV in Verbindung mit den EU Richtlinien 2000/14/EG und 2005/88/EG genügen.

Beim Einsatz von Baumaschinen, für die nach Artikel 12 der Richtlinie 2000/14/EG Geräuschemissionsgrenzwerte festgelegt sind, sollten diese mindestens der Anforderung für Stufe II (Inbetriebnahme nach dem 03.01.2006) entsprechen.

Bei Einsatz von Baumaschinen, für die keine Emissionsgrenzwerte nach Richtlinie 2000/14/EG festgelegt sind und für die lediglich eine Kennzeichnungspflicht nach Artikel 13 besteht, ist darauf zu achten, dass diese Maschinen dem aktuellen Stand der Technik zur Lärminderung entsprechen.



Wie in Punkt 4.4.2 ausführlich dargelegt, ist die Prüfung von Maßnahmen zur Geräuschminderung bzw. Schallschutzmaßnahmen beim Rückbau der 220-kV Bestandsleitung konkret in den schutzbedürftigen Bereichen bzw. Immissionsorten vorzunehmen, wo eine deutliche Unterschreitung der zulässigen Mindestabstände und eine damit einhergehende Überschreitung des Immissionsrichtwerts der AVV Baulärm zu erwarten ist.

Dies trifft neben den betroffenen Bereichen im Stadtgebiet von Abensberg auch auf Teile des Essenbacher Ortsteils Unterunsbach und des Hohenthanner Ortsteils Oberergoldsbach zu.

In diesem Zusammenhang wird generell empfohlen, je nach technischer Umsetzbarkeit, beim Fundamentrückbau (Zerkleinerung des Betonfundaments der Masten) anstatt eines Baggers mit Hydraulikhammer das deutlich geräuschärmere Zerkleinerungsverfahren mit Bagger und Abbruchzange anzuwenden. Ein Einsatz des Hydraulikhammers kann allerdings auch dort erforderlich werden, wo aus technischen Gründen (z. B. Abmessungen des zu zerkleinernden Fundaments) der Einsatz der Abbruchzange nicht möglich ist.

Nach Einschätzung der Sachverständigen können in Anbetracht der insgesamt relativ kurzen Baustellendauer von üblicherweise etwa einer Woche (Seil-, Mast- und Fundamentrückbau an einer Mastposition) und insbesondere der kurzen Bauphasen, in denen lärmintensive Arbeiten wie die Zerkleinerung von Fundamenten durchgeführt werden, neben der Auflage, Maschinen und Geräte einzusetzen, die dem Stand der Technik zur Lärminderung entsprechen, als weitere mögliche Schallschutzmaßnahmen lediglich die Aufstellung von mobilen Schallschutzwänden in Betracht gezogen werden (vgl. obige Ausführungen zu Schallschirmen).

## **6. Zusammenfassung**

Die TenneT TSO GmbH plant den Neubau der 380-/110-kV-Freileitungstrasse B172, der sogenannten Juraleitung Abschnitt C, zwischen den Umspannwerken UWA Altheim im Landkreis Landshut und dem Umspannwerk UW Sittling im Landkreis Kelheim.

Im Zuge des Genehmigungsverfahrens waren im Auftrag der SPIE SAG GmbH die durch den Betrieb der Trasse sowie den Baustellenbetrieb bei deren Realisierung zu erwartenden Geräuschimmissionen zu prognostizieren und hinsichtlich des an den jeweiligen Einwirkorten bzw. maßgeblichen Immissionsorten entlang der Trasse einzuhaltenden Schutzniveaus zu bewerten.

Die in diesem Zusammenhang durchgeführte Schallimmissionsprognose ist im Rahmen der vorliegenden schalltechnischen Untersuchung dokumentiert und beschrieben.

Zusammengefasst wurden im Rahmen der hierzu erstellten und hier vorliegenden schalltechnischen Untersuchung unter den zugrunde gelegten Voraussetzungen folgende Ergebnisse erarbeitet:

- Die durch den Betrieb der geplanten Freileitungstrasse verursachten Geräusche (Koronageräusche) unterschreiten an allen maßgeblichen Immissionsorten bzw. allgemein in allen schutzbedürftigen Bereichen im Umfeld der Trasse die jeweils zulässigen Immissionsrichtwerte der TA Lärm sehr deutlich.



- Da die witterungsbedingten Anlagengeräusche der Freileitung gemäß § 49 Abs. 2b s EnWG im Sinne der TA Lärm nunmehr als seltene Ereignisse zu bewerten sind ist sichergestellt, dass der hierfür gemäß Nummer 6.3 der TA Lärm innerhalb des Nachtzeitraumes maximal zulässige Immissionsrichtwert in Höhe von 55 dB(A) eingehalten bzw. an allen maßgeblichen Immissionsorten jeweils sehr deutlich unterschritten wird.
- Die durch das geplante Vorhaben zu erwartende Geräuschbelastung ist den Sonderzustand mit witterungsbedingten Anlagengeräuschen aus gutachterlicher Sicht an allen Immissionsorten als zumutbar einzustufen. Der als untere Grenze zur Prüfung der Zumutbarkeit heranzuziehende Wert von 45 dB(A) wird im Bereich aller schutzbedürftiger Bebauungen im Umfeld der Freileitung deutlich unterschritten
- Die durch den Baustellenbetrieb beim Trassenneubau verursachten Geräusche unterschreiten an allen schutzbedürftige Außenbereichsbebauungen und Bebauungen in Mischgebieten bzw. Dorfgebieten entlang der Trasse den Immissionsrichtwert der AVV Baulärm bzw. halten diesen ein.  
Die errechneten notwendigen Mindestabstände zwischen Baustelle und der o. g. schutzbedürftiger Bebauung werden für alle hier untersuchten Szenarien bzw. Varianten der Bauphase eingehalten bzw. überschritten.
- Bei der Gründung mit Rammgerät an den Masten 4 bis 6, dass die schalltechnisch ungünstigste Bauphase darstellt, wird der notwendige Mindestabstand zu den nächstgelegenen Immissionsorten im allgemeinen Wohngebiet „Müllerfeld“ im Ortsteil Altheim der Gemeinde Essenbach unterschritten.  
Korrelierend hiermit wird dort der Immissionsrichtwert der AVV Baulärm um bis zu maximal 4 dB(A) überschritten, der um 5 dB(A) höhere Eingreifwert, der im Rahmen einer Prognose formal nicht anzuwenden ist, wird eingehalten bzw. unterschritten.  
Bei allen weiteren Bauphasen wird der jeweilige Mindestabstand zum Wohngebiet „Müllerfeld“ überschritten, somit wird der Immissionsrichtwert eingehalten bzw. unterschritten.
- Bei sämtlichen weiter entfernten schutzbedürftigen Wohngebieten entlang der Trasse wird durch die Geräusche aufgrund des Baustellenbetriebs der Immissionsrichtwert der AVV Baulärm eingehalten bzw. unterschritten wird.  
Die errechneten notwendigen Mindestabstände zwischen Baustelle und der o. g. schutzbedürftiger Bebauung werden für alle hier untersuchten Szenarien bzw. Varianten der Bauphase eingehalten bzw. überschritten.
- Grundsätzlich gilt für alle Betriebszustände der Baustellen beim Trassenneubau, dass in Ausnahmefällen Tätigkeiten bzw. Vorgänge wie z.B. Lkw-Anlieferungen im Speziellen in den Sommermonaten auch vor 07:00 Uhr sowie nach 20:00 Uhr (und somit innerhalb des Nachtzeitraumes nach AVV Baulärm) erfolgen können.  
Dies ist dabei jedoch ausschließlich auf die Zeiträume von 06:00 Uhr bis 07:00 Uhr sowie von 20:00 bis 21:00 Uhr zu beschränken.



- Beim Rückbau der 220-kV Bestandsleitung werden die zulässigen Mindestabstände im Besonderen in Bereichen des östlichen und nördlichen Stadtgebiets von Abensberg sowie in Teilen des Essenbacher Ortsteils Unterunsbach und des Hohenthanner Ortsteils Oberergoldsbach z. T. deutlich unterschritten (Details hierzu sind Punkt 4.4.2 dieser Untersuchung zu entnehmen). Damit einher geht eine Überschreitung des Immissionsrichtwerts der AVV Baulärm.
- Je nach technischer Umsetzbarkeit wird empfohlen, beim Fundamentrückbau (Zerkleinerung des Betonfundaments der Masten) anstatt eines Baggers mit Hydraulikhammer das deutlich geräuschärmere Zerkleinerungsverfahren mit Bagger und Abbruchzange anzuwenden.
- In Anbetracht der insgesamt relativ kurzen Baustellendauer von üblicherweise etwa einer Woche (Seil-, Mast- und Fundamentrückbau an einer Mastposition) und insbesondere der kurzen Bauphasen, in denen lärmintensive Arbeiten wie die Zerkleinerung von Fundamenten durchgeführt werden, kann neben der Auflage, Maschinen und Geräte einzusetzen, die dem Stand der Technik zur Lärminderung entsprechen, als weitere mögliche Schallschutzmaßnahmen lediglich die Aufstellung von mobilen Schallschutzwänden in Betracht gezogen werden.

Prüflaboratorium Geräusche / Schwingungen  
Messstelle nach §29b BImSchG  
DAkkS Akkreditierung nach DIN EN ISO/IEC 17025

Der Projektleiter

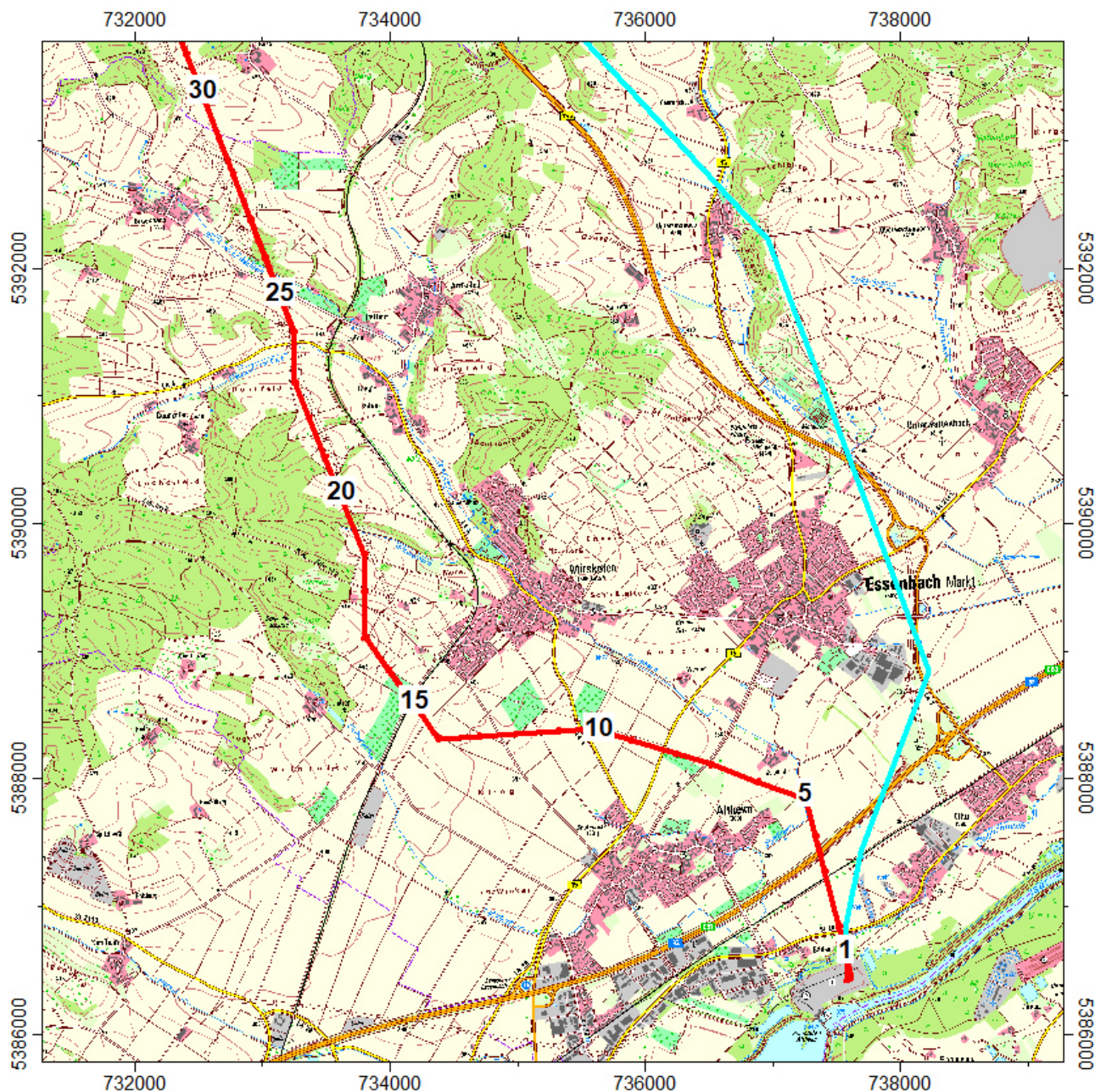
A handwritten signature in blue ink that reads 'Klaus Meyer'.

Klaus Meyer

A handwritten signature in blue ink that reads 'H. Leiker'.

Herbert Leiker

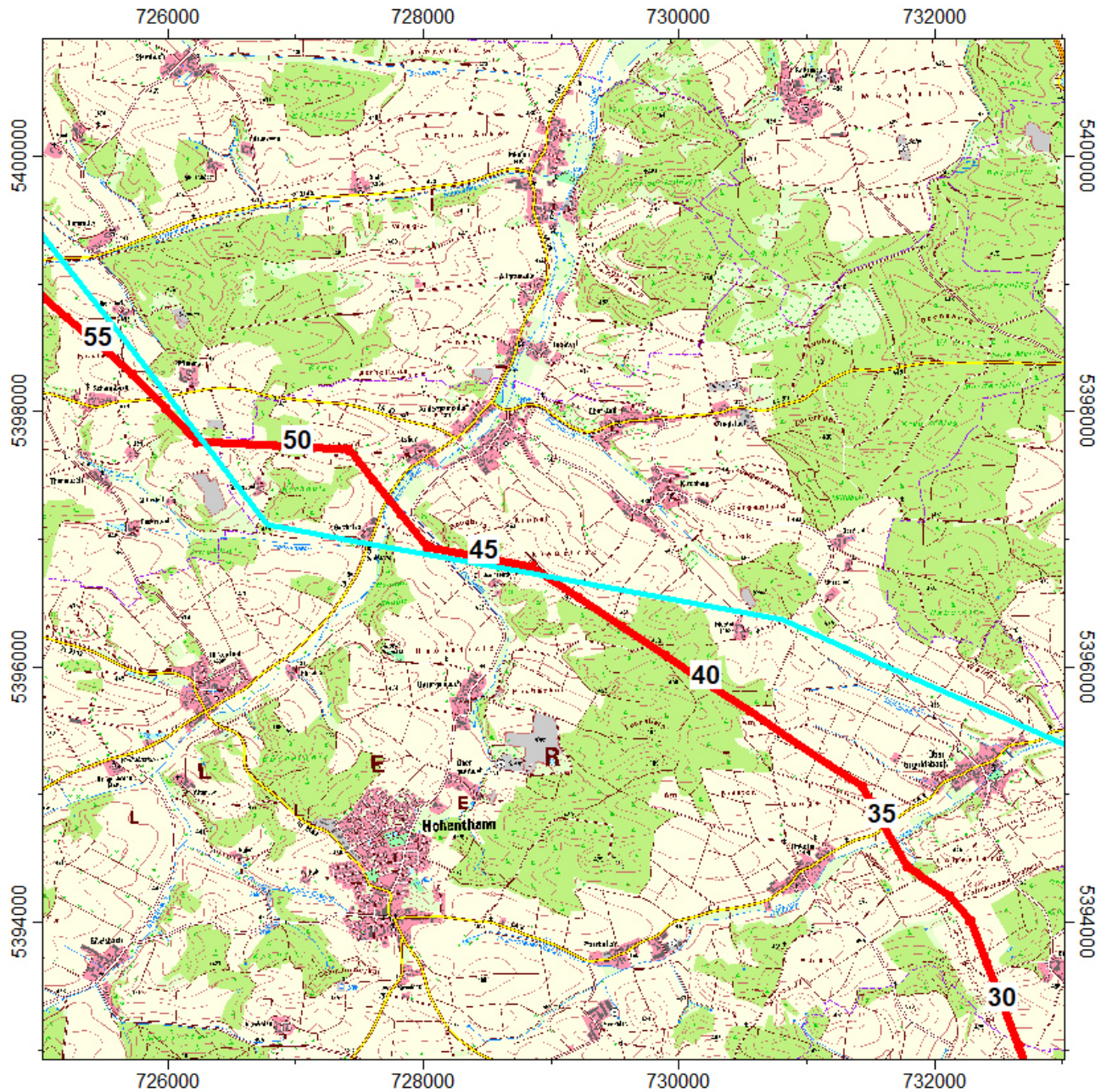
### Anhang 1.1: Übersichtslageplan Mast 1 bis 30 Neubau, Rückbau (hellblau)



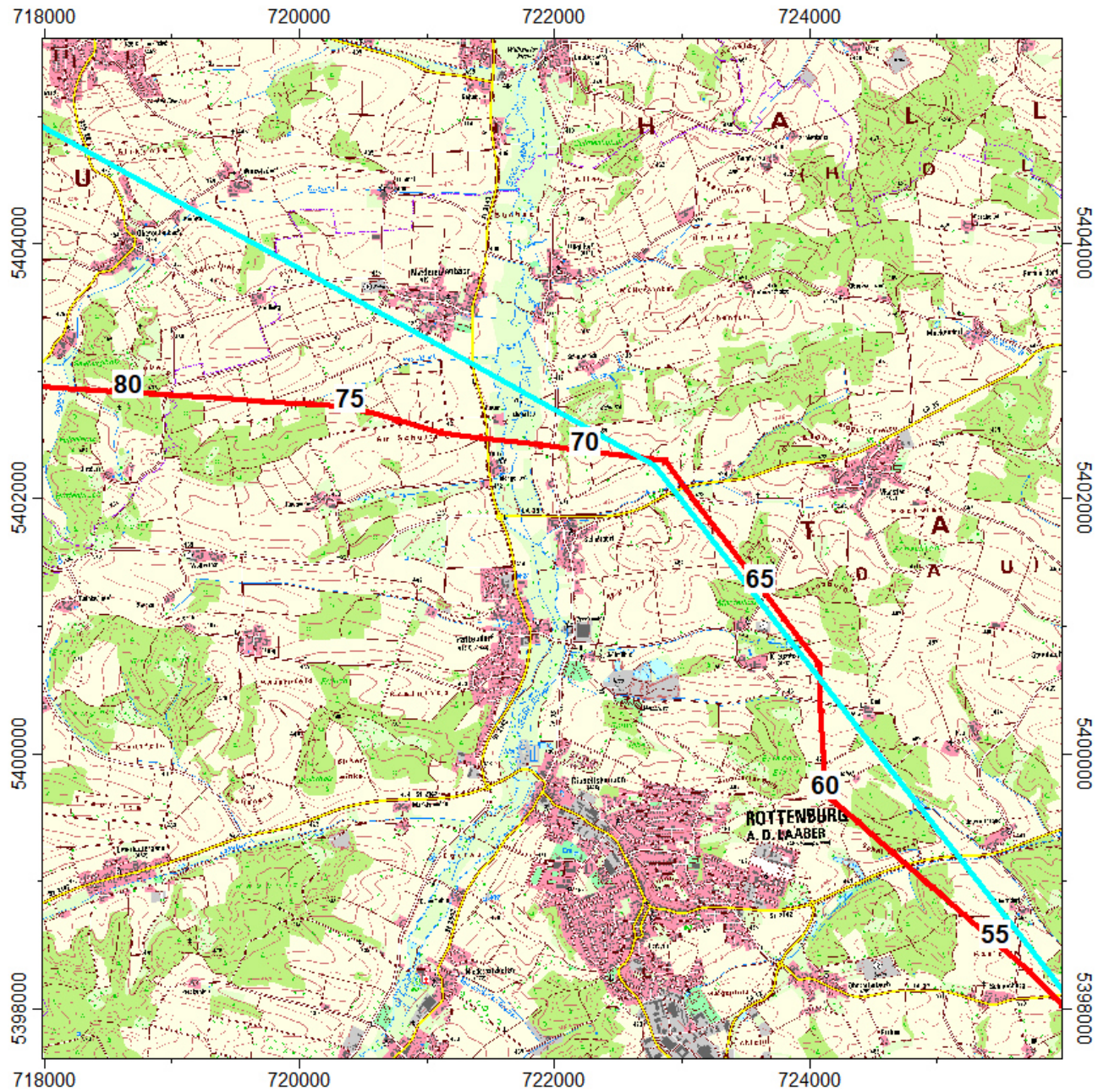




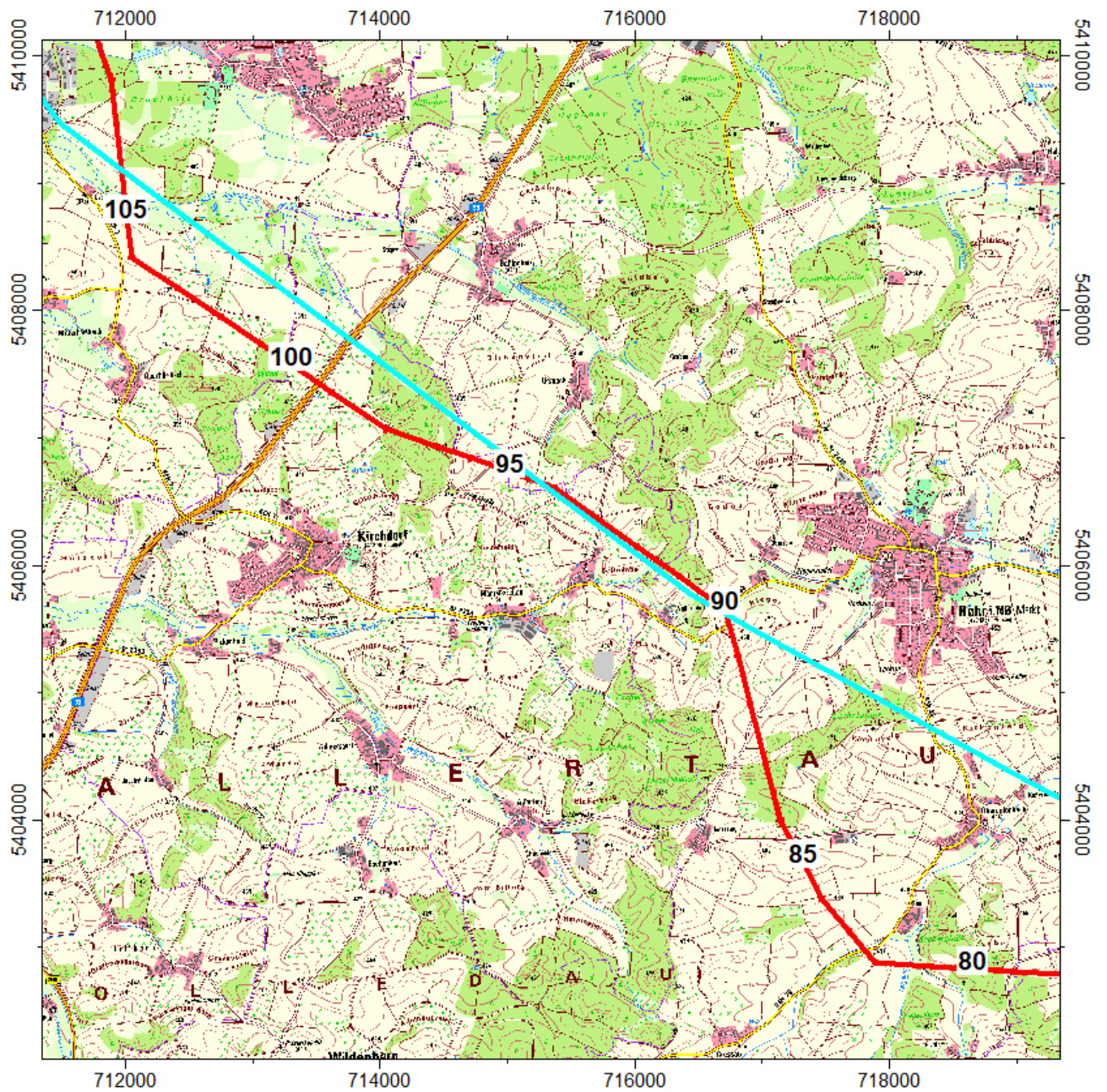
## Anhang 1.2: Übersichtslageplan Mast 30 bis 55



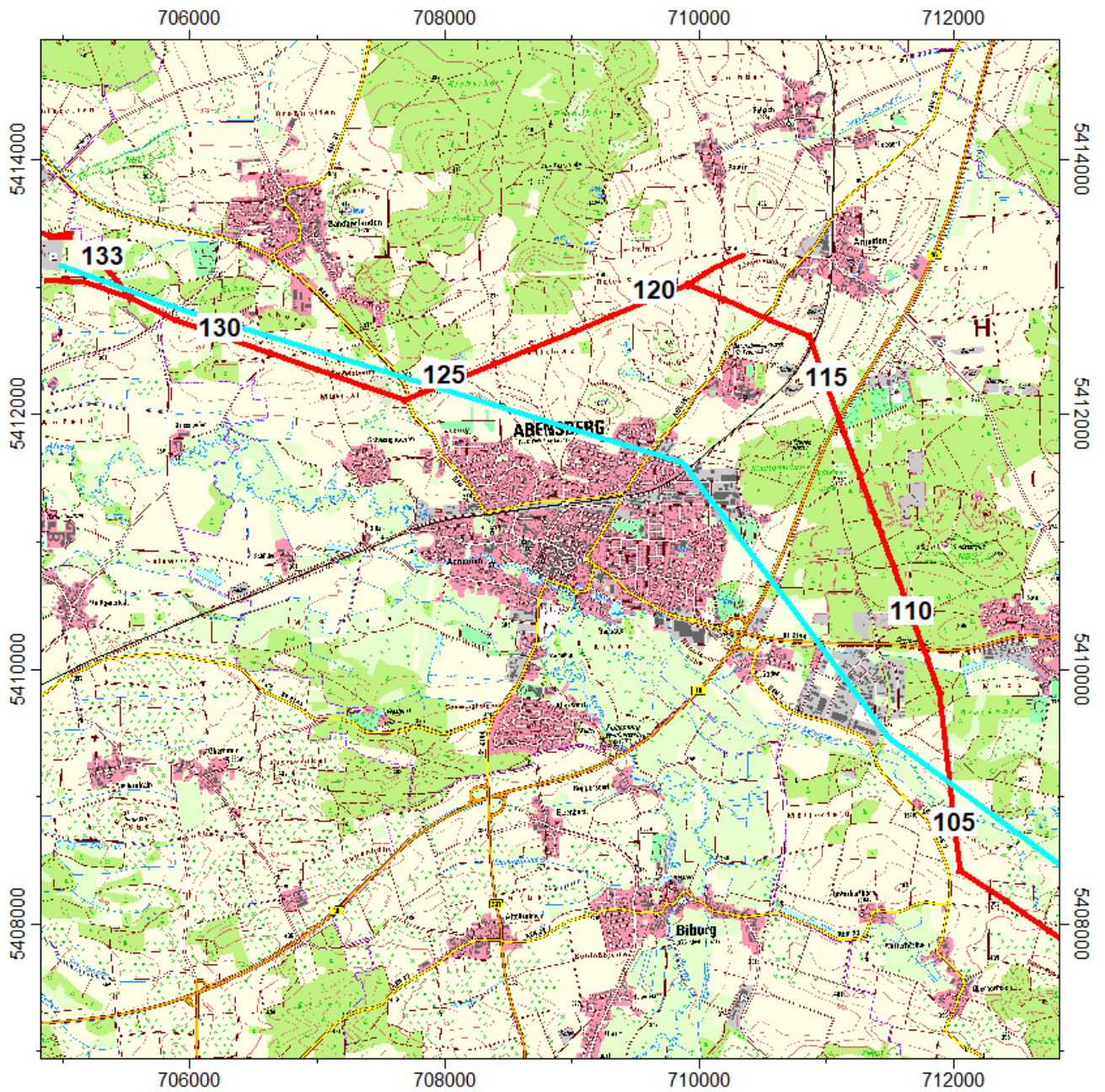
### Anhang 1.3: Übersichtslageplan Mast 55 bis 80



### Anhang 1.4: Übersichtslageplan Mast 80 bis 105



### Anhang 1.5: Übersichtslageplan Mast 105 bis 133





## Anhang 2: Ausgangsdaten der Berechnungen

| Industrieschallquellen: Zusammenfassen von Emissionswerten » |                                  |       |      |       |      |  |
|--|----------------------------------|-------|------|-------|------|--|
| Emissionsberechnung  |                                  |       |      |       |      |  |
| Variante 1   |                                  | Tag   |      | Nacht |      |  |
|  |                                  | Lw,iA | Lw,A | Lw,iA | Lw,A |  |
|  |                                  | /dB   | /dB  | /dB   | /dB  |  |
| LIQ11626 »   | Obj: C420 23 seg 1 AC 4x565/T2*  | 70.3  | 70.3 | 70.3  | 70.3 |  |
| LIQ11627 »   | Obj: C420 23 seg 2 AC 4x565/T2*  | 70.3  | 73.3 | 70.3  | 73.3 |  |
| LIQ11594 »   | Obj: C420 21 seg 1 AC 4x565/T2*  | 70.2  | 75.0 | 70.2  | 75.0 |  |
| LIQ11595 »   | Obj: C420 21 seg 2 AC 4x565/T2*  | 70.2  | 76.3 | 70.2  | 76.3 |  |
| LIQ11628 »   | Obj: C420 23 seg 3 AC 4x565/T2*  | 70.0  | 77.2 | 70.0  | 77.2 |  |
| LIQ11629 »   | Obj: C420 23 seg 4 AC 4x565/T2*  | 70.0  | 77.9 | 70.0  | 77.9 |  |
| LIQ11881 »   | Obj: C420 38 seg 16 AC 4x565/T2* | 69.9  | 78.6 | 69.9  | 78.6 |  |
| LIQ11596 »   | Obj: C420 21 seg 3 AC 4x565/T2*  | 69.9  | 79.1 | 69.9  | 79.1 |  |
| LIQ11880 »   | Obj: C420 38 seg 15 AC 4x565/T2* | 69.9  | 79.6 | 69.9  | 79.6 |  |
| LIQ11597 »   | Obj: C420 21 seg 4 AC 4x565/T2*  | 69.9  | 80.1 | 69.9  | 80.1 |  |
| LIQ12121 »   | Obj: C420 53 seg 16 AC 4x565/T2* | 69.9  | 80.5 | 69.9  | 80.5 |  |
| LIQ12120 »   | Obj: C420 53 seg 15 AC 4x565/T2* | 69.9  | 80.8 | 69.9  | 80.8 |  |
| LIQ12106 »   | Obj: C420 53 seg 1 AC 4x565/T2*  | 69.8  | 81.2 | 69.8  | 81.2 |  |
| LIQ12107 »   | Obj: C420 53 seg 2 AC 4x565/T2*  | 69.8  | 81.5 | 69.8  | 81.5 |  |
| LIQ11630 »   | Obj: C420 23 seg 5 AC 4x565/T2*  | 69.8  | 81.8 | 69.8  | 81.8 |  |
| LIQ11631 »   | Obj: C420 23 seg 6 AC 4x565/T2*  | 69.8  | 82.0 | 69.8  | 82.0 |  |
| LIQ11866 »   | Obj: C420 38 seg 1 AC 4x565/T2*  | 69.8  | 82.3 | 69.8  | 82.3 |  |
| LIQ11879 »   | Obj: C420 38 seg 14 AC 4x565/T2* | 69.8  | 82.5 | 69.8  | 82.5 |  |
| LIQ11867 »   | Obj: C420 38 seg 2 AC 4x565/T2*  | 69.8  | 82.7 | 69.8  | 82.7 |  |
| LIQ11878 »   | Obj: C420 38 seg 13 AC 4x565/T2* | 69.8  | 82.9 | 69.8  | 82.9 |  |
| LIQ11868 »   | Obj: C420 38 seg 3 AC 4x565/T2*  | 69.8  | 83.2 | 69.8  | 83.2 |  |
| LIQ12346 »   | Obj: C420 68 seg 1 AC 4x565/T2*  | 69.8  | 83.3 | 69.8  | 83.3 |  |
| LIQ12119 »   | Obj: C420 53 seg 14 AC 4x565/T2* | 69.7  | 83.5 | 69.7  | 83.5 |  |
| LIQ11877 »   | Obj: C420 38 seg 12 AC 4x565/T2* | 69.7  | 83.7 | 69.7  | 83.7 |  |
| LIQ11869 »   | Obj: C420 38 seg 4 AC 4x565/T2*  | 69.7  | 83.9 | 69.7  | 83.9 |  |
| LIQ11876 »   | Obj: C420 38 seg 11 AC 4x565/T2* | 69.7  | 84.0 | 69.7  | 84.0 |  |
| LIQ12118 »   | Obj: C420 53 seg 13 AC 4x565/T2* | 69.7  | 84.2 | 69.7  | 84.2 |  |
| LIQ12347 »   | Obj: C420 68 seg 2 AC 4x565/T2*  | 69.7  | 84.4 | 69.7  | 84.4 |  |
| LIQ11870 »   | Obj: C420 38 seg 5 AC 4x565/T2*  | 69.7  | 84.5 | 69.7  | 84.5 |  |
| LIQ11875 »   | Obj: C420 38 seg 10 AC 4x565/T2* | 69.7  | 84.6 | 69.7  | 84.6 |  |
| LIQ11871 »   | Obj: C420 38 seg 6 AC 4x565/T2*  | 69.7  | 84.8 | 69.7  | 84.8 |  |
| LIQ11874 »   | Obj: C420 38 seg 9 AC 4x565/T2*  | 69.7  | 84.9 | 69.7  | 84.9 |  |
| LIQ11872 »   | Obj: C420 38 seg 7 AC 4x565/T2*  | 69.7  | 85.0 | 69.7  | 85.0 |  |
| LIQ11873 »   | Obj: C420 38 seg 8 AC 4x565/T2*  | 69.7  | 85.2 | 69.7  | 85.2 |  |
| LIQ12108 »   | Obj: C420 53 seg 3 AC 4x565/T2*  | 69.7  | 85.3 | 69.7  | 85.3 |  |
| LIQ12117 »   | Obj: C420 53 seg 12 AC 4x565/T2* | 69.7  | 85.4 | 69.7  | 85.4 |  |
| LIQ12109 »   | Obj: C420 53 seg 4 AC 4x565/T2*  | 69.7  | 85.5 | 69.7  | 85.5 |  |
| LIQ12116 »   | Obj: C420 53 seg 11 AC 4x565/T2* | 69.7  | 85.6 | 69.7  | 85.6 |  |
| LIQ11849 »   | Obj: C420 36 seg 16 AC 4x565/T2* | 69.7  | 85.7 | 69.7  | 85.7 |  |
| LIQ12110 »   | Obj: C420 53 seg 5 AC 4x565/T2*  | 69.7  | 85.9 | 69.7  | 85.9 |  |
| LIQ12115 »   | Obj: C420 53 seg 10 AC 4x565/T2* | 69.7  | 86.0 | 69.7  | 86.0 |  |
| LIQ12111 »   | Obj: C420 53 seg 6 AC 4x565/T2*  | 69.7  | 86.1 | 69.7  | 86.1 |  |
| LIQ12114 »   | Obj: C420 53 seg 9 AC 4x565/T2*  | 69.7  | 86.2 | 69.7  | 86.2 |  |
| LIQ12112 »   | Obj: C420 53 seg 7 AC 4x565/T2*  | 69.7  | 86.3 | 69.7  | 86.3 |  |
| LIQ12113 »   | Obj: C420 53 seg 8 AC 4x565/T2*  | 69.7  | 86.4 | 69.7  | 86.4 |  |
| LIQ11848 »   | Obj: C420 36 seg 15 AC 4x565/T2* | 69.7  | 86.4 | 69.7  | 86.4 |  |
| LIQ12089 »   | Obj: C420 51 seg 16 AC 4x565/T2* | 69.7  | 86.5 | 69.7  | 86.5 |  |
| LIQ11834 »   | Obj: C420 36 seg 1 AC 4x565/T2*  | 69.7  | 86.6 | 69.7  | 86.6 |  |



|            |           |        |                 |      |      |      |      |  |  |
|------------|-----------|--------|-----------------|------|------|------|------|--|--|
| LIQi2088 » | Obj: C420 | 51 seg | 15 AC 4x565/72* | 69.7 | 86.7 | 69.7 | 86.7 |  |  |
| LIQi1835 » | Obj: C420 | 36 seg | 2 AC 4x565/72*  | 69.7 | 86.8 | 69.7 | 86.8 |  |  |
| LIQi2074 » | Obj: C420 | 51 seg | 1 AC 4x565/72*  | 69.6 | 86.9 | 69.6 | 86.9 |  |  |
| LIQi2075 » | Obj: C420 | 51 seg | 2 AC 4x565/72*  | 69.6 | 87.0 | 69.6 | 87.0 |  |  |
| LIQi2348 » | Obj: C420 | 68 seg | 3 AC 4x565/72*  | 69.6 | 87.0 | 69.6 | 87.0 |  |  |
| LIQi2359 » | Obj: C420 | 68 seg | 14 AC 4x565/72* | 69.6 | 87.1 | 69.6 | 87.1 |  |  |
| LIQi2349 » | Obj: C420 | 68 seg | 4 AC 4x565/72*  | 69.6 | 87.2 | 69.6 | 87.2 |  |  |
| LIQi2358 » | Obj: C420 | 68 seg | 13 AC 4x565/72* | 69.6 | 87.3 | 69.6 | 87.3 |  |  |
| LIQi2350 » | Obj: C420 | 68 seg | 5 AC 4x565/72*  | 69.6 | 87.3 | 69.6 | 87.3 |  |  |
| LIQi1598 » | Obj: C420 | 21 seg | 5 AC 4x565/72*  | 69.6 | 87.4 | 69.6 | 87.4 |  |  |
| LIQi1599 » | Obj: C420 | 21 seg | 6 AC 4x565/72*  | 69.6 | 87.5 | 69.6 | 87.5 |  |  |
| LIQi2351 » | Obj: C420 | 68 seg | 6 AC 4x565/72*  | 69.6 | 87.6 | 69.6 | 87.6 |  |  |
| LIQi2352 » | Obj: C420 | 68 seg | 7 AC 4x565/72*  | 69.6 | 87.6 | 69.6 | 87.6 |  |  |
| LIQi2353 » | Obj: C420 | 68 seg | 8 AC 4x565/72*  | 69.6 | 87.7 | 69.6 | 87.7 |  |  |
| LIQi1847 » | Obj: C420 | 36 seg | 14 AC 4x565/72* | 69.6 | 87.8 | 69.6 | 87.8 |  |  |
| LIQi1846 » | Obj: C420 | 36 seg | 13 AC 4x565/72* | 69.6 | 87.8 | 69.6 | 87.8 |  |  |
| LIQi2314 » | Obj: C420 | 66 seg | 1 AC 4x565/72*  | 69.6 | 87.9 | 69.6 | 87.9 |  |  |
| LIQi1836 » | Obj: C420 | 36 seg | 3 AC 4x565/72*  | 69.6 | 87.9 | 69.6 | 87.9 |  |  |
| LIQi2087 » | Obj: C420 | 51 seg | 14 AC 4x565/72* | 69.5 | 88.0 | 69.5 | 88.0 |  |  |
| LIQi1845 » | Obj: C420 | 36 seg | 12 AC 4x565/72* | 69.5 | 88.1 | 69.5 | 88.1 |  |  |
| LIQi1837 » | Obj: C420 | 36 seg | 4 AC 4x565/72*  | 69.5 | 88.1 | 69.5 | 88.1 |  |  |
| LIQi2315 » | Obj: C420 | 66 seg | 2 AC 4x565/72*  | 69.5 | 88.2 | 69.5 | 88.2 |  |  |
| LIQi1844 » | Obj: C420 | 36 seg | 11 AC 4x565/72* | 69.5 | 88.3 | 69.5 | 88.3 |  |  |
| LIQi2086 » | Obj: C420 | 51 seg | 13 AC 4x565/72* | 69.5 | 88.3 | 69.5 | 88.3 |  |  |
| LIQi1838 » | Obj: C420 | 36 seg | 5 AC 4x565/72*  | 69.5 | 88.4 | 69.5 | 88.4 |  |  |
| LIQi1843 » | Obj: C420 | 36 seg | 10 AC 4x565/72* | 69.5 | 88.4 | 69.5 | 88.4 |  |  |
| LIQi1839 » | Obj: C420 | 36 seg | 6 AC 4x565/72*  | 69.5 | 88.5 | 69.5 | 88.5 |  |  |
| LIQi1842 » | Obj: C420 | 36 seg | 9 AC 4x565/72*  | 69.5 | 88.5 | 69.5 | 88.5 |  |  |
| LIQi1840 » | Obj: C420 | 36 seg | 7 AC 4x565/72*  | 69.5 | 88.6 | 69.5 | 88.6 |  |  |
| LIQi1841 » | Obj: C420 | 36 seg | 8 AC 4x565/72*  | 69.5 | 88.6 | 69.5 | 88.6 |  |  |
| LIQi2076 » | Obj: C420 | 51 seg | 3 AC 4x565/72*  | 69.5 | 88.7 | 69.5 | 88.7 |  |  |
| LIQi2085 » | Obj: C420 | 51 seg | 12 AC 4x565/72* | 69.5 | 88.7 | 69.5 | 88.7 |  |  |
| LIQi2077 » | Obj: C420 | 51 seg | 4 AC 4x565/72*  | 69.5 | 88.8 | 69.5 | 88.8 |  |  |
| LIQi2084 » | Obj: C420 | 51 seg | 11 AC 4x565/72* | 69.5 | 88.8 | 69.5 | 88.8 |  |  |
| LIQi2078 » | Obj: C420 | 51 seg | 5 AC 4x565/72*  | 69.5 | 88.9 | 69.5 | 88.9 |  |  |
| LIQi2083 » | Obj: C420 | 51 seg | 10 AC 4x565/72* | 69.5 | 88.9 | 69.5 | 88.9 |  |  |
| LIQi2079 » | Obj: C420 | 51 seg | 6 AC 4x565/72*  | 69.5 | 89.0 | 69.5 | 89.0 |  |  |
| LIQi2082 » | Obj: C420 | 51 seg | 9 AC 4x565/72*  | 69.5 | 89.0 | 69.5 | 89.0 |  |  |
| LIQi2080 » | Obj: C420 | 51 seg | 7 AC 4x565/72*  | 69.5 | 89.1 | 69.5 | 89.1 |  |  |
| LIQi2081 » | Obj: C420 | 51 seg | 8 AC 4x565/72*  | 69.5 | 89.1 | 69.5 | 89.1 |  |  |
| LIQi1633 » | Obj: C420 | 23 seg | 8 AC 4x565/72*  | 69.5 | 89.2 | 69.5 | 89.2 |  |  |
| LIQi2357 » | Obj: C420 | 68 seg | 12 AC 4x565/72* | 69.5 | 89.2 | 69.5 | 89.2 |  |  |
| LIQi1632 » | Obj: C420 | 23 seg | 7 AC 4x565/72*  | 69.5 | 89.3 | 69.5 | 89.3 |  |  |
| LIQi2356 » | Obj: C420 | 68 seg | 11 AC 4x565/72* | 69.5 | 89.3 | 69.5 | 89.3 |  |  |
| LIQi2355 » | Obj: C420 | 68 seg | 10 AC 4x565/72* | 69.5 | 89.4 | 69.5 | 89.4 |  |  |
| LIQi2354 » | Obj: C420 | 68 seg | 9 AC 4x565/72*  | 69.5 | 89.4 | 69.5 | 89.4 |  |  |
| LIQi1401 » | Obj: C420 | 8 seg  | 16 AC 4x565/72* | 69.4 | 89.5 | 69.4 | 89.5 |  |  |
| LIQi2316 » | Obj: C420 | 66 seg | 3 AC 4x565/72*  | 69.4 | 89.5 | 69.4 | 89.5 |  |  |
| LIQi1400 » | Obj: C420 | 8 seg  | 15 AC 4x565/72* | 69.4 | 89.5 | 69.4 | 89.5 |  |  |
| LIQi2327 » | Obj: C420 | 66 seg | 14 AC 4x565/72* | 69.4 | 89.6 | 69.4 | 89.6 |  |  |
| LIQi2317 » | Obj: C420 | 66 seg | 4 AC 4x565/72*  | 69.4 | 89.6 | 69.4 | 89.6 |  |  |
| LIQi2326 » | Obj: C420 | 66 seg | 13 AC 4x565/72* | 69.4 | 89.7 | 69.4 | 89.7 |  |  |
| LIQi2318 » | Obj: C420 | 66 seg | 5 AC 4x565/72*  | 69.4 | 89.7 | 69.4 | 89.7 |  |  |
| LIQi2325 » | Obj: C420 | 66 seg | 12 AC 4x565/72* | 69.4 | 89.7 | 69.4 | 89.7 |  |  |
| LIQi1601 » | Obj: C420 | 21 seg | 8 AC 4x565/72*  | 69.4 | 89.8 | 69.4 | 89.8 |  |  |



|            |           |        |                 |      |      |      |      |  |  |
|------------|-----------|--------|-----------------|------|------|------|------|--|--|
| LIQi2319 » | Obj: C420 | 66 seg | 6 AC 4x565/72*  | 69.4 | 89.8 | 69.4 | 89.8 |  |  |
| LIQi1600 » | Obj: C420 | 21 seg | 7 AC 4x565/72*  | 69.4 | 89.9 | 69.4 | 89.9 |  |  |
| LIQi2324 » | Obj: C420 | 66 seg | 11 AC 4x565/72* | 69.4 | 89.9 | 69.4 | 89.9 |  |  |
| LIQi2320 » | Obj: C420 | 66 seg | 7 AC 4x565/72*  | 69.4 | 89.9 | 69.4 | 89.9 |  |  |
| LIQi2323 » | Obj: C420 | 66 seg | 10 AC 4x565/72* | 69.4 | 90.0 | 69.4 | 90.0 |  |  |
| LIQi2321 » | Obj: C420 | 66 seg | 8 AC 4x565/72*  | 69.4 | 90.0 | 69.4 | 90.0 |  |  |
| LIQi2322 » | Obj: C420 | 66 seg | 9 AC 4x565/72*  | 69.4 | 90.1 | 69.4 | 90.1 |  |  |
| LIQi1369 » | Obj: C420 | 6 seg  | 16 AC 4x565/72* | 69.4 | 90.1 | 69.4 | 90.1 |  |  |
| LIQi1368 » | Obj: C420 | 6 seg  | 15 AC 4x565/72* | 69.4 | 90.1 | 69.4 | 90.1 |  |  |
| LIQi1635 » | Obj: C420 | 23 seg | 10 AC 4x565/72* | 69.3 | 90.2 | 69.3 | 90.2 |  |  |
| LIQi1634 » | Obj: C420 | 23 seg | 9 AC 4x565/72*  | 69.3 | 90.2 | 69.3 | 90.2 |  |  |
| LIQi2361 » | Obj: C420 | 68 seg | 16 AC 4x565/72* | 69.2 | 90.2 | 69.2 | 90.2 |  |  |
| LIQi2360 » | Obj: C420 | 68 seg | 15 AC 4x565/72* | 69.2 | 90.3 | 69.2 | 90.3 |  |  |
| LIQi2329 » | Obj: C420 | 66 seg | 16 AC 4x565/72* | 69.1 | 90.3 | 69.1 | 90.3 |  |  |
| LIQi2328 » | Obj: C420 | 66 seg | 15 AC 4x565/72* | 69.1 | 90.3 | 69.1 | 90.3 |  |  |
| LIQi1637 » | Obj: C420 | 23 seg | 12 AC 4x565/72* | 69.1 | 90.4 | 69.1 | 90.4 |  |  |
| LIQi1636 » | Obj: C420 | 23 seg | 11 AC 4x565/72* | 69.1 | 90.4 | 69.1 | 90.4 |  |  |
| LIQi1603 » | Obj: C420 | 21 seg | 10 AC 4x565/72* | 69.1 | 90.4 | 69.1 | 90.4 |  |  |
| LIQi1602 » | Obj: C420 | 21 seg | 9 AC 4x565/72*  | 69.1 | 90.5 | 69.1 | 90.5 |  |  |
| LIQi1639 » | Obj: C420 | 23 seg | 14 AC 4x565/72* | 68.9 | 90.5 | 68.9 | 90.5 |  |  |
| LIQi1638 » | Obj: C420 | 23 seg | 13 AC 4x565/72* | 68.9 | 90.5 | 68.9 | 90.5 |  |  |
| LIQi1399 » | Obj: C420 | 8 seg  | 14 AC 4x565/72* | 68.9 | 90.6 | 68.9 | 90.6 |  |  |
| LIQi1605 » | Obj: C420 | 21 seg | 12 AC 4x565/72* | 68.9 | 90.6 | 68.9 | 90.6 |  |  |
| LIQi1398 » | Obj: C420 | 8 seg  | 13 AC 4x565/72* | 68.9 | 90.6 | 68.9 | 90.6 |  |  |
| LIQi1604 » | Obj: C420 | 21 seg | 11 AC 4x565/72* | 68.9 | 90.6 | 68.9 | 90.6 |  |  |
| LIQi1641 » | Obj: C420 | 23 seg | 16 AC 4x565/72* | 68.9 | 90.7 | 68.9 | 90.7 |  |  |
| LIQi1640 » | Obj: C420 | 23 seg | 15 AC 4x565/72* | 68.9 | 90.7 | 68.9 | 90.7 |  |  |
| LIQi1367 » | Obj: C420 | 6 seg  | 14 AC 4x565/72* | 68.8 | 90.7 | 68.8 | 90.7 |  |  |
| LIQi1366 » | Obj: C420 | 6 seg  | 13 AC 4x565/72* | 68.8 | 90.8 | 68.8 | 90.8 |  |  |
| LIQi1607 » | Obj: C420 | 21 seg | 14 AC 4x565/72* | 68.7 | 90.8 | 68.7 | 90.8 |  |  |
| LIQi1606 » | Obj: C420 | 21 seg | 13 AC 4x565/72* | 68.7 | 90.8 | 68.7 | 90.8 |  |  |
| LIQi1609 » | Obj: C420 | 21 seg | 16 AC 4x565/72* | 68.7 | 90.8 | 68.7 | 90.8 |  |  |
| LIQi1608 » | Obj: C420 | 21 seg | 15 AC 4x565/72* | 68.7 | 90.9 | 68.7 | 90.9 |  |  |
| LIQi1397 » | Obj: C420 | 8 seg  | 12 AC 4x565/72* | 68.6 | 90.9 | 68.6 | 90.9 |  |  |
| LIQi1396 » | Obj: C420 | 8 seg  | 11 AC 4x565/72* | 68.6 | 90.9 | 68.6 | 90.9 |  |  |
| LIQi1365 » | Obj: C420 | 6 seg  | 12 AC 4x565/72* | 68.4 | 90.9 | 68.4 | 90.9 |  |  |
| LIQi1364 » | Obj: C420 | 6 seg  | 11 AC 4x565/72* | 68.4 | 91.0 | 68.4 | 91.0 |  |  |
| LIQi1394 » | Obj: C420 | 8 seg  | 9 AC 4x565/72*  | 68.2 | 91.0 | 68.2 | 91.0 |  |  |
| LIQi1395 » | Obj: C420 | 8 seg  | 10 AC 4x565/72* | 68.2 | 91.0 | 68.2 | 91.0 |  |  |
| LIQi1362 » | Obj: C420 | 6 seg  | 9 AC 4x565/72*  | 68.0 | 91.0 | 68.0 | 91.0 |  |  |
| LIQi1363 » | Obj: C420 | 6 seg  | 10 AC 4x565/72* | 68.0 | 91.1 | 68.0 | 91.1 |  |  |
| LIQi1392 » | Obj: C420 | 8 seg  | 7 AC 4x565/72*  | 67.8 | 91.1 | 67.8 | 91.1 |  |  |
| LIQi1393 » | Obj: C420 | 8 seg  | 8 AC 4x565/72*  | 67.8 | 91.1 | 67.8 | 91.1 |  |  |
| LIQi1360 » | Obj: C420 | 6 seg  | 7 AC 4x565/72*  | 67.7 | 91.1 | 67.7 | 91.1 |  |  |
| LIQi1361 » | Obj: C420 | 6 seg  | 8 AC 4x565/72*  | 67.7 | 91.1 | 67.7 | 91.1 |  |  |
| LIQi1390 » | Obj: C420 | 8 seg  | 5 AC 4x565/72*  | 67.5 | 91.2 | 67.5 | 91.2 |  |  |
| LIQi1391 » | Obj: C420 | 8 seg  | 6 AC 4x565/72*  | 67.5 | 91.2 | 67.5 | 91.2 |  |  |
| LIQi1358 » | Obj: C420 | 6 seg  | 5 AC 4x565/72*  | 67.3 | 91.2 | 67.3 | 91.2 |  |  |
| LIQi1359 » | Obj: C420 | 6 seg  | 6 AC 4x565/72*  | 67.3 | 91.2 | 67.3 | 91.2 |  |  |
| LIQi1388 » | Obj: C420 | 8 seg  | 3 AC 4x565/72*  | 67.1 | 91.2 | 67.1 | 91.2 |  |  |
| LIQi1389 » | Obj: C420 | 8 seg  | 4 AC 4x565/72*  | 67.1 | 91.2 | 67.1 | 91.2 |  |  |
| LIQi1386 » | Obj: C420 | 8 seg  | 1 AC 4x565/72*  | 67.0 | 91.3 | 67.0 | 91.3 |  |  |
| LIQi1387 » | Obj: C420 | 8 seg  | 2 AC 4x565/72*  | 67.0 | 91.3 | 67.0 | 91.3 |  |  |
| LIQi1356 » | Obj: C420 | 6 seg  | 3 AC 4x565/72*  | 66.9 | 91.3 | 66.9 | 91.3 |  |  |
| LIQi1357 » | Obj: C420 | 6 seg  | 4 AC 4x565/72*  | 66.9 | 91.3 | 66.9 | 91.3 |  |  |



|            |           |        |                 |      |      |      |      |  |  |
|------------|-----------|--------|-----------------|------|------|------|------|--|--|
| LIQi1354 » | Obj: C420 | 6 seg  | 1 AC 4x565/72*  | 66.6 | 91.3 | 66.6 | 91.3 |  |  |
| LIQi1355 » | Obj: C420 | 6 seg  | 2 AC 4x565/72*  | 66.6 | 91.3 | 66.6 | 91.3 |  |  |
| LIQi1578 » | Obj: C420 | 20 seg | 1 AC 4x565/72*  | 66.3 | 91.3 | 66.3 | 91.3 |  |  |
| LIQi1579 » | Obj: C420 | 20 seg | 2 AC 4x565/72*  | 66.3 | 91.4 | 66.3 | 91.4 |  |  |
| LIQi1580 » | Obj: C420 | 20 seg | 3 AC 4x565/72*  | 66.0 | 91.4 | 66.0 | 91.4 |  |  |
| LIQi1581 » | Obj: C420 | 20 seg | 4 AC 4x565/72*  | 66.0 | 91.4 | 66.0 | 91.4 |  |  |
| LIQi2311 » | Obj: C420 | 65 seg | 14 AC 4x565/72* | 65.7 | 91.4 | 65.7 | 91.4 |  |  |
| LIQi2310 » | Obj: C420 | 65 seg | 13 AC 4x565/72* | 65.7 | 91.4 | 65.7 | 91.4 |  |  |
| LIQi2313 » | Obj: C420 | 65 seg | 16 AC 4x565/72* | 65.6 | 91.4 | 65.6 | 91.4 |  |  |
| LIQi2312 » | Obj: C420 | 65 seg | 15 AC 4x565/72* | 65.6 | 91.4 | 65.6 | 91.4 |  |  |
| LIQi2064 » | Obj: C420 | 50 seg | 7 AC 4x565/72*  | 65.6 | 91.4 | 65.6 | 91.4 |  |  |
| LIQi2065 » | Obj: C420 | 50 seg | 8 AC 4x565/72*  | 65.6 | 91.5 | 65.6 | 91.5 |  |  |
| LIQi2309 » | Obj: C420 | 65 seg | 12 AC 4x565/72* | 65.6 | 91.5 | 65.6 | 91.5 |  |  |
| LIQi2308 » | Obj: C420 | 65 seg | 11 AC 4x565/72* | 65.6 | 91.5 | 65.6 | 91.5 |  |  |
| LIQi1582 » | Obj: C420 | 20 seg | 5 AC 4x565/72*  | 65.6 | 91.5 | 65.6 | 91.5 |  |  |
| LIQi1583 » | Obj: C420 | 20 seg | 6 AC 4x565/72*  | 65.6 | 91.5 | 65.6 | 91.5 |  |  |
| LIQi2304 » | Obj: C420 | 65 seg | 7 AC 4x565/72*  | 65.6 | 91.5 | 65.6 | 91.5 |  |  |
| LIQi2073 » | Obj: C420 | 50 seg | 16 AC 4x565/72* | 65.6 | 91.5 | 65.6 | 91.5 |  |  |
| LIQi2307 » | Obj: C420 | 65 seg | 10 AC 4x565/72* | 65.6 | 91.5 | 65.6 | 91.5 |  |  |
| LIQi2305 » | Obj: C420 | 65 seg | 8 AC 4x565/72*  | 65.6 | 91.5 | 65.6 | 91.5 |  |  |
| LIQi2306 » | Obj: C420 | 65 seg | 9 AC 4x565/72*  | 65.6 | 91.6 | 65.6 | 91.6 |  |  |
| LIQi2072 » | Obj: C420 | 50 seg | 15 AC 4x565/72* | 65.6 | 91.6 | 65.6 | 91.6 |  |  |
| LIQi2069 » | Obj: C420 | 50 seg | 12 AC 4x565/72* | 65.5 | 91.6 | 65.5 | 91.6 |  |  |
| LIQi2068 » | Obj: C420 | 50 seg | 11 AC 4x565/72* | 65.5 | 91.6 | 65.5 | 91.6 |  |  |
| LIQi1833 » | Obj: C420 | 35 seg | 16 AC 4x565/72* | 65.5 | 91.6 | 65.5 | 91.6 |  |  |
| LIQi2062 » | Obj: C420 | 50 seg | 5 AC 4x565/72*  | 65.5 | 91.6 | 65.5 | 91.6 |  |  |
| LIQi2067 » | Obj: C420 | 50 seg | 10 AC 4x565/72* | 65.5 | 91.6 | 65.5 | 91.6 |  |  |
| LIQi2302 » | Obj: C420 | 65 seg | 5 AC 4x565/72*  | 65.5 | 91.6 | 65.5 | 91.6 |  |  |
| LIQi2063 » | Obj: C420 | 50 seg | 6 AC 4x565/72*  | 65.5 | 91.6 | 65.5 | 91.6 |  |  |
| LIQi2066 » | Obj: C420 | 50 seg | 9 AC 4x565/72*  | 65.5 | 91.7 | 65.5 | 91.7 |  |  |
| LIQi2303 » | Obj: C420 | 65 seg | 6 AC 4x565/72*  | 65.5 | 91.7 | 65.5 | 91.7 |  |  |
| LIQi1832 » | Obj: C420 | 35 seg | 15 AC 4x565/72* | 65.5 | 91.7 | 65.5 | 91.7 |  |  |
| LIQi1818 » | Obj: C420 | 35 seg | 1 AC 4x565/72*  | 65.5 | 91.7 | 65.5 | 91.7 |  |  |
| LIQi1831 » | Obj: C420 | 35 seg | 14 AC 4x565/72* | 65.5 | 91.7 | 65.5 | 91.7 |  |  |
| LIQi1819 » | Obj: C420 | 35 seg | 2 AC 4x565/72*  | 65.5 | 91.7 | 65.5 | 91.7 |  |  |
| LIQi1830 » | Obj: C420 | 35 seg | 13 AC 4x565/72* | 65.5 | 91.7 | 65.5 | 91.7 |  |  |
| LIQi2298 » | Obj: C420 | 65 seg | 1 AC 4x565/72*  | 65.5 | 91.7 | 65.5 | 91.7 |  |  |
| LIQi1820 » | Obj: C420 | 35 seg | 3 AC 4x565/72*  | 65.5 | 91.7 | 65.5 | 91.7 |  |  |
| LIQi2058 » | Obj: C420 | 50 seg | 1 AC 4x565/72*  | 65.4 | 91.7 | 65.4 | 91.7 |  |  |
| LIQi2071 » | Obj: C420 | 50 seg | 14 AC 4x565/72* | 65.4 | 91.8 | 65.4 | 91.8 |  |  |
| LIQi1829 » | Obj: C420 | 35 seg | 12 AC 4x565/72* | 65.4 | 91.8 | 65.4 | 91.8 |  |  |
| LIQi1821 » | Obj: C420 | 35 seg | 4 AC 4x565/72*  | 65.4 | 91.8 | 65.4 | 91.8 |  |  |
| LIQi2299 » | Obj: C420 | 65 seg | 2 AC 4x565/72*  | 65.4 | 91.8 | 65.4 | 91.8 |  |  |
| LIQi1828 » | Obj: C420 | 35 seg | 11 AC 4x565/72* | 65.4 | 91.8 | 65.4 | 91.8 |  |  |
| LIQi2059 » | Obj: C420 | 50 seg | 2 AC 4x565/72*  | 65.4 | 91.8 | 65.4 | 91.8 |  |  |
| LIQi2070 » | Obj: C420 | 50 seg | 13 AC 4x565/72* | 65.4 | 91.8 | 65.4 | 91.8 |  |  |
| LIQi1822 » | Obj: C420 | 35 seg | 5 AC 4x565/72*  | 65.4 | 91.8 | 65.4 | 91.8 |  |  |
| LIQi1827 » | Obj: C420 | 35 seg | 10 AC 4x565/72* | 65.4 | 91.8 | 65.4 | 91.8 |  |  |
| LIQi1823 » | Obj: C420 | 35 seg | 6 AC 4x565/72*  | 65.4 | 91.8 | 65.4 | 91.8 |  |  |
| LIQi1826 » | Obj: C420 | 35 seg | 9 AC 4x565/72*  | 65.4 | 91.9 | 65.4 | 91.9 |  |  |
| LIQi2300 » | Obj: C420 | 65 seg | 3 AC 4x565/72*  | 65.4 | 91.9 | 65.4 | 91.9 |  |  |
| LIQi1824 » | Obj: C420 | 35 seg | 7 AC 4x565/72*  | 65.4 | 91.9 | 65.4 | 91.9 |  |  |
| LIQi1825 » | Obj: C420 | 35 seg | 8 AC 4x565/72*  | 65.4 | 91.9 | 65.4 | 91.9 |  |  |
| LIQi2060 » | Obj: C420 | 50 seg | 3 AC 4x565/72*  | 65.4 | 91.9 | 65.4 | 91.9 |  |  |
| LIQi2061 » | Obj: C420 | 50 seg | 4 AC 4x565/72*  | 65.4 | 91.9 | 65.4 | 91.9 |  |  |





|            |           |        |                 |      |      |      |      |  |  |
|------------|-----------|--------|-----------------|------|------|------|------|--|--|
| LIQi2301 » | Obj: C420 | 65 seg | 4 AC 4x565/72*  | 65.4 | 91.9 | 65.4 | 91.9 |  |  |
| LIQi1585 » | Obj: C420 | 20 seg | 8 AC 4x565/72*  | 65.4 | 91.9 | 65.4 | 91.9 |  |  |
| LIQi1584 » | Obj: C420 | 20 seg | 7 AC 4x565/72*  | 65.4 | 91.9 | 65.4 | 91.9 |  |  |
| LIQi1353 » | Obj: C420 | 5 seg  | 16 AC 4x565/72* | 65.4 | 91.9 | 65.4 | 91.9 |  |  |
| LIQi1352 » | Obj: C420 | 5 seg  | 15 AC 4x565/72* | 65.4 | 92.0 | 65.4 | 92.0 |  |  |
| LIQi1642 » | Obj: C420 | 24 seg | 1 AC 4x565/72*  | 65.3 | 92.0 | 65.3 | 92.0 |  |  |
| LIQi1643 » | Obj: C420 | 24 seg | 2 AC 4x565/72*  | 65.3 | 92.0 | 65.3 | 92.0 |  |  |
| LIQi1587 » | Obj: C420 | 20 seg | 10 AC 4x565/72* | 65.1 | 92.0 | 65.1 | 92.0 |  |  |
| LIQi1586 » | Obj: C420 | 20 seg | 9 AC 4x565/72*  | 65.1 | 92.0 | 65.1 | 92.0 |  |  |
| LIQi1351 » | Obj: C420 | 5 seg  | 14 AC 4x565/72* | 65.1 | 92.0 | 65.1 | 92.0 |  |  |
| LIQi1350 » | Obj: C420 | 5 seg  | 13 AC 4x565/72* | 65.0 | 92.0 | 65.0 | 92.0 |  |  |
| LIQi1644 » | Obj: C420 | 24 seg | 3 AC 4x565/72*  | 65.0 | 92.0 | 65.0 | 92.0 |  |  |
| LIQi1645 » | Obj: C420 | 24 seg | 4 AC 4x565/72*  | 65.0 | 92.0 | 65.0 | 92.0 |  |  |
| LIQi1589 » | Obj: C420 | 20 seg | 12 AC 4x565/72* | 64.9 | 92.0 | 64.9 | 92.0 |  |  |
| LIQi1588 » | Obj: C420 | 20 seg | 11 AC 4x565/72* | 64.9 | 92.0 | 64.9 | 92.0 |  |  |
| LIQi1349 » | Obj: C420 | 5 seg  | 12 AC 4x565/72* | 64.7 | 92.0 | 64.7 | 92.0 |  |  |
| LIQi1348 » | Obj: C420 | 5 seg  | 11 AC 4x565/72* | 64.7 | 92.1 | 64.7 | 92.1 |  |  |
| LIQi1591 » | Obj: C420 | 20 seg | 14 AC 4x565/72* | 64.7 | 92.1 | 64.7 | 92.1 |  |  |
| LIQi2377 » | Obj: C420 | 69 seg | 16 AC 4x565/72* | 64.7 | 92.1 | 64.7 | 92.1 |  |  |
| LIQi1590 » | Obj: C420 | 20 seg | 13 AC 4x565/72* | 64.7 | 92.1 | 64.7 | 92.1 |  |  |
| LIQi2376 » | Obj: C420 | 69 seg | 15 AC 4x565/72* | 64.7 | 92.1 | 64.7 | 92.1 |  |  |
| LIQi2375 » | Obj: C420 | 69 seg | 14 AC 4x565/72* | 64.7 | 92.1 | 64.7 | 92.1 |  |  |
| LIQi2374 » | Obj: C420 | 69 seg | 13 AC 4x565/72* | 64.7 | 92.1 | 64.7 | 92.1 |  |  |
| LIQi2128 » | Obj: C420 | 54 seg | 7 AC 4x565/72*  | 64.7 | 92.1 | 64.7 | 92.1 |  |  |
| LIQi2129 » | Obj: C420 | 54 seg | 8 AC 4x565/72*  | 64.7 | 92.1 | 64.7 | 92.1 |  |  |
| LIQi2373 » | Obj: C420 | 69 seg | 12 AC 4x565/72* | 64.7 | 92.1 | 64.7 | 92.1 |  |  |
| LIQi1646 » | Obj: C420 | 24 seg | 5 AC 4x565/72*  | 64.7 | 92.1 | 64.7 | 92.1 |  |  |
| LIQi1647 » | Obj: C420 | 24 seg | 6 AC 4x565/72*  | 64.7 | 92.1 | 64.7 | 92.1 |  |  |
| LIQi2372 » | Obj: C420 | 69 seg | 11 AC 4x565/72* | 64.7 | 92.2 | 64.7 | 92.2 |  |  |
| LIQi2126 » | Obj: C420 | 54 seg | 5 AC 4x565/72*  | 64.6 | 92.2 | 64.6 | 92.2 |  |  |
| LIQi2131 » | Obj: C420 | 54 seg | 10 AC 4x565/72* | 64.6 | 92.2 | 64.6 | 92.2 |  |  |
| LIQi2127 » | Obj: C420 | 54 seg | 6 AC 4x565/72*  | 64.6 | 92.2 | 64.6 | 92.2 |  |  |
| LIQi2130 » | Obj: C420 | 54 seg | 9 AC 4x565/72*  | 64.6 | 92.2 | 64.6 | 92.2 |  |  |
| LIQi2368 » | Obj: C420 | 69 seg | 7 AC 4x565/72*  | 64.6 | 92.2 | 64.6 | 92.2 |  |  |
| LIQi2371 » | Obj: C420 | 69 seg | 10 AC 4x565/72* | 64.6 | 92.2 | 64.6 | 92.2 |  |  |
| LIQi2369 » | Obj: C420 | 69 seg | 8 AC 4x565/72*  | 64.6 | 92.2 | 64.6 | 92.2 |  |  |
| LIQi2370 » | Obj: C420 | 69 seg | 9 AC 4x565/72*  | 64.6 | 92.2 | 64.6 | 92.2 |  |  |
| LIQi1593 » | Obj: C420 | 20 seg | 16 AC 4x565/72* | 64.6 | 92.2 | 64.6 | 92.2 |  |  |
| LIQi1592 » | Obj: C420 | 20 seg | 15 AC 4x565/72* | 64.6 | 92.2 | 64.6 | 92.2 |  |  |
| LIQi2124 » | Obj: C420 | 54 seg | 3 AC 4x565/72*  | 64.5 | 92.2 | 64.5 | 92.2 |  |  |
| LIQi2133 » | Obj: C420 | 54 seg | 12 AC 4x565/72* | 64.5 | 92.2 | 64.5 | 92.2 |  |  |
| LIQi2125 » | Obj: C420 | 54 seg | 4 AC 4x565/72*  | 64.5 | 92.2 | 64.5 | 92.2 |  |  |
| LIQi2132 » | Obj: C420 | 54 seg | 11 AC 4x565/72* | 64.5 | 92.3 | 64.5 | 92.3 |  |  |
| LIQi1897 » | Obj: C420 | 39 seg | 16 AC 4x565/72* | 64.5 | 92.3 | 64.5 | 92.3 |  |  |
| LIQi2366 » | Obj: C420 | 69 seg | 5 AC 4x565/72*  | 64.5 | 92.3 | 64.5 | 92.3 |  |  |
| LIQi1896 » | Obj: C420 | 39 seg | 15 AC 4x565/72* | 64.5 | 92.3 | 64.5 | 92.3 |  |  |
| LIQi2137 » | Obj: C420 | 54 seg | 16 AC 4x565/72* | 64.5 | 92.3 | 64.5 | 92.3 |  |  |
| LIQi2367 » | Obj: C420 | 69 seg | 6 AC 4x565/72*  | 64.5 | 92.3 | 64.5 | 92.3 |  |  |
| LIQi1882 » | Obj: C420 | 39 seg | 1 AC 4x565/72*  | 64.5 | 92.3 | 64.5 | 92.3 |  |  |
| LIQi1895 » | Obj: C420 | 39 seg | 14 AC 4x565/72* | 64.5 | 92.3 | 64.5 | 92.3 |  |  |
| LIQi2136 » | Obj: C420 | 54 seg | 15 AC 4x565/72* | 64.5 | 92.3 | 64.5 | 92.3 |  |  |
| LIQi1883 » | Obj: C420 | 39 seg | 2 AC 4x565/72*  | 64.5 | 92.3 | 64.5 | 92.3 |  |  |
| LIQi1894 » | Obj: C420 | 39 seg | 13 AC 4x565/72* | 64.5 | 92.3 | 64.5 | 92.3 |  |  |
| LIQi1884 » | Obj: C420 | 39 seg | 3 AC 4x565/72*  | 64.5 | 92.3 | 64.5 | 92.3 |  |  |
| LIQi2122 » | Obj: C420 | 54 seg | 1 AC 4x565/72*  | 64.4 | 92.3 | 64.4 | 92.3 |  |  |



|            |           |        |                 |      |             |      |             |  |  |
|------------|-----------|--------|-----------------|------|-------------|------|-------------|--|--|
| LIQi2135 » | Obj: C420 | 54 seg | 14 AC 4x565/72* | 64.4 | 92.3        | 64.4 | 92.3        |  |  |
| LIQi1893 » | Obj: C420 | 39 seg | 12 AC 4x565/72* | 64.4 | 92.4        | 64.4 | 92.4        |  |  |
| LIQi1417 » | Obj: C420 | 9 seg  | 16 AC 4x565/72* | 64.4 | 92.4        | 64.4 | 92.4        |  |  |
| LIQi1885 » | Obj: C420 | 39 seg | 4 AC 4x565/72*  | 64.4 | 92.4        | 64.4 | 92.4        |  |  |
| LIQi1416 » | Obj: C420 | 9 seg  | 15 AC 4x565/72* | 64.4 | 92.4        | 64.4 | 92.4        |  |  |
| LIQi1892 » | Obj: C420 | 39 seg | 11 AC 4x565/72* | 64.4 | 92.4        | 64.4 | 92.4        |  |  |
| LIQi2123 » | Obj: C420 | 54 seg | 2 AC 4x565/72*  | 64.4 | 92.4        | 64.4 | 92.4        |  |  |
| LIQi2134 » | Obj: C420 | 54 seg | 13 AC 4x565/72* | 64.4 | 92.4        | 64.4 | 92.4        |  |  |
| LIQi1886 » | Obj: C420 | 39 seg | 5 AC 4x565/72*  | 64.4 | 92.4        | 64.4 | 92.4        |  |  |
| LIQi1891 » | Obj: C420 | 39 seg | 10 AC 4x565/72* | 64.4 | 92.4        | 64.4 | 92.4        |  |  |
| LIQi1887 » | Obj: C420 | 39 seg | 6 AC 4x565/72*  | 64.4 | 92.4        | 64.4 | 92.4        |  |  |
| LIQi1890 » | Obj: C420 | 39 seg | 9 AC 4x565/72*  | 64.4 | 92.4        | 64.4 | 92.4        |  |  |
| LIQi1888 » | Obj: C420 | 39 seg | 7 AC 4x565/72*  | 64.4 | 92.4        | 64.4 | 92.4        |  |  |
| LIQi1889 » | Obj: C420 | 39 seg | 8 AC 4x565/72*  | 64.4 | 92.4        | 64.4 | 92.4        |  |  |
| LIQi2364 » | Obj: C420 | 69 seg | 3 AC 4x565/72*  | 64.4 | 92.4        | 64.4 | 92.4        |  |  |
| LIQi2365 » | Obj: C420 | 69 seg | 4 AC 4x565/72*  | 64.4 | 92.5        | 64.4 | 92.5        |  |  |
| LIQi2362 » | Obj: C420 | 69 seg | 1 AC 4x565/72*  | 64.3 | 92.5        | 64.3 | 92.5        |  |  |
| LIQi1346 » | Obj: C420 | 5 seg  | 9 AC 4x565/72*  | 64.3 | 92.5        | 64.3 | 92.5        |  |  |
| LIQi1347 » | Obj: C420 | 5 seg  | 10 AC 4x565/72* | 64.3 | 92.5        | 64.3 | 92.5        |  |  |
| LIQi2363 » | Obj: C420 | 69 seg | 2 AC 4x565/72*  | 64.3 | 92.5        | 64.3 | 92.5        |  |  |
| LIQi1649 » | Obj: C420 | 24 seg | 8 AC 4x565/72*  | 64.3 | 92.5        | 64.3 | 92.5        |  |  |
| LIQi1648 » | Obj: C420 | 24 seg | 7 AC 4x565/72*  | 64.3 | 92.5        | 64.3 | 92.5        |  |  |
| LIQi1415 » | Obj: C420 | 9 seg  | 14 AC 4x565/72* | 64.1 | 92.5        | 64.1 | 92.5        |  |  |
| LIQi1414 » | Obj: C420 | 9 seg  | 13 AC 4x565/72* | 64.1 | 92.5        | 64.1 | 92.5        |  |  |
| LIQi1651 » | Obj: C420 | 24 seg | 10 AC 4x565/72* | 64.1 | 92.5        | 64.1 | 92.5        |  |  |
| LIQi1650 » | Obj: C420 | 24 seg | 9 AC 4x565/72*  | 64.1 | 92.5        | 64.1 | 92.5        |  |  |
| LIQi1344 » | Obj: C420 | 5 seg  | 7 AC 4x565/72*  | 64.0 | 92.5        | 64.0 | 92.5        |  |  |
| LIQi1345 » | Obj: C420 | 5 seg  | 8 AC 4x565/72*  | 64.0 | 92.5        | 64.0 | 92.5        |  |  |
| LIQi1653 » | Obj: C420 | 24 seg | 12 AC 4x565/72* | 63.9 | 92.5        | 63.9 | 92.5        |  |  |
| LIQi1652 » | Obj: C420 | 24 seg | 11 AC 4x565/72* | 63.9 | 92.5        | 63.9 | 92.5        |  |  |
| LIQi1413 » | Obj: C420 | 9 seg  | 12 AC 4x565/72* | 63.7 | 92.5        | 63.7 | 92.5        |  |  |
| LIQi1412 » | Obj: C420 | 9 seg  | 11 AC 4x565/72* | 63.7 | 92.6        | 63.7 | 92.6        |  |  |
| LIQi1342 » | Obj: C420 | 5 seg  | 5 AC 4x565/72*  | 63.7 | 92.6        | 63.7 | 92.6        |  |  |
| LIQi1343 » | Obj: C420 | 5 seg  | 6 AC 4x565/72*  | 63.7 | 92.6        | 63.7 | 92.6        |  |  |
| LIQi1655 » | Obj: C420 | 24 seg | 14 AC 4x565/72* | 63.6 | 92.6        | 63.6 | 92.6        |  |  |
| LIQi1654 » | Obj: C420 | 24 seg | 13 AC 4x565/72* | 63.6 | 92.6        | 63.6 | 92.6        |  |  |
| LIQi1338 » | Obj: C420 | 5 seg  | 1 AC 4x565/72*  | 63.5 | 92.6        | 63.5 | 92.6        |  |  |
| LIQi1339 » | Obj: C420 | 5 seg  | 2 AC 4x565/72*  | 63.5 | 92.6        | 63.5 | 92.6        |  |  |
| LIQi1657 » | Obj: C420 | 24 seg | 16 AC 4x565/72* | 63.5 | 92.6        | 63.5 | 92.6        |  |  |
| LIQi1656 » | Obj: C420 | 24 seg | 15 AC 4x565/72* | 63.5 | 92.6        | 63.5 | 92.6        |  |  |
| LIQi1410 » | Obj: C420 | 9 seg  | 9 AC 4x565/72*  | 63.4 | 92.6        | 63.4 | 92.6        |  |  |
| LIQi1411 » | Obj: C420 | 9 seg  | 10 AC 4x565/72* | 63.4 | 92.6        | 63.4 | 92.6        |  |  |
| LIQi1340 » | Obj: C420 | 5 seg  | 3 AC 4x565/72*  | 63.4 | 92.6        | 63.4 | 92.6        |  |  |
| LIQi1341 » | Obj: C420 | 5 seg  | 4 AC 4x565/72*  | 63.4 | 92.6        | 63.4 | 92.6        |  |  |
| LIQi1408 » | Obj: C420 | 9 seg  | 7 AC 4x565/72*  | 63.0 | 92.6        | 63.0 | 92.6        |  |  |
| LIQi1409 » | Obj: C420 | 9 seg  | 8 AC 4x565/72*  | 63.0 | 92.6        | 63.0 | 92.6        |  |  |
| LIQi1406 » | Obj: C420 | 9 seg  | 5 AC 4x565/72*  | 62.7 | 92.6        | 62.7 | 92.6        |  |  |
| LIQi1407 » | Obj: C420 | 9 seg  | 6 AC 4x565/72*  | 62.7 | 92.6        | 62.7 | 92.6        |  |  |
| LIQi1402 » | Obj: C420 | 9 seg  | 1 AC 4x565/72*  | 62.4 | 92.6        | 62.4 | 92.6        |  |  |
| LIQi1403 » | Obj: C420 | 9 seg  | 2 AC 4x565/72*  | 62.4 | 92.6        | 62.4 | 92.6        |  |  |
| LIQi1404 » | Obj: C420 | 9 seg  | 3 AC 4x565/72*  | 62.4 | 92.6        | 62.4 | 92.6        |  |  |
| LIQi1405 » | Obj: C420 | 9 seg  | 4 AC 4x565/72*  | 62.4 | 92.7        | 62.4 | 92.7        |  |  |
| n=1260     | Summe     |        |                 |      | <b>92.7</b> |      | <b>92.7</b> |  |  |



### Anhang 3: Ergebnisse der Berechnungen (Betriebslärm)

|                      |                 |
|----------------------|-----------------|
| Mittlere Liste »     | Punktberechnung |
| Immissionsberechnung |                 |

| IPkt027 »  | 1                                | Variante 1      |      | Einstellung: Kopie von "Referenzeinstellung" |      |              |  |
|------------|----------------------------------|-----------------|------|--|------|--------------|--|
|            |                                  | x = 717192.28 m |      | y = 5404854.96 m                             |      | z = 445.00 m |  |
|            |                                  | Tag             |      | Nacht  |      |              |  |
|            |                                  | Lr,iA           | Lr,A | Lr,iA  | Lr,A |              |  |
|            |                                  | /dB             | /dB  | /dB  | /dB  |              |  |
| LIQ11877 » | Obj: C420 38 seg 12 AC 4x565/72* | 6.3             | 6.3  | 6.3  | 6.3  |              |  |
| LIQ11876 » | Obj: C420 38 seg 11 AC 4x565/72* | 6.3             | 9.3  | 6.3  | 9.3  |              |  |
| LIQ11878 » | Obj: C420 38 seg 13 AC 4x565/72* | 6.3             | 11.1 | 6.3  | 11.1 |              |  |
| LIQ11875 » | Obj: C420 38 seg 10 AC 4x565/72* | 6.1             | 12.3 | 6.1  | 12.3 |              |  |
| LIQ11879 » | Obj: C420 38 seg 14 AC 4x565/72* | 6.1             | 13.2 | 6.1  | 13.2 |              |  |
| LIQ11880 » | Obj: C420 38 seg 15 AC 4x565/72* | 5.9             | 13.9 | 5.9  | 13.9 |              |  |
| LIQ11874 » | Obj: C420 38 seg 9 AC 4x565/72*  | 5.8             | 14.6 | 5.8  | 14.6 |              |  |
| LIQ11881 » | Obj: C420 38 seg 16 AC 4x565/72* | 5.5             | 15.1 | 5.5  | 15.1 |              |  |
| LIQ11845 » | Obj: C420 36 seg 12 AC 4x565/72* | 5.4             | 15.5 | 5.4  | 15.5 |              |  |
| LIQ11873 » | Obj: C420 38 seg 8 AC 4x565/72*  | 5.4             | 15.9 | 5.4  | 15.9 |              |  |
| LIQ11844 » | Obj: C420 36 seg 11 AC 4x565/72* | 5.4             | 16.3 | 5.4  | 16.3 |              |  |
| LIQ11846 » | Obj: C420 36 seg 13 AC 4x565/72* | 5.4             | 16.6 | 5.4  | 16.6 |              |  |
| LIQ11843 » | Obj: C420 36 seg 10 AC 4x565/72* | 5.2             | 16.9 | 5.2  | 16.9 |              |  |
| LIQ11847 » | Obj: C420 36 seg 14 AC 4x565/72* | 5.2             | 17.2 | 5.2  | 17.2 |              |  |
| LIQ11848 » | Obj: C420 36 seg 15 AC 4x565/72* | 5.1             | 17.5 | 5.1  | 17.5 |              |  |
| LIQ11842 » | Obj: C420 36 seg 9 AC 4x565/72*  | 5.0             | 17.7 | 5.0  | 17.7 |              |  |
| LIQ11872 » | Obj: C420 38 seg 7 AC 4x565/72*  | 5.0             | 17.9 | 5.0  | 17.9 |              |  |
| LIQ11849 » | Obj: C420 36 seg 16 AC 4x565/72* | 4.7             | 18.1 | 4.7  | 18.1 |              |  |
| LIQ12106 » | Obj: C420 53 seg 1 AC 4x565/72*  | 4.7             | 18.3 | 4.7  | 18.3 |              |  |
| LIQ11841 » | Obj: C420 36 seg 8 AC 4x565/72*  | 4.6             | 18.5 | 4.6  | 18.5 |              |  |
| LIQ11871 » | Obj: C420 38 seg 6 AC 4x565/72*  | 4.4             | 18.7 | 4.4  | 18.7 |              |  |
| LIQ11840 » | Obj: C420 36 seg 7 AC 4x565/72*  | 4.2             | 18.8 | 4.2  | 18.8 |              |  |
| LIQ12074 » | Obj: C420 51 seg 1 AC 4x565/72*  | 4.0             | 19.0 | 4.0  | 19.0 |              |  |
| LIQ11870 » | Obj: C420 38 seg 5 AC 4x565/72*  | 3.9             | 19.1 | 3.9  | 19.1 |              |  |
| LIQ11839 » | Obj: C420 36 seg 6 AC 4x565/72*  | 3.7             | 19.2 | 3.7  | 19.2 |              |  |
| LIQ12107 » | Obj: C420 53 seg 2 AC 4x565/72*  | 3.7             | 19.3 | 3.7  | 19.3 |              |  |
| LIQ11869 » | Obj: C420 38 seg 4 AC 4x565/72*  | 3.3             | 19.4 | 3.3  | 19.4 |              |  |
| LIQ11838 » | Obj: C420 36 seg 5 AC 4x565/72*  | 3.2             | 19.6 | 3.2  | 19.6 |              |  |
| LIQ12075 » | Obj: C420 51 seg 2 AC 4x565/72*  | 3.0             | 19.6 | 3.0  | 19.6 |              |  |
| LIQ11868 » | Obj: C420 38 seg 3 AC 4x565/72*  | 2.7             | 19.7 | 2.7  | 19.7 |              |  |
| LIQ11837 » | Obj: C420 36 seg 4 AC 4x565/72*  | 2.6             | 19.8 | 2.6  | 19.8 |              |  |
| LIQ12108 » | Obj: C420 53 seg 3 AC 4x565/72*  | 2.6             | 19.9 | 2.6  | 19.9 |              |  |
| LIQ11867 » | Obj: C420 38 seg 2 AC 4x565/72*  | 2.1             | 20.0 | 2.1  | 20.0 |              |  |
| LIQ11836 » | Obj: C420 36 seg 3 AC 4x565/72*  | 2.1             | 20.0 | 2.1  | 20.0 |              |  |
| LIQ12076 » | Obj: C420 51 seg 3 AC 4x565/72*  | 2.0             | 20.1 | 2.0  | 20.1 |              |  |
| LIQ12109 » | Obj: C420 53 seg 4 AC 4x565/72*  | 1.7             | 20.2 | 1.7  | 20.2 |              |  |
| LIQ11835 » | Obj: C420 36 seg 2 AC 4x565/72*  | 1.7             | 20.2 | 1.7  | 20.2 |              |  |
| LIQ11866 » | Obj: C420 38 seg 1 AC 4x565/72*  | 1.6             | 20.3 | 1.6  | 20.3 |              |  |
| LIQ11893 » | Obj: C420 39 seg 12 AC 4x565/72* | 1.4             | 20.3 | 1.4  | 20.3 |              |  |
| LIQ11892 » | Obj: C420 39 seg 11 AC 4x565/72* | 1.3             | 20.4 | 1.3  | 20.4 |              |  |
| LIQ11894 » | Obj: C420 39 seg 13 AC 4x565/72* | 1.3             | 20.5 | 1.3  | 20.5 |              |  |
| LIQ11891 » | Obj: C420 39 seg 10 AC 4x565/72* | 1.1             | 20.5 | 1.1  | 20.5 |              |  |
| LIQ12077 » | Obj: C420 51 seg 4 AC 4x565/72*  | 1.1             | 20.6 | 1.1  | 20.6 |              |  |
| LIQ11834 » | Obj: C420 36 seg 1 AC 4x565/72*  | 1.1             | 20.6 | 1.1  | 20.6 |              |  |
| LIQ11829 » | Obj: C420 35 seg 12 AC 4x565/72* | 1.0             | 20.6 | 1.0  | 20.6 |              |  |
| LIQ11895 » | Obj: C420 39 seg 14 AC 4x565/72* | 1.0             | 20.7 | 1.0  | 20.7 |              |  |



|            |           |        |                 |      |      |      |      |  |  |
|------------|-----------|--------|-----------------|------|------|------|------|--|--|
| LIQi1828 » | Obj: C420 | 35 seg | 11 AC 4x565/72* | 1.0  | 20.7 | 1.0  | 20.7 |  |  |
| LIQi1830 » | Obj: C420 | 35 seg | 13 AC 4x565/72* | 1.0  | 20.8 | 1.0  | 20.8 |  |  |
| LIQi1827 » | Obj: C420 | 35 seg | 10 AC 4x565/72* | 0.8  | 20.8 | 0.8  | 20.8 |  |  |
| LIQi1890 » | Obj: C420 | 39 seg | 9 AC 4x565/72*  | 0.8  | 20.9 | 0.8  | 20.9 |  |  |
| LIQi1831 » | Obj: C420 | 35 seg | 14 AC 4x565/72* | 0.8  | 20.9 | 0.8  | 20.9 |  |  |
| LIQi2110 » | Obj: C420 | 53 seg | 5 AC 4x565/72*  | 0.8  | 21.0 | 0.8  | 21.0 |  |  |
| LIQi1896 » | Obj: C420 | 39 seg | 15 AC 4x565/72* | 0.7  | 21.0 | 0.7  | 21.0 |  |  |
| LIQi1832 » | Obj: C420 | 35 seg | 15 AC 4x565/72* | 0.6  | 21.0 | 0.6  | 21.0 |  |  |
| LIQi1826 » | Obj: C420 | 35 seg | 9 AC 4x565/72*  | 0.6  | 21.1 | 0.6  | 21.1 |  |  |
| LIQi1889 » | Obj: C420 | 39 seg | 8 AC 4x565/72*  | 0.4  | 21.1 | 0.4  | 21.1 |  |  |
| LIQi1897 » | Obj: C420 | 39 seg | 16 AC 4x565/72* | 0.3  | 21.2 | 0.3  | 21.2 |  |  |
| LIQi2078 » | Obj: C420 | 51 seg | 5 AC 4x565/72*  | 0.3  | 21.2 | 0.3  | 21.2 |  |  |
| LIQi1833 » | Obj: C420 | 35 seg | 16 AC 4x565/72* | 0.3  | 21.2 | 0.3  | 21.2 |  |  |
| LIQi1825 » | Obj: C420 | 35 seg | 8 AC 4x565/72*  | 0.2  | 21.3 | 0.2  | 21.3 |  |  |
| LIQi2111 » | Obj: C420 | 53 seg | 6 AC 4x565/72*  | -0.0 | 21.3 | -0.0 | 21.3 |  |  |
| LIQi1641 » | Obj: C420 | 23 seg | 16 AC 4x565/72* | -0.0 | 21.3 | -0.0 | 21.3 |  |  |
| LIQi1888 » | Obj: C420 | 39 seg | 7 AC 4x565/72*  | -0.1 | 21.4 | -0.1 | 21.4 |  |  |
| LIQi1824 » | Obj: C420 | 35 seg | 7 AC 4x565/72*  | -0.2 | 21.4 | -0.2 | 21.4 |  |  |
| LIQi2058 » | Obj: C420 | 50 seg | 1 AC 4x565/72*  | -0.4 | 21.4 | -0.4 | 21.4 |  |  |
| LIQi2079 » | Obj: C420 | 51 seg | 6 AC 4x565/72*  | -0.5 | 21.4 | -0.5 | 21.4 |  |  |
| LIQi2122 » | Obj: C420 | 54 seg | 1 AC 4x565/72*  | -0.5 | 21.5 | -0.5 | 21.5 |  |  |
| LIQi1609 » | Obj: C420 | 21 seg | 16 AC 4x565/72* | -0.5 | 21.5 | -0.5 | 21.5 |  |  |
| LIQi1887 » | Obj: C420 | 39 seg | 6 AC 4x565/72*  | -0.6 | 21.5 | -0.6 | 21.5 |  |  |
| LIQi1823 » | Obj: C420 | 35 seg | 6 AC 4x565/72*  | -0.6 | 21.5 | -0.6 | 21.5 |  |  |
| LIQi2112 » | Obj: C420 | 53 seg | 7 AC 4x565/72*  | -0.8 | 21.6 | -0.8 | 21.6 |  |  |
| LIQi1640 » | Obj: C420 | 23 seg | 15 AC 4x565/72* | -0.8 | 21.6 | -0.8 | 21.6 |  |  |
| LIQi1822 » | Obj: C420 | 35 seg | 5 AC 4x565/72*  | -1.1 | 21.6 | -1.1 | 21.6 |  |  |
| LIQi2080 » | Obj: C420 | 51 seg | 7 AC 4x565/72*  | -1.2 | 21.6 | -1.2 | 21.6 |  |  |
| LIQi1886 » | Obj: C420 | 39 seg | 5 AC 4x565/72*  | -1.2 | 21.7 | -1.2 | 21.7 |  |  |
| LIQi1608 » | Obj: C420 | 21 seg | 15 AC 4x565/72* | -1.3 | 21.7 | -1.3 | 21.7 |  |  |
| LIQi2059 » | Obj: C420 | 50 seg | 2 AC 4x565/72*  | -1.3 | 21.7 | -1.3 | 21.7 |  |  |
| LIQi1639 » | Obj: C420 | 23 seg | 14 AC 4x565/72* | -1.4 | 21.7 | -1.4 | 21.7 |  |  |
| LIQi2113 » | Obj: C420 | 53 seg | 8 AC 4x565/72*  | -1.5 | 21.8 | -1.5 | 21.8 |  |  |
| LIQi2123 » | Obj: C420 | 54 seg | 2 AC 4x565/72*  | -1.5 | 21.8 | -1.5 | 21.8 |  |  |
| LIQi1821 » | Obj: C420 | 35 seg | 4 AC 4x565/72*  | -1.7 | 21.8 | -1.7 | 21.8 |  |  |
| LIQi1885 » | Obj: C420 | 39 seg | 4 AC 4x565/72*  | -1.8 | 21.8 | -1.8 | 21.8 |  |  |
| LIQi1607 » | Obj: C420 | 21 seg | 14 AC 4x565/72* | -1.9 | 21.8 | -1.9 | 21.8 |  |  |
| LIQi2081 » | Obj: C420 | 51 seg | 8 AC 4x565/72*  | -1.9 | 21.8 | -1.9 | 21.8 |  |  |
| LIQi1638 » | Obj: C420 | 23 seg | 13 AC 4x565/72* | -2.1 | 21.9 | -2.1 | 21.9 |  |  |
| LIQi2114 » | Obj: C420 | 53 seg | 9 AC 4x565/72*  | -2.1 | 21.9 | -2.1 | 21.9 |  |  |
| LIQi1820 » | Obj: C420 | 35 seg | 3 AC 4x565/72*  | -2.2 | 21.9 | -2.2 | 21.9 |  |  |
| LIQi2060 » | Obj: C420 | 50 seg | 3 AC 4x565/72*  | -2.2 | 21.9 | -2.2 | 21.9 |  |  |
| LIQi2124 » | Obj: C420 | 54 seg | 3 AC 4x565/72*  | -2.4 | 21.9 | -2.4 | 21.9 |  |  |
| LIQi1884 » | Obj: C420 | 39 seg | 3 AC 4x565/72*  | -2.4 | 21.9 | -2.4 | 21.9 |  |  |
| LIQi2082 » | Obj: C420 | 51 seg | 9 AC 4x565/72*  | -2.5 | 22.0 | -2.5 | 22.0 |  |  |
| LIQi1606 » | Obj: C420 | 21 seg | 13 AC 4x565/72* | -2.5 | 22.0 | -2.5 | 22.0 |  |  |
| LIQi1637 » | Obj: C420 | 23 seg | 12 AC 4x565/72* | -2.6 | 22.0 | -2.6 | 22.0 |  |  |
| LIQi1819 » | Obj: C420 | 35 seg | 2 AC 4x565/72*  | -2.7 | 22.0 | -2.7 | 22.0 |  |  |
| LIQi2115 » | Obj: C420 | 53 seg | 10 AC 4x565/72* | -2.7 | 22.0 | -2.7 | 22.0 |  |  |
| LIQi1605 » | Obj: C420 | 21 seg | 12 AC 4x565/72* | -3.0 | 22.0 | -3.0 | 22.0 |  |  |
| LIQi1883 » | Obj: C420 | 39 seg | 2 AC 4x565/72*  | -3.0 | 22.1 | -3.0 | 22.1 |  |  |
| LIQi2061 » | Obj: C420 | 50 seg | 4 AC 4x565/72*  | -3.1 | 22.1 | -3.1 | 22.1 |  |  |
| LIQi2083 » | Obj: C420 | 51 seg | 10 AC 4x565/72* | -3.1 | 22.1 | -3.1 | 22.1 |  |  |
| LIQi1636 » | Obj: C420 | 23 seg | 11 AC 4x565/72* | -3.2 | 22.1 | -3.2 | 22.1 |  |  |
| LIQi1818 » | Obj: C420 | 35 seg | 1 AC 4x565/72*  | -3.2 | 22.1 | -3.2 | 22.1 |  |  |



|            |           |        |                 |      |      |      |      |  |  |
|------------|-----------|--------|-----------------|------|------|------|------|--|--|
| LIQi2116 » | Obj: C420 | 53 seg | 11 AC 4x565/72* | -3.3 | 22.1 | -3.3 | 22.1 |  |  |
| LIQi2125 » | Obj: C420 | 54 seg | 4 AC 4x565/72*  | -3.4 | 22.1 | -3.4 | 22.1 |  |  |
| LIQi1635 » | Obj: C420 | 23 seg | 10 AC 4x565/72* | -3.6 | 22.1 | -3.6 | 22.1 |  |  |
| LIQi1604 » | Obj: C420 | 21 seg | 11 AC 4x565/72* | -3.6 | 22.2 | -3.6 | 22.2 |  |  |
| LIQi1882 » | Obj: C420 | 39 seg | 1 AC 4x565/72*  | -3.6 | 22.2 | -3.6 | 22.2 |  |  |
| LIQi2084 » | Obj: C420 | 51 seg | 11 AC 4x565/72* | -3.7 | 22.2 | -3.7 | 22.2 |  |  |
| LIQi2062 » | Obj: C420 | 50 seg | 5 AC 4x565/72*  | -3.8 | 22.2 | -3.8 | 22.2 |  |  |
| LIQi2117 » | Obj: C420 | 53 seg | 12 AC 4x565/72* | -3.8 | 22.2 | -3.8 | 22.2 |  |  |
| LIQi1603 » | Obj: C420 | 21 seg | 10 AC 4x565/72* | -3.9 | 22.2 | -3.9 | 22.2 |  |  |
| LIQi1634 » | Obj: C420 | 23 seg | 9 AC 4x565/72*  | -4.1 | 22.2 | -4.1 | 22.2 |  |  |
| LIQi2126 » | Obj: C420 | 54 seg | 5 AC 4x565/72*  | -4.2 | 22.2 | -4.2 | 22.2 |  |  |
| LIQi2085 » | Obj: C420 | 51 seg | 12 AC 4x565/72* | -4.2 | 22.2 | -4.2 | 22.2 |  |  |
| LIQi2118 » | Obj: C420 | 53 seg | 13 AC 4x565/72* | -4.3 | 22.2 | -4.3 | 22.2 |  |  |
| LIQi1633 » | Obj: C420 | 23 seg | 8 AC 4x565/72*  | -4.4 | 22.3 | -4.4 | 22.3 |  |  |
| LIQi1602 » | Obj: C420 | 21 seg | 9 AC 4x565/72*  | -4.5 | 22.3 | -4.5 | 22.3 |  |  |
| LIQi2063 » | Obj: C420 | 50 seg | 6 AC 4x565/72*  | -4.6 | 22.3 | -4.6 | 22.3 |  |  |
| LIQi1601 » | Obj: C420 | 21 seg | 8 AC 4x565/72*  | -4.7 | 22.3 | -4.7 | 22.3 |  |  |
| LIQi2086 » | Obj: C420 | 51 seg | 13 AC 4x565/72* | -4.7 | 22.3 | -4.7 | 22.3 |  |  |
| LIQi1593 » | Obj: C420 | 20 seg | 16 AC 4x565/72* | -4.8 | 22.3 | -4.8 | 22.3 |  |  |
| LIQi2119 » | Obj: C420 | 53 seg | 14 AC 4x565/72* | -4.8 | 22.3 | -4.8 | 22.3 |  |  |
| LIQi1632 » | Obj: C420 | 23 seg | 7 AC 4x565/72*  | -4.9 | 22.3 | -4.9 | 22.3 |  |  |
| LIQi2127 » | Obj: C420 | 54 seg | 6 AC 4x565/72*  | -5.0 | 22.3 | -5.0 | 22.3 |  |  |
| LIQi1631 » | Obj: C420 | 23 seg | 6 AC 4x565/72*  | -5.1 | 22.3 | -5.1 | 22.3 |  |  |
| LIQi1600 » | Obj: C420 | 21 seg | 7 AC 4x565/72*  | -5.1 | 22.3 | -5.1 | 22.3 |  |  |
| LIQi2087 » | Obj: C420 | 51 seg | 14 AC 4x565/72* | -5.1 | 22.3 | -5.1 | 22.3 |  |  |
| LIQi2120 » | Obj: C420 | 53 seg | 15 AC 4x565/72* | -5.1 | 22.4 | -5.1 | 22.4 |  |  |
| LIQi2064 » | Obj: C420 | 50 seg | 7 AC 4x565/72*  | -5.2 | 22.4 | -5.2 | 22.4 |  |  |
| LIQi1657 » | Obj: C420 | 24 seg | 16 AC 4x565/72* | -5.3 | 22.4 | -5.3 | 22.4 |  |  |
| LIQi1599 » | Obj: C420 | 21 seg | 6 AC 4x565/72*  | -5.4 | 22.4 | -5.4 | 22.4 |  |  |
| LIQi2088 » | Obj: C420 | 51 seg | 15 AC 4x565/72* | -5.5 | 22.4 | -5.5 | 22.4 |  |  |
| LIQi1630 » | Obj: C420 | 23 seg | 5 AC 4x565/72*  | -5.5 | 22.4 | -5.5 | 22.4 |  |  |
| LIQi1592 » | Obj: C420 | 20 seg | 15 AC 4x565/72* | -5.5 | 22.4 | -5.5 | 22.4 |  |  |
| LIQi2121 » | Obj: C420 | 53 seg | 16 AC 4x565/72* | -5.6 | 22.4 | -5.6 | 22.4 |  |  |
| LIQi2128 » | Obj: C420 | 54 seg | 7 AC 4x565/72*  | -5.7 | 22.4 | -5.7 | 22.4 |  |  |
| LIQi1629 » | Obj: C420 | 23 seg | 4 AC 4x565/72*  | -5.7 | 22.4 | -5.7 | 22.4 |  |  |
| LIQi1598 » | Obj: C420 | 21 seg | 5 AC 4x565/72*  | -5.8 | 22.4 | -5.8 | 22.4 |  |  |
| LIQi2089 » | Obj: C420 | 51 seg | 16 AC 4x565/72* | -5.9 | 22.4 | -5.9 | 22.4 |  |  |
| LIQi2065 » | Obj: C420 | 50 seg | 8 AC 4x565/72*  | -5.9 | 22.4 | -5.9 | 22.4 |  |  |
| LIQi1597 » | Obj: C420 | 21 seg | 4 AC 4x565/72*  | -5.9 | 22.4 | -5.9 | 22.4 |  |  |
| LIQi1591 » | Obj: C420 | 20 seg | 14 AC 4x565/72* | -6.0 | 22.5 | -6.0 | 22.5 |  |  |
| LIQi1628 » | Obj: C420 | 23 seg | 3 AC 4x565/72*  | -6.1 | 22.5 | -6.1 | 22.5 |  |  |
| LIQi1656 » | Obj: C420 | 24 seg | 15 AC 4x565/72* | -6.1 | 22.5 | -6.1 | 22.5 |  |  |
| LIQi1627 » | Obj: C420 | 23 seg | 2 AC 4x565/72*  | -6.1 | 22.5 | -6.1 | 22.5 |  |  |
| LIQi2346 » | Obj: C420 | 68 seg | 1 AC 4x565/72*  | -6.2 | 22.5 | -6.2 | 22.5 |  |  |
| LIQi1596 » | Obj: C420 | 21 seg | 3 AC 4x565/72*  | -6.3 | 22.5 | -6.3 | 22.5 |  |  |
| LIQi1595 » | Obj: C420 | 21 seg | 2 AC 4x565/72*  | -6.3 | 22.5 | -6.3 | 22.5 |  |  |
| LIQi2129 » | Obj: C420 | 54 seg | 8 AC 4x565/72*  | -6.4 | 22.5 | -6.4 | 22.5 |  |  |
| LIQi1626 » | Obj: C420 | 23 seg | 1 AC 4x565/72*  | -6.5 | 22.5 | -6.5 | 22.5 |  |  |
| LIQi2314 » | Obj: C420 | 66 seg | 1 AC 4x565/72*  | -6.5 | 22.5 | -6.5 | 22.5 |  |  |
| LIQi2066 » | Obj: C420 | 50 seg | 9 AC 4x565/72*  | -6.6 | 22.5 | -6.6 | 22.5 |  |  |
| LIQi1655 » | Obj: C420 | 24 seg | 14 AC 4x565/72* | -6.6 | 22.5 | -6.6 | 22.5 |  |  |
| LIQi1590 » | Obj: C420 | 20 seg | 13 AC 4x565/72* | -6.6 | 22.5 | -6.6 | 22.5 |  |  |
| LIQi1594 » | Obj: C420 | 21 seg | 1 AC 4x565/72*  | -6.7 | 22.5 | -6.7 | 22.5 |  |  |
| LIQi2347 » | Obj: C420 | 68 seg | 2 AC 4x565/72*  | -6.9 | 22.5 | -6.9 | 22.5 |  |  |
| LIQi1589 » | Obj: C420 | 20 seg | 12 AC 4x565/72* | -7.1 | 22.5 | -7.1 | 22.5 |  |  |



|            |           |        |                 |       |      |       |      |  |  |
|------------|-----------|--------|-----------------|-------|------|-------|------|--|--|
| LIQi2130 » | Obj: C420 | 54 seg | 9 AC 4x565/72*  | -7.1  | 22.5 | -7.1  | 22.5 |  |  |
| LIQi2315 » | Obj: C420 | 66 seg | 2 AC 4x565/72*  | -7.2  | 22.5 | -7.2  | 22.5 |  |  |
| LIQi2067 » | Obj: C420 | 50 seg | 10 AC 4x565/72* | -7.2  | 22.5 | -7.2  | 22.5 |  |  |
| LIQi1654 » | Obj: C420 | 24 seg | 13 AC 4x565/72* | -7.3  | 22.6 | -7.3  | 22.6 |  |  |
| LIQi2348 » | Obj: C420 | 68 seg | 3 AC 4x565/72*  | -7.6  | 22.6 | -7.6  | 22.6 |  |  |
| LIQi1588 » | Obj: C420 | 20 seg | 11 AC 4x565/72* | -7.6  | 22.6 | -7.6  | 22.6 |  |  |
| LIQi1653 » | Obj: C420 | 24 seg | 12 AC 4x565/72* | -7.7  | 22.6 | -7.7  | 22.6 |  |  |
| LIQi1401 » | Obj: C420 | 8 seg  | 16 AC 4x565/72* | -7.7  | 22.6 | -7.7  | 22.6 |  |  |
| LIQi2068 » | Obj: C420 | 50 seg | 11 AC 4x565/72* | -7.7  | 22.6 | -7.7  | 22.6 |  |  |
| LIQi2131 » | Obj: C420 | 54 seg | 10 AC 4x565/72* | -7.8  | 22.6 | -7.8  | 22.6 |  |  |
| LIQi1369 » | Obj: C420 | 6 seg  | 16 AC 4x565/72* | -7.9  | 22.6 | -7.9  | 22.6 |  |  |
| LIQi2316 » | Obj: C420 | 66 seg | 3 AC 4x565/72*  | -7.9  | 22.6 | -7.9  | 22.6 |  |  |
| LIQi1587 » | Obj: C420 | 20 seg | 10 AC 4x565/72* | -8.0  | 22.6 | -8.0  | 22.6 |  |  |
| LIQi1400 » | Obj: C420 | 8 seg  | 15 AC 4x565/72* | -8.1  | 22.6 | -8.1  | 22.6 |  |  |
| LIQi2349 » | Obj: C420 | 68 seg | 4 AC 4x565/72*  | -8.2  | 22.6 | -8.2  | 22.6 |  |  |
| LIQi1368 » | Obj: C420 | 6 seg  | 15 AC 4x565/72* | -8.2  | 22.6 | -8.2  | 22.6 |  |  |
| LIQi2069 » | Obj: C420 | 50 seg | 12 AC 4x565/72* | -8.3  | 22.6 | -8.3  | 22.6 |  |  |
| LIQi1652 » | Obj: C420 | 24 seg | 11 AC 4x565/72* | -8.3  | 22.6 | -8.3  | 22.6 |  |  |
| LIQi2317 » | Obj: C420 | 66 seg | 4 AC 4x565/72*  | -8.4  | 22.6 | -8.4  | 22.6 |  |  |
| LIQi2132 » | Obj: C420 | 54 seg | 11 AC 4x565/72* | -8.4  | 22.6 | -8.4  | 22.6 |  |  |
| LIQi1586 » | Obj: C420 | 20 seg | 9 AC 4x565/72*  | -8.5  | 22.6 | -8.5  | 22.6 |  |  |
| LIQi1651 » | Obj: C420 | 24 seg | 10 AC 4x565/72* | -8.7  | 22.6 | -8.7  | 22.6 |  |  |
| LIQi2350 » | Obj: C420 | 68 seg | 5 AC 4x565/72*  | -8.7  | 22.6 | -8.7  | 22.6 |  |  |
| LIQi1585 » | Obj: C420 | 20 seg | 8 AC 4x565/72*  | -8.7  | 22.6 | -8.7  | 22.6 |  |  |
| LIQi2070 » | Obj: C420 | 50 seg | 13 AC 4x565/72* | -8.8  | 22.6 | -8.8  | 22.6 |  |  |
| LIQi1864 » | Obj: C420 | 37 seg | 15 AC 4x565/72* | -8.9  | 22.6 | -8.9  | 22.6 |  |  |
| LIQi1862 » | Obj: C420 | 37 seg | 13 AC 4x565/72* | -8.9  | 22.6 | -8.9  | 22.6 |  |  |
| LIQi1399 » | Obj: C420 | 8 seg  | 14 AC 4x565/72* | -8.9  | 22.6 | -8.9  | 22.6 |  |  |
| LIQi2318 » | Obj: C420 | 66 seg | 5 AC 4x565/72*  | -9.0  | 22.6 | -9.0  | 22.6 |  |  |
| LIQi2133 » | Obj: C420 | 54 seg | 12 AC 4x565/72* | -9.0  | 22.6 | -9.0  | 22.6 |  |  |
| LIQi1861 » | Obj: C420 | 37 seg | 12 AC 4x565/72* | -9.1  | 22.6 | -9.1  | 22.6 |  |  |
| LIQi1860 » | Obj: C420 | 37 seg | 11 AC 4x565/72* | -9.1  | 22.7 | -9.1  | 22.7 |  |  |
| LIQi1863 » | Obj: C420 | 37 seg | 14 AC 4x565/72* | -9.1  | 22.7 | -9.1  | 22.7 |  |  |
| LIQi1367 » | Obj: C420 | 6 seg  | 14 AC 4x565/72* | -9.1  | 22.7 | -9.1  | 22.7 |  |  |
| LIQi1584 » | Obj: C420 | 20 seg | 7 AC 4x565/72*  | -9.2  | 22.7 | -9.2  | 22.7 |  |  |
| LIQi2351 » | Obj: C420 | 68 seg | 6 AC 4x565/72*  | -9.2  | 22.7 | -9.2  | 22.7 |  |  |
| LIQi1650 » | Obj: C420 | 24 seg | 9 AC 4x565/72*  | -9.2  | 22.7 | -9.2  | 22.7 |  |  |
| LIQi1398 » | Obj: C420 | 8 seg  | 13 AC 4x565/72* | -9.3  | 22.7 | -9.3  | 22.7 |  |  |
| LIQi2071 » | Obj: C420 | 50 seg | 14 AC 4x565/72* | -9.3  | 22.7 | -9.3  | 22.7 |  |  |
| LIQi1865 » | Obj: C420 | 37 seg | 16 AC 4x565/72* | -9.3  | 22.7 | -9.3  | 22.7 |  |  |
| LIQi1859 » | Obj: C420 | 37 seg | 10 AC 4x565/72* | -9.4  | 22.7 | -9.4  | 22.7 |  |  |
| LIQi1583 » | Obj: C420 | 20 seg | 6 AC 4x565/72*  | -9.4  | 22.7 | -9.4  | 22.7 |  |  |
| LIQi2319 » | Obj: C420 | 66 seg | 6 AC 4x565/72*  | -9.5  | 22.7 | -9.5  | 22.7 |  |  |
| LIQi1366 » | Obj: C420 | 6 seg  | 13 AC 4x565/72* | -9.5  | 22.7 | -9.5  | 22.7 |  |  |
| LIQi1649 » | Obj: C420 | 24 seg | 8 AC 4x565/72*  | -9.6  | 22.7 | -9.6  | 22.7 |  |  |
| LIQi2134 » | Obj: C420 | 54 seg | 13 AC 4x565/72* | -9.6  | 22.7 | -9.6  | 22.7 |  |  |
| LIQi2072 » | Obj: C420 | 50 seg | 15 AC 4x565/72* | -9.6  | 22.7 | -9.6  | 22.7 |  |  |
| LIQi2352 » | Obj: C420 | 68 seg | 7 AC 4x565/72*  | -9.7  | 22.7 | -9.7  | 22.7 |  |  |
| LIQi1858 » | Obj: C420 | 37 seg | 9 AC 4x565/72*  | -9.7  | 22.7 | -9.7  | 22.7 |  |  |
| LIQi1581 » | Obj: C420 | 20 seg | 4 AC 4x565/72*  | -9.9  | 22.7 | -9.9  | 22.7 |  |  |
| LIQi1582 » | Obj: C420 | 20 seg | 5 AC 4x565/72*  | -9.9  | 22.7 | -9.9  | 22.7 |  |  |
| LIQi1397 » | Obj: C420 | 8 seg  | 12 AC 4x565/72* | -9.9  | 22.7 | -9.9  | 22.7 |  |  |
| LIQi2320 » | Obj: C420 | 66 seg | 7 AC 4x565/72*  | -9.9  | 22.7 | -9.9  | 22.7 |  |  |
| LIQi2073 » | Obj: C420 | 50 seg | 16 AC 4x565/72* | -10.0 | 22.7 | -10.0 | 22.7 |  |  |
| LIQi1648 » | Obj: C420 | 24 seg | 7 AC 4x565/72*  | -10.0 | 22.7 | -10.0 | 22.7 |  |  |



|            |           |        |                 |       |      |       |      |  |  |
|------------|-----------|--------|-----------------|-------|------|-------|------|--|--|
| LIQi2135 » | Obj: C420 | 54 seg | 14 AC 4x565/72* | -10.1 | 22.7 | -10.1 | 22.7 |  |  |
| LIQi1857 » | Obj: C420 | 37 seg | 8 AC 4x565/72*  | -10.1 | 22.7 | -10.1 | 22.7 |  |  |
| LIQi1647 » | Obj: C420 | 24 seg | 6 AC 4x565/72*  | -10.1 | 22.7 | -10.1 | 22.7 |  |  |
| LIQi2353 » | Obj: C420 | 68 seg | 8 AC 4x565/72*  | -10.1 | 22.7 | -10.1 | 22.7 |  |  |
| LIQi1396 » | Obj: C420 | 8 seg  | 11 AC 4x565/72* | -10.2 | 22.7 | -10.2 | 22.7 |  |  |
| LIQi1365 » | Obj: C420 | 6 seg  | 12 AC 4x565/72* | -10.2 | 22.7 | -10.2 | 22.7 |  |  |
| LIQi1580 » | Obj: C420 | 20 seg | 3 AC 4x565/72*  | -10.2 | 22.7 | -10.2 | 22.7 |  |  |
| LIQi1579 » | Obj: C420 | 20 seg | 2 AC 4x565/72*  | -10.3 | 22.7 | -10.3 | 22.7 |  |  |
| LIQi2090 » | Obj: C420 | 52 seg | 1 AC 4x565/72*  | -10.3 | 22.7 | -10.3 | 22.7 |  |  |
| LIQi2321 » | Obj: C420 | 66 seg | 8 AC 4x565/72*  | -10.4 | 22.7 | -10.4 | 22.7 |  |  |
| LIQi1364 » | Obj: C420 | 6 seg  | 11 AC 4x565/72* | -10.5 | 22.7 | -10.5 | 22.7 |  |  |
| LIQi2136 » | Obj: C420 | 54 seg | 15 AC 4x565/72* | -10.5 | 22.7 | -10.5 | 22.7 |  |  |
| LIQi1646 » | Obj: C420 | 24 seg | 5 AC 4x565/72*  | -10.5 | 22.7 | -10.5 | 22.7 |  |  |
| LIQi1816 » | Obj: C420 | 34 seg | 15 AC 4x565/72* | -10.6 | 22.7 | -10.6 | 22.7 |  |  |
| LIQi1856 » | Obj: C420 | 37 seg | 7 AC 4x565/72*  | -10.6 | 22.7 | -10.6 | 22.7 |  |  |
| LIQi1578 » | Obj: C420 | 20 seg | 1 AC 4x565/72*  | -10.6 | 22.7 | -10.6 | 22.7 |  |  |
| LIQi2354 » | Obj: C420 | 68 seg | 9 AC 4x565/72*  | -10.6 | 22.7 | -10.6 | 22.7 |  |  |
| LIQi1645 » | Obj: C420 | 24 seg | 4 AC 4x565/72*  | -10.6 | 22.7 | -10.6 | 22.7 |  |  |
| LIQi2298 » | Obj: C420 | 65 seg | 1 AC 4x565/72*  | -10.7 | 22.8 | -10.7 | 22.8 |  |  |
| LIQi1814 » | Obj: C420 | 34 seg | 13 AC 4x565/72* | -10.7 | 22.8 | -10.7 | 22.8 |  |  |
| LIQi2322 » | Obj: C420 | 66 seg | 9 AC 4x565/72*  | -10.8 | 22.8 | -10.8 | 22.8 |  |  |
| LIQi1813 » | Obj: C420 | 34 seg | 12 AC 4x565/72* | -10.8 | 22.8 | -10.8 | 22.8 |  |  |
| LIQi1812 » | Obj: C420 | 34 seg | 11 AC 4x565/72* | -10.9 | 22.8 | -10.9 | 22.8 |  |  |
| LIQi1395 » | Obj: C420 | 8 seg  | 10 AC 4x565/72* | -10.9 | 22.8 | -10.9 | 22.8 |  |  |
| LIQi1815 » | Obj: C420 | 34 seg | 14 AC 4x565/72* | -10.9 | 22.8 | -10.9 | 22.8 |  |  |
| LIQi2137 » | Obj: C420 | 54 seg | 16 AC 4x565/72* | -10.9 | 22.8 | -10.9 | 22.8 |  |  |
| LIQi1817 » | Obj: C420 | 34 seg | 16 AC 4x565/72* | -10.9 | 22.8 | -10.9 | 22.8 |  |  |
| LIQi1644 » | Obj: C420 | 24 seg | 3 AC 4x565/72*  | -11.0 | 22.8 | -11.0 | 22.8 |  |  |
| LIQi2355 » | Obj: C420 | 68 seg | 10 AC 4x565/72* | -11.0 | 22.8 | -11.0 | 22.8 |  |  |
| LIQi1855 » | Obj: C420 | 37 seg | 6 AC 4x565/72*  | -11.1 | 22.8 | -11.1 | 22.8 |  |  |
| LIQi1643 » | Obj: C420 | 24 seg | 2 AC 4x565/72*  | -11.1 | 22.8 | -11.1 | 22.8 |  |  |
| LIQi1394 » | Obj: C420 | 8 seg  | 9 AC 4x565/72*  | -11.1 | 22.8 | -11.1 | 22.8 |  |  |
| LIQi1363 » | Obj: C420 | 6 seg  | 10 AC 4x565/72* | -11.2 | 22.8 | -11.2 | 22.8 |  |  |
| LIQi2323 » | Obj: C420 | 66 seg | 10 AC 4x565/72* | -11.2 | 22.8 | -11.2 | 22.8 |  |  |
| LIQi1811 » | Obj: C420 | 34 seg | 10 AC 4x565/72* | -11.2 | 22.8 | -11.2 | 22.8 |  |  |
| LIQi2299 » | Obj: C420 | 65 seg | 2 AC 4x565/72*  | -11.3 | 22.8 | -11.3 | 22.8 |  |  |
| LIQi2091 » | Obj: C420 | 52 seg | 2 AC 4x565/72*  | -11.4 | 22.8 | -11.4 | 22.8 |  |  |
| LIQi2356 » | Obj: C420 | 68 seg | 11 AC 4x565/72* | -11.4 | 22.8 | -11.4 | 22.8 |  |  |
| LIQi1362 » | Obj: C420 | 6 seg  | 9 AC 4x565/72*  | -11.4 | 22.8 | -11.4 | 22.8 |  |  |
| LIQi1642 » | Obj: C420 | 24 seg | 1 AC 4x565/72*  | -11.5 | 22.8 | -11.5 | 22.8 |  |  |
| LIQi1810 » | Obj: C420 | 34 seg | 9 AC 4x565/72*  | -11.5 | 22.8 | -11.5 | 22.8 |  |  |
| LIQi2324 » | Obj: C420 | 66 seg | 11 AC 4x565/72* | -11.6 | 22.8 | -11.6 | 22.8 |  |  |
| LIQi2362 » | Obj: C420 | 69 seg | 1 AC 4x565/72*  | -11.6 | 22.8 | -11.6 | 22.8 |  |  |
| LIQi1854 » | Obj: C420 | 37 seg | 5 AC 4x565/72*  | -11.7 | 22.8 | -11.7 | 22.8 |  |  |
| LIQi2357 » | Obj: C420 | 68 seg | 12 AC 4x565/72* | -11.8 | 22.8 | -11.8 | 22.8 |  |  |
| LIQi2042 » | Obj: C420 | 49 seg | 1 AC 4x565/72*  | -11.8 | 22.8 | -11.8 | 22.8 |  |  |
| LIQi1393 » | Obj: C420 | 8 seg  | 8 AC 4x565/72*  | -11.8 | 22.8 | -11.8 | 22.8 |  |  |
| LIQi1809 » | Obj: C420 | 34 seg | 8 AC 4x565/72*  | -11.8 | 22.8 | -11.8 | 22.8 |  |  |
| LIQi2300 » | Obj: C420 | 65 seg | 3 AC 4x565/72*  | -11.9 | 22.8 | -11.9 | 22.8 |  |  |
| LIQi1353 » | Obj: C420 | 5 seg  | 16 AC 4x565/72* | -11.9 | 22.8 | -11.9 | 22.8 |  |  |
| LIQi2325 » | Obj: C420 | 66 seg | 12 AC 4x565/72* | -11.9 | 22.8 | -11.9 | 22.8 |  |  |
| LIQi2358 » | Obj: C420 | 68 seg | 13 AC 4x565/72* | -12.0 | 22.8 | -12.0 | 22.8 |  |  |
| LIQi1361 » | Obj: C420 | 6 seg  | 8 AC 4x565/72*  | -12.0 | 22.8 | -12.0 | 22.8 |  |  |
| LIQi1392 » | Obj: C420 | 8 seg  | 7 AC 4x565/72*  | -12.1 | 22.8 | -12.1 | 22.8 |  |  |
| LIQi1853 » | Obj: C420 | 37 seg | 4 AC 4x565/72*  | -12.1 | 22.8 | -12.1 | 22.8 |  |  |



|            |           |        |                 |       |             |       |             |  |  |
|------------|-----------|--------|-----------------|-------|-------------|-------|-------------|--|--|
| LIQi2363 » | Obj: C420 | 69 seg | 2 AC 4x565/72*  | -12.2 | 22.8        | -12.2 | 22.8        |  |  |
| LIQi2326 » | Obj: C420 | 66 seg | 13 AC 4x565/72* | -12.2 | 22.8        | -12.2 | 22.8        |  |  |
| LIQi1360 » | Obj: C420 | 6 seg  | 7 AC 4x565/72*  | -12.2 | 22.8        | -12.2 | 22.8        |  |  |
| LIQi1352 » | Obj: C420 | 5 seg  | 15 AC 4x565/72* | -12.3 | 22.8        | -12.3 | 22.8        |  |  |
| LIQi1808 » | Obj: C420 | 34 seg | 7 AC 4x565/72*  | -12.3 | 22.8        | -12.3 | 22.8        |  |  |
| LIQi2359 » | Obj: C420 | 68 seg | 14 AC 4x565/72* | -12.3 | 22.8        | -12.3 | 22.8        |  |  |
| LIQi2301 » | Obj: C420 | 65 seg | 4 AC 4x565/72*  | -12.5 | 22.8        | -12.5 | 22.8        |  |  |
| LIQi2327 » | Obj: C420 | 66 seg | 14 AC 4x565/72* | -12.5 | 22.8        | -12.5 | 22.8        |  |  |
| LIQi1391 » | Obj: C420 | 8 seg  | 6 AC 4x565/72*  | -12.6 | 22.8        | -12.6 | 22.8        |  |  |
| LIQi1417 » | Obj: C420 | 9 seg  | 16 AC 4x565/72* | -12.7 | 22.8        | -12.7 | 22.8        |  |  |
| LIQi1807 » | Obj: C420 | 34 seg | 6 AC 4x565/72*  | -12.7 | 22.8        | -12.7 | 22.8        |  |  |
| LIQi2043 » | Obj: C420 | 49 seg | 2 AC 4x565/72*  | -12.7 | 22.8        | -12.7 | 22.8        |  |  |
| LIQi2364 » | Obj: C420 | 69 seg | 3 AC 4x565/72*  | -12.7 | 22.8        | -12.7 | 22.8        |  |  |
| LIQi1852 » | Obj: C420 | 37 seg | 3 AC 4x565/72*  | -12.7 | 22.8        | -12.7 | 22.8        |  |  |
| LIQi1390 » | Obj: C420 | 8 seg  | 5 AC 4x565/72*  | -12.8 | 22.8        | -12.8 | 22.8        |  |  |
| LIQi1851 » | Obj: C420 | 37 seg | 2 AC 4x565/72*  | -12.9 | 22.8        | -12.9 | 22.8        |  |  |
| LIQi2092 » | Obj: C420 | 52 seg | 3 AC 4x565/72*  | -12.9 | 22.8        | -12.9 | 22.8        |  |  |
| LIQi1359 » | Obj: C420 | 6 seg  | 6 AC 4x565/72*  | -12.9 | 22.8        | -12.9 | 22.8        |  |  |
| LIQi1351 » | Obj: C420 | 5 seg  | 14 AC 4x565/72* | -12.9 | 22.8        | -12.9 | 22.8        |  |  |
| LIQi2302 » | Obj: C420 | 65 seg | 5 AC 4x565/72*  | -12.9 | 22.8        | -12.9 | 22.8        |  |  |
| LIQi2360 » | Obj: C420 | 68 seg | 15 AC 4x565/72* | -13.0 | 22.8        | -13.0 | 22.8        |  |  |
| LIQi1416 » | Obj: C420 | 9 seg  | 15 AC 4x565/72* | -13.0 | 22.8        | -13.0 | 22.8        |  |  |
| LIQi1358 » | Obj: C420 | 6 seg  | 5 AC 4x565/72*  | -13.1 | 22.8        | -13.1 | 22.8        |  |  |
| LIQi2328 » | Obj: C420 | 66 seg | 15 AC 4x565/72* | -13.1 | 22.8        | -13.1 | 22.8        |  |  |
| LIQi1350 » | Obj: C420 | 5 seg  | 13 AC 4x565/72* | -13.2 | 22.8        | -13.2 | 22.8        |  |  |
| LIQi1806 » | Obj: C420 | 34 seg | 5 AC 4x565/72*  | -13.2 | 22.8        | -13.2 | 22.8        |  |  |
| LIQi2361 » | Obj: C420 | 68 seg | 16 AC 4x565/72* | -13.3 | 22.8        | -13.3 | 22.8        |  |  |
| LIQi2365 » | Obj: C420 | 69 seg | 4 AC 4x565/72*  | -13.3 | 22.8        | -13.3 | 22.8        |  |  |
| LIQi2303 » | Obj: C420 | 65 seg | 6 AC 4x565/72*  | -13.4 | 22.8        | -13.4 | 22.8        |  |  |
| LIQi2329 » | Obj: C420 | 66 seg | 16 AC 4x565/72* | -13.4 | 22.8        | -13.4 | 22.8        |  |  |
| LIQi1389 » | Obj: C420 | 8 seg  | 4 AC 4x565/72*  | -13.5 | 22.8        | -13.5 | 22.8        |  |  |
| LIQi1850 » | Obj: C420 | 37 seg | 1 AC 4x565/72*  | -13.5 | 22.8        | -13.5 | 22.8        |  |  |
| LIQi1805 » | Obj: C420 | 34 seg | 4 AC 4x565/72*  | -13.6 | 22.9        | -13.6 | 22.9        |  |  |
| n=895      | Summe     |        |                 |       | <b>22.9</b> |       | <b>22.9</b> |  |  |





| IPkt028 »  | 2                                | Variante 1      |      | Einstellung: Kopie von "Referenzeinstellung" |      |              |  |
|------------|----------------------------------|-----------------|------|--|------|--------------|--|
|            |                                  | x = 717202.28 m |      | y = 5404857.82 m                             |      | z = 445.00 m |  |
|            |                                  | Tag             |      | Nacht  |      |              |  |
|            |                                  | Lr,iA           | Lr,A | Lr,iA  | Lr,A |              |  |
|            |                                  | /dB             | /dB  | /dB  | /dB  |              |  |
| LIQi1877 » | Obj: C420 38 seg 12 AC 4x565/72* | 5.8             | 5.8  | 5.8  | 5.8  |              |  |
| LIQi1876 » | Obj: C420 38 seg 11 AC 4x565/72* | 5.8             | 8.8  | 5.8  | 8.8  |              |  |
| LIQi1878 » | Obj: C420 38 seg 13 AC 4x565/72* | 5.8             | 10.6 | 5.8  | 10.6 |              |  |
| LIQi1875 » | Obj: C420 38 seg 10 AC 4x565/72* | 5.6             | 11.8 | 5.6  | 11.8 |              |  |
| LIQi1879 » | Obj: C420 38 seg 14 AC 4x565/72* | 5.6             | 12.7 | 5.6  | 12.7 |              |  |
| LIQi1880 » | Obj: C420 38 seg 15 AC 4x565/72* | 5.4             | 13.5 | 5.4  | 13.5 |              |  |
| LIQi1874 » | Obj: C420 38 seg 9 AC 4x565/72*  | 5.3             | 14.1 | 5.3  | 14.1 |              |  |
| LIQi1881 » | Obj: C420 38 seg 16 AC 4x565/72* | 5.1             | 14.6 | 5.1  | 14.6 |              |  |
| LIQi1873 » | Obj: C420 38 seg 8 AC 4x565/72*  | 5.0             | 15.0 | 5.0  | 15.0 |              |  |
| LIQi1845 » | Obj: C420 36 seg 12 AC 4x565/72* | 5.0             | 15.4 | 5.0  | 15.4 |              |  |
| LIQi1846 » | Obj: C420 36 seg 13 AC 4x565/72* | 4.9             | 15.8 | 4.9  | 15.8 |              |  |
| LIQi1844 » | Obj: C420 36 seg 11 AC 4x565/72* | 4.9             | 16.2 | 4.9  | 16.2 |              |  |
| LIQi1847 » | Obj: C420 36 seg 14 AC 4x565/72* | 4.8             | 16.5 | 4.8  | 16.5 |              |  |
| LIQi1843 » | Obj: C420 36 seg 10 AC 4x565/72* | 4.8             | 16.7 | 4.8  | 16.7 |              |  |
| LIQi1848 » | Obj: C420 36 seg 15 AC 4x565/72* | 4.6             | 17.0 | 4.6  | 17.0 |              |  |
| LIQi1872 » | Obj: C420 38 seg 7 AC 4x565/72*  | 4.5             | 17.2 | 4.5  | 17.2 |              |  |
| LIQi1842 » | Obj: C420 36 seg 9 AC 4x565/72*  | 4.5             | 17.5 | 4.5  | 17.5 |              |  |
| LIQi1849 » | Obj: C420 36 seg 16 AC 4x565/72* | 4.3             | 17.7 | 4.3  | 17.7 |              |  |
| LIQi2106 » | Obj: C420 53 seg 1 AC 4x565/72*  | 4.3             | 17.9 | 4.3  | 17.9 |              |  |
| LIQi1841 » | Obj: C420 36 seg 8 AC 4x565/72*  | 4.2             | 18.1 | 4.2  | 18.1 |              |  |
| LIQi1871 » | Obj: C420 38 seg 6 AC 4x565/72*  | 4.0             | 18.2 | 4.0  | 18.2 |              |  |
| LIQi1840 » | Obj: C420 36 seg 7 AC 4x565/72*  | 3.8             | 18.4 | 3.8  | 18.4 |              |  |
| LIQi2074 » | Obj: C420 51 seg 1 AC 4x565/72*  | 3.6             | 18.5 | 3.6  | 18.5 |              |  |
| LIQi1870 » | Obj: C420 38 seg 5 AC 4x565/72*  | 3.5             | 18.7 | 3.5  | 18.7 |              |  |
| LIQi2107 » | Obj: C420 53 seg 2 AC 4x565/72*  | 3.4             | 18.8 | 3.4  | 18.8 |              |  |
| LIQi1839 » | Obj: C420 36 seg 6 AC 4x565/72*  | 3.3             | 18.9 | 3.3  | 18.9 |              |  |
| LIQi1869 » | Obj: C420 38 seg 4 AC 4x565/72*  | 2.9             | 19.0 | 2.9  | 19.0 |              |  |
| LIQi1838 » | Obj: C420 36 seg 5 AC 4x565/72*  | 2.8             | 19.1 | 2.8  | 19.1 |              |  |
| LIQi2075 » | Obj: C420 51 seg 2 AC 4x565/72*  | 2.7             | 19.2 | 2.7  | 19.2 |              |  |
| LIQi1868 » | Obj: C420 38 seg 3 AC 4x565/72*  | 2.4             | 19.3 | 2.4  | 19.3 |              |  |
| LIQi2108 » | Obj: C420 53 seg 3 AC 4x565/72*  | 2.3             | 19.4 | 2.3  | 19.4 |              |  |
| LIQi1837 » | Obj: C420 36 seg 4 AC 4x565/72*  | 2.3             | 19.5 | 2.3  | 19.5 |              |  |
| LIQi1867 » | Obj: C420 38 seg 2 AC 4x565/72*  | 1.8             | 19.5 | 1.8  | 19.5 |              |  |
| LIQi1836 » | Obj: C420 36 seg 3 AC 4x565/72*  | 1.8             | 19.6 | 1.8  | 19.6 |              |  |
| LIQi2076 » | Obj: C420 51 seg 3 AC 4x565/72*  | 1.7             | 19.7 | 1.7  | 19.7 |              |  |
| LIQi2109 » | Obj: C420 53 seg 4 AC 4x565/72*  | 1.4             | 19.8 | 1.4  | 19.8 |              |  |
| LIQi1835 » | Obj: C420 36 seg 2 AC 4x565/72*  | 1.4             | 19.8 | 1.4  | 19.8 |              |  |
| LIQi1866 » | Obj: C420 38 seg 1 AC 4x565/72*  | 1.3             | 19.9 | 1.3  | 19.9 |              |  |
| LIQi2077 » | Obj: C420 51 seg 4 AC 4x565/72*  | 0.9             | 19.9 | 0.9  | 19.9 |              |  |
| LIQi1834 » | Obj: C420 36 seg 1 AC 4x565/72*  | 0.9             | 20.0 | 0.9  | 20.0 |              |  |
| LIQi1893 » | Obj: C420 39 seg 12 AC 4x565/72* | 0.8             | 20.0 | 0.8  | 20.0 |              |  |
| LIQi1892 » | Obj: C420 39 seg 11 AC 4x565/72* | 0.8             | 20.1 | 0.8  | 20.1 |              |  |
| LIQi1894 » | Obj: C420 39 seg 13 AC 4x565/72* | 0.8             | 20.1 | 0.8  | 20.1 |              |  |
| LIQi1891 » | Obj: C420 39 seg 10 AC 4x565/72* | 0.6             | 20.2 | 0.6  | 20.2 |              |  |
| LIQi2110 » | Obj: C420 53 seg 5 AC 4x565/72*  | 0.6             | 20.2 | 0.6  | 20.2 |              |  |
| LIQi1829 » | Obj: C420 35 seg 12 AC 4x565/72* | 0.6             | 20.3 | 0.6  | 20.3 |              |  |
| LIQi1895 » | Obj: C420 39 seg 14 AC 4x565/72* | 0.6             | 20.3 | 0.6  | 20.3 |              |  |
| LIQi1830 » | Obj: C420 35 seg 13 AC 4x565/72* | 0.5             | 20.4 | 0.5  | 20.4 |              |  |
| LIQi1828 » | Obj: C420 35 seg 11 AC 4x565/72* | 0.5             | 20.4 | 0.5  | 20.4 |              |  |
| LIQi1831 » | Obj: C420 35 seg 14 AC 4x565/72* | 0.4             | 20.5 | 0.4  | 20.5 |              |  |
| LIQi1827 » | Obj: C420 35 seg 10 AC 4x565/72* | 0.4             | 20.5 | 0.4  | 20.5 |              |  |



|            |           |        |                 |      |      |      |      |  |  |
|------------|-----------|--------|-----------------|------|------|------|------|--|--|
| LIQi1890 » | Obj: C420 | 39 seg | 9 AC 4x565/72*  | 0.3  | 20.5 | 0.3  | 20.5 |  |  |
| LIQi1896 » | Obj: C420 | 39 seg | 15 AC 4x565/72* | 0.3  | 20.6 | 0.3  | 20.6 |  |  |
| LIQi1832 » | Obj: C420 | 35 seg | 15 AC 4x565/72* | 0.2  | 20.6 | 0.2  | 20.6 |  |  |
| LIQi1826 » | Obj: C420 | 35 seg | 9 AC 4x565/72*  | 0.1  | 20.7 | 0.1  | 20.7 |  |  |
| LIQi2078 » | Obj: C420 | 51 seg | 5 AC 4x565/72*  | 0.1  | 20.7 | 0.1  | 20.7 |  |  |
| LIQi1889 » | Obj: C420 | 39 seg | 8 AC 4x565/72*  | -0.0 | 20.7 | -0.0 | 20.7 |  |  |
| LIQi1897 » | Obj: C420 | 39 seg | 16 AC 4x565/72* | -0.1 | 20.8 | -0.1 | 20.8 |  |  |
| LIQi1833 » | Obj: C420 | 35 seg | 16 AC 4x565/72* | -0.1 | 20.8 | -0.1 | 20.8 |  |  |
| LIQi2111 » | Obj: C420 | 53 seg | 6 AC 4x565/72*  | -0.2 | 20.8 | -0.2 | 20.8 |  |  |
| LIQi1825 » | Obj: C420 | 35 seg | 8 AC 4x565/72*  | -0.2 | 20.9 | -0.2 | 20.9 |  |  |
| LIQi1641 » | Obj: C420 | 23 seg | 16 AC 4x565/72* | -0.3 | 20.9 | -0.3 | 20.9 |  |  |
| LIQi1888 » | Obj: C420 | 39 seg | 7 AC 4x565/72*  | -0.5 | 20.9 | -0.5 | 20.9 |  |  |
| LIQi1824 » | Obj: C420 | 35 seg | 7 AC 4x565/72*  | -0.6 | 21.0 | -0.6 | 21.0 |  |  |
| LIQi2079 » | Obj: C420 | 51 seg | 6 AC 4x565/72*  | -0.7 | 21.0 | -0.7 | 21.0 |  |  |
| LIQi1609 » | Obj: C420 | 21 seg | 16 AC 4x565/72* | -0.8 | 21.0 | -0.8 | 21.0 |  |  |
| LIQi2058 » | Obj: C420 | 50 seg | 1 AC 4x565/72*  | -0.8 | 21.1 | -0.8 | 21.1 |  |  |
| LIQi2122 » | Obj: C420 | 54 seg | 1 AC 4x565/72*  | -0.9 | 21.1 | -0.9 | 21.1 |  |  |
| LIQi2112 » | Obj: C420 | 53 seg | 7 AC 4x565/72*  | -0.9 | 21.1 | -0.9 | 21.1 |  |  |
| LIQi1640 » | Obj: C420 | 23 seg | 15 AC 4x565/72* | -1.0 | 21.1 | -1.0 | 21.1 |  |  |
| LIQi1823 » | Obj: C420 | 35 seg | 6 AC 4x565/72*  | -1.0 | 21.2 | -1.0 | 21.2 |  |  |
| LIQi1887 » | Obj: C420 | 39 seg | 6 AC 4x565/72*  | -1.0 | 21.2 | -1.0 | 21.2 |  |  |
| LIQi2080 » | Obj: C420 | 51 seg | 7 AC 4x565/72*  | -1.4 | 21.2 | -1.4 | 21.2 |  |  |
| LIQi1608 » | Obj: C420 | 21 seg | 15 AC 4x565/72* | -1.5 | 21.2 | -1.5 | 21.2 |  |  |
| LIQi1822 » | Obj: C420 | 35 seg | 5 AC 4x565/72*  | -1.5 | 21.3 | -1.5 | 21.3 |  |  |
| LIQi1886 » | Obj: C420 | 39 seg | 5 AC 4x565/72*  | -1.6 | 21.3 | -1.6 | 21.3 |  |  |
| LIQi1639 » | Obj: C420 | 23 seg | 14 AC 4x565/72* | -1.6 | 21.3 | -1.6 | 21.3 |  |  |
| LIQi2113 » | Obj: C420 | 53 seg | 8 AC 4x565/72*  | -1.6 | 21.3 | -1.6 | 21.3 |  |  |
| LIQi2059 » | Obj: C420 | 50 seg | 2 AC 4x565/72*  | -1.7 | 21.4 | -1.7 | 21.4 |  |  |
| LIQi2123 » | Obj: C420 | 54 seg | 2 AC 4x565/72*  | -1.8 | 21.4 | -1.8 | 21.4 |  |  |
| LIQi1821 » | Obj: C420 | 35 seg | 4 AC 4x565/72*  | -2.0 | 21.4 | -2.0 | 21.4 |  |  |
| LIQi2081 » | Obj: C420 | 51 seg | 8 AC 4x565/72*  | -2.0 | 21.4 | -2.0 | 21.4 |  |  |
| LIQi1607 » | Obj: C420 | 21 seg | 14 AC 4x565/72* | -2.1 | 21.4 | -2.1 | 21.4 |  |  |
| LIQi1885 » | Obj: C420 | 39 seg | 4 AC 4x565/72*  | -2.2 | 21.5 | -2.2 | 21.5 |  |  |
| LIQi2114 » | Obj: C420 | 53 seg | 9 AC 4x565/72*  | -2.3 | 21.5 | -2.3 | 21.5 |  |  |
| LIQi1638 » | Obj: C420 | 23 seg | 13 AC 4x565/72* | -2.3 | 21.5 | -2.3 | 21.5 |  |  |
| LIQi1820 » | Obj: C420 | 35 seg | 3 AC 4x565/72*  | -2.5 | 21.5 | -2.5 | 21.5 |  |  |
| LIQi2060 » | Obj: C420 | 50 seg | 3 AC 4x565/72*  | -2.5 | 21.5 | -2.5 | 21.5 |  |  |
| LIQi2082 » | Obj: C420 | 51 seg | 9 AC 4x565/72*  | -2.7 | 21.5 | -2.7 | 21.5 |  |  |
| LIQi2124 » | Obj: C420 | 54 seg | 3 AC 4x565/72*  | -2.7 | 21.6 | -2.7 | 21.6 |  |  |
| LIQi1606 » | Obj: C420 | 21 seg | 13 AC 4x565/72* | -2.7 | 21.6 | -2.7 | 21.6 |  |  |
| LIQi1637 » | Obj: C420 | 23 seg | 12 AC 4x565/72* | -2.7 | 21.6 | -2.7 | 21.6 |  |  |
| LIQi1884 » | Obj: C420 | 39 seg | 3 AC 4x565/72*  | -2.7 | 21.6 | -2.7 | 21.6 |  |  |
| LIQi2115 » | Obj: C420 | 53 seg | 10 AC 4x565/72* | -2.9 | 21.6 | -2.9 | 21.6 |  |  |
| LIQi1819 » | Obj: C420 | 35 seg | 2 AC 4x565/72*  | -3.0 | 21.6 | -3.0 | 21.6 |  |  |
| LIQi1605 » | Obj: C420 | 21 seg | 12 AC 4x565/72* | -3.1 | 21.6 | -3.1 | 21.6 |  |  |
| LIQi2083 » | Obj: C420 | 51 seg | 10 AC 4x565/72* | -3.2 | 21.7 | -3.2 | 21.7 |  |  |
| LIQi1883 » | Obj: C420 | 39 seg | 2 AC 4x565/72*  | -3.3 | 21.7 | -3.3 | 21.7 |  |  |
| LIQi1636 » | Obj: C420 | 23 seg | 11 AC 4x565/72* | -3.3 | 21.7 | -3.3 | 21.7 |  |  |
| LIQi2061 » | Obj: C420 | 50 seg | 4 AC 4x565/72*  | -3.3 | 21.7 | -3.3 | 21.7 |  |  |
| LIQi2116 » | Obj: C420 | 53 seg | 11 AC 4x565/72* | -3.4 | 21.7 | -3.4 | 21.7 |  |  |
| LIQi1818 » | Obj: C420 | 35 seg | 1 AC 4x565/72*  | -3.5 | 21.7 | -3.5 | 21.7 |  |  |
| LIQi2125 » | Obj: C420 | 54 seg | 4 AC 4x565/72*  | -3.6 | 21.7 | -3.6 | 21.7 |  |  |
| LIQi1635 » | Obj: C420 | 23 seg | 10 AC 4x565/72* | -3.7 | 21.8 | -3.7 | 21.8 |  |  |
| LIQi1604 » | Obj: C420 | 21 seg | 11 AC 4x565/72* | -3.7 | 21.8 | -3.7 | 21.8 |  |  |
| LIQi2084 » | Obj: C420 | 51 seg | 11 AC 4x565/72* | -3.8 | 21.8 | -3.8 | 21.8 |  |  |



|            |           |        |                 |      |      |      |      |  |  |
|------------|-----------|--------|-----------------|------|------|------|------|--|--|
| LIQi1882 » | Obj: C420 | 39 seg | 1 AC 4x565/72*  | -3.8 | 21.8 | -3.8 | 21.8 |  |  |
| LIQi2117 » | Obj: C420 | 53 seg | 12 AC 4x565/72* | -4.0 | 21.8 | -4.0 | 21.8 |  |  |
| LIQi2062 » | Obj: C420 | 50 seg | 5 AC 4x565/72*  | -4.0 | 21.8 | -4.0 | 21.8 |  |  |
| LIQi1603 » | Obj: C420 | 21 seg | 10 AC 4x565/72* | -4.1 | 21.8 | -4.1 | 21.8 |  |  |
| LIQi1634 » | Obj: C420 | 23 seg | 9 AC 4x565/72*  | -4.2 | 21.8 | -4.2 | 21.8 |  |  |
| LIQi2085 » | Obj: C420 | 51 seg | 12 AC 4x565/72* | -4.3 | 21.8 | -4.3 | 21.8 |  |  |
| LIQi2126 » | Obj: C420 | 54 seg | 5 AC 4x565/72*  | -4.4 | 21.9 | -4.4 | 21.9 |  |  |
| LIQi2118 » | Obj: C420 | 53 seg | 13 AC 4x565/72* | -4.4 | 21.9 | -4.4 | 21.9 |  |  |
| LIQi1633 » | Obj: C420 | 23 seg | 8 AC 4x565/72*  | -4.5 | 21.9 | -4.5 | 21.9 |  |  |
| LIQi1602 » | Obj: C420 | 21 seg | 9 AC 4x565/72*  | -4.6 | 21.9 | -4.6 | 21.9 |  |  |
| LIQi1601 » | Obj: C420 | 21 seg | 8 AC 4x565/72*  | -4.8 | 21.9 | -4.8 | 21.9 |  |  |
| LIQi2063 » | Obj: C420 | 50 seg | 6 AC 4x565/72*  | -4.8 | 21.9 | -4.8 | 21.9 |  |  |
| LIQi2086 » | Obj: C420 | 51 seg | 13 AC 4x565/72* | -4.8 | 21.9 | -4.8 | 21.9 |  |  |
| LIQi2119 » | Obj: C420 | 53 seg | 14 AC 4x565/72* | -4.9 | 21.9 | -4.9 | 21.9 |  |  |
| LIQi1593 » | Obj: C420 | 20 seg | 16 AC 4x565/72* | -5.0 | 21.9 | -5.0 | 21.9 |  |  |
| LIQi1632 » | Obj: C420 | 23 seg | 7 AC 4x565/72*  | -5.0 | 21.9 | -5.0 | 21.9 |  |  |
| LIQi1631 » | Obj: C420 | 23 seg | 6 AC 4x565/72*  | -5.1 | 22.0 | -5.1 | 22.0 |  |  |
| LIQi2127 » | Obj: C420 | 54 seg | 6 AC 4x565/72*  | -5.2 | 22.0 | -5.2 | 22.0 |  |  |
| LIQi2120 » | Obj: C420 | 53 seg | 15 AC 4x565/72* | -5.2 | 22.0 | -5.2 | 22.0 |  |  |
| LIQi2087 » | Obj: C420 | 51 seg | 14 AC 4x565/72* | -5.2 | 22.0 | -5.2 | 22.0 |  |  |
| LIQi1600 » | Obj: C420 | 21 seg | 7 AC 4x565/72*  | -5.2 | 22.0 | -5.2 | 22.0 |  |  |
| LIQi2064 » | Obj: C420 | 50 seg | 7 AC 4x565/72*  | -5.4 | 22.0 | -5.4 | 22.0 |  |  |
| LIQi1599 » | Obj: C420 | 21 seg | 6 AC 4x565/72*  | -5.5 | 22.0 | -5.5 | 22.0 |  |  |
| LIQi1657 » | Obj: C420 | 24 seg | 16 AC 4x565/72* | -5.5 | 22.0 | -5.5 | 22.0 |  |  |
| LIQi2088 » | Obj: C420 | 51 seg | 15 AC 4x565/72* | -5.5 | 22.0 | -5.5 | 22.0 |  |  |
| LIQi1630 » | Obj: C420 | 23 seg | 5 AC 4x565/72*  | -5.6 | 22.0 | -5.6 | 22.0 |  |  |
| LIQi2121 » | Obj: C420 | 53 seg | 16 AC 4x565/72* | -5.6 | 22.0 | -5.6 | 22.0 |  |  |
| LIQi1592 » | Obj: C420 | 20 seg | 15 AC 4x565/72* | -5.7 | 22.0 | -5.7 | 22.0 |  |  |
| LIQi1629 » | Obj: C420 | 23 seg | 4 AC 4x565/72*  | -5.8 | 22.0 | -5.8 | 22.0 |  |  |
| LIQi2128 » | Obj: C420 | 54 seg | 7 AC 4x565/72*  | -5.8 | 22.1 | -5.8 | 22.1 |  |  |
| LIQi1598 » | Obj: C420 | 21 seg | 5 AC 4x565/72*  | -5.9 | 22.1 | -5.9 | 22.1 |  |  |
| LIQi2089 » | Obj: C420 | 51 seg | 16 AC 4x565/72* | -5.9 | 22.1 | -5.9 | 22.1 |  |  |
| LIQi1597 » | Obj: C420 | 21 seg | 4 AC 4x565/72*  | -6.0 | 22.1 | -6.0 | 22.1 |  |  |
| LIQi2065 » | Obj: C420 | 50 seg | 8 AC 4x565/72*  | -6.0 | 22.1 | -6.0 | 22.1 |  |  |
| LIQi1628 » | Obj: C420 | 23 seg | 3 AC 4x565/72*  | -6.2 | 22.1 | -6.2 | 22.1 |  |  |
| LIQi1591 » | Obj: C420 | 20 seg | 14 AC 4x565/72* | -6.2 | 22.1 | -6.2 | 22.1 |  |  |
| LIQi1627 » | Obj: C420 | 23 seg | 2 AC 4x565/72*  | -6.2 | 22.1 | -6.2 | 22.1 |  |  |
| LIQi1656 » | Obj: C420 | 24 seg | 15 AC 4x565/72* | -6.3 | 22.1 | -6.3 | 22.1 |  |  |
| LIQi2346 » | Obj: C420 | 68 seg | 1 AC 4x565/72*  | -6.3 | 22.1 | -6.3 | 22.1 |  |  |
| LIQi1596 » | Obj: C420 | 21 seg | 3 AC 4x565/72*  | -6.4 | 22.1 | -6.4 | 22.1 |  |  |
| LIQi1595 » | Obj: C420 | 21 seg | 2 AC 4x565/72*  | -6.4 | 22.1 | -6.4 | 22.1 |  |  |
| LIQi2129 » | Obj: C420 | 54 seg | 8 AC 4x565/72*  | -6.5 | 22.1 | -6.5 | 22.1 |  |  |
| LIQi1626 » | Obj: C420 | 23 seg | 1 AC 4x565/72*  | -6.6 | 22.1 | -6.6 | 22.1 |  |  |
| LIQi2314 » | Obj: C420 | 66 seg | 1 AC 4x565/72*  | -6.6 | 22.1 | -6.6 | 22.1 |  |  |
| LIQi2066 » | Obj: C420 | 50 seg | 9 AC 4x565/72*  | -6.8 | 22.1 | -6.8 | 22.1 |  |  |
| LIQi1594 » | Obj: C420 | 21 seg | 1 AC 4x565/72*  | -6.8 | 22.2 | -6.8 | 22.2 |  |  |
| LIQi1590 » | Obj: C420 | 20 seg | 13 AC 4x565/72* | -6.8 | 22.2 | -6.8 | 22.2 |  |  |
| LIQi1655 » | Obj: C420 | 24 seg | 14 AC 4x565/72* | -6.8 | 22.2 | -6.8 | 22.2 |  |  |
| LIQi2347 » | Obj: C420 | 68 seg | 2 AC 4x565/72*  | -6.9 | 22.2 | -6.9 | 22.2 |  |  |
| LIQi1589 » | Obj: C420 | 20 seg | 12 AC 4x565/72* | -7.2 | 22.2 | -7.2 | 22.2 |  |  |
| LIQi2315 » | Obj: C420 | 66 seg | 2 AC 4x565/72*  | -7.2 | 22.2 | -7.2 | 22.2 |  |  |
| LIQi2130 » | Obj: C420 | 54 seg | 9 AC 4x565/72*  | -7.3 | 22.2 | -7.3 | 22.2 |  |  |
| LIQi2067 » | Obj: C420 | 50 seg | 10 AC 4x565/72* | -7.3 | 22.2 | -7.3 | 22.2 |  |  |
| LIQi1654 » | Obj: C420 | 24 seg | 13 AC 4x565/72* | -7.5 | 22.2 | -7.5 | 22.2 |  |  |
| LIQi2348 » | Obj: C420 | 68 seg | 3 AC 4x565/72*  | -7.6 | 22.2 | -7.6 | 22.2 |  |  |



|            |           |        |                 |       |      |       |      |  |  |
|------------|-----------|--------|-----------------|-------|------|-------|------|--|--|
| LIQi1588 » | Obj: C420 | 20 seg | 11 AC 4x565/72* | -7.8  | 22.2 | -7.8  | 22.2 |  |  |
| LIQi1401 » | Obj: C420 | 8 seg  | 16 AC 4x565/72* | -7.8  | 22.2 | -7.8  | 22.2 |  |  |
| LIQi1653 » | Obj: C420 | 24 seg | 12 AC 4x565/72* | -7.8  | 22.2 | -7.8  | 22.2 |  |  |
| LIQi2068 » | Obj: C420 | 50 seg | 11 AC 4x565/72* | -7.9  | 22.2 | -7.9  | 22.2 |  |  |
| LIQi2131 » | Obj: C420 | 54 seg | 10 AC 4x565/72* | -7.9  | 22.2 | -7.9  | 22.2 |  |  |
| LIQi1369 » | Obj: C420 | 6 seg  | 16 AC 4x565/72* | -7.9  | 22.2 | -7.9  | 22.2 |  |  |
| LIQi2316 » | Obj: C420 | 66 seg | 3 AC 4x565/72*  | -7.9  | 22.2 | -7.9  | 22.2 |  |  |
| LIQi1587 » | Obj: C420 | 20 seg | 10 AC 4x565/72* | -8.1  | 22.2 | -8.1  | 22.2 |  |  |
| LIQi1400 » | Obj: C420 | 8 seg  | 15 AC 4x565/72* | -8.1  | 22.2 | -8.1  | 22.2 |  |  |
| LIQi2349 » | Obj: C420 | 68 seg | 4 AC 4x565/72*  | -8.2  | 22.2 | -8.2  | 22.2 |  |  |
| LIQi1368 » | Obj: C420 | 6 seg  | 15 AC 4x565/72* | -8.3  | 22.2 | -8.3  | 22.2 |  |  |
| LIQi2069 » | Obj: C420 | 50 seg | 12 AC 4x565/72* | -8.4  | 22.2 | -8.4  | 22.2 |  |  |
| LIQi1652 » | Obj: C420 | 24 seg | 11 AC 4x565/72* | -8.4  | 22.3 | -8.4  | 22.3 |  |  |
| LIQi2317 » | Obj: C420 | 66 seg | 4 AC 4x565/72*  | -8.5  | 22.3 | -8.5  | 22.3 |  |  |
| LIQi2132 » | Obj: C420 | 54 seg | 11 AC 4x565/72* | -8.6  | 22.3 | -8.6  | 22.3 |  |  |
| LIQi1586 » | Obj: C420 | 20 seg | 9 AC 4x565/72*  | -8.6  | 22.3 | -8.6  | 22.3 |  |  |
| LIQi2350 » | Obj: C420 | 68 seg | 5 AC 4x565/72*  | -8.7  | 22.3 | -8.7  | 22.3 |  |  |
| LIQi1651 » | Obj: C420 | 24 seg | 10 AC 4x565/72* | -8.8  | 22.3 | -8.8  | 22.3 |  |  |
| LIQi1585 » | Obj: C420 | 20 seg | 8 AC 4x565/72*  | -8.8  | 22.3 | -8.8  | 22.3 |  |  |
| LIQi2070 » | Obj: C420 | 50 seg | 13 AC 4x565/72* | -8.9  | 22.3 | -8.9  | 22.3 |  |  |
| LIQi1399 » | Obj: C420 | 8 seg  | 14 AC 4x565/72* | -9.0  | 22.3 | -9.0  | 22.3 |  |  |
| LIQi2318 » | Obj: C420 | 66 seg | 5 AC 4x565/72*  | -9.0  | 22.3 | -9.0  | 22.3 |  |  |
| LIQi2133 » | Obj: C420 | 54 seg | 12 AC 4x565/72* | -9.1  | 22.3 | -9.1  | 22.3 |  |  |
| LIQi1367 » | Obj: C420 | 6 seg  | 14 AC 4x565/72* | -9.2  | 22.3 | -9.2  | 22.3 |  |  |
| LIQi2351 » | Obj: C420 | 68 seg | 6 AC 4x565/72*  | -9.2  | 22.3 | -9.2  | 22.3 |  |  |
| LIQi1584 » | Obj: C420 | 20 seg | 7 AC 4x565/72*  | -9.3  | 22.3 | -9.3  | 22.3 |  |  |
| LIQi1398 » | Obj: C420 | 8 seg  | 13 AC 4x565/72* | -9.3  | 22.3 | -9.3  | 22.3 |  |  |
| LIQi1864 » | Obj: C420 | 37 seg | 15 AC 4x565/72* | -9.3  | 22.3 | -9.3  | 22.3 |  |  |
| LIQi1650 » | Obj: C420 | 24 seg | 9 AC 4x565/72*  | -9.4  | 22.3 | -9.4  | 22.3 |  |  |
| LIQi2071 » | Obj: C420 | 50 seg | 14 AC 4x565/72* | -9.4  | 22.3 | -9.4  | 22.3 |  |  |
| LIQi1862 » | Obj: C420 | 37 seg | 13 AC 4x565/72* | -9.4  | 22.3 | -9.4  | 22.3 |  |  |
| LIQi2319 » | Obj: C420 | 66 seg | 6 AC 4x565/72*  | -9.5  | 22.3 | -9.5  | 22.3 |  |  |
| LIQi1366 » | Obj: C420 | 6 seg  | 13 AC 4x565/72* | -9.5  | 22.3 | -9.5  | 22.3 |  |  |
| LIQi1583 » | Obj: C420 | 20 seg | 6 AC 4x565/72*  | -9.5  | 22.3 | -9.5  | 22.3 |  |  |
| LIQi1861 » | Obj: C420 | 37 seg | 12 AC 4x565/72* | -9.6  | 22.3 | -9.6  | 22.3 |  |  |
| LIQi1863 » | Obj: C420 | 37 seg | 14 AC 4x565/72* | -9.6  | 22.3 | -9.6  | 22.3 |  |  |
| LIQi1860 » | Obj: C420 | 37 seg | 11 AC 4x565/72* | -9.6  | 22.3 | -9.6  | 22.3 |  |  |
| LIQi1649 » | Obj: C420 | 24 seg | 8 AC 4x565/72*  | -9.7  | 22.3 | -9.7  | 22.3 |  |  |
| LIQi2134 » | Obj: C420 | 54 seg | 13 AC 4x565/72* | -9.7  | 22.3 | -9.7  | 22.3 |  |  |
| LIQi2072 » | Obj: C420 | 50 seg | 15 AC 4x565/72* | -9.7  | 22.3 | -9.7  | 22.3 |  |  |
| LIQi2352 » | Obj: C420 | 68 seg | 7 AC 4x565/72*  | -9.7  | 22.3 | -9.7  | 22.3 |  |  |
| LIQi1865 » | Obj: C420 | 37 seg | 16 AC 4x565/72* | -9.7  | 22.3 | -9.7  | 22.3 |  |  |
| LIQi1859 » | Obj: C420 | 37 seg | 10 AC 4x565/72* | -9.9  | 22.3 | -9.9  | 22.3 |  |  |
| LIQi1397 » | Obj: C420 | 8 seg  | 12 AC 4x565/72* | -9.9  | 22.3 | -9.9  | 22.3 |  |  |
| LIQi1581 » | Obj: C420 | 20 seg | 4 AC 4x565/72*  | -9.9  | 22.3 | -9.9  | 22.3 |  |  |
| LIQi1582 » | Obj: C420 | 20 seg | 5 AC 4x565/72*  | -9.9  | 22.3 | -9.9  | 22.3 |  |  |
| LIQi2320 » | Obj: C420 | 66 seg | 7 AC 4x565/72*  | -10.0 | 22.4 | -10.0 | 22.4 |  |  |
| LIQi2073 » | Obj: C420 | 50 seg | 16 AC 4x565/72* | -10.1 | 22.4 | -10.1 | 22.4 |  |  |
| LIQi1648 » | Obj: C420 | 24 seg | 7 AC 4x565/72*  | -10.1 | 22.4 | -10.1 | 22.4 |  |  |
| LIQi2135 » | Obj: C420 | 54 seg | 14 AC 4x565/72* | -10.1 | 22.4 | -10.1 | 22.4 |  |  |
| LIQi2353 » | Obj: C420 | 68 seg | 8 AC 4x565/72*  | -10.2 | 22.4 | -10.2 | 22.4 |  |  |
| LIQi1858 » | Obj: C420 | 37 seg | 9 AC 4x565/72*  | -10.2 | 22.4 | -10.2 | 22.4 |  |  |
| LIQi1647 » | Obj: C420 | 24 seg | 6 AC 4x565/72*  | -10.2 | 22.4 | -10.2 | 22.4 |  |  |
| LIQi1396 » | Obj: C420 | 8 seg  | 11 AC 4x565/72* | -10.2 | 22.4 | -10.2 | 22.4 |  |  |
| LIQi1365 » | Obj: C420 | 6 seg  | 12 AC 4x565/72* | -10.2 | 22.4 | -10.2 | 22.4 |  |  |



|            |           |        |                 |       |      |       |      |  |  |
|------------|-----------|--------|-----------------|-------|------|-------|------|--|--|
| LIQi1580 » | Obj: C420 | 20 seg | 3 AC 4x565/72*  | -10.3 | 22.4 | -10.3 | 22.4 |  |  |
| LIQi1579 » | Obj: C420 | 20 seg | 2 AC 4x565/72*  | -10.4 | 22.4 | -10.4 | 22.4 |  |  |
| LIQi2321 » | Obj: C420 | 66 seg | 8 AC 4x565/72*  | -10.4 | 22.4 | -10.4 | 22.4 |  |  |
| LIQi1364 » | Obj: C420 | 6 seg  | 11 AC 4x565/72* | -10.5 | 22.4 | -10.5 | 22.4 |  |  |
| LIQi2136 » | Obj: C420 | 54 seg | 15 AC 4x565/72* | -10.6 | 22.4 | -10.6 | 22.4 |  |  |
| LIQi1857 » | Obj: C420 | 37 seg | 8 AC 4x565/72*  | -10.6 | 22.4 | -10.6 | 22.4 |  |  |
| LIQi1646 » | Obj: C420 | 24 seg | 5 AC 4x565/72*  | -10.6 | 22.4 | -10.6 | 22.4 |  |  |
| LIQi2354 » | Obj: C420 | 68 seg | 9 AC 4x565/72*  | -10.7 | 22.4 | -10.7 | 22.4 |  |  |
| LIQi1578 » | Obj: C420 | 20 seg | 1 AC 4x565/72*  | -10.7 | 22.4 | -10.7 | 22.4 |  |  |
| LIQi2090 » | Obj: C420 | 52 seg | 1 AC 4x565/72*  | -10.7 | 22.4 | -10.7 | 22.4 |  |  |
| LIQi1645 » | Obj: C420 | 24 seg | 4 AC 4x565/72*  | -10.7 | 22.4 | -10.7 | 22.4 |  |  |
| LIQi2298 » | Obj: C420 | 65 seg | 1 AC 4x565/72*  | -10.7 | 22.4 | -10.7 | 22.4 |  |  |
| LIQi2322 » | Obj: C420 | 66 seg | 9 AC 4x565/72*  | -10.8 | 22.4 | -10.8 | 22.4 |  |  |
| LIQi1395 » | Obj: C420 | 8 seg  | 10 AC 4x565/72* | -10.9 | 22.4 | -10.9 | 22.4 |  |  |
| LIQi2137 » | Obj: C420 | 54 seg | 16 AC 4x565/72* | -11.0 | 22.4 | -11.0 | 22.4 |  |  |
| LIQi1816 » | Obj: C420 | 34 seg | 15 AC 4x565/72* | -11.0 | 22.4 | -11.0 | 22.4 |  |  |
| LIQi1856 » | Obj: C420 | 37 seg | 7 AC 4x565/72*  | -11.1 | 22.4 | -11.1 | 22.4 |  |  |
| LIQi2355 » | Obj: C420 | 68 seg | 10 AC 4x565/72* | -11.1 | 22.4 | -11.1 | 22.4 |  |  |
| LIQi1644 » | Obj: C420 | 24 seg | 3 AC 4x565/72*  | -11.1 | 22.4 | -11.1 | 22.4 |  |  |
| LIQi1643 » | Obj: C420 | 24 seg | 2 AC 4x565/72*  | -11.2 | 22.4 | -11.2 | 22.4 |  |  |
| LIQi1814 » | Obj: C420 | 34 seg | 13 AC 4x565/72* | -11.2 | 22.4 | -11.2 | 22.4 |  |  |
| LIQi1394 » | Obj: C420 | 8 seg  | 9 AC 4x565/72*  | -11.2 | 22.4 | -11.2 | 22.4 |  |  |
| LIQi1363 » | Obj: C420 | 6 seg  | 10 AC 4x565/72* | -11.2 | 22.4 | -11.2 | 22.4 |  |  |
| LIQi2323 » | Obj: C420 | 66 seg | 10 AC 4x565/72* | -11.2 | 22.4 | -11.2 | 22.4 |  |  |
| LIQi1813 » | Obj: C420 | 34 seg | 12 AC 4x565/72* | -11.3 | 22.4 | -11.3 | 22.4 |  |  |
| LIQi1817 » | Obj: C420 | 34 seg | 16 AC 4x565/72* | -11.3 | 22.4 | -11.3 | 22.4 |  |  |
| LIQi1815 » | Obj: C420 | 34 seg | 14 AC 4x565/72* | -11.3 | 22.4 | -11.3 | 22.4 |  |  |
| LIQi1812 » | Obj: C420 | 34 seg | 11 AC 4x565/72* | -11.4 | 22.4 | -11.4 | 22.4 |  |  |
| LIQi2299 » | Obj: C420 | 65 seg | 2 AC 4x565/72*  | -11.4 | 22.4 | -11.4 | 22.4 |  |  |
| LIQi2356 » | Obj: C420 | 68 seg | 11 AC 4x565/72* | -11.4 | 22.4 | -11.4 | 22.4 |  |  |
| LIQi1362 » | Obj: C420 | 6 seg  | 9 AC 4x565/72*  | -11.5 | 22.4 | -11.5 | 22.4 |  |  |
| LIQi1855 » | Obj: C420 | 37 seg | 6 AC 4x565/72*  | -11.5 | 22.4 | -11.5 | 22.4 |  |  |
| LIQi1642 » | Obj: C420 | 24 seg | 1 AC 4x565/72*  | -11.5 | 22.4 | -11.5 | 22.4 |  |  |
| LIQi2324 » | Obj: C420 | 66 seg | 11 AC 4x565/72* | -11.6 | 22.4 | -11.6 | 22.4 |  |  |
| LIQi2362 » | Obj: C420 | 69 seg | 1 AC 4x565/72*  | -11.7 | 22.4 | -11.7 | 22.4 |  |  |
| LIQi2091 » | Obj: C420 | 52 seg | 2 AC 4x565/72*  | -11.7 | 22.4 | -11.7 | 22.4 |  |  |
| LIQi1811 » | Obj: C420 | 34 seg | 10 AC 4x565/72* | -11.7 | 22.4 | -11.7 | 22.4 |  |  |
| LIQi2357 » | Obj: C420 | 68 seg | 12 AC 4x565/72* | -11.8 | 22.4 | -11.8 | 22.4 |  |  |
| LIQi1393 » | Obj: C420 | 8 seg  | 8 AC 4x565/72*  | -11.9 | 22.4 | -11.9 | 22.4 |  |  |
| LIQi2325 » | Obj: C420 | 66 seg | 12 AC 4x565/72* | -11.9 | 22.4 | -11.9 | 22.4 |  |  |
| LIQi1810 » | Obj: C420 | 34 seg | 9 AC 4x565/72*  | -12.0 | 22.5 | -12.0 | 22.5 |  |  |
| LIQi2300 » | Obj: C420 | 65 seg | 3 AC 4x565/72*  | -12.0 | 22.5 | -12.0 | 22.5 |  |  |
| LIQi1353 » | Obj: C420 | 5 seg  | 16 AC 4x565/72* | -12.0 | 22.5 | -12.0 | 22.5 |  |  |
| LIQi2358 » | Obj: C420 | 68 seg | 13 AC 4x565/72* | -12.0 | 22.5 | -12.0 | 22.5 |  |  |
| LIQi1361 » | Obj: C420 | 6 seg  | 8 AC 4x565/72*  | -12.0 | 22.5 | -12.0 | 22.5 |  |  |
| LIQi1854 » | Obj: C420 | 37 seg | 5 AC 4x565/72*  | -12.1 | 22.5 | -12.1 | 22.5 |  |  |
| LIQi1392 » | Obj: C420 | 8 seg  | 7 AC 4x565/72*  | -12.1 | 22.5 | -12.1 | 22.5 |  |  |
| LIQi2042 » | Obj: C420 | 49 seg | 1 AC 4x565/72*  | -12.1 | 22.5 | -12.1 | 22.5 |  |  |
| LIQi2326 » | Obj: C420 | 66 seg | 13 AC 4x565/72* | -12.3 | 22.5 | -12.3 | 22.5 |  |  |
| LIQi1360 » | Obj: C420 | 6 seg  | 7 AC 4x565/72*  | -12.3 | 22.5 | -12.3 | 22.5 |  |  |
| LIQi2363 » | Obj: C420 | 69 seg | 2 AC 4x565/72*  | -12.3 | 22.5 | -12.3 | 22.5 |  |  |
| LIQi1809 » | Obj: C420 | 34 seg | 8 AC 4x565/72*  | -12.3 | 22.5 | -12.3 | 22.5 |  |  |
| LIQi2359 » | Obj: C420 | 68 seg | 14 AC 4x565/72* | -12.3 | 22.5 | -12.3 | 22.5 |  |  |
| LIQi1352 » | Obj: C420 | 5 seg  | 15 AC 4x565/72* | -12.3 | 22.5 | -12.3 | 22.5 |  |  |
| LIQi1853 » | Obj: C420 | 37 seg | 4 AC 4x565/72*  | -12.5 | 22.5 | -12.5 | 22.5 |  |  |



|            |           |        |                 |       |      |       |      |  |  |
|------------|-----------|--------|-----------------|-------|------|-------|------|--|--|
| LIQi2301 » | Obj: C420 | 65 seg | 4 AC 4x565/72*  | -12.5 | 22.5 | -12.5 | 22.5 |  |  |
| LIQi2327 » | Obj: C420 | 66 seg | 14 AC 4x565/72* | -12.6 | 22.5 | -12.6 | 22.5 |  |  |
| LIQi1391 » | Obj: C420 | 8 seg  | 6 AC 4x565/72*  | -12.6 | 22.5 | -12.6 | 22.5 |  |  |
| LIQi1808 » | Obj: C420 | 34 seg | 7 AC 4x565/72*  | -12.7 | 22.5 | -12.7 | 22.5 |  |  |
| LIQi1417 » | Obj: C420 | 9 seg  | 16 AC 4x565/72* | -12.7 | 22.5 | -12.7 | 22.5 |  |  |
| LIQi2364 » | Obj: C420 | 69 seg | 3 AC 4x565/72*  | -12.8 | 22.5 | -12.8 | 22.5 |  |  |
| LIQi1390 » | Obj: C420 | 8 seg  | 5 AC 4x565/72*  | -12.9 | 22.5 | -12.9 | 22.5 |  |  |
| LIQi1359 » | Obj: C420 | 6 seg  | 6 AC 4x565/72*  | -12.9 | 22.5 | -12.9 | 22.5 |  |  |
| LIQi2302 » | Obj: C420 | 65 seg | 5 AC 4x565/72*  | -13.0 | 22.5 | -13.0 | 22.5 |  |  |
| LIQi1351 » | Obj: C420 | 5 seg  | 14 AC 4x565/72* | -13.0 | 22.5 | -13.0 | 22.5 |  |  |
| LIQi2360 » | Obj: C420 | 68 seg | 15 AC 4x565/72* | -13.0 | 22.5 | -13.0 | 22.5 |  |  |
| LIQi2043 » | Obj: C420 | 49 seg | 2 AC 4x565/72*  | -13.0 | 22.5 | -13.0 | 22.5 |  |  |
| LIQi1852 » | Obj: C420 | 37 seg | 3 AC 4x565/72*  | -13.1 | 22.5 | -13.1 | 22.5 |  |  |
| LIQi1807 » | Obj: C420 | 34 seg | 6 AC 4x565/72*  | -13.1 | 22.5 | -13.1 | 22.5 |  |  |
| LIQi1416 » | Obj: C420 | 9 seg  | 15 AC 4x565/72* | -13.1 | 22.5 | -13.1 | 22.5 |  |  |
| LIQi1851 » | Obj: C420 | 37 seg | 2 AC 4x565/72*  | -13.1 | 22.5 | -13.1 | 22.5 |  |  |
| LIQi1358 » | Obj: C420 | 6 seg  | 5 AC 4x565/72*  | -13.2 | 22.5 | -13.2 | 22.5 |  |  |
| LIQi2092 » | Obj: C420 | 52 seg | 3 AC 4x565/72*  | -13.2 | 22.5 | -13.2 | 22.5 |  |  |
| LIQi2328 » | Obj: C420 | 66 seg | 15 AC 4x565/72* | -13.2 | 22.5 | -13.2 | 22.5 |  |  |
| LIQi1350 » | Obj: C420 | 5 seg  | 13 AC 4x565/72* | -13.3 | 22.5 | -13.3 | 22.5 |  |  |
| LIQi2361 » | Obj: C420 | 68 seg | 16 AC 4x565/72* | -13.3 | 22.5 | -13.3 | 22.5 |  |  |
| LIQi2365 » | Obj: C420 | 69 seg | 4 AC 4x565/72*  | -13.4 | 22.5 | -13.4 | 22.5 |  |  |
| LIQi2329 » | Obj: C420 | 66 seg | 16 AC 4x565/72* | -13.4 | 22.5 | -13.4 | 22.5 |  |  |
| LIQi2303 » | Obj: C420 | 65 seg | 6 AC 4x565/72*  | -13.5 | 22.5 | -13.5 | 22.5 |  |  |
| LIQi1389 » | Obj: C420 | 8 seg  | 4 AC 4x565/72*  | -13.5 | 22.5 | -13.5 | 22.5 |  |  |
| LIQi1806 » | Obj: C420 | 34 seg | 5 AC 4x565/72*  | -13.6 | 22.5 | -13.6 | 22.5 |  |  |
| LIQi1388 » | Obj: C420 | 8 seg  | 3 AC 4x565/72*  | -13.7 | 22.5 | -13.7 | 22.5 |  |  |
| LIQi1850 » | Obj: C420 | 37 seg | 1 AC 4x565/72*  | -13.7 | 22.5 | -13.7 | 22.5 |  |  |
| LIQi1415 » | Obj: C420 | 9 seg  | 14 AC 4x565/72* | -13.7 | 22.5 | -13.7 | 22.5 |  |  |
| LIQi1357 » | Obj: C420 | 6 seg  | 4 AC 4x565/72*  | -13.8 | 22.5 | -13.8 | 22.5 |  |  |
| LIQi2366 » | Obj: C420 | 69 seg | 5 AC 4x565/72*  | -13.8 | 22.5 | -13.8 | 22.5 |  |  |
| LIQi2304 » | Obj: C420 | 65 seg | 7 AC 4x565/72*  | -13.8 | 22.5 | -13.8 | 22.5 |  |  |
| LIQi1349 » | Obj: C420 | 5 seg  | 12 AC 4x565/72* | -13.9 | 22.5 | -13.9 | 22.5 |  |  |
| LIQi1805 » | Obj: C420 | 34 seg | 4 AC 4x565/72*  | -13.9 | 22.5 | -13.9 | 22.5 |  |  |
| LIQi1356 » | Obj: C420 | 6 seg  | 3 AC 4x565/72*  | -14.0 | 22.5 | -14.0 | 22.5 |  |  |
| LIQi1414 » | Obj: C420 | 9 seg  | 13 AC 4x565/72* | -14.1 | 22.5 | -14.1 | 22.5 |  |  |
| LIQi2093 » | Obj: C420 | 52 seg | 4 AC 4x565/72*  | -14.1 | 22.5 | -14.1 | 22.5 |  |  |
| LIQi1387 » | Obj: C420 | 8 seg  | 2 AC 4x565/72*  | -14.1 | 22.5 | -14.1 | 22.5 |  |  |
| LIQi1348 » | Obj: C420 | 5 seg  | 11 AC 4x565/72* | -14.2 | 22.5 | -14.2 | 22.5 |  |  |
| LIQi2305 » | Obj: C420 | 65 seg | 8 AC 4x565/72*  | -14.3 | 22.5 | -14.3 | 22.5 |  |  |
| LIQi1386 » | Obj: C420 | 8 seg  | 1 AC 4x565/72*  | -14.3 | 22.5 | -14.3 | 22.5 |  |  |
| LIQi2367 » | Obj: C420 | 69 seg | 6 AC 4x565/72*  | -14.3 | 22.5 | -14.3 | 22.5 |  |  |
| LIQi2044 » | Obj: C420 | 49 seg | 3 AC 4x565/72*  | -14.4 | 22.5 | -14.4 | 22.5 |  |  |
| LIQi1804 » | Obj: C420 | 34 seg | 3 AC 4x565/72*  | -14.4 | 22.5 | -14.4 | 22.5 |  |  |
| LIQi1355 » | Obj: C420 | 6 seg  | 2 AC 4x565/72*  | -14.5 | 22.5 | -14.5 | 22.5 |  |  |
| LIQi1803 » | Obj: C420 | 34 seg | 2 AC 4x565/72*  | -14.6 | 22.5 | -14.6 | 22.5 |  |  |
| LIQi1354 » | Obj: C420 | 6 seg  | 1 AC 4x565/72*  | -14.7 | 22.5 | -14.7 | 22.5 |  |  |
| LIQi2306 » | Obj: C420 | 65 seg | 9 AC 4x565/72*  | -14.7 | 22.5 | -14.7 | 22.5 |  |  |
| LIQi2368 » | Obj: C420 | 69 seg | 7 AC 4x565/72*  | -14.7 | 22.5 | -14.7 | 22.5 |  |  |
| LIQi1413 » | Obj: C420 | 9 seg  | 12 AC 4x565/72* | -14.8 | 22.5 | -14.8 | 22.5 |  |  |
| LIQi1347 » | Obj: C420 | 5 seg  | 10 AC 4x565/72* | -14.9 | 22.5 | -14.9 | 22.5 |  |  |
| LIQi2307 » | Obj: C420 | 65 seg | 10 AC 4x565/72* | -15.1 | 22.5 | -15.1 | 22.5 |  |  |
| LIQi1412 » | Obj: C420 | 9 seg  | 11 AC 4x565/72* | -15.1 | 22.5 | -15.1 | 22.5 |  |  |
| LIQi1802 » | Obj: C420 | 34 seg | 1 AC 4x565/72*  | -15.1 | 22.5 | -15.1 | 22.5 |  |  |
| LIQi1346 » | Obj: C420 | 5 seg  | 9 AC 4x565/72*  | -15.1 | 22.5 | -15.1 | 22.5 |  |  |



|            |           |        |                 |       |             |       |             |  |  |
|------------|-----------|--------|-----------------|-------|-------------|-------|-------------|--|--|
| LIQi2369 » | Obj: C420 | 69 seg | 8 AC 4x565/72*  | -15.1 | 22.5        | -15.1 | 22.5        |  |  |
| LIQi2094 » | Obj: C420 | 52 seg | 5 AC 4x565/72*  | -15.1 | 22.5        | -15.1 | 22.5        |  |  |
| LIQi2045 » | Obj: C420 | 49 seg | 4 AC 4x565/72*  | -15.3 | 22.5        | -15.3 | 22.5        |  |  |
| LIQi1625 » | Obj: C420 | 22 seg | 16 AC 4x565/72* | -15.3 | 22.5        | -15.3 | 22.5        |  |  |
| LIQi2308 » | Obj: C420 | 65 seg | 11 AC 4x565/72* | -15.4 | 22.5        | -15.4 | 22.5        |  |  |
| LIQi2370 » | Obj: C420 | 69 seg | 9 AC 4x565/72*  | -15.6 | 22.5        | -15.6 | 22.5        |  |  |
| LIQi1411 » | Obj: C420 | 9 seg  | 10 AC 4x565/72* | -15.7 | 22.5        | -15.7 | 22.5        |  |  |
| LIQi2309 » | Obj: C420 | 65 seg | 12 AC 4x565/72* | -15.8 | 22.5        | -15.8 | 22.5        |  |  |
| LIQi1345 » | Obj: C420 | 5 seg  | 8 AC 4x565/72*  | -15.8 | 22.5        | -15.8 | 22.5        |  |  |
| LIQi2371 » | Obj: C420 | 69 seg | 10 AC 4x565/72* | -16.0 | 22.5        | -16.0 | 22.5        |  |  |
| LIQi1410 » | Obj: C420 | 9 seg  | 9 AC 4x565/72*  | -16.0 | 22.5        | -16.0 | 22.5        |  |  |
| LIQi2095 » | Obj: C420 | 52 seg | 6 AC 4x565/72*  | -16.0 | 22.5        | -16.0 | 22.5        |  |  |
| LIQi2310 » | Obj: C420 | 65 seg | 13 AC 4x565/72* | -16.0 | 22.5        | -16.0 | 22.5        |  |  |
| LIQi1344 » | Obj: C420 | 5 seg  | 7 AC 4x565/72*  | -16.0 | 22.5        | -16.0 | 22.5        |  |  |
| LIQi1624 » | Obj: C420 | 22 seg | 15 AC 4x565/72* | -16.1 | 22.5        | -16.1 | 22.5        |  |  |
| LIQi2372 » | Obj: C420 | 69 seg | 11 AC 4x565/72* | -16.2 | 22.5        | -16.2 | 22.5        |  |  |
| LIQi2046 » | Obj: C420 | 49 seg | 5 AC 4x565/72*  | -16.3 | 22.5        | -16.3 | 22.5        |  |  |
| LIQi2311 » | Obj: C420 | 65 seg | 14 AC 4x565/72* | -16.3 | 22.5        | -16.3 | 22.5        |  |  |
| LIQi1577 » | Obj: C420 | 19 seg | 16 AC 4x565/72* | -16.5 | 22.5        | -16.5 | 22.5        |  |  |
| LIQi1343 » | Obj: C420 | 5 seg  | 6 AC 4x565/72*  | -16.6 | 22.5        | -16.6 | 22.5        |  |  |
| LIQi2373 » | Obj: C420 | 69 seg | 12 AC 4x565/72* | -16.6 | 22.5        | -16.6 | 22.5        |  |  |
| LIQi1409 » | Obj: C420 | 9 seg  | 8 AC 4x565/72*  | -16.6 | 22.5        | -16.6 | 22.5        |  |  |
| LIQi2312 » | Obj: C420 | 65 seg | 15 AC 4x565/72* | -16.7 | 22.5        | -16.7 | 22.5        |  |  |
| LIQi1342 » | Obj: C420 | 5 seg  | 5 AC 4x565/72*  | -16.8 | 22.5        | -16.8 | 22.5        |  |  |
| LIQi2096 » | Obj: C420 | 52 seg | 7 AC 4x565/72*  | -16.8 | 22.5        | -16.8 | 22.5        |  |  |
| LIQi1408 » | Obj: C420 | 9 seg  | 7 AC 4x565/72*  | -16.9 | 22.5        | -16.9 | 22.5        |  |  |
| LIQi2374 » | Obj: C420 | 69 seg | 13 AC 4x565/72* | -16.9 | 22.5        | -16.9 | 22.5        |  |  |
| LIQi2313 » | Obj: C420 | 65 seg | 16 AC 4x565/72* | -17.0 | 22.5        | -17.0 | 22.5        |  |  |
| LIQi2047 » | Obj: C420 | 49 seg | 6 AC 4x565/72*  | -17.1 | 22.5        | -17.1 | 22.5        |  |  |
| LIQi2375 » | Obj: C420 | 69 seg | 14 AC 4x565/72* | -17.2 | 22.5        | -17.2 | 22.5        |  |  |
| LIQi1576 » | Obj: C420 | 19 seg | 15 AC 4x565/72* | -17.3 | 22.5        | -17.3 | 22.5        |  |  |
| LIQi1623 » | Obj: C420 | 22 seg | 14 AC 4x565/72* | -17.3 | 22.5        | -17.3 | 22.5        |  |  |
| LIQi1341 » | Obj: C420 | 5 seg  | 4 AC 4x565/72*  | -17.3 | 22.5        | -17.3 | 22.5        |  |  |
| LIQi1407 » | Obj: C420 | 9 seg  | 6 AC 4x565/72*  | -17.4 | 22.5        | -17.4 | 22.5        |  |  |
| LIQi2376 » | Obj: C420 | 69 seg | 15 AC 4x565/72* | -17.5 | 22.5        | -17.5 | 22.5        |  |  |
| LIQi1340 » | Obj: C420 | 5 seg  | 3 AC 4x565/72*  | -17.5 | 22.5        | -17.5 | 22.5        |  |  |
| LIQi2097 » | Obj: C420 | 52 seg | 8 AC 4x565/72*  | -17.5 | 22.5        | -17.5 | 22.5        |  |  |
| LIQi1339 » | Obj: C420 | 5 seg  | 2 AC 4x565/72*  | -17.6 | 22.5        | -17.6 | 22.5        |  |  |
| LIQi1406 » | Obj: C420 | 9 seg  | 5 AC 4x565/72*  | -17.6 | 22.6        | -17.6 | 22.6        |  |  |
| n=892      | Summe     |        |                 |       | <b>22.6</b> |       | <b>22.6</b> |  |  |



| IPkt029 »  | 3         | Variante 1      |                 |                  |      | Einstellung: Kopie von "Referenzeinstellung" |      |  |  |
|------------|-----------|-----------------|-----------------|------------------|------|--|------|--|--|
|            |           | x = 717325.15 m |                 | y = 5404883.55 m |      | z = 445.00 m                                 |      |  |  |
|            |           | Tag             |                 | Nacht            |      |  |      |  |  |
|            |           | Lr,iA           | Lr,A            | Lr,iA            | Lr,A |  |      |  |  |
|            |           | /dB             | /dB             | /dB              | /dB  |  |      |  |  |
| LIQi1878 » | Obj: C420 | 38 seg          | 13 AC 4x565/72* | 0.9              | 0.9  | 0.9  | 0.9  |  |  |
| LIQi1877 » | Obj: C420 | 38 seg          | 12 AC 4x565/72* | 0.9              | 3.9  | 0.9  | 3.9  |  |  |
| LIQi1880 » | Obj: C420 | 38 seg          | 15 AC 4x565/72* | 0.9              | 5.7  | 0.9  | 5.7  |  |  |
| LIQi1879 » | Obj: C420 | 38 seg          | 14 AC 4x565/72* | 0.9              | 6.9  | 0.9  | 6.9  |  |  |
| LIQi1876 » | Obj: C420 | 38 seg          | 11 AC 4x565/72* | 0.8              | 7.9  | 0.8  | 7.9  |  |  |
| LIQi1881 » | Obj: C420 | 38 seg          | 16 AC 4x565/72* | 0.8              | 8.6  | 0.8  | 8.6  |  |  |
| LIQi1875 » | Obj: C420 | 38 seg          | 10 AC 4x565/72* | 0.7              | 9.3  | 0.7  | 9.3  |  |  |
| LIQi1874 » | Obj: C420 | 38 seg          | 9 AC 4x565/72*  | 0.6              | 9.8  | 0.6  | 9.8  |  |  |
| LIQi1873 » | Obj: C420 | 38 seg          | 8 AC 4x565/72*  | 0.4              | 10.3 | 0.4  | 10.3 |  |  |
| LIQi2106 » | Obj: C420 | 53 seg          | 1 AC 4x565/72*  | 0.3              | 10.7 | 0.3  | 10.7 |  |  |
| LIQi1848 » | Obj: C420 | 36 seg          | 15 AC 4x565/72* | 0.3              | 11.1 | 0.3  | 11.1 |  |  |
| LIQi1872 » | Obj: C420 | 38 seg          | 7 AC 4x565/72*  | 0.2              | 11.4 | 0.2  | 11.4 |  |  |
| LIQi1846 » | Obj: C420 | 36 seg          | 13 AC 4x565/72* | 0.2              | 11.8 | 0.2  | 11.8 |  |  |
| LIQi1845 » | Obj: C420 | 36 seg          | 12 AC 4x565/72* | 0.2              | 12.1 | 0.2  | 12.1 |  |  |
| LIQi1847 » | Obj: C420 | 36 seg          | 14 AC 4x565/72* | 0.2              | 12.3 | 0.2  | 12.3 |  |  |
| LIQi1844 » | Obj: C420 | 36 seg          | 11 AC 4x565/72* | 0.2              | 12.6 | 0.2  | 12.6 |  |  |
| LIQi1849 » | Obj: C420 | 36 seg          | 16 AC 4x565/72* | 0.2              | 12.8 | 0.2  | 12.8 |  |  |
| LIQi1843 » | Obj: C420 | 36 seg          | 10 AC 4x565/72* | 0.1              | 13.1 | 0.1  | 13.1 |  |  |
| LIQi1871 » | Obj: C420 | 38 seg          | 6 AC 4x565/72*  | 0.0              | 13.3 | 0.0  | 13.3 |  |  |
| LIQi1842 » | Obj: C420 | 36 seg          | 9 AC 4x565/72*  | -0.0             | 13.5 | -0.0   | 13.5 |  |  |
| LIQi1841 » | Obj: C420 | 36 seg          | 8 AC 4x565/72*  | -0.2             | 13.6 | -0.2   | 13.6 |  |  |
| LIQi1870 » | Obj: C420 | 38 seg          | 5 AC 4x565/72*  | -0.2             | 13.8 | -0.2   | 13.8 |  |  |
| LIQi2074 » | Obj: C420 | 51 seg          | 1 AC 4x565/72*  | -0.3             | 14.0 | -0.3   | 14.0 |  |  |
| LIQi2107 » | Obj: C420 | 53 seg          | 2 AC 4x565/72*  | -0.3             | 14.1 | -0.3   | 14.1 |  |  |
| LIQi1840 » | Obj: C420 | 36 seg          | 7 AC 4x565/72*  | -0.4             | 14.3 | -0.4   | 14.3 |  |  |
| LIQi1869 » | Obj: C420 | 38 seg          | 4 AC 4x565/72*  | -0.5             | 14.4 | -0.5   | 14.4 |  |  |
| LIQi1839 » | Obj: C420 | 36 seg          | 6 AC 4x565/72*  | -0.6             | 14.6 | -0.6   | 14.6 |  |  |
| LIQi1868 » | Obj: C420 | 38 seg          | 3 AC 4x565/72*  | -0.8             | 14.7 | -0.8   | 14.7 |  |  |
| LIQi1838 » | Obj: C420 | 36 seg          | 5 AC 4x565/72*  | -0.8             | 14.8 | -0.8   | 14.8 |  |  |
| LIQi2075 » | Obj: C420 | 51 seg          | 2 AC 4x565/72*  | -0.8             | 14.9 | -0.8   | 14.9 |  |  |
| LIQi2108 » | Obj: C420 | 53 seg          | 3 AC 4x565/72*  | -1.0             | 15.0 | -1.0   | 15.0 |  |  |
| LIQi1837 » | Obj: C420 | 36 seg          | 4 AC 4x565/72*  | -1.1             | 15.2 | -1.1   | 15.2 |  |  |
| LIQi1867 » | Obj: C420 | 38 seg          | 2 AC 4x565/72*  | -1.1             | 15.3 | -1.1   | 15.3 |  |  |
| LIQi1836 » | Obj: C420 | 36 seg          | 3 AC 4x565/72*  | -1.3             | 15.3 | -1.3   | 15.3 |  |  |
| LIQi1866 » | Obj: C420 | 38 seg          | 1 AC 4x565/72*  | -1.4             | 15.4 | -1.4   | 15.4 |  |  |
| LIQi1835 » | Obj: C420 | 36 seg          | 2 AC 4x565/72*  | -1.5             | 15.5 | -1.5   | 15.5 |  |  |
| LIQi2076 » | Obj: C420 | 51 seg          | 3 AC 4x565/72*  | -1.5             | 15.6 | -1.5   | 15.6 |  |  |
| LIQi2109 » | Obj: C420 | 53 seg          | 4 AC 4x565/72*  | -1.6             | 15.7 | -1.6   | 15.7 |  |  |
| LIQi1834 » | Obj: C420 | 36 seg          | 1 AC 4x565/72*  | -1.8             | 15.8 | -1.8   | 15.8 |  |  |
| LIQi2077 » | Obj: C420 | 51 seg          | 4 AC 4x565/72*  | -2.1             | 15.8 | -2.1   | 15.8 |  |  |
| LIQi2110 » | Obj: C420 | 53 seg          | 5 AC 4x565/72*  | -2.1             | 15.9 | -2.1   | 15.9 |  |  |
| LIQi2078 » | Obj: C420 | 51 seg          | 5 AC 4x565/72*  | -2.6             | 16.0 | -2.6   | 16.0 |  |  |
| LIQi2111 » | Obj: C420 | 53 seg          | 6 AC 4x565/72*  | -2.7             | 16.0 | -2.7   | 16.0 |  |  |
| LIQi1641 » | Obj: C420 | 23 seg          | 16 AC 4x565/72* | -2.7             | 16.1 | -2.7   | 16.1 |  |  |
| LIQi2079 » | Obj: C420 | 51 seg          | 6 AC 4x565/72*  | -3.2             | 16.1 | -3.2   | 16.1 |  |  |
| LIQi1609 » | Obj: C420 | 21 seg          | 16 AC 4x565/72* | -3.2             | 16.2 | -3.2   | 16.2 |  |  |
| LIQi2112 » | Obj: C420 | 53 seg          | 7 AC 4x565/72*  | -3.2             | 16.2 | -3.2   | 16.2 |  |  |
| LIQi1640 » | Obj: C420 | 23 seg          | 15 AC 4x565/72* | -3.3             | 16.3 | -3.3   | 16.3 |  |  |
| LIQi2080 » | Obj: C420 | 51 seg          | 7 AC 4x565/72*  | -3.7             | 16.3 | -3.7   | 16.3 |  |  |
| LIQi1639 » | Obj: C420 | 23 seg          | 14 AC 4x565/72* | -3.7             | 16.4 | -3.7   | 16.4 |  |  |
| LIQi2113 » | Obj: C420 | 53 seg          | 8 AC 4x565/72*  | -3.7             | 16.4 | -3.7   | 16.4 |  |  |





|            |           |        |                 |      |      |      |      |  |  |
|------------|-----------|--------|-----------------|------|------|------|------|--|--|
| LIQi1608 » | Obj: C420 | 21 seg | 15 AC 4x565/72* | -3.7 | 16.5 | -3.7 | 16.5 |  |  |
| LIQi1830 » | Obj: C420 | 35 seg | 13 AC 4x565/72* | -4.1 | 16.5 | -4.1 | 16.5 |  |  |
| LIQi1829 » | Obj: C420 | 35 seg | 12 AC 4x565/72* | -4.1 | 16.5 | -4.1 | 16.5 |  |  |
| LIQi1831 » | Obj: C420 | 35 seg | 14 AC 4x565/72* | -4.1 | 16.6 | -4.1 | 16.6 |  |  |
| LIQi1828 » | Obj: C420 | 35 seg | 11 AC 4x565/72* | -4.1 | 16.6 | -4.1 | 16.6 |  |  |
| LIQi1832 » | Obj: C420 | 35 seg | 15 AC 4x565/72* | -4.1 | 16.6 | -4.1 | 16.6 |  |  |
| LIQi1607 » | Obj: C420 | 21 seg | 14 AC 4x565/72* | -4.2 | 16.7 | -4.2 | 16.7 |  |  |
| LIQi2081 » | Obj: C420 | 51 seg | 8 AC 4x565/72*  | -4.2 | 16.7 | -4.2 | 16.7 |  |  |
| LIQi1638 » | Obj: C420 | 23 seg | 13 AC 4x565/72* | -4.2 | 16.7 | -4.2 | 16.7 |  |  |
| LIQi1894 » | Obj: C420 | 39 seg | 13 AC 4x565/72* | -4.2 | 16.8 | -4.2 | 16.8 |  |  |
| LIQi1827 » | Obj: C420 | 35 seg | 10 AC 4x565/72* | -4.2 | 16.8 | -4.2 | 16.8 |  |  |
| LIQi1893 » | Obj: C420 | 39 seg | 12 AC 4x565/72* | -4.2 | 16.9 | -4.2 | 16.9 |  |  |
| LIQi2114 » | Obj: C420 | 53 seg | 9 AC 4x565/72*  | -4.2 | 16.9 | -4.2 | 16.9 |  |  |
| LIQi1833 » | Obj: C420 | 35 seg | 16 AC 4x565/72* | -4.2 | 16.9 | -4.2 | 16.9 |  |  |
| LIQi1895 » | Obj: C420 | 39 seg | 14 AC 4x565/72* | -4.2 | 17.0 | -4.2 | 17.0 |  |  |
| LIQi1892 » | Obj: C420 | 39 seg | 11 AC 4x565/72* | -4.3 | 17.0 | -4.3 | 17.0 |  |  |
| LIQi1826 » | Obj: C420 | 35 seg | 9 AC 4x565/72*  | -4.3 | 17.0 | -4.3 | 17.0 |  |  |
| LIQi1896 » | Obj: C420 | 39 seg | 15 AC 4x565/72* | -4.3 | 17.0 | -4.3 | 17.0 |  |  |
| LIQi1891 » | Obj: C420 | 39 seg | 10 AC 4x565/72* | -4.3 | 17.1 | -4.3 | 17.1 |  |  |
| LIQi1897 » | Obj: C420 | 39 seg | 16 AC 4x565/72* | -4.4 | 17.1 | -4.4 | 17.1 |  |  |
| LIQi1825 » | Obj: C420 | 35 seg | 8 AC 4x565/72*  | -4.5 | 17.1 | -4.5 | 17.1 |  |  |
| LIQi1890 » | Obj: C420 | 39 seg | 9 AC 4x565/72*  | -4.5 | 17.2 | -4.5 | 17.2 |  |  |
| LIQi1637 » | Obj: C420 | 23 seg | 12 AC 4x565/72* | -4.5 | 17.2 | -4.5 | 17.2 |  |  |
| LIQi2082 » | Obj: C420 | 51 seg | 9 AC 4x565/72*  | -4.6 | 17.2 | -4.6 | 17.2 |  |  |
| LIQi2058 » | Obj: C420 | 50 seg | 1 AC 4x565/72*  | -4.6 | 17.3 | -4.6 | 17.3 |  |  |
| LIQi1606 » | Obj: C420 | 21 seg | 13 AC 4x565/72* | -4.6 | 17.3 | -4.6 | 17.3 |  |  |
| LIQi1889 » | Obj: C420 | 39 seg | 8 AC 4x565/72*  | -4.7 | 17.3 | -4.7 | 17.3 |  |  |
| LIQi1824 » | Obj: C420 | 35 seg | 7 AC 4x565/72*  | -4.7 | 17.3 | -4.7 | 17.3 |  |  |
| LIQi2115 » | Obj: C420 | 53 seg | 10 AC 4x565/72* | -4.7 | 17.4 | -4.7 | 17.4 |  |  |
| LIQi1888 » | Obj: C420 | 39 seg | 7 AC 4x565/72*  | -4.9 | 17.4 | -4.9 | 17.4 |  |  |
| LIQi1823 » | Obj: C420 | 35 seg | 6 AC 4x565/72*  | -4.9 | 17.4 | -4.9 | 17.4 |  |  |
| LIQi2122 » | Obj: C420 | 54 seg | 1 AC 4x565/72*  | -4.9 | 17.4 | -4.9 | 17.4 |  |  |
| LIQi1605 » | Obj: C420 | 21 seg | 12 AC 4x565/72* | -4.9 | 17.5 | -4.9 | 17.5 |  |  |
| LIQi1636 » | Obj: C420 | 23 seg | 11 AC 4x565/72* | -5.0 | 17.5 | -5.0 | 17.5 |  |  |
| LIQi2083 » | Obj: C420 | 51 seg | 10 AC 4x565/72* | -5.1 | 17.5 | -5.1 | 17.5 |  |  |
| LIQi1822 » | Obj: C420 | 35 seg | 5 AC 4x565/72*  | -5.1 | 17.5 | -5.1 | 17.5 |  |  |
| LIQi1887 » | Obj: C420 | 39 seg | 6 AC 4x565/72*  | -5.1 | 17.6 | -5.1 | 17.6 |  |  |
| LIQi2116 » | Obj: C420 | 53 seg | 11 AC 4x565/72* | -5.1 | 17.6 | -5.1 | 17.6 |  |  |
| LIQi1635 » | Obj: C420 | 23 seg | 10 AC 4x565/72* | -5.2 | 17.6 | -5.2 | 17.6 |  |  |
| LIQi2059 » | Obj: C420 | 50 seg | 2 AC 4x565/72*  | -5.2 | 17.6 | -5.2 | 17.6 |  |  |
| LIQi1821 » | Obj: C420 | 35 seg | 4 AC 4x565/72*  | -5.3 | 17.7 | -5.3 | 17.7 |  |  |
| LIQi1886 » | Obj: C420 | 39 seg | 5 AC 4x565/72*  | -5.4 | 17.7 | -5.4 | 17.7 |  |  |
| LIQi1604 » | Obj: C420 | 21 seg | 11 AC 4x565/72* | -5.4 | 17.7 | -5.4 | 17.7 |  |  |
| LIQi2084 » | Obj: C420 | 51 seg | 11 AC 4x565/72* | -5.5 | 17.7 | -5.5 | 17.7 |  |  |
| LIQi2117 » | Obj: C420 | 53 seg | 12 AC 4x565/72* | -5.5 | 17.7 | -5.5 | 17.7 |  |  |
| LIQi2123 » | Obj: C420 | 54 seg | 2 AC 4x565/72*  | -5.5 | 17.8 | -5.5 | 17.8 |  |  |
| LIQi1820 » | Obj: C420 | 35 seg | 3 AC 4x565/72*  | -5.6 | 17.8 | -5.6 | 17.8 |  |  |
| LIQi1603 » | Obj: C420 | 21 seg | 10 AC 4x565/72* | -5.6 | 17.8 | -5.6 | 17.8 |  |  |
| LIQi1634 » | Obj: C420 | 23 seg | 9 AC 4x565/72*  | -5.6 | 17.8 | -5.6 | 17.8 |  |  |
| LIQi1885 » | Obj: C420 | 39 seg | 4 AC 4x565/72*  | -5.6 | 17.8 | -5.6 | 17.8 |  |  |
| LIQi2060 » | Obj: C420 | 50 seg | 3 AC 4x565/72*  | -5.8 | 17.9 | -5.8 | 17.9 |  |  |
| LIQi1633 » | Obj: C420 | 23 seg | 8 AC 4x565/72*  | -5.8 | 17.9 | -5.8 | 17.9 |  |  |
| LIQi1819 » | Obj: C420 | 35 seg | 2 AC 4x565/72*  | -5.9 | 17.9 | -5.9 | 17.9 |  |  |
| LIQi2085 » | Obj: C420 | 51 seg | 12 AC 4x565/72* | -5.9 | 17.9 | -5.9 | 17.9 |  |  |
| LIQi2118 » | Obj: C420 | 53 seg | 13 AC 4x565/72* | -5.9 | 17.9 | -5.9 | 17.9 |  |  |



|            |           |        |                 |      |      |      |      |  |  |
|------------|-----------|--------|-----------------|------|------|------|------|--|--|
| LIQi1884 » | Obj: C420 | 39 seg | 3 AC 4x565/72*  | -5.9 | 17.9 | -5.9 | 17.9 |  |  |
| LIQi1602 » | Obj: C420 | 21 seg | 9 AC 4x565/72*  | -6.0 | 18.0 | -6.0 | 18.0 |  |  |
| LIQi2124 » | Obj: C420 | 54 seg | 3 AC 4x565/72*  | -6.0 | 18.0 | -6.0 | 18.0 |  |  |
| LIQi1601 » | Obj: C420 | 21 seg | 8 AC 4x565/72*  | -6.1 | 18.0 | -6.1 | 18.0 |  |  |
| LIQi1818 » | Obj: C420 | 35 seg | 1 AC 4x565/72*  | -6.1 | 18.0 | -6.1 | 18.0 |  |  |
| LIQi1632 » | Obj: C420 | 23 seg | 7 AC 4x565/72*  | -6.2 | 18.0 | -6.2 | 18.0 |  |  |
| LIQi1883 » | Obj: C420 | 39 seg | 2 AC 4x565/72*  | -6.2 | 18.1 | -6.2 | 18.1 |  |  |
| LIQi2086 » | Obj: C420 | 51 seg | 13 AC 4x565/72* | -6.3 | 18.1 | -6.3 | 18.1 |  |  |
| LIQi2119 » | Obj: C420 | 53 seg | 14 AC 4x565/72* | -6.3 | 18.1 | -6.3 | 18.1 |  |  |
| LIQi1631 » | Obj: C420 | 23 seg | 6 AC 4x565/72*  | -6.3 | 18.1 | -6.3 | 18.1 |  |  |
| LIQi2061 » | Obj: C420 | 50 seg | 4 AC 4x565/72*  | -6.3 | 18.1 | -6.3 | 18.1 |  |  |
| LIQi1600 » | Obj: C420 | 21 seg | 7 AC 4x565/72*  | -6.5 | 18.1 | -6.5 | 18.1 |  |  |
| LIQi2120 » | Obj: C420 | 53 seg | 15 AC 4x565/72* | -6.5 | 18.1 | -6.5 | 18.1 |  |  |
| LIQi1882 » | Obj: C420 | 39 seg | 1 AC 4x565/72*  | -6.5 | 18.2 | -6.5 | 18.2 |  |  |
| LIQi2087 » | Obj: C420 | 51 seg | 14 AC 4x565/72* | -6.6 | 18.2 | -6.6 | 18.2 |  |  |
| LIQi2125 » | Obj: C420 | 54 seg | 4 AC 4x565/72*  | -6.6 | 18.2 | -6.6 | 18.2 |  |  |
| LIQi1630 » | Obj: C420 | 23 seg | 5 AC 4x565/72*  | -6.7 | 18.2 | -6.7 | 18.2 |  |  |
| LIQi1599 » | Obj: C420 | 21 seg | 6 AC 4x565/72*  | -6.7 | 18.2 | -6.7 | 18.2 |  |  |
| LIQi2062 » | Obj: C420 | 50 seg | 5 AC 4x565/72*  | -6.8 | 18.2 | -6.8 | 18.2 |  |  |
| LIQi1629 » | Obj: C420 | 23 seg | 4 AC 4x565/72*  | -6.8 | 18.2 | -6.8 | 18.2 |  |  |
| LIQi2121 » | Obj: C420 | 53 seg | 16 AC 4x565/72* | -6.8 | 18.3 | -6.8 | 18.3 |  |  |
| LIQi2088 » | Obj: C420 | 51 seg | 15 AC 4x565/72* | -6.9 | 18.3 | -6.9 | 18.3 |  |  |
| LIQi1598 » | Obj: C420 | 21 seg | 5 AC 4x565/72*  | -7.0 | 18.3 | -7.0 | 18.3 |  |  |
| LIQi1597 » | Obj: C420 | 21 seg | 4 AC 4x565/72*  | -7.0 | 18.3 | -7.0 | 18.3 |  |  |
| LIQi1628 » | Obj: C420 | 23 seg | 3 AC 4x565/72*  | -7.1 | 18.3 | -7.1 | 18.3 |  |  |
| LIQi2126 » | Obj: C420 | 54 seg | 5 AC 4x565/72*  | -7.1 | 18.3 | -7.1 | 18.3 |  |  |
| LIQi1627 » | Obj: C420 | 23 seg | 2 AC 4x565/72*  | -7.1 | 18.3 | -7.1 | 18.3 |  |  |
| LIQi2089 » | Obj: C420 | 51 seg | 16 AC 4x565/72* | -7.2 | 18.3 | -7.2 | 18.3 |  |  |
| LIQi2063 » | Obj: C420 | 50 seg | 6 AC 4x565/72*  | -7.3 | 18.4 | -7.3 | 18.4 |  |  |
| LIQi1596 » | Obj: C420 | 21 seg | 3 AC 4x565/72*  | -7.4 | 18.4 | -7.4 | 18.4 |  |  |
| LIQi1595 » | Obj: C420 | 21 seg | 2 AC 4x565/72*  | -7.4 | 18.4 | -7.4 | 18.4 |  |  |
| LIQi1626 » | Obj: C420 | 23 seg | 1 AC 4x565/72*  | -7.4 | 18.4 | -7.4 | 18.4 |  |  |
| LIQi2346 » | Obj: C420 | 68 seg | 1 AC 4x565/72*  | -7.4 | 18.4 | -7.4 | 18.4 |  |  |
| LIQi1593 » | Obj: C420 | 20 seg | 16 AC 4x565/72* | -7.4 | 18.4 | -7.4 | 18.4 |  |  |
| LIQi1594 » | Obj: C420 | 21 seg | 1 AC 4x565/72*  | -7.6 | 18.4 | -7.6 | 18.4 |  |  |
| LIQi2127 » | Obj: C420 | 54 seg | 6 AC 4x565/72*  | -7.7 | 18.4 | -7.7 | 18.4 |  |  |
| LIQi2064 » | Obj: C420 | 50 seg | 7 AC 4x565/72*  | -7.7 | 18.4 | -7.7 | 18.4 |  |  |
| LIQi2314 » | Obj: C420 | 66 seg | 1 AC 4x565/72*  | -7.8 | 18.5 | -7.8 | 18.5 |  |  |
| LIQi1592 » | Obj: C420 | 20 seg | 15 AC 4x565/72* | -8.0 | 18.5 | -8.0 | 18.5 |  |  |
| LIQi1657 » | Obj: C420 | 24 seg | 16 AC 4x565/72* | -8.0 | 18.5 | -8.0 | 18.5 |  |  |
| LIQi2347 » | Obj: C420 | 68 seg | 2 AC 4x565/72*  | -8.0 | 18.5 | -8.0 | 18.5 |  |  |
| LIQi2128 » | Obj: C420 | 54 seg | 7 AC 4x565/72*  | -8.1 | 18.5 | -8.1 | 18.5 |  |  |
| LIQi2065 » | Obj: C420 | 50 seg | 8 AC 4x565/72*  | -8.2 | 18.5 | -8.2 | 18.5 |  |  |
| LIQi1591 » | Obj: C420 | 20 seg | 14 AC 4x565/72* | -8.3 | 18.5 | -8.3 | 18.5 |  |  |
| LIQi2315 » | Obj: C420 | 66 seg | 2 AC 4x565/72*  | -8.3 | 18.5 | -8.3 | 18.5 |  |  |
| LIQi1656 » | Obj: C420 | 24 seg | 15 AC 4x565/72* | -8.5 | 18.5 | -8.5 | 18.5 |  |  |
| LIQi1401 » | Obj: C420 | 8 seg  | 16 AC 4x565/72* | -8.6 | 18.5 | -8.6 | 18.5 |  |  |
| LIQi2348 » | Obj: C420 | 68 seg | 3 AC 4x565/72*  | -8.6 | 18.5 | -8.6 | 18.5 |  |  |
| LIQi2129 » | Obj: C420 | 54 seg | 8 AC 4x565/72*  | -8.6 | 18.6 | -8.6 | 18.6 |  |  |
| LIQi2066 » | Obj: C420 | 50 seg | 9 AC 4x565/72*  | -8.7 | 18.6 | -8.7 | 18.6 |  |  |
| LIQi1590 » | Obj: C420 | 20 seg | 13 AC 4x565/72* | -8.7 | 18.6 | -8.7 | 18.6 |  |  |
| LIQi1369 » | Obj: C420 | 6 seg  | 16 AC 4x565/72* | -8.8 | 18.6 | -8.8 | 18.6 |  |  |
| LIQi1655 » | Obj: C420 | 24 seg | 14 AC 4x565/72* | -8.9 | 18.6 | -8.9 | 18.6 |  |  |
| LIQi1400 » | Obj: C420 | 8 seg  | 15 AC 4x565/72* | -8.9 | 18.6 | -8.9 | 18.6 |  |  |
| LIQi2316 » | Obj: C420 | 66 seg | 3 AC 4x565/72*  | -8.9 | 18.6 | -8.9 | 18.6 |  |  |



|            |           |        |                 |       |      |       |      |  |  |
|------------|-----------|--------|-----------------|-------|------|-------|------|--|--|
| LIQi1589 » | Obj: C420 | 20 seg | 12 AC 4x565/72* | -9.0  | 18.6 | -9.0  | 18.6 |  |  |
| LIQi1368 » | Obj: C420 | 6 seg  | 15 AC 4x565/72* | -9.1  | 18.6 | -9.1  | 18.6 |  |  |
| LIQi2349 » | Obj: C420 | 68 seg | 4 AC 4x565/72*  | -9.1  | 18.6 | -9.1  | 18.6 |  |  |
| LIQi2067 » | Obj: C420 | 50 seg | 10 AC 4x565/72* | -9.2  | 18.6 | -9.2  | 18.6 |  |  |
| LIQi2130 » | Obj: C420 | 54 seg | 9 AC 4x565/72*  | -9.2  | 18.6 | -9.2  | 18.6 |  |  |
| LIQi1654 » | Obj: C420 | 24 seg | 13 AC 4x565/72* | -9.4  | 18.6 | -9.4  | 18.6 |  |  |
| LIQi2317 » | Obj: C420 | 66 seg | 4 AC 4x565/72*  | -9.4  | 18.7 | -9.4  | 18.7 |  |  |
| LIQi1588 » | Obj: C420 | 20 seg | 11 AC 4x565/72* | -9.5  | 18.7 | -9.5  | 18.7 |  |  |
| LIQi2068 » | Obj: C420 | 50 seg | 11 AC 4x565/72* | -9.6  | 18.7 | -9.6  | 18.7 |  |  |
| LIQi1653 » | Obj: C420 | 24 seg | 12 AC 4x565/72* | -9.6  | 18.7 | -9.6  | 18.7 |  |  |
| LIQi2350 » | Obj: C420 | 68 seg | 5 AC 4x565/72*  | -9.6  | 18.7 | -9.6  | 18.7 |  |  |
| LIQi2131 » | Obj: C420 | 54 seg | 10 AC 4x565/72* | -9.7  | 18.7 | -9.7  | 18.7 |  |  |
| LIQi1587 » | Obj: C420 | 20 seg | 10 AC 4x565/72* | -9.7  | 18.7 | -9.7  | 18.7 |  |  |
| LIQi1399 » | Obj: C420 | 8 seg  | 14 AC 4x565/72* | -9.7  | 18.7 | -9.7  | 18.7 |  |  |
| LIQi2318 » | Obj: C420 | 66 seg | 5 AC 4x565/72*  | -9.9  | 18.7 | -9.9  | 18.7 |  |  |
| LIQi2069 » | Obj: C420 | 50 seg | 12 AC 4x565/72* | -10.0 | 18.7 | -10.0 | 18.7 |  |  |
| LIQi1367 » | Obj: C420 | 6 seg  | 14 AC 4x565/72* | -10.0 | 18.7 | -10.0 | 18.7 |  |  |
| LIQi1398 » | Obj: C420 | 8 seg  | 13 AC 4x565/72* | -10.0 | 18.7 | -10.0 | 18.7 |  |  |
| LIQi1652 » | Obj: C420 | 24 seg | 11 AC 4x565/72* | -10.1 | 18.7 | -10.1 | 18.7 |  |  |
| LIQi2351 » | Obj: C420 | 68 seg | 6 AC 4x565/72*  | -10.1 | 18.7 | -10.1 | 18.7 |  |  |
| LIQi1586 » | Obj: C420 | 20 seg | 9 AC 4x565/72*  | -10.1 | 18.7 | -10.1 | 18.7 |  |  |
| LIQi1585 » | Obj: C420 | 20 seg | 8 AC 4x565/72*  | -10.2 | 18.7 | -10.2 | 18.7 |  |  |
| LIQi2132 » | Obj: C420 | 54 seg | 11 AC 4x565/72* | -10.2 | 18.8 | -10.2 | 18.8 |  |  |
| LIQi1366 » | Obj: C420 | 6 seg  | 13 AC 4x565/72* | -10.3 | 18.8 | -10.3 | 18.8 |  |  |
| LIQi1651 » | Obj: C420 | 24 seg | 10 AC 4x565/72* | -10.3 | 18.8 | -10.3 | 18.8 |  |  |
| LIQi2319 » | Obj: C420 | 66 seg | 6 AC 4x565/72*  | -10.4 | 18.8 | -10.4 | 18.8 |  |  |
| LIQi2070 » | Obj: C420 | 50 seg | 13 AC 4x565/72* | -10.4 | 18.8 | -10.4 | 18.8 |  |  |
| LIQi2352 » | Obj: C420 | 68 seg | 7 AC 4x565/72*  | -10.5 | 18.8 | -10.5 | 18.8 |  |  |
| LIQi1584 » | Obj: C420 | 20 seg | 7 AC 4x565/72*  | -10.6 | 18.8 | -10.6 | 18.8 |  |  |
| LIQi1397 » | Obj: C420 | 8 seg  | 12 AC 4x565/72* | -10.6 | 18.8 | -10.6 | 18.8 |  |  |
| LIQi2133 » | Obj: C420 | 54 seg | 12 AC 4x565/72* | -10.6 | 18.8 | -10.6 | 18.8 |  |  |
| LIQi1583 » | Obj: C420 | 20 seg | 6 AC 4x565/72*  | -10.7 | 18.8 | -10.7 | 18.8 |  |  |
| LIQi1650 » | Obj: C420 | 24 seg | 9 AC 4x565/72*  | -10.7 | 18.8 | -10.7 | 18.8 |  |  |
| LIQi2071 » | Obj: C420 | 50 seg | 14 AC 4x565/72* | -10.8 | 18.8 | -10.8 | 18.8 |  |  |
| LIQi2320 » | Obj: C420 | 66 seg | 7 AC 4x565/72*  | -10.8 | 18.8 | -10.8 | 18.8 |  |  |
| LIQi1396 » | Obj: C420 | 8 seg  | 11 AC 4x565/72* | -10.9 | 18.8 | -10.9 | 18.8 |  |  |
| LIQi2353 » | Obj: C420 | 68 seg | 8 AC 4x565/72*  | -10.9 | 18.8 | -10.9 | 18.8 |  |  |
| LIQi1365 » | Obj: C420 | 6 seg  | 12 AC 4x565/72* | -10.9 | 18.8 | -10.9 | 18.8 |  |  |
| LIQi1649 » | Obj: C420 | 24 seg | 8 AC 4x565/72*  | -11.0 | 18.8 | -11.0 | 18.8 |  |  |
| LIQi1581 » | Obj: C420 | 20 seg | 4 AC 4x565/72*  | -11.0 | 18.8 | -11.0 | 18.8 |  |  |
| LIQi2072 » | Obj: C420 | 50 seg | 15 AC 4x565/72* | -11.0 | 18.8 | -11.0 | 18.8 |  |  |
| LIQi1582 » | Obj: C420 | 20 seg | 5 AC 4x565/72*  | -11.1 | 18.8 | -11.1 | 18.8 |  |  |
| LIQi2134 » | Obj: C420 | 54 seg | 13 AC 4x565/72* | -11.1 | 18.8 | -11.1 | 18.8 |  |  |
| LIQi2321 » | Obj: C420 | 66 seg | 8 AC 4x565/72*  | -11.2 | 18.9 | -11.2 | 18.9 |  |  |
| LIQi1364 » | Obj: C420 | 6 seg  | 11 AC 4x565/72* | -11.2 | 18.9 | -11.2 | 18.9 |  |  |
| LIQi1579 » | Obj: C420 | 20 seg | 2 AC 4x565/72*  | -11.3 | 18.9 | -11.3 | 18.9 |  |  |
| LIQi1580 » | Obj: C420 | 20 seg | 3 AC 4x565/72*  | -11.3 | 18.9 | -11.3 | 18.9 |  |  |
| LIQi1647 » | Obj: C420 | 24 seg | 6 AC 4x565/72*  | -11.3 | 18.9 | -11.3 | 18.9 |  |  |
| LIQi2073 » | Obj: C420 | 50 seg | 16 AC 4x565/72* | -11.3 | 18.9 | -11.3 | 18.9 |  |  |
| LIQi1648 » | Obj: C420 | 24 seg | 7 AC 4x565/72*  | -11.4 | 18.9 | -11.4 | 18.9 |  |  |
| LIQi2354 » | Obj: C420 | 68 seg | 9 AC 4x565/72*  | -11.4 | 18.9 | -11.4 | 18.9 |  |  |
| LIQi2135 » | Obj: C420 | 54 seg | 14 AC 4x565/72* | -11.5 | 18.9 | -11.5 | 18.9 |  |  |
| LIQi1395 » | Obj: C420 | 8 seg  | 10 AC 4x565/72* | -11.5 | 18.9 | -11.5 | 18.9 |  |  |
| LIQi2322 » | Obj: C420 | 66 seg | 9 AC 4x565/72*  | -11.6 | 18.9 | -11.6 | 18.9 |  |  |
| LIQi1578 » | Obj: C420 | 20 seg | 1 AC 4x565/72*  | -11.6 | 18.9 | -11.6 | 18.9 |  |  |



|            |           |        |                 |       |      |       |      |  |  |
|------------|-----------|--------|-----------------|-------|------|-------|------|--|--|
| LIQi1646 » | Obj: C420 | 24 seg | 5 AC 4x565/72*  | -11.7 | 18.9 | -11.7 | 18.9 |  |  |
| LIQi1645 » | Obj: C420 | 24 seg | 4 AC 4x565/72*  | -11.7 | 18.9 | -11.7 | 18.9 |  |  |
| LIQi2355 » | Obj: C420 | 68 seg | 10 AC 4x565/72* | -11.7 | 18.9 | -11.7 | 18.9 |  |  |
| LIQi1394 » | Obj: C420 | 8 seg  | 9 AC 4x565/72*  | -11.8 | 18.9 | -11.8 | 18.9 |  |  |
| LIQi2136 » | Obj: C420 | 54 seg | 15 AC 4x565/72* | -11.8 | 18.9 | -11.8 | 18.9 |  |  |
| LIQi1363 » | Obj: C420 | 6 seg  | 10 AC 4x565/72* | -11.9 | 18.9 | -11.9 | 18.9 |  |  |
| LIQi2298 » | Obj: C420 | 65 seg | 1 AC 4x565/72*  | -11.9 | 18.9 | -11.9 | 18.9 |  |  |
| LIQi2323 » | Obj: C420 | 66 seg | 10 AC 4x565/72* | -11.9 | 18.9 | -11.9 | 18.9 |  |  |
| LIQi1644 » | Obj: C420 | 24 seg | 3 AC 4x565/72*  | -12.1 | 18.9 | -12.1 | 18.9 |  |  |
| LIQi1643 » | Obj: C420 | 24 seg | 2 AC 4x565/72*  | -12.1 | 18.9 | -12.1 | 18.9 |  |  |
| LIQi2356 » | Obj: C420 | 68 seg | 11 AC 4x565/72* | -12.1 | 18.9 | -12.1 | 18.9 |  |  |
| LIQi1362 » | Obj: C420 | 6 seg  | 9 AC 4x565/72*  | -12.1 | 18.9 | -12.1 | 18.9 |  |  |
| LIQi2137 » | Obj: C420 | 54 seg | 16 AC 4x565/72* | -12.2 | 18.9 | -12.2 | 18.9 |  |  |
| LIQi2324 » | Obj: C420 | 66 seg | 11 AC 4x565/72* | -12.3 | 18.9 | -12.3 | 18.9 |  |  |
| LIQi1642 » | Obj: C420 | 24 seg | 1 AC 4x565/72*  | -12.4 | 19.0 | -12.4 | 19.0 |  |  |
| LIQi2357 » | Obj: C420 | 68 seg | 12 AC 4x565/72* | -12.4 | 19.0 | -12.4 | 19.0 |  |  |
| LIQi1393 » | Obj: C420 | 8 seg  | 8 AC 4x565/72*  | -12.4 | 19.0 | -12.4 | 19.0 |  |  |
| LIQi2299 » | Obj: C420 | 65 seg | 2 AC 4x565/72*  | -12.5 | 19.0 | -12.5 | 19.0 |  |  |
| LIQi2325 » | Obj: C420 | 66 seg | 12 AC 4x565/72* | -12.6 | 19.0 | -12.6 | 19.0 |  |  |
| LIQi2358 » | Obj: C420 | 68 seg | 13 AC 4x565/72* | -12.6 | 19.0 | -12.6 | 19.0 |  |  |
| LIQi1361 » | Obj: C420 | 6 seg  | 8 AC 4x565/72*  | -12.6 | 19.0 | -12.6 | 19.0 |  |  |
| LIQi1392 » | Obj: C420 | 8 seg  | 7 AC 4x565/72*  | -12.6 | 19.0 | -12.6 | 19.0 |  |  |
| LIQi2362 » | Obj: C420 | 69 seg | 1 AC 4x565/72*  | -12.8 | 19.0 | -12.8 | 19.0 |  |  |
| LIQi1353 » | Obj: C420 | 5 seg  | 16 AC 4x565/72* | -12.8 | 19.0 | -12.8 | 19.0 |  |  |
| LIQi1360 » | Obj: C420 | 6 seg  | 7 AC 4x565/72*  | -12.9 | 19.0 | -12.9 | 19.0 |  |  |
| LIQi2326 » | Obj: C420 | 66 seg | 13 AC 4x565/72* | -12.9 | 19.0 | -12.9 | 19.0 |  |  |
| LIQi2359 » | Obj: C420 | 68 seg | 14 AC 4x565/72* | -12.9 | 19.0 | -12.9 | 19.0 |  |  |
| LIQi2300 » | Obj: C420 | 65 seg | 3 AC 4x565/72*  | -13.0 | 19.0 | -13.0 | 19.0 |  |  |
| LIQi1352 » | Obj: C420 | 5 seg  | 15 AC 4x565/72* | -13.1 | 19.0 | -13.1 | 19.0 |  |  |
| LIQi2327 » | Obj: C420 | 66 seg | 14 AC 4x565/72* | -13.2 | 19.0 | -13.2 | 19.0 |  |  |
| LIQi1391 » | Obj: C420 | 8 seg  | 6 AC 4x565/72*  | -13.2 | 19.0 | -13.2 | 19.0 |  |  |
| LIQi2363 » | Obj: C420 | 69 seg | 2 AC 4x565/72*  | -13.3 | 19.0 | -13.3 | 19.0 |  |  |
| LIQi1390 » | Obj: C420 | 8 seg  | 5 AC 4x565/72*  | -13.4 | 19.0 | -13.4 | 19.0 |  |  |
| LIQi1359 » | Obj: C420 | 6 seg  | 6 AC 4x565/72*  | -13.5 | 19.0 | -13.5 | 19.0 |  |  |
| LIQi2301 » | Obj: C420 | 65 seg | 4 AC 4x565/72*  | -13.5 | 19.0 | -13.5 | 19.0 |  |  |
| LIQi1417 » | Obj: C420 | 9 seg  | 16 AC 4x565/72* | -13.5 | 19.0 | -13.5 | 19.0 |  |  |
| LIQi2360 » | Obj: C420 | 68 seg | 15 AC 4x565/72* | -13.6 | 19.0 | -13.6 | 19.0 |  |  |
| LIQi1358 » | Obj: C420 | 6 seg  | 5 AC 4x565/72*  | -13.7 | 19.0 | -13.7 | 19.0 |  |  |
| LIQi2328 » | Obj: C420 | 66 seg | 15 AC 4x565/72* | -13.7 | 19.0 | -13.7 | 19.0 |  |  |
| LIQi1351 » | Obj: C420 | 5 seg  | 14 AC 4x565/72* | -13.7 | 19.0 | -13.7 | 19.0 |  |  |
| LIQi2364 » | Obj: C420 | 69 seg | 3 AC 4x565/72*  | -13.8 | 19.0 | -13.8 | 19.0 |  |  |
| LIQi2361 » | Obj: C420 | 68 seg | 16 AC 4x565/72* | -13.8 | 19.0 | -13.8 | 19.0 |  |  |
| LIQi2302 » | Obj: C420 | 65 seg | 5 AC 4x565/72*  | -13.9 | 19.0 | -13.9 | 19.0 |  |  |
| LIQi1416 » | Obj: C420 | 9 seg  | 15 AC 4x565/72* | -13.9 | 19.0 | -13.9 | 19.0 |  |  |
| LIQi2329 » | Obj: C420 | 66 seg | 16 AC 4x565/72* | -14.0 | 19.0 | -14.0 | 19.0 |  |  |
| LIQi1389 » | Obj: C420 | 8 seg  | 4 AC 4x565/72*  | -14.0 | 19.0 | -14.0 | 19.0 |  |  |
| LIQi1350 » | Obj: C420 | 5 seg  | 13 AC 4x565/72* | -14.0 | 19.0 | -14.0 | 19.0 |  |  |
| LIQi1864 » | Obj: C420 | 37 seg | 15 AC 4x565/72* | -14.0 | 19.0 | -14.0 | 19.0 |  |  |
| LIQi1865 » | Obj: C420 | 37 seg | 16 AC 4x565/72* | -14.2 | 19.0 | -14.2 | 19.0 |  |  |
| LIQi1388 » | Obj: C420 | 8 seg  | 3 AC 4x565/72*  | -14.2 | 19.0 | -14.2 | 19.0 |  |  |
| LIQi1357 » | Obj: C420 | 6 seg  | 4 AC 4x565/72*  | -14.3 | 19.0 | -14.3 | 19.0 |  |  |
| LIQi2365 » | Obj: C420 | 69 seg | 4 AC 4x565/72*  | -14.3 | 19.0 | -14.3 | 19.0 |  |  |
| LIQi2303 » | Obj: C420 | 65 seg | 6 AC 4x565/72*  | -14.3 | 19.0 | -14.3 | 19.0 |  |  |
| LIQi1415 » | Obj: C420 | 9 seg  | 14 AC 4x565/72* | -14.5 | 19.0 | -14.5 | 19.0 |  |  |
| LIQi1356 » | Obj: C420 | 6 seg  | 3 AC 4x565/72*  | -14.5 | 19.1 | -14.5 | 19.1 |  |  |



|            |           |        |                 |       |      |       |      |  |  |
|------------|-----------|--------|-----------------|-------|------|-------|------|--|--|
| LIQi1862 » | Obj: C420 | 37 seg | 13 AC 4x565/72* | -14.5 | 19.1 | -14.5 | 19.1 |  |  |
| LIQi1863 » | Obj: C420 | 37 seg | 14 AC 4x565/72* | -14.5 | 19.1 | -14.5 | 19.1 |  |  |
| LIQi1387 » | Obj: C420 | 8 seg  | 2 AC 4x565/72*  | -14.6 | 19.1 | -14.6 | 19.1 |  |  |
| LIQi1349 » | Obj: C420 | 5 seg  | 12 AC 4x565/72* | -14.6 | 19.1 | -14.6 | 19.1 |  |  |
| LIQi2304 » | Obj: C420 | 65 seg | 7 AC 4x565/72*  | -14.6 | 19.1 | -14.6 | 19.1 |  |  |
| LIQi2366 » | Obj: C420 | 69 seg | 5 AC 4x565/72*  | -14.7 | 19.1 | -14.7 | 19.1 |  |  |
| LIQi1386 » | Obj: C420 | 8 seg  | 1 AC 4x565/72*  | -14.7 | 19.1 | -14.7 | 19.1 |  |  |
| LIQi1414 » | Obj: C420 | 9 seg  | 13 AC 4x565/72* | -14.8 | 19.1 | -14.8 | 19.1 |  |  |
| LIQi1861 » | Obj: C420 | 37 seg | 12 AC 4x565/72* | -14.8 | 19.1 | -14.8 | 19.1 |  |  |
| LIQi2090 » | Obj: C420 | 52 seg | 1 AC 4x565/72*  | -14.8 | 19.1 | -14.8 | 19.1 |  |  |
| LIQi1860 » | Obj: C420 | 37 seg | 11 AC 4x565/72* | -14.8 | 19.1 | -14.8 | 19.1 |  |  |
| LIQi1348 » | Obj: C420 | 5 seg  | 11 AC 4x565/72* | -14.9 | 19.1 | -14.9 | 19.1 |  |  |
| LIQi1355 » | Obj: C420 | 6 seg  | 2 AC 4x565/72*  | -15.0 | 19.1 | -15.0 | 19.1 |  |  |
| LIQi1859 » | Obj: C420 | 37 seg | 10 AC 4x565/72* | -15.0 | 19.1 | -15.0 | 19.1 |  |  |
| LIQi2305 » | Obj: C420 | 65 seg | 8 AC 4x565/72*  | -15.0 | 19.1 | -15.0 | 19.1 |  |  |
| LIQi2367 » | Obj: C420 | 69 seg | 6 AC 4x565/72*  | -15.1 | 19.1 | -15.1 | 19.1 |  |  |
| LIQi1354 » | Obj: C420 | 6 seg  | 1 AC 4x565/72*  | -15.1 | 19.1 | -15.1 | 19.1 |  |  |
| LIQi1858 » | Obj: C420 | 37 seg | 9 AC 4x565/72*  | -15.2 | 19.1 | -15.2 | 19.1 |  |  |
| LIQi1857 » | Obj: C420 | 37 seg | 8 AC 4x565/72*  | -15.3 | 19.1 | -15.3 | 19.1 |  |  |
| LIQi2306 » | Obj: C420 | 65 seg | 9 AC 4x565/72*  | -15.4 | 19.1 | -15.4 | 19.1 |  |  |
| LIQi2091 » | Obj: C420 | 52 seg | 2 AC 4x565/72*  | -15.4 | 19.1 | -15.4 | 19.1 |  |  |
| LIQi1413 » | Obj: C420 | 9 seg  | 12 AC 4x565/72* | -15.4 | 19.1 | -15.4 | 19.1 |  |  |
| LIQi2368 » | Obj: C420 | 69 seg | 7 AC 4x565/72*  | -15.5 | 19.1 | -15.5 | 19.1 |  |  |
| LIQi1816 » | Obj: C420 | 34 seg | 15 AC 4x565/72* | -15.5 | 19.1 | -15.5 | 19.1 |  |  |
| LIQi1347 » | Obj: C420 | 5 seg  | 10 AC 4x565/72* | -15.5 | 19.1 | -15.5 | 19.1 |  |  |
| LIQi1856 » | Obj: C420 | 37 seg | 7 AC 4x565/72*  | -15.5 | 19.1 | -15.5 | 19.1 |  |  |
| LIQi1817 » | Obj: C420 | 34 seg | 16 AC 4x565/72* | -15.6 | 19.1 | -15.6 | 19.1 |  |  |
| LIQi1855 » | Obj: C420 | 37 seg | 6 AC 4x565/72*  | -15.7 | 19.1 | -15.7 | 19.1 |  |  |
| LIQi1412 » | Obj: C420 | 9 seg  | 11 AC 4x565/72* | -15.7 | 19.1 | -15.7 | 19.1 |  |  |
| LIQi1346 » | Obj: C420 | 5 seg  | 9 AC 4x565/72*  | -15.7 | 19.1 | -15.7 | 19.1 |  |  |
| LIQi2307 » | Obj: C420 | 65 seg | 10 AC 4x565/72* | -15.8 | 19.1 | -15.8 | 19.1 |  |  |
| LIQi2369 » | Obj: C420 | 69 seg | 8 AC 4x565/72*  | -15.9 | 19.1 | -15.9 | 19.1 |  |  |
| LIQi1854 » | Obj: C420 | 37 seg | 5 AC 4x565/72*  | -16.0 | 19.1 | -16.0 | 19.1 |  |  |
| LIQi1814 » | Obj: C420 | 34 seg | 13 AC 4x565/72* | -16.0 | 19.1 | -16.0 | 19.1 |  |  |
| LIQi1815 » | Obj: C420 | 34 seg | 14 AC 4x565/72* | -16.0 | 19.1 | -16.0 | 19.1 |  |  |
| LIQi1853 » | Obj: C420 | 37 seg | 4 AC 4x565/72*  | -16.0 | 19.1 | -16.0 | 19.1 |  |  |
| LIQi2308 » | Obj: C420 | 65 seg | 11 AC 4x565/72* | -16.1 | 19.1 | -16.1 | 19.1 |  |  |
| LIQi2042 » | Obj: C420 | 49 seg | 1 AC 4x565/72*  | -16.1 | 19.1 | -16.1 | 19.1 |  |  |
| LIQi1851 » | Obj: C420 | 37 seg | 2 AC 4x565/72*  | -16.2 | 19.1 | -16.2 | 19.1 |  |  |
| LIQi1813 » | Obj: C420 | 34 seg | 12 AC 4x565/72* | -16.2 | 19.1 | -16.2 | 19.1 |  |  |
| LIQi1812 » | Obj: C420 | 34 seg | 11 AC 4x565/72* | -16.2 | 19.1 | -16.2 | 19.1 |  |  |
| LIQi2370 » | Obj: C420 | 69 seg | 9 AC 4x565/72*  | -16.2 | 19.1 | -16.2 | 19.1 |  |  |
| LIQi1411 » | Obj: C420 | 9 seg  | 10 AC 4x565/72* | -16.3 | 19.1 | -16.3 | 19.1 |  |  |
| LIQi1852 » | Obj: C420 | 37 seg | 3 AC 4x565/72*  | -16.3 | 19.1 | -16.3 | 19.1 |  |  |
| LIQi1345 » | Obj: C420 | 5 seg  | 8 AC 4x565/72*  | -16.4 | 19.1 | -16.4 | 19.1 |  |  |
| LIQi2309 » | Obj: C420 | 65 seg | 12 AC 4x565/72* | -16.4 | 19.1 | -16.4 | 19.1 |  |  |
| LIQi1850 » | Obj: C420 | 37 seg | 1 AC 4x565/72*  | -16.5 | 19.1 | -16.5 | 19.1 |  |  |
| LIQi1811 » | Obj: C420 | 34 seg | 10 AC 4x565/72* | -16.5 | 19.1 | -16.5 | 19.1 |  |  |
| LIQi1410 » | Obj: C420 | 9 seg  | 9 AC 4x565/72*  | -16.5 | 19.1 | -16.5 | 19.1 |  |  |
| LIQi2092 » | Obj: C420 | 52 seg | 3 AC 4x565/72*  | -16.6 | 19.1 | -16.6 | 19.1 |  |  |
| LIQi2310 » | Obj: C420 | 65 seg | 13 AC 4x565/72* | -16.6 | 19.1 | -16.6 | 19.1 |  |  |
| LIQi1344 » | Obj: C420 | 5 seg  | 7 AC 4x565/72*  | -16.6 | 19.1 | -16.6 | 19.1 |  |  |
| LIQi2371 » | Obj: C420 | 69 seg | 10 AC 4x565/72* | -16.6 | 19.1 | -16.6 | 19.1 |  |  |
| LIQi1810 » | Obj: C420 | 34 seg | 9 AC 4x565/72*  | -16.6 | 19.1 | -16.6 | 19.1 |  |  |
| LIQi2043 » | Obj: C420 | 49 seg | 2 AC 4x565/72*  | -16.7 | 19.1 | -16.7 | 19.1 |  |  |



|            |           |        |                 |       |             |       |             |  |  |
|------------|-----------|--------|-----------------|-------|-------------|-------|-------------|--|--|
| LIQi1809 » | Obj: C420 | 34 seg | 8 AC 4x565/72*  | -16.8 | 19.1        | -16.8 | 19.1        |  |  |
| LIQi2372 » | Obj: C420 | 69 seg | 11 AC 4x565/72* | -16.9 | 19.1        | -16.9 | 19.1        |  |  |
| LIQi2311 » | Obj: C420 | 65 seg | 14 AC 4x565/72* | -16.9 | 19.1        | -16.9 | 19.1        |  |  |
| LIQi1808 » | Obj: C420 | 34 seg | 7 AC 4x565/72*  | -17.0 | 19.1        | -17.0 | 19.1        |  |  |
| LIQi1807 » | Obj: C420 | 34 seg | 6 AC 4x565/72*  | -17.1 | 19.1        | -17.1 | 19.1        |  |  |
| LIQi1343 » | Obj: C420 | 5 seg  | 6 AC 4x565/72*  | -17.1 | 19.1        | -17.1 | 19.1        |  |  |
| LIQi2093 » | Obj: C420 | 52 seg | 4 AC 4x565/72*  | -17.2 | 19.1        | -17.2 | 19.1        |  |  |
| LIQi1409 » | Obj: C420 | 9 seg  | 8 AC 4x565/72*  | -17.2 | 19.1        | -17.2 | 19.1        |  |  |
| LIQi2373 » | Obj: C420 | 69 seg | 12 AC 4x565/72* | -17.2 | 19.1        | -17.2 | 19.1        |  |  |
| LIQi2312 » | Obj: C420 | 65 seg | 15 AC 4x565/72* | -17.2 | 19.1        | -17.2 | 19.1        |  |  |
| LIQi1342 » | Obj: C420 | 5 seg  | 5 AC 4x565/72*  | -17.3 | 19.1        | -17.3 | 19.1        |  |  |
| LIQi1806 » | Obj: C420 | 34 seg | 5 AC 4x565/72*  | -17.3 | 19.1        | -17.3 | 19.1        |  |  |
| LIQi1805 » | Obj: C420 | 34 seg | 4 AC 4x565/72*  | -17.4 | 19.1        | -17.4 | 19.1        |  |  |
| LIQi1408 » | Obj: C420 | 9 seg  | 7 AC 4x565/72*  | -17.4 | 19.1        | -17.4 | 19.1        |  |  |
| LIQi2374 » | Obj: C420 | 69 seg | 13 AC 4x565/72* | -17.5 | 19.1        | -17.5 | 19.1        |  |  |
| LIQi2313 » | Obj: C420 | 65 seg | 16 AC 4x565/72* | -17.5 | 19.1        | -17.5 | 19.1        |  |  |
| LIQi1803 » | Obj: C420 | 34 seg | 2 AC 4x565/72*  | -17.5 | 19.1        | -17.5 | 19.1        |  |  |
| LIQi1804 » | Obj: C420 | 34 seg | 3 AC 4x565/72*  | -17.7 | 19.1        | -17.7 | 19.1        |  |  |
| LIQi2375 » | Obj: C420 | 69 seg | 14 AC 4x565/72* | -17.8 | 19.2        | -17.8 | 19.2        |  |  |
| n=875      | Summe     |        |                 |       | <b>19.2</b> |       | <b>19.2</b> |  |  |



| IPkt030 »  | 4                                | Variante 1      |      |                  |      | Einstellung: Kopie von "Referenzeinstellung" |  |  |  |
|------------|----------------------------------|-----------------|------|------------------|------|--|--|--|--|
|            |                                  | x = 717158.31 m |      | y = 5404745.00 m |      | z = 445.00 m                                 |  |  |  |
|            |                                  | Tag             |      | Nacht            |      |  |  |  |  |
|            |                                  | Lr,i,A          | Lr,A | Lr,i,A           | Lr,A |  |  |  |  |
|            |                                  | /dB             | /dB  | /dB              | /dB  |  |  |  |  |
| LIQi1872 » | Obj: C420 38 seg 7 AC 4x565/72*  | 9.5             | 9.5  | 9.5              | 9.5  |  |  |  |  |
| LIQi1873 » | Obj: C420 38 seg 8 AC 4x565/72*  | 9.5             | 12.5 | 9.5              | 12.5 |  |  |  |  |
| LIQi1871 » | Obj: C420 38 seg 6 AC 4x565/72*  | 9.3             | 14.2 | 9.3              | 14.2 |  |  |  |  |
| LIQi1874 » | Obj: C420 38 seg 9 AC 4x565/72*  | 9.3             | 15.4 | 9.3              | 15.4 |  |  |  |  |
| LIQi1870 » | Obj: C420 38 seg 5 AC 4x565/72*  | 8.9             | 16.3 | 8.9              | 16.3 |  |  |  |  |
| LIQi1875 » | Obj: C420 38 seg 10 AC 4x565/72* | 8.8             | 17.0 | 8.8              | 17.0 |  |  |  |  |
| LIQi1840 » | Obj: C420 36 seg 7 AC 4x565/72*  | 8.4             | 17.6 | 8.4              | 17.6 |  |  |  |  |
| LIQi1841 » | Obj: C420 36 seg 8 AC 4x565/72*  | 8.4             | 18.1 | 8.4              | 18.1 |  |  |  |  |
| LIQi1869 » | Obj: C420 38 seg 4 AC 4x565/72*  | 8.3             | 18.5 | 8.3              | 18.5 |  |  |  |  |
| LIQi1839 » | Obj: C420 36 seg 6 AC 4x565/72*  | 8.3             | 18.9 | 8.3              | 18.9 |  |  |  |  |
| LIQi1876 » | Obj: C420 38 seg 11 AC 4x565/72* | 8.2             | 19.3 | 8.2              | 19.3 |  |  |  |  |
| LIQi1842 » | Obj: C420 36 seg 9 AC 4x565/72*  | 8.2             | 19.6 | 8.2              | 19.6 |  |  |  |  |
| LIQi1838 » | Obj: C420 36 seg 5 AC 4x565/72*  | 7.9             | 19.9 | 7.9              | 19.9 |  |  |  |  |
| LIQi1843 » | Obj: C420 36 seg 10 AC 4x565/72* | 7.8             | 20.1 | 7.8              | 20.1 |  |  |  |  |
| LIQi1868 » | Obj: C420 38 seg 3 AC 4x565/72*  | 7.7             | 20.4 | 7.7              | 20.4 |  |  |  |  |
| LIQi1877 » | Obj: C420 38 seg 12 AC 4x565/72* | 7.5             | 20.6 | 7.5              | 20.6 |  |  |  |  |
| LIQi1837 » | Obj: C420 36 seg 4 AC 4x565/72*  | 7.4             | 20.8 | 7.4              | 20.8 |  |  |  |  |
| LIQi1844 » | Obj: C420 36 seg 11 AC 4x565/72* | 7.3             | 21.0 | 7.3              | 21.0 |  |  |  |  |
| LIQi1867 » | Obj: C420 38 seg 2 AC 4x565/72*  | 6.9             | 21.2 | 6.9              | 21.2 |  |  |  |  |
| LIQi1836 » | Obj: C420 36 seg 3 AC 4x565/72*  | 6.8             | 21.3 | 6.8              | 21.3 |  |  |  |  |
| LIQi1878 » | Obj: C420 38 seg 13 AC 4x565/72* | 6.7             | 21.5 | 6.7              | 21.5 |  |  |  |  |
| LIQi1845 » | Obj: C420 36 seg 12 AC 4x565/72* | 6.6             | 21.6 | 6.6              | 21.6 |  |  |  |  |
| LIQi1835 » | Obj: C420 36 seg 2 AC 4x565/72*  | 6.2             | 21.7 | 6.2              | 21.7 |  |  |  |  |
| LIQi1866 » | Obj: C420 38 seg 1 AC 4x565/72*  | 6.2             | 21.8 | 6.2              | 21.8 |  |  |  |  |
| LIQi1879 » | Obj: C420 38 seg 14 AC 4x565/72* | 6.0             | 22.0 | 6.0              | 22.0 |  |  |  |  |
| LIQi1846 » | Obj: C420 36 seg 13 AC 4x565/72* | 6.0             | 22.1 | 6.0              | 22.1 |  |  |  |  |
| LIQi1834 » | Obj: C420 36 seg 1 AC 4x565/72*  | 5.6             | 22.2 | 5.6              | 22.2 |  |  |  |  |
| LIQi1880 » | Obj: C420 38 seg 15 AC 4x565/72* | 5.3             | 22.2 | 5.3              | 22.2 |  |  |  |  |
| LIQi1847 » | Obj: C420 36 seg 14 AC 4x565/72* | 5.3             | 22.3 | 5.3              | 22.3 |  |  |  |  |
| LIQi1848 » | Obj: C420 36 seg 15 AC 4x565/72* | 4.7             | 22.4 | 4.7              | 22.4 |  |  |  |  |
| LIQi1888 » | Obj: C420 39 seg 7 AC 4x565/72*  | 4.7             | 22.5 | 4.7              | 22.5 |  |  |  |  |
| LIQi1889 » | Obj: C420 39 seg 8 AC 4x565/72*  | 4.7             | 22.6 | 4.7              | 22.6 |  |  |  |  |
| LIQi1881 » | Obj: C420 38 seg 16 AC 4x565/72* | 4.6             | 22.6 | 4.6              | 22.6 |  |  |  |  |
| LIQi1887 » | Obj: C420 39 seg 6 AC 4x565/72*  | 4.4             | 22.7 | 4.4              | 22.7 |  |  |  |  |
| LIQi1890 » | Obj: C420 39 seg 9 AC 4x565/72*  | 4.4             | 22.7 | 4.4              | 22.7 |  |  |  |  |
| LIQi1641 » | Obj: C420 23 seg 16 AC 4x565/72* | 4.3             | 22.8 | 4.3              | 22.8 |  |  |  |  |
| LIQi1849 » | Obj: C420 36 seg 16 AC 4x565/72* | 4.0             | 22.9 | 4.0              | 22.9 |  |  |  |  |
| LIQi1886 » | Obj: C420 39 seg 5 AC 4x565/72*  | 4.0             | 22.9 | 4.0              | 22.9 |  |  |  |  |
| LIQi1824 » | Obj: C420 35 seg 7 AC 4x565/72*  | 4.0             | 23.0 | 4.0              | 23.0 |  |  |  |  |
| LIQi1825 » | Obj: C420 35 seg 8 AC 4x565/72*  | 3.9             | 23.0 | 3.9              | 23.0 |  |  |  |  |
| LIQi1891 » | Obj: C420 39 seg 10 AC 4x565/72* | 3.9             | 23.1 | 3.9              | 23.1 |  |  |  |  |
| LIQi1823 » | Obj: C420 35 seg 6 AC 4x565/72*  | 3.8             | 23.1 | 3.8              | 23.1 |  |  |  |  |
| LIQi1826 » | Obj: C420 35 seg 9 AC 4x565/72*  | 3.7             | 23.2 | 3.7              | 23.2 |  |  |  |  |
| LIQi1609 » | Obj: C420 21 seg 16 AC 4x565/72* | 3.7             | 23.2 | 3.7              | 23.2 |  |  |  |  |
| LIQi2106 » | Obj: C420 53 seg 1 AC 4x565/72*  | 3.5             | 23.3 | 3.5              | 23.3 |  |  |  |  |
| LIQi1822 » | Obj: C420 35 seg 5 AC 4x565/72*  | 3.5             | 23.3 | 3.5              | 23.3 |  |  |  |  |
| LIQi1885 » | Obj: C420 39 seg 4 AC 4x565/72*  | 3.4             | 23.4 | 3.4              | 23.4 |  |  |  |  |
| LIQi1827 » | Obj: C420 35 seg 10 AC 4x565/72* | 3.4             | 23.4 | 3.4              | 23.4 |  |  |  |  |
| LIQi1640 » | Obj: C420 23 seg 15 AC 4x565/72* | 3.3             | 23.5 | 3.3              | 23.5 |  |  |  |  |
| LIQi1892 » | Obj: C420 39 seg 11 AC 4x565/72* | 3.2             | 23.5 | 3.2              | 23.5 |  |  |  |  |
| LIQi2074 » | Obj: C420 51 seg 1 AC 4x565/72*  | 3.0             | 23.5 | 3.0              | 23.5 |  |  |  |  |



|            |           |        |                 |      |      |      |      |  |  |
|------------|-----------|--------|-----------------|------|------|------|------|--|--|
| LIQi1821 » | Obj: C420 | 35 seg | 4 AC 4x565/72*  | 3.0  | 23.6 | 3.0  | 23.6 |  |  |
| LIQi1828 » | Obj: C420 | 35 seg | 11 AC 4x565/72* | 2.9  | 23.6 | 2.9  | 23.6 |  |  |
| LIQi1608 » | Obj: C420 | 21 seg | 15 AC 4x565/72* | 2.7  | 23.6 | 2.7  | 23.6 |  |  |
| LIQi1884 » | Obj: C420 | 39 seg | 3 AC 4x565/72*  | 2.6  | 23.7 | 2.6  | 23.7 |  |  |
| LIQi1893 » | Obj: C420 | 39 seg | 12 AC 4x565/72* | 2.5  | 23.7 | 2.5  | 23.7 |  |  |
| LIQi1639 » | Obj: C420 | 23 seg | 14 AC 4x565/72* | 2.4  | 23.7 | 2.4  | 23.7 |  |  |
| LIQi1820 » | Obj: C420 | 35 seg | 3 AC 4x565/72*  | 2.4  | 23.8 | 2.4  | 23.8 |  |  |
| LIQi2107 » | Obj: C420 | 53 seg | 2 AC 4x565/72*  | 2.4  | 23.8 | 2.4  | 23.8 |  |  |
| LIQi1829 » | Obj: C420 | 35 seg | 12 AC 4x565/72* | 2.3  | 23.8 | 2.3  | 23.8 |  |  |
| LIQi2075 » | Obj: C420 | 51 seg | 2 AC 4x565/72*  | 1.9  | 23.9 | 1.9  | 23.9 |  |  |
| LIQi1607 » | Obj: C420 | 21 seg | 14 AC 4x565/72* | 1.9  | 23.9 | 1.9  | 23.9 |  |  |
| LIQi1883 » | Obj: C420 | 39 seg | 2 AC 4x565/72*  | 1.9  | 23.9 | 1.9  | 23.9 |  |  |
| LIQi1819 » | Obj: C420 | 35 seg | 2 AC 4x565/72*  | 1.8  | 23.9 | 1.8  | 23.9 |  |  |
| LIQi1894 » | Obj: C420 | 39 seg | 13 AC 4x565/72* | 1.7  | 24.0 | 1.7  | 24.0 |  |  |
| LIQi1830 » | Obj: C420 | 35 seg | 13 AC 4x565/72* | 1.6  | 24.0 | 1.6  | 24.0 |  |  |
| LIQi1638 » | Obj: C420 | 23 seg | 13 AC 4x565/72* | 1.5  | 24.0 | 1.5  | 24.0 |  |  |
| LIQi2108 » | Obj: C420 | 53 seg | 3 AC 4x565/72*  | 1.2  | 24.0 | 1.2  | 24.0 |  |  |
| LIQi1818 » | Obj: C420 | 35 seg | 1 AC 4x565/72*  | 1.1  | 24.1 | 1.1  | 24.1 |  |  |
| LIQi1882 » | Obj: C420 | 39 seg | 1 AC 4x565/72*  | 1.1  | 24.1 | 1.1  | 24.1 |  |  |
| LIQi1606 » | Obj: C420 | 21 seg | 13 AC 4x565/72* | 1.0  | 24.1 | 1.0  | 24.1 |  |  |
| LIQi1831 » | Obj: C420 | 35 seg | 14 AC 4x565/72* | 1.0  | 24.1 | 1.0  | 24.1 |  |  |
| LIQi1895 » | Obj: C420 | 39 seg | 14 AC 4x565/72* | 0.9  | 24.2 | 0.9  | 24.2 |  |  |
| LIQi1637 » | Obj: C420 | 23 seg | 12 AC 4x565/72* | 0.9  | 24.2 | 0.9  | 24.2 |  |  |
| LIQi2076 » | Obj: C420 | 51 seg | 3 AC 4x565/72*  | 0.8  | 24.2 | 0.8  | 24.2 |  |  |
| LIQi1605 » | Obj: C420 | 21 seg | 12 AC 4x565/72* | 0.4  | 24.2 | 0.4  | 24.2 |  |  |
| LIQi1832 » | Obj: C420 | 35 seg | 15 AC 4x565/72* | 0.3  | 24.2 | 0.3  | 24.2 |  |  |
| LIQi2109 » | Obj: C420 | 53 seg | 4 AC 4x565/72*  | 0.2  | 24.2 | 0.2  | 24.2 |  |  |
| LIQi1896 » | Obj: C420 | 39 seg | 15 AC 4x565/72* | 0.1  | 24.3 | 0.1  | 24.3 |  |  |
| LIQi1636 » | Obj: C420 | 23 seg | 11 AC 4x565/72* | 0.1  | 24.3 | 0.1  | 24.3 |  |  |
| LIQi2077 » | Obj: C420 | 51 seg | 4 AC 4x565/72*  | -0.2 | 24.3 | -0.2 | 24.3 |  |  |
| LIQi1604 » | Obj: C420 | 21 seg | 11 AC 4x565/72* | -0.4 | 24.3 | -0.4 | 24.3 |  |  |
| LIQi1833 » | Obj: C420 | 35 seg | 16 AC 4x565/72* | -0.4 | 24.3 | -0.4 | 24.3 |  |  |
| LIQi1635 » | Obj: C420 | 23 seg | 10 AC 4x565/72* | -0.5 | 24.3 | -0.5 | 24.3 |  |  |
| LIQi1593 » | Obj: C420 | 20 seg | 16 AC 4x565/72* | -0.6 | 24.4 | -0.6 | 24.4 |  |  |
| LIQi1897 » | Obj: C420 | 39 seg | 16 AC 4x565/72* | -0.7 | 24.4 | -0.7 | 24.4 |  |  |
| LIQi2110 » | Obj: C420 | 53 seg | 5 AC 4x565/72*  | -0.7 | 24.4 | -0.7 | 24.4 |  |  |
| LIQi1603 » | Obj: C420 | 21 seg | 10 AC 4x565/72* | -0.9 | 24.4 | -0.9 | 24.4 |  |  |
| LIQi1657 » | Obj: C420 | 24 seg | 16 AC 4x565/72* | -0.9 | 24.4 | -0.9 | 24.4 |  |  |
| LIQi2078 » | Obj: C420 | 51 seg | 5 AC 4x565/72*  | -1.1 | 24.4 | -1.1 | 24.4 |  |  |
| LIQi1634 » | Obj: C420 | 23 seg | 9 AC 4x565/72*  | -1.1 | 24.4 | -1.1 | 24.4 |  |  |
| LIQi2058 » | Obj: C420 | 50 seg | 1 AC 4x565/72*  | -1.3 | 24.4 | -1.3 | 24.4 |  |  |
| LIQi2111 » | Obj: C420 | 53 seg | 6 AC 4x565/72*  | -1.5 | 24.5 | -1.5 | 24.5 |  |  |
| LIQi1602 » | Obj: C420 | 21 seg | 9 AC 4x565/72*  | -1.5 | 24.5 | -1.5 | 24.5 |  |  |
| LIQi1592 » | Obj: C420 | 20 seg | 15 AC 4x565/72* | -1.5 | 24.5 | -1.5 | 24.5 |  |  |
| LIQi1633 » | Obj: C420 | 23 seg | 8 AC 4x565/72*  | -1.6 | 24.5 | -1.6 | 24.5 |  |  |
| LIQi2122 » | Obj: C420 | 54 seg | 1 AC 4x565/72*  | -1.7 | 24.5 | -1.7 | 24.5 |  |  |
| LIQi1601 » | Obj: C420 | 21 seg | 8 AC 4x565/72*  | -1.9 | 24.5 | -1.9 | 24.5 |  |  |
| LIQi2079 » | Obj: C420 | 51 seg | 6 AC 4x565/72*  | -1.9 | 24.5 | -1.9 | 24.5 |  |  |
| LIQi1656 » | Obj: C420 | 24 seg | 15 AC 4x565/72* | -1.9 | 24.5 | -1.9 | 24.5 |  |  |
| LIQi1632 » | Obj: C420 | 23 seg | 7 AC 4x565/72*  | -2.2 | 24.5 | -2.2 | 24.5 |  |  |
| LIQi1591 » | Obj: C420 | 20 seg | 14 AC 4x565/72* | -2.3 | 24.5 | -2.3 | 24.5 |  |  |
| LIQi2112 » | Obj: C420 | 53 seg | 7 AC 4x565/72*  | -2.3 | 24.6 | -2.3 | 24.6 |  |  |
| LIQi2059 » | Obj: C420 | 50 seg | 2 AC 4x565/72*  | -2.4 | 24.6 | -2.4 | 24.6 |  |  |
| LIQi1600 » | Obj: C420 | 21 seg | 7 AC 4x565/72*  | -2.4 | 24.6 | -2.4 | 24.6 |  |  |
| LIQi1631 » | Obj: C420 | 23 seg | 6 AC 4x565/72*  | -2.5 | 24.6 | -2.5 | 24.6 |  |  |





|            |           |        |                 |      |      |      |      |  |  |
|------------|-----------|--------|-----------------|------|------|------|------|--|--|
| LIQi2080 » | Obj: C420 | 51 seg | 7 AC 4x565/72*  | -2.6 | 24.6 | -2.6 | 24.6 |  |  |
| LIQi1655 » | Obj: C420 | 24 seg | 14 AC 4x565/72* | -2.7 | 24.6 | -2.7 | 24.6 |  |  |
| LIQi1599 » | Obj: C420 | 21 seg | 6 AC 4x565/72*  | -2.8 | 24.6 | -2.8 | 24.6 |  |  |
| LIQi2123 » | Obj: C420 | 54 seg | 2 AC 4x565/72*  | -2.9 | 24.6 | -2.9 | 24.6 |  |  |
| LIQi1630 » | Obj: C420 | 23 seg | 5 AC 4x565/72*  | -3.0 | 24.6 | -3.0 | 24.6 |  |  |
| LIQi2113 » | Obj: C420 | 53 seg | 8 AC 4x565/72*  | -3.0 | 24.6 | -3.0 | 24.6 |  |  |
| LIQi1590 » | Obj: C420 | 20 seg | 13 AC 4x565/72* | -3.1 | 24.6 | -3.1 | 24.6 |  |  |
| LIQi1629 » | Obj: C420 | 23 seg | 4 AC 4x565/72*  | -3.3 | 24.6 | -3.3 | 24.6 |  |  |
| LIQi1598 » | Obj: C420 | 21 seg | 5 AC 4x565/72*  | -3.3 | 24.6 | -3.3 | 24.6 |  |  |
| LIQi2081 » | Obj: C420 | 51 seg | 8 AC 4x565/72*  | -3.3 | 24.7 | -3.3 | 24.7 |  |  |
| LIQi2060 » | Obj: C420 | 50 seg | 3 AC 4x565/72*  | -3.5 | 24.7 | -3.5 | 24.7 |  |  |
| LIQi1597 » | Obj: C420 | 21 seg | 4 AC 4x565/72*  | -3.5 | 24.7 | -3.5 | 24.7 |  |  |
| LIQi2114 » | Obj: C420 | 53 seg | 9 AC 4x565/72*  | -3.6 | 24.7 | -3.6 | 24.7 |  |  |
| LIQi1654 » | Obj: C420 | 24 seg | 13 AC 4x565/72* | -3.7 | 24.7 | -3.7 | 24.7 |  |  |
| LIQi1589 » | Obj: C420 | 20 seg | 12 AC 4x565/72* | -3.7 | 24.7 | -3.7 | 24.7 |  |  |
| LIQi1628 » | Obj: C420 | 23 seg | 3 AC 4x565/72*  | -3.7 | 24.7 | -3.7 | 24.7 |  |  |
| LIQi1627 » | Obj: C420 | 23 seg | 2 AC 4x565/72*  | -3.9 | 24.7 | -3.9 | 24.7 |  |  |
| LIQi2124 » | Obj: C420 | 54 seg | 3 AC 4x565/72*  | -3.9 | 24.7 | -3.9 | 24.7 |  |  |
| LIQi2082 » | Obj: C420 | 51 seg | 9 AC 4x565/72*  | -4.0 | 24.7 | -4.0 | 24.7 |  |  |
| LIQi1596 » | Obj: C420 | 21 seg | 3 AC 4x565/72*  | -4.0 | 24.7 | -4.0 | 24.7 |  |  |
| LIQi1595 » | Obj: C420 | 21 seg | 2 AC 4x565/72*  | -4.1 | 24.7 | -4.1 | 24.7 |  |  |
| LIQi1653 » | Obj: C420 | 24 seg | 12 AC 4x565/72* | -4.2 | 24.7 | -4.2 | 24.7 |  |  |
| LIQi2115 » | Obj: C420 | 53 seg | 10 AC 4x565/72* | -4.2 | 24.7 | -4.2 | 24.7 |  |  |
| LIQi1626 » | Obj: C420 | 23 seg | 1 AC 4x565/72*  | -4.3 | 24.7 | -4.3 | 24.7 |  |  |
| LIQi2061 » | Obj: C420 | 50 seg | 4 AC 4x565/72*  | -4.4 | 24.7 | -4.4 | 24.7 |  |  |
| LIQi1588 » | Obj: C420 | 20 seg | 11 AC 4x565/72* | -4.5 | 24.7 | -4.5 | 24.7 |  |  |
| LIQi1594 » | Obj: C420 | 21 seg | 1 AC 4x565/72*  | -4.5 | 24.8 | -4.5 | 24.8 |  |  |
| LIQi2083 » | Obj: C420 | 51 seg | 10 AC 4x565/72* | -4.5 | 24.8 | -4.5 | 24.8 |  |  |
| LIQi2116 » | Obj: C420 | 53 seg | 11 AC 4x565/72* | -4.8 | 24.8 | -4.8 | 24.8 |  |  |
| LIQi2125 » | Obj: C420 | 54 seg | 4 AC 4x565/72*  | -4.9 | 24.8 | -4.9 | 24.8 |  |  |
| LIQi1587 » | Obj: C420 | 20 seg | 10 AC 4x565/72* | -5.0 | 24.8 | -5.0 | 24.8 |  |  |
| LIQi1652 » | Obj: C420 | 24 seg | 11 AC 4x565/72* | -5.0 | 24.8 | -5.0 | 24.8 |  |  |
| LIQi2084 » | Obj: C420 | 51 seg | 11 AC 4x565/72* | -5.1 | 24.8 | -5.1 | 24.8 |  |  |
| LIQi2062 » | Obj: C420 | 50 seg | 5 AC 4x565/72*  | -5.2 | 24.8 | -5.2 | 24.8 |  |  |
| LIQi2117 » | Obj: C420 | 53 seg | 12 AC 4x565/72* | -5.3 | 24.8 | -5.3 | 24.8 |  |  |
| LIQi1651 » | Obj: C420 | 24 seg | 10 AC 4x565/72* | -5.6 | 24.8 | -5.6 | 24.8 |  |  |
| LIQi1401 » | Obj: C420 | 8 seg  | 16 AC 4x565/72* | -5.6 | 24.8 | -5.6 | 24.8 |  |  |
| LIQi2085 » | Obj: C420 | 51 seg | 12 AC 4x565/72* | -5.6 | 24.8 | -5.6 | 24.8 |  |  |
| LIQi1586 » | Obj: C420 | 20 seg | 9 AC 4x565/72*  | -5.6 | 24.8 | -5.6 | 24.8 |  |  |
| LIQi1856 » | Obj: C420 | 37 seg | 7 AC 4x565/72*  | -5.7 | 24.8 | -5.7 | 24.8 |  |  |
| LIQi2126 » | Obj: C420 | 54 seg | 5 AC 4x565/72*  | -5.7 | 24.8 | -5.7 | 24.8 |  |  |
| LIQi1857 » | Obj: C420 | 37 seg | 8 AC 4x565/72*  | -5.7 | 24.8 | -5.7 | 24.8 |  |  |
| LIQi1369 » | Obj: C420 | 6 seg  | 16 AC 4x565/72* | -5.7 | 24.8 | -5.7 | 24.8 |  |  |
| LIQi2118 » | Obj: C420 | 53 seg | 13 AC 4x565/72* | -5.8 | 24.8 | -5.8 | 24.8 |  |  |
| LIQi1855 » | Obj: C420 | 37 seg | 6 AC 4x565/72*  | -5.8 | 24.8 | -5.8 | 24.8 |  |  |
| LIQi1585 » | Obj: C420 | 20 seg | 8 AC 4x565/72*  | -5.9 | 24.8 | -5.9 | 24.8 |  |  |
| LIQi2063 » | Obj: C420 | 50 seg | 6 AC 4x565/72*  | -6.0 | 24.8 | -6.0 | 24.8 |  |  |
| LIQi1400 » | Obj: C420 | 8 seg  | 15 AC 4x565/72* | -6.0 | 24.8 | -6.0 | 24.8 |  |  |
| LIQi1858 » | Obj: C420 | 37 seg | 9 AC 4x565/72*  | -6.0 | 24.8 | -6.0 | 24.8 |  |  |
| LIQi2086 » | Obj: C420 | 51 seg | 13 AC 4x565/72* | -6.1 | 24.8 | -6.1 | 24.8 |  |  |
| LIQi1368 » | Obj: C420 | 6 seg  | 15 AC 4x565/72* | -6.1 | 24.8 | -6.1 | 24.8 |  |  |
| LIQi2119 » | Obj: C420 | 53 seg | 14 AC 4x565/72* | -6.2 | 24.9 | -6.2 | 24.9 |  |  |
| LIQi1650 » | Obj: C420 | 24 seg | 9 AC 4x565/72*  | -6.3 | 24.9 | -6.3 | 24.9 |  |  |
| LIQi1854 » | Obj: C420 | 37 seg | 5 AC 4x565/72*  | -6.3 | 24.9 | -6.3 | 24.9 |  |  |
| LIQi2087 » | Obj: C420 | 51 seg | 14 AC 4x565/72* | -6.5 | 24.9 | -6.5 | 24.9 |  |  |



|            |           |        |                 |      |      |      |      |  |  |
|------------|-----------|--------|-----------------|------|------|------|------|--|--|
| LIQi1584 » | Obj: C420 | 20 seg | 7 AC 4x565/72*  | -6.5 | 24.9 | -6.5 | 24.9 |  |  |
| LIQi1859 » | Obj: C420 | 37 seg | 10 AC 4x565/72* | -6.5 | 24.9 | -6.5 | 24.9 |  |  |
| LIQi2127 » | Obj: C420 | 54 seg | 6 AC 4x565/72*  | -6.5 | 24.9 | -6.5 | 24.9 |  |  |
| LIQi2120 » | Obj: C420 | 53 seg | 15 AC 4x565/72* | -6.5 | 24.9 | -6.5 | 24.9 |  |  |
| LIQi2064 » | Obj: C420 | 50 seg | 7 AC 4x565/72*  | -6.6 | 24.9 | -6.6 | 24.9 |  |  |
| LIQi1649 » | Obj: C420 | 24 seg | 8 AC 4x565/72*  | -6.7 | 24.9 | -6.7 | 24.9 |  |  |
| LIQi1853 » | Obj: C420 | 37 seg | 4 AC 4x565/72*  | -6.8 | 24.9 | -6.8 | 24.9 |  |  |
| LIQi2088 » | Obj: C420 | 51 seg | 15 AC 4x565/72* | -6.8 | 24.9 | -6.8 | 24.9 |  |  |
| LIQi1583 » | Obj: C420 | 20 seg | 6 AC 4x565/72*  | -6.9 | 24.9 | -6.9 | 24.9 |  |  |
| LIQi1399 » | Obj: C420 | 8 seg  | 14 AC 4x565/72* | -6.9 | 24.9 | -6.9 | 24.9 |  |  |
| LIQi2121 » | Obj: C420 | 53 seg | 16 AC 4x565/72* | -6.9 | 24.9 | -6.9 | 24.9 |  |  |
| LIQi1860 » | Obj: C420 | 37 seg | 11 AC 4x565/72* | -7.1 | 24.9 | -7.1 | 24.9 |  |  |
| LIQi1367 » | Obj: C420 | 6 seg  | 14 AC 4x565/72* | -7.1 | 24.9 | -7.1 | 24.9 |  |  |
| LIQi2089 » | Obj: C420 | 51 seg | 16 AC 4x565/72* | -7.2 | 24.9 | -7.2 | 24.9 |  |  |
| LIQi2128 » | Obj: C420 | 54 seg | 7 AC 4x565/72*  | -7.2 | 24.9 | -7.2 | 24.9 |  |  |
| LIQi2065 » | Obj: C420 | 50 seg | 8 AC 4x565/72*  | -7.3 | 24.9 | -7.3 | 24.9 |  |  |
| LIQi1398 » | Obj: C420 | 8 seg  | 13 AC 4x565/72* | -7.3 | 24.9 | -7.3 | 24.9 |  |  |
| LIQi1648 » | Obj: C420 | 24 seg | 7 AC 4x565/72*  | -7.3 | 24.9 | -7.3 | 24.9 |  |  |
| LIQi1582 » | Obj: C420 | 20 seg | 5 AC 4x565/72*  | -7.4 | 24.9 | -7.4 | 24.9 |  |  |
| LIQi1581 » | Obj: C420 | 20 seg | 4 AC 4x565/72*  | -7.4 | 24.9 | -7.4 | 24.9 |  |  |
| LIQi1647 » | Obj: C420 | 24 seg | 6 AC 4x565/72*  | -7.5 | 24.9 | -7.5 | 24.9 |  |  |
| LIQi1366 » | Obj: C420 | 6 seg  | 13 AC 4x565/72* | -7.5 | 24.9 | -7.5 | 24.9 |  |  |
| LIQi1852 » | Obj: C420 | 37 seg | 3 AC 4x565/72*  | -7.5 | 24.9 | -7.5 | 24.9 |  |  |
| LIQi2346 » | Obj: C420 | 68 seg | 1 AC 4x565/72*  | -7.6 | 24.9 | -7.6 | 24.9 |  |  |
| LIQi1851 » | Obj: C420 | 37 seg | 2 AC 4x565/72*  | -7.8 | 24.9 | -7.8 | 24.9 |  |  |
| LIQi2314 » | Obj: C420 | 66 seg | 1 AC 4x565/72*  | -7.8 | 24.9 | -7.8 | 24.9 |  |  |
| LIQi1861 » | Obj: C420 | 37 seg | 12 AC 4x565/72* | -7.9 | 24.9 | -7.9 | 24.9 |  |  |
| LIQi1808 » | Obj: C420 | 34 seg | 7 AC 4x565/72*  | -7.9 | 24.9 | -7.9 | 24.9 |  |  |
| LIQi1580 » | Obj: C420 | 20 seg | 3 AC 4x565/72*  | -7.9 | 24.9 | -7.9 | 24.9 |  |  |
| LIQi1809 » | Obj: C420 | 34 seg | 8 AC 4x565/72*  | -7.9 | 24.9 | -7.9 | 24.9 |  |  |
| LIQi2129 » | Obj: C420 | 54 seg | 8 AC 4x565/72*  | -7.9 | 24.9 | -7.9 | 24.9 |  |  |
| LIQi1397 » | Obj: C420 | 8 seg  | 12 AC 4x565/72* | -8.0 | 24.9 | -8.0 | 24.9 |  |  |
| LIQi1807 » | Obj: C420 | 34 seg | 6 AC 4x565/72*  | -8.0 | 24.9 | -8.0 | 24.9 |  |  |
| LIQi2066 » | Obj: C420 | 50 seg | 9 AC 4x565/72*  | -8.0 | 25.0 | -8.0 | 25.0 |  |  |
| LIQi1646 » | Obj: C420 | 24 seg | 5 AC 4x565/72*  | -8.0 | 25.0 | -8.0 | 25.0 |  |  |
| LIQi1579 » | Obj: C420 | 20 seg | 2 AC 4x565/72*  | -8.0 | 25.0 | -8.0 | 25.0 |  |  |
| LIQi1810 » | Obj: C420 | 34 seg | 9 AC 4x565/72*  | -8.1 | 25.0 | -8.1 | 25.0 |  |  |
| LIQi2347 » | Obj: C420 | 68 seg | 2 AC 4x565/72*  | -8.2 | 25.0 | -8.2 | 25.0 |  |  |
| LIQi1645 » | Obj: C420 | 24 seg | 4 AC 4x565/72*  | -8.2 | 25.0 | -8.2 | 25.0 |  |  |
| LIQi1365 » | Obj: C420 | 6 seg  | 12 AC 4x565/72* | -8.3 | 25.0 | -8.3 | 25.0 |  |  |
| LIQi1396 » | Obj: C420 | 8 seg  | 11 AC 4x565/72* | -8.3 | 25.0 | -8.3 | 25.0 |  |  |
| LIQi1806 » | Obj: C420 | 34 seg | 5 AC 4x565/72*  | -8.4 | 25.0 | -8.4 | 25.0 |  |  |
| LIQi1862 » | Obj: C420 | 37 seg | 13 AC 4x565/72* | -8.4 | 25.0 | -8.4 | 25.0 |  |  |
| LIQi1578 » | Obj: C420 | 20 seg | 1 AC 4x565/72*  | -8.4 | 25.0 | -8.4 | 25.0 |  |  |
| LIQi2315 » | Obj: C420 | 66 seg | 2 AC 4x565/72*  | -8.5 | 25.0 | -8.5 | 25.0 |  |  |
| LIQi1811 » | Obj: C420 | 34 seg | 10 AC 4x565/72* | -8.6 | 25.0 | -8.6 | 25.0 |  |  |
| LIQi2067 » | Obj: C420 | 50 seg | 10 AC 4x565/72* | -8.6 | 25.0 | -8.6 | 25.0 |  |  |
| LIQi1364 » | Obj: C420 | 6 seg  | 11 AC 4x565/72* | -8.6 | 25.0 | -8.6 | 25.0 |  |  |
| LIQi1850 » | Obj: C420 | 37 seg | 1 AC 4x565/72*  | -8.7 | 25.0 | -8.7 | 25.0 |  |  |
| LIQi2130 » | Obj: C420 | 54 seg | 9 AC 4x565/72*  | -8.7 | 25.0 | -8.7 | 25.0 |  |  |
| LIQi1805 » | Obj: C420 | 34 seg | 4 AC 4x565/72*  | -8.7 | 25.0 | -8.7 | 25.0 |  |  |
| LIQi1644 » | Obj: C420 | 24 seg | 3 AC 4x565/72*  | -8.7 | 25.0 | -8.7 | 25.0 |  |  |
| LIQi1643 » | Obj: C420 | 24 seg | 2 AC 4x565/72*  | -8.8 | 25.0 | -8.8 | 25.0 |  |  |
| LIQi2348 » | Obj: C420 | 68 seg | 3 AC 4x565/72*  | -8.9 | 25.0 | -8.9 | 25.0 |  |  |
| LIQi1812 » | Obj: C420 | 34 seg | 11 AC 4x565/72* | -8.9 | 25.0 | -8.9 | 25.0 |  |  |



|            |           |        |                 |       |             |       |             |  |  |
|------------|-----------|--------|-----------------|-------|-------------|-------|-------------|--|--|
| LIQi1395 » | Obj: C420 | 8 seg  | 10 AC 4x565/72* | -9.0  | 25.0        | -9.0  | 25.0        |  |  |
| LIQi2316 » | Obj: C420 | 66 seg | 3 AC 4x565/72*  | -9.1  | 25.0        | -9.1  | 25.0        |  |  |
| LIQi2068 » | Obj: C420 | 50 seg | 11 AC 4x565/72* | -9.1  | 25.0        | -9.1  | 25.0        |  |  |
| LIQi1642 » | Obj: C420 | 24 seg | 1 AC 4x565/72*  | -9.2  | 25.0        | -9.2  | 25.0        |  |  |
| LIQi1863 » | Obj: C420 | 37 seg | 14 AC 4x565/72* | -9.3  | 25.0        | -9.3  | 25.0        |  |  |
| LIQi2131 » | Obj: C420 | 54 seg | 10 AC 4x565/72* | -9.3  | 25.0        | -9.3  | 25.0        |  |  |
| LIQi1804 » | Obj: C420 | 34 seg | 3 AC 4x565/72*  | -9.3  | 25.0        | -9.3  | 25.0        |  |  |
| LIQi1363 » | Obj: C420 | 6 seg  | 10 AC 4x565/72* | -9.3  | 25.0        | -9.3  | 25.0        |  |  |
| LIQi1394 » | Obj: C420 | 8 seg  | 9 AC 4x565/72*  | -9.4  | 25.0        | -9.4  | 25.0        |  |  |
| LIQi2349 » | Obj: C420 | 68 seg | 4 AC 4x565/72*  | -9.4  | 25.0        | -9.4  | 25.0        |  |  |
| LIQi1864 » | Obj: C420 | 37 seg | 15 AC 4x565/72* | -9.5  | 25.0        | -9.5  | 25.0        |  |  |
| LIQi1813 » | Obj: C420 | 34 seg | 12 AC 4x565/72* | -9.6  | 25.0        | -9.6  | 25.0        |  |  |
| LIQi1803 » | Obj: C420 | 34 seg | 2 AC 4x565/72*  | -9.6  | 25.0        | -9.6  | 25.0        |  |  |
| LIQi2069 » | Obj: C420 | 50 seg | 12 AC 4x565/72* | -9.6  | 25.0        | -9.6  | 25.0        |  |  |
| LIQi1362 » | Obj: C420 | 6 seg  | 9 AC 4x565/72*  | -9.6  | 25.0        | -9.6  | 25.0        |  |  |
| LIQi2317 » | Obj: C420 | 66 seg | 4 AC 4x565/72*  | -9.7  | 25.0        | -9.7  | 25.0        |  |  |
| LIQi1353 » | Obj: C420 | 5 seg  | 16 AC 4x565/72* | -9.8  | 25.0        | -9.8  | 25.0        |  |  |
| LIQi2350 » | Obj: C420 | 68 seg | 5 AC 4x565/72*  | -9.9  | 25.0        | -9.9  | 25.0        |  |  |
| LIQi2132 » | Obj: C420 | 54 seg | 11 AC 4x565/72* | -9.9  | 25.0        | -9.9  | 25.0        |  |  |
| LIQi1393 » | Obj: C420 | 8 seg  | 8 AC 4x565/72*  | -10.1 | 25.0        | -10.1 | 25.0        |  |  |
| LIQi1814 » | Obj: C420 | 34 seg | 13 AC 4x565/72* | -10.1 | 25.0        | -10.1 | 25.0        |  |  |
| LIQi2318 » | Obj: C420 | 66 seg | 5 AC 4x565/72*  | -10.2 | 25.0        | -10.2 | 25.0        |  |  |
| LIQi1352 » | Obj: C420 | 5 seg  | 15 AC 4x565/72* | -10.2 | 25.0        | -10.2 | 25.0        |  |  |
| LIQi2070 » | Obj: C420 | 50 seg | 13 AC 4x565/72* | -10.2 | 25.0        | -10.2 | 25.0        |  |  |
| LIQi1361 » | Obj: C420 | 6 seg  | 8 AC 4x565/72*  | -10.2 | 25.0        | -10.2 | 25.0        |  |  |
| LIQi1865 » | Obj: C420 | 37 seg | 16 AC 4x565/72* | -10.3 | 25.0        | -10.3 | 25.0        |  |  |
| LIQi1802 » | Obj: C420 | 34 seg | 1 AC 4x565/72*  | -10.3 | 25.0        | -10.3 | 25.0        |  |  |
| LIQi1392 » | Obj: C420 | 8 seg  | 7 AC 4x565/72*  | -10.3 | 25.0        | -10.3 | 25.0        |  |  |
| LIQi2351 » | Obj: C420 | 68 seg | 6 AC 4x565/72*  | -10.4 | 25.0        | -10.4 | 25.0        |  |  |
| LIQi2133 » | Obj: C420 | 54 seg | 12 AC 4x565/72* | -10.5 | 25.0        | -10.5 | 25.0        |  |  |
| LIQi1360 » | Obj: C420 | 6 seg  | 7 AC 4x565/72*  | -10.5 | 25.0        | -10.5 | 25.0        |  |  |
| LIQi1417 » | Obj: C420 | 9 seg  | 16 AC 4x565/72* | -10.5 | 25.0        | -10.5 | 25.0        |  |  |
| LIQi1625 » | Obj: C420 | 22 seg | 16 AC 4x565/72* | -10.5 | 25.0        | -10.5 | 25.0        |  |  |
| LIQi2319 » | Obj: C420 | 66 seg | 6 AC 4x565/72*  | -10.6 | 25.0        | -10.6 | 25.0        |  |  |
| LIQi2071 » | Obj: C420 | 50 seg | 14 AC 4x565/72* | -10.6 | 25.0        | -10.6 | 25.0        |  |  |
| LIQi1815 » | Obj: C420 | 34 seg | 14 AC 4x565/72* | -10.8 | 25.0        | -10.8 | 25.0        |  |  |
| LIQi2352 » | Obj: C420 | 68 seg | 7 AC 4x565/72*  | -10.8 | 25.0        | -10.8 | 25.0        |  |  |
| LIQi1351 » | Obj: C420 | 5 seg  | 14 AC 4x565/72* | -10.9 | 25.0        | -10.9 | 25.0        |  |  |
| LIQi1816 » | Obj: C420 | 34 seg | 15 AC 4x565/72* | -10.9 | 25.0        | -10.9 | 25.0        |  |  |
| LIQi1391 » | Obj: C420 | 8 seg  | 6 AC 4x565/72*  | -10.9 | 25.0        | -10.9 | 25.0        |  |  |
| LIQi2072 » | Obj: C420 | 50 seg | 15 AC 4x565/72* | -11.0 | 25.0        | -11.0 | 25.0        |  |  |
| LIQi1416 » | Obj: C420 | 9 seg  | 15 AC 4x565/72* | -11.0 | 25.1        | -11.0 | 25.1        |  |  |
| n=932      | Summe     |        |                 |       | <b>25.1</b> |       | <b>25.1</b> |  |  |



| IPkt031 »  | 5                                | Variante 1      |      |                  |      | Einstellung: Kopie von "Referenzeinstellung" |  |  |  |
|------------|----------------------------------|-----------------|------|------------------|------|--|--|--|--|
|            |                                  | x = 717168.31 m |      | y = 5404781.45 m |      | z = 445.00 m                                 |  |  |  |
|            |                                  | Tag             |      | Nacht            |      |  |  |  |  |
|            |                                  | Lr,i,A          | Lr,A | Lr,i,A           | Lr,A |  |  |  |  |
|            |                                  | /dB             | /dB  | /dB              | /dB  |  |  |  |  |
| LIQi1874 » | Obj: C420 38 seg 9 AC 4x565/72*  | 8.4             | 8.4  | 8.4              | 8.4  |  |  |  |  |
| LIQi1873 » | Obj: C420 38 seg 8 AC 4x565/72*  | 8.3             | 11.4 | 8.3              | 11.4 |  |  |  |  |
| LIQi1875 » | Obj: C420 38 seg 10 AC 4x565/72* | 8.2             | 13.1 | 8.2              | 13.1 |  |  |  |  |
| LIQi1872 » | Obj: C420 38 seg 7 AC 4x565/72*  | 8.1             | 14.3 | 8.1              | 14.3 |  |  |  |  |
| LIQi1876 » | Obj: C420 38 seg 11 AC 4x565/72* | 7.9             | 15.2 | 7.9              | 15.2 |  |  |  |  |
| LIQi1871 » | Obj: C420 38 seg 6 AC 4x565/72*  | 7.7             | 15.9 | 7.7              | 15.9 |  |  |  |  |
| LIQi1877 » | Obj: C420 38 seg 12 AC 4x565/72* | 7.5             | 16.5 | 7.5              | 16.5 |  |  |  |  |
| LIQi1842 » | Obj: C420 36 seg 9 AC 4x565/72*  | 7.3             | 17.0 | 7.3              | 17.0 |  |  |  |  |
| LIQi1841 » | Obj: C420 36 seg 8 AC 4x565/72*  | 7.3             | 17.4 | 7.3              | 17.4 |  |  |  |  |
| LIQi1843 » | Obj: C420 36 seg 10 AC 4x565/72* | 7.2             | 17.8 | 7.2              | 17.8 |  |  |  |  |
| LIQi1870 » | Obj: C420 38 seg 5 AC 4x565/72*  | 7.1             | 18.2 | 7.1              | 18.2 |  |  |  |  |
| LIQi1840 » | Obj: C420 36 seg 7 AC 4x565/72*  | 7.1             | 18.5 | 7.1              | 18.5 |  |  |  |  |
| LIQi1844 » | Obj: C420 36 seg 11 AC 4x565/72* | 7.0             | 18.8 | 7.0              | 18.8 |  |  |  |  |
| LIQi1878 » | Obj: C420 38 seg 13 AC 4x565/72* | 6.9             | 19.1 | 6.9              | 19.1 |  |  |  |  |
| LIQi1839 » | Obj: C420 36 seg 6 AC 4x565/72*  | 6.7             | 19.3 | 6.7              | 19.3 |  |  |  |  |
| LIQi1845 » | Obj: C420 36 seg 12 AC 4x565/72* | 6.6             | 19.5 | 6.6              | 19.5 |  |  |  |  |
| LIQi1869 » | Obj: C420 38 seg 4 AC 4x565/72*  | 6.5             | 19.7 | 6.5              | 19.7 |  |  |  |  |
| LIQi1879 » | Obj: C420 38 seg 14 AC 4x565/72* | 6.3             | 19.9 | 6.3              | 19.9 |  |  |  |  |
| LIQi1838 » | Obj: C420 36 seg 5 AC 4x565/72*  | 6.2             | 20.1 | 6.2              | 20.1 |  |  |  |  |
| LIQi1846 » | Obj: C420 36 seg 13 AC 4x565/72* | 6.1             | 20.3 | 6.1              | 20.3 |  |  |  |  |
| LIQi1868 » | Obj: C420 38 seg 3 AC 4x565/72*  | 5.8             | 20.4 | 5.8              | 20.4 |  |  |  |  |
| LIQi1880 » | Obj: C420 38 seg 15 AC 4x565/72* | 5.8             | 20.6 | 5.8              | 20.6 |  |  |  |  |
| LIQi1837 » | Obj: C420 36 seg 4 AC 4x565/72*  | 5.7             | 20.7 | 5.7              | 20.7 |  |  |  |  |
| LIQi1847 » | Obj: C420 36 seg 14 AC 4x565/72* | 5.6             | 20.9 | 5.6              | 20.9 |  |  |  |  |
| LIQi1867 » | Obj: C420 38 seg 2 AC 4x565/72*  | 5.2             | 21.0 | 5.2              | 21.0 |  |  |  |  |
| LIQi1881 » | Obj: C420 38 seg 16 AC 4x565/72* | 5.1             | 21.1 | 5.1              | 21.1 |  |  |  |  |
| LIQi1836 » | Obj: C420 36 seg 3 AC 4x565/72*  | 5.1             | 21.2 | 5.1              | 21.2 |  |  |  |  |
| LIQi1848 » | Obj: C420 36 seg 15 AC 4x565/72* | 5.1             | 21.3 | 5.1              | 21.3 |  |  |  |  |
| LIQi1835 » | Obj: C420 36 seg 2 AC 4x565/72*  | 4.6             | 21.4 | 4.6              | 21.4 |  |  |  |  |
| LIQi1866 » | Obj: C420 38 seg 1 AC 4x565/72*  | 4.5             | 21.5 | 4.5              | 21.5 |  |  |  |  |
| LIQi1849 » | Obj: C420 36 seg 16 AC 4x565/72* | 4.5             | 21.6 | 4.5              | 21.6 |  |  |  |  |
| LIQi2106 » | Obj: C420 53 seg 1 AC 4x565/72*  | 4.1             | 21.6 | 4.1              | 21.6 |  |  |  |  |
| LIQi1834 » | Obj: C420 36 seg 1 AC 4x565/72*  | 4.0             | 21.7 | 4.0              | 21.7 |  |  |  |  |
| LIQi2074 » | Obj: C420 51 seg 1 AC 4x565/72*  | 3.5             | 21.8 | 3.5              | 21.8 |  |  |  |  |
| LIQi1890 » | Obj: C420 39 seg 9 AC 4x565/72*  | 3.5             | 21.8 | 3.5              | 21.8 |  |  |  |  |
| LIQi1889 » | Obj: C420 39 seg 8 AC 4x565/72*  | 3.4             | 21.9 | 3.4              | 21.9 |  |  |  |  |
| LIQi1891 » | Obj: C420 39 seg 10 AC 4x565/72* | 3.3             | 22.0 | 3.3              | 22.0 |  |  |  |  |
| LIQi1888 » | Obj: C420 39 seg 7 AC 4x565/72*  | 3.1             | 22.0 | 3.1              | 22.0 |  |  |  |  |
| LIQi1892 » | Obj: C420 39 seg 11 AC 4x565/72* | 3.0             | 22.1 | 3.0              | 22.1 |  |  |  |  |
| LIQi2107 » | Obj: C420 53 seg 2 AC 4x565/72*  | 3.0             | 22.1 | 3.0              | 22.1 |  |  |  |  |
| LIQi1826 » | Obj: C420 35 seg 9 AC 4x565/72*  | 2.9             | 22.2 | 2.9              | 22.2 |  |  |  |  |
| LIQi1825 » | Obj: C420 35 seg 8 AC 4x565/72*  | 2.8             | 22.2 | 2.8              | 22.2 |  |  |  |  |
| LIQi1827 » | Obj: C420 35 seg 10 AC 4x565/72* | 2.8             | 22.3 | 2.8              | 22.3 |  |  |  |  |
| LIQi1641 » | Obj: C420 23 seg 16 AC 4x565/72* | 2.7             | 22.3 | 2.7              | 22.3 |  |  |  |  |
| LIQi1887 » | Obj: C420 39 seg 6 AC 4x565/72*  | 2.7             | 22.4 | 2.7              | 22.4 |  |  |  |  |
| LIQi1824 » | Obj: C420 35 seg 7 AC 4x565/72*  | 2.6             | 22.4 | 2.6              | 22.4 |  |  |  |  |
| LIQi1828 » | Obj: C420 35 seg 11 AC 4x565/72* | 2.5             | 22.5 | 2.5              | 22.5 |  |  |  |  |
| LIQi1893 » | Obj: C420 39 seg 12 AC 4x565/72* | 2.5             | 22.5 | 2.5              | 22.5 |  |  |  |  |
| LIQi2075 » | Obj: C420 51 seg 2 AC 4x565/72*  | 2.4             | 22.5 | 2.4              | 22.5 |  |  |  |  |
| LIQi1823 » | Obj: C420 35 seg 6 AC 4x565/72*  | 2.3             | 22.6 | 2.3              | 22.6 |  |  |  |  |
| LIQi1829 » | Obj: C420 35 seg 12 AC 4x565/72* | 2.2             | 22.6 | 2.2              | 22.6 |  |  |  |  |



|            |           |        |                 |      |      |      |      |  |  |
|------------|-----------|--------|-----------------|------|------|------|------|--|--|
| LIQi1609 » | Obj: C420 | 21 seg | 16 AC 4x565/72* | 2.2  | 22.7 | 2.2  | 22.7 |  |  |
| LIQi1886 » | Obj: C420 | 39 seg | 5 AC 4x565/72*  | 2.1  | 22.7 | 2.1  | 22.7 |  |  |
| LIQi1894 » | Obj: C420 | 39 seg | 13 AC 4x565/72* | 1.9  | 22.7 | 1.9  | 22.7 |  |  |
| LIQi1822 » | Obj: C420 | 35 seg | 5 AC 4x565/72*  | 1.9  | 22.8 | 1.9  | 22.8 |  |  |
| LIQi1640 » | Obj: C420 | 23 seg | 15 AC 4x565/72* | 1.8  | 22.8 | 1.8  | 22.8 |  |  |
| LIQi2108 » | Obj: C420 | 53 seg | 3 AC 4x565/72*  | 1.8  | 22.8 | 1.8  | 22.8 |  |  |
| LIQi1830 » | Obj: C420 | 35 seg | 13 AC 4x565/72* | 1.7  | 22.9 | 1.7  | 22.9 |  |  |
| LIQi1885 » | Obj: C420 | 39 seg | 4 AC 4x565/72*  | 1.5  | 22.9 | 1.5  | 22.9 |  |  |
| LIQi1821 » | Obj: C420 | 35 seg | 4 AC 4x565/72*  | 1.3  | 22.9 | 1.3  | 22.9 |  |  |
| LIQi2076 » | Obj: C420 | 51 seg | 3 AC 4x565/72*  | 1.3  | 23.0 | 1.3  | 23.0 |  |  |
| LIQi1608 » | Obj: C420 | 21 seg | 15 AC 4x565/72* | 1.3  | 23.0 | 1.3  | 23.0 |  |  |
| LIQi1895 » | Obj: C420 | 39 seg | 14 AC 4x565/72* | 1.3  | 23.0 | 1.3  | 23.0 |  |  |
| LIQi1831 » | Obj: C420 | 35 seg | 14 AC 4x565/72* | 1.2  | 23.1 | 1.2  | 23.1 |  |  |
| LIQi1639 » | Obj: C420 | 23 seg | 14 AC 4x565/72* | 1.0  | 23.1 | 1.0  | 23.1 |  |  |
| LIQi2109 » | Obj: C420 | 53 seg | 4 AC 4x565/72*  | 0.8  | 23.1 | 0.8  | 23.1 |  |  |
| LIQi1884 » | Obj: C420 | 39 seg | 3 AC 4x565/72*  | 0.8  | 23.1 | 0.8  | 23.1 |  |  |
| LIQi1820 » | Obj: C420 | 35 seg | 3 AC 4x565/72*  | 0.8  | 23.2 | 0.8  | 23.2 |  |  |
| LIQi1832 » | Obj: C420 | 35 seg | 15 AC 4x565/72* | 0.7  | 23.2 | 0.7  | 23.2 |  |  |
| LIQi1896 » | Obj: C420 | 39 seg | 15 AC 4x565/72* | 0.6  | 23.2 | 0.6  | 23.2 |  |  |
| LIQi1607 » | Obj: C420 | 21 seg | 14 AC 4x565/72* | 0.5  | 23.2 | 0.5  | 23.2 |  |  |
| LIQi2077 » | Obj: C420 | 51 seg | 4 AC 4x565/72*  | 0.4  | 23.3 | 0.4  | 23.3 |  |  |
| LIQi1638 » | Obj: C420 | 23 seg | 13 AC 4x565/72* | 0.2  | 23.3 | 0.2  | 23.3 |  |  |
| LIQi1819 » | Obj: C420 | 35 seg | 2 AC 4x565/72*  | 0.2  | 23.3 | 0.2  | 23.3 |  |  |
| LIQi1833 » | Obj: C420 | 35 seg | 16 AC 4x565/72* | 0.1  | 23.3 | 0.1  | 23.3 |  |  |
| LIQi1883 » | Obj: C420 | 39 seg | 2 AC 4x565/72*  | 0.1  | 23.3 | 0.1  | 23.3 |  |  |
| LIQi1897 » | Obj: C420 | 39 seg | 16 AC 4x565/72* | -0.1 | 23.4 | -0.1 | 23.4 |  |  |
| LIQi2110 » | Obj: C420 | 53 seg | 5 AC 4x565/72*  | -0.1 | 23.4 | -0.1 | 23.4 |  |  |
| LIQi1606 » | Obj: C420 | 21 seg | 13 AC 4x565/72* | -0.3 | 23.4 | -0.3 | 23.4 |  |  |
| LIQi1637 » | Obj: C420 | 23 seg | 12 AC 4x565/72* | -0.4 | 23.4 | -0.4 | 23.4 |  |  |
| LIQi1818 » | Obj: C420 | 35 seg | 1 AC 4x565/72*  | -0.4 | 23.4 | -0.4 | 23.4 |  |  |
| LIQi2078 » | Obj: C420 | 51 seg | 5 AC 4x565/72*  | -0.5 | 23.4 | -0.5 | 23.4 |  |  |
| LIQi1882 » | Obj: C420 | 39 seg | 1 AC 4x565/72*  | -0.6 | 23.5 | -0.6 | 23.5 |  |  |
| LIQi1605 » | Obj: C420 | 21 seg | 12 AC 4x565/72* | -0.8 | 23.5 | -0.8 | 23.5 |  |  |
| LIQi2058 » | Obj: C420 | 50 seg | 1 AC 4x565/72*  | -0.8 | 23.5 | -0.8 | 23.5 |  |  |
| LIQi2111 » | Obj: C420 | 53 seg | 6 AC 4x565/72*  | -0.9 | 23.5 | -0.9 | 23.5 |  |  |
| LIQi1636 » | Obj: C420 | 23 seg | 11 AC 4x565/72* | -1.1 | 23.5 | -1.1 | 23.5 |  |  |
| LIQi2122 » | Obj: C420 | 54 seg | 1 AC 4x565/72*  | -1.1 | 23.5 | -1.1 | 23.5 |  |  |
| LIQi2079 » | Obj: C420 | 51 seg | 6 AC 4x565/72*  | -1.3 | 23.6 | -1.3 | 23.6 |  |  |
| LIQi1604 » | Obj: C420 | 21 seg | 11 AC 4x565/72* | -1.5 | 23.6 | -1.5 | 23.6 |  |  |
| LIQi1635 » | Obj: C420 | 23 seg | 10 AC 4x565/72* | -1.6 | 23.6 | -1.6 | 23.6 |  |  |
| LIQi2112 » | Obj: C420 | 53 seg | 7 AC 4x565/72*  | -1.7 | 23.6 | -1.7 | 23.6 |  |  |
| LIQi2059 » | Obj: C420 | 50 seg | 2 AC 4x565/72*  | -1.9 | 23.6 | -1.9 | 23.6 |  |  |
| LIQi1603 » | Obj: C420 | 21 seg | 10 AC 4x565/72* | -2.0 | 23.6 | -2.0 | 23.6 |  |  |
| LIQi2080 » | Obj: C420 | 51 seg | 7 AC 4x565/72*  | -2.1 | 23.6 | -2.1 | 23.6 |  |  |
| LIQi1593 » | Obj: C420 | 20 seg | 16 AC 4x565/72* | -2.1 | 23.6 | -2.1 | 23.6 |  |  |
| LIQi1634 » | Obj: C420 | 23 seg | 9 AC 4x565/72*  | -2.2 | 23.7 | -2.2 | 23.7 |  |  |
| LIQi2123 » | Obj: C420 | 54 seg | 2 AC 4x565/72*  | -2.3 | 23.7 | -2.3 | 23.7 |  |  |
| LIQi2113 » | Obj: C420 | 53 seg | 8 AC 4x565/72*  | -2.4 | 23.7 | -2.4 | 23.7 |  |  |
| LIQi1657 » | Obj: C420 | 24 seg | 16 AC 4x565/72* | -2.5 | 23.7 | -2.5 | 23.7 |  |  |
| LIQi1602 » | Obj: C420 | 21 seg | 9 AC 4x565/72*  | -2.6 | 23.7 | -2.6 | 23.7 |  |  |
| LIQi1633 » | Obj: C420 | 23 seg | 8 AC 4x565/72*  | -2.6 | 23.7 | -2.6 | 23.7 |  |  |
| LIQi2081 » | Obj: C420 | 51 seg | 8 AC 4x565/72*  | -2.8 | 23.7 | -2.8 | 23.7 |  |  |
| LIQi1601 » | Obj: C420 | 21 seg | 8 AC 4x565/72*  | -2.8 | 23.7 | -2.8 | 23.7 |  |  |
| LIQi2060 » | Obj: C420 | 50 seg | 3 AC 4x565/72*  | -2.9 | 23.7 | -2.9 | 23.7 |  |  |
| LIQi1592 » | Obj: C420 | 20 seg | 15 AC 4x565/72* | -3.0 | 23.7 | -3.0 | 23.7 |  |  |



|            |           |        |                 |      |      |      |      |  |
|------------|-----------|--------|-----------------|------|------|------|------|--|
| LIQi2114 » | Obj: C420 | 53 seg | 9 AC 4x565/72*  | -3.1 | 23.8 | -3.1 | 23.8 |  |
| LIQi1632 » | Obj: C420 | 23 seg | 7 AC 4x565/72*  | -3.1 | 23.8 | -3.1 | 23.8 |  |
| LIQi2124 » | Obj: C420 | 54 seg | 3 AC 4x565/72*  | -3.3 | 23.8 | -3.3 | 23.8 |  |
| LIQi1631 » | Obj: C420 | 23 seg | 6 AC 4x565/72*  | -3.4 | 23.8 | -3.4 | 23.8 |  |
| LIQi1600 » | Obj: C420 | 21 seg | 7 AC 4x565/72*  | -3.4 | 23.8 | -3.4 | 23.8 |  |
| LIQi2082 » | Obj: C420 | 51 seg | 9 AC 4x565/72*  | -3.4 | 23.8 | -3.4 | 23.8 |  |
| LIQi1656 » | Obj: C420 | 24 seg | 15 AC 4x565/72* | -3.4 | 23.8 | -3.4 | 23.8 |  |
| LIQi1591 » | Obj: C420 | 20 seg | 14 AC 4x565/72* | -3.6 | 23.8 | -3.6 | 23.8 |  |
| LIQi2115 » | Obj: C420 | 53 seg | 10 AC 4x565/72* | -3.7 | 23.8 | -3.7 | 23.8 |  |
| LIQi1599 » | Obj: C420 | 21 seg | 6 AC 4x565/72*  | -3.7 | 23.8 | -3.7 | 23.8 |  |
| LIQi2061 » | Obj: C420 | 50 seg | 4 AC 4x565/72*  | -3.9 | 23.8 | -3.9 | 23.8 |  |
| LIQi1630 » | Obj: C420 | 23 seg | 5 AC 4x565/72*  | -3.9 | 23.8 | -3.9 | 23.8 |  |
| LIQi2083 » | Obj: C420 | 51 seg | 10 AC 4x565/72* | -4.0 | 23.9 | -4.0 | 23.9 |  |
| LIQi1629 » | Obj: C420 | 23 seg | 4 AC 4x565/72*  | -4.1 | 23.9 | -4.1 | 23.9 |  |
| LIQi1655 » | Obj: C420 | 24 seg | 14 AC 4x565/72* | -4.1 | 23.9 | -4.1 | 23.9 |  |
| LIQi1598 » | Obj: C420 | 21 seg | 5 AC 4x565/72*  | -4.2 | 23.9 | -4.2 | 23.9 |  |
| LIQi2116 » | Obj: C420 | 53 seg | 11 AC 4x565/72* | -4.3 | 23.9 | -4.3 | 23.9 |  |
| LIQi2125 » | Obj: C420 | 54 seg | 4 AC 4x565/72*  | -4.3 | 23.9 | -4.3 | 23.9 |  |
| LIQi1597 » | Obj: C420 | 21 seg | 4 AC 4x565/72*  | -4.3 | 23.9 | -4.3 | 23.9 |  |
| LIQi1590 » | Obj: C420 | 20 seg | 13 AC 4x565/72* | -4.4 | 23.9 | -4.4 | 23.9 |  |
| LIQi1628 » | Obj: C420 | 23 seg | 3 AC 4x565/72*  | -4.6 | 23.9 | -4.6 | 23.9 |  |
| LIQi2084 » | Obj: C420 | 51 seg | 11 AC 4x565/72* | -4.6 | 23.9 | -4.6 | 23.9 |  |
| LIQi2062 » | Obj: C420 | 50 seg | 5 AC 4x565/72*  | -4.6 | 23.9 | -4.6 | 23.9 |  |
| LIQi1627 » | Obj: C420 | 23 seg | 2 AC 4x565/72*  | -4.7 | 23.9 | -4.7 | 23.9 |  |
| LIQi1596 » | Obj: C420 | 21 seg | 3 AC 4x565/72*  | -4.8 | 23.9 | -4.8 | 23.9 |  |
| LIQi2117 » | Obj: C420 | 53 seg | 12 AC 4x565/72* | -4.8 | 23.9 | -4.8 | 23.9 |  |
| LIQi1595 » | Obj: C420 | 21 seg | 2 AC 4x565/72*  | -4.9 | 23.9 | -4.9 | 23.9 |  |
| LIQi1589 » | Obj: C420 | 20 seg | 12 AC 4x565/72* | -4.9 | 23.9 | -4.9 | 23.9 |  |
| LIQi1654 » | Obj: C420 | 24 seg | 13 AC 4x565/72* | -5.0 | 24.0 | -5.0 | 24.0 |  |
| LIQi1626 » | Obj: C420 | 23 seg | 1 AC 4x565/72*  | -5.1 | 24.0 | -5.1 | 24.0 |  |
| LIQi2085 » | Obj: C420 | 51 seg | 12 AC 4x565/72* | -5.1 | 24.0 | -5.1 | 24.0 |  |
| LIQi2126 » | Obj: C420 | 54 seg | 5 AC 4x565/72*  | -5.1 | 24.0 | -5.1 | 24.0 |  |
| LIQi1594 » | Obj: C420 | 21 seg | 1 AC 4x565/72*  | -5.3 | 24.0 | -5.3 | 24.0 |  |
| LIQi2118 » | Obj: C420 | 53 seg | 13 AC 4x565/72* | -5.3 | 24.0 | -5.3 | 24.0 |  |
| LIQi2063 » | Obj: C420 | 50 seg | 6 AC 4x565/72*  | -5.4 | 24.0 | -5.4 | 24.0 |  |
| LIQi1653 » | Obj: C420 | 24 seg | 12 AC 4x565/72* | -5.5 | 24.0 | -5.5 | 24.0 |  |
| LIQi2086 » | Obj: C420 | 51 seg | 13 AC 4x565/72* | -5.6 | 24.0 | -5.6 | 24.0 |  |
| LIQi1588 » | Obj: C420 | 20 seg | 11 AC 4x565/72* | -5.6 | 24.0 | -5.6 | 24.0 |  |
| LIQi2119 » | Obj: C420 | 53 seg | 14 AC 4x565/72* | -5.7 | 24.0 | -5.7 | 24.0 |  |
| LIQi2127 » | Obj: C420 | 54 seg | 6 AC 4x565/72*  | -6.0 | 24.0 | -6.0 | 24.0 |  |
| LIQi2087 » | Obj: C420 | 51 seg | 14 AC 4x565/72* | -6.0 | 24.0 | -6.0 | 24.0 |  |
| LIQi1587 » | Obj: C420 | 20 seg | 10 AC 4x565/72* | -6.0 | 24.0 | -6.0 | 24.0 |  |
| LIQi2120 » | Obj: C420 | 53 seg | 15 AC 4x565/72* | -6.1 | 24.0 | -6.1 | 24.0 |  |
| LIQi2064 » | Obj: C420 | 50 seg | 7 AC 4x565/72*  | -6.1 | 24.0 | -6.1 | 24.0 |  |
| LIQi1652 » | Obj: C420 | 24 seg | 11 AC 4x565/72* | -6.2 | 24.0 | -6.2 | 24.0 |  |
| LIQi1401 » | Obj: C420 | 8 seg  | 16 AC 4x565/72* | -6.3 | 24.0 | -6.3 | 24.0 |  |
| LIQi2088 » | Obj: C420 | 51 seg | 15 AC 4x565/72* | -6.3 | 24.0 | -6.3 | 24.0 |  |
| LIQi2121 » | Obj: C420 | 53 seg | 16 AC 4x565/72* | -6.5 | 24.0 | -6.5 | 24.0 |  |
| LIQi1369 » | Obj: C420 | 6 seg  | 16 AC 4x565/72* | -6.5 | 24.0 | -6.5 | 24.0 |  |
| LIQi2128 » | Obj: C420 | 54 seg | 7 AC 4x565/72*  | -6.6 | 24.0 | -6.6 | 24.0 |  |
| LIQi1586 » | Obj: C420 | 20 seg | 9 AC 4x565/72*  | -6.6 | 24.1 | -6.6 | 24.1 |  |
| LIQi1651 » | Obj: C420 | 24 seg | 10 AC 4x565/72* | -6.7 | 24.1 | -6.7 | 24.1 |  |
| LIQi1400 » | Obj: C420 | 8 seg  | 15 AC 4x565/72* | -6.7 | 24.1 | -6.7 | 24.1 |  |
| LIQi2089 » | Obj: C420 | 51 seg | 16 AC 4x565/72* | -6.7 | 24.1 | -6.7 | 24.1 |  |
| LIQi2065 » | Obj: C420 | 50 seg | 8 AC 4x565/72*  | -6.8 | 24.1 | -6.8 | 24.1 |  |



|            |           |        |                 |      |      |      |      |  |  |
|------------|-----------|--------|-----------------|------|------|------|------|--|--|
| LIQi1368 » | Obj: C420 | 6 seg  | 15 AC 4x565/72* | -6.9 | 24.1 | -6.9 | 24.1 |  |  |
| LIQi1585 » | Obj: C420 | 20 seg | 8 AC 4x565/72*  | -6.9 | 24.1 | -6.9 | 24.1 |  |  |
| LIQi1858 » | Obj: C420 | 37 seg | 9 AC 4x565/72*  | -7.0 | 24.1 | -7.0 | 24.1 |  |  |
| LIQi1857 » | Obj: C420 | 37 seg | 8 AC 4x565/72*  | -7.0 | 24.1 | -7.0 | 24.1 |  |  |
| LIQi2346 » | Obj: C420 | 68 seg | 1 AC 4x565/72*  | -7.1 | 24.1 | -7.1 | 24.1 |  |  |
| LIQi1859 » | Obj: C420 | 37 seg | 10 AC 4x565/72* | -7.1 | 24.1 | -7.1 | 24.1 |  |  |
| LIQi1856 » | Obj: C420 | 37 seg | 7 AC 4x565/72*  | -7.3 | 24.1 | -7.3 | 24.1 |  |  |
| LIQi1650 » | Obj: C420 | 24 seg | 9 AC 4x565/72*  | -7.3 | 24.1 | -7.3 | 24.1 |  |  |
| LIQi2129 » | Obj: C420 | 54 seg | 8 AC 4x565/72*  | -7.4 | 24.1 | -7.4 | 24.1 |  |  |
| LIQi1860 » | Obj: C420 | 37 seg | 11 AC 4x565/72* | -7.4 | 24.1 | -7.4 | 24.1 |  |  |
| LIQi2314 » | Obj: C420 | 66 seg | 1 AC 4x565/72*  | -7.4 | 24.1 | -7.4 | 24.1 |  |  |
| LIQi1584 » | Obj: C420 | 20 seg | 7 AC 4x565/72*  | -7.5 | 24.1 | -7.5 | 24.1 |  |  |
| LIQi2066 » | Obj: C420 | 50 seg | 9 AC 4x565/72*  | -7.5 | 24.1 | -7.5 | 24.1 |  |  |
| LIQi1399 » | Obj: C420 | 8 seg  | 14 AC 4x565/72* | -7.6 | 24.1 | -7.6 | 24.1 |  |  |
| LIQi1855 » | Obj: C420 | 37 seg | 6 AC 4x565/72*  | -7.6 | 24.1 | -7.6 | 24.1 |  |  |
| LIQi1649 » | Obj: C420 | 24 seg | 8 AC 4x565/72*  | -7.7 | 24.1 | -7.7 | 24.1 |  |  |
| LIQi2347 » | Obj: C420 | 68 seg | 2 AC 4x565/72*  | -7.7 | 24.1 | -7.7 | 24.1 |  |  |
| LIQi1583 » | Obj: C420 | 20 seg | 6 AC 4x565/72*  | -7.8 | 24.1 | -7.8 | 24.1 |  |  |
| LIQi1367 » | Obj: C420 | 6 seg  | 14 AC 4x565/72* | -7.8 | 24.1 | -7.8 | 24.1 |  |  |
| LIQi1861 » | Obj: C420 | 37 seg | 12 AC 4x565/72* | -7.9 | 24.1 | -7.9 | 24.1 |  |  |
| LIQi1398 » | Obj: C420 | 8 seg  | 13 AC 4x565/72* | -8.0 | 24.1 | -8.0 | 24.1 |  |  |
| LIQi2315 » | Obj: C420 | 66 seg | 2 AC 4x565/72*  | -8.0 | 24.1 | -8.0 | 24.1 |  |  |
| LIQi2067 » | Obj: C420 | 50 seg | 10 AC 4x565/72* | -8.1 | 24.1 | -8.1 | 24.1 |  |  |
| LIQi2130 » | Obj: C420 | 54 seg | 9 AC 4x565/72*  | -8.1 | 24.1 | -8.1 | 24.1 |  |  |
| LIQi1366 » | Obj: C420 | 6 seg  | 13 AC 4x565/72* | -8.2 | 24.1 | -8.2 | 24.1 |  |  |
| LIQi1862 » | Obj: C420 | 37 seg | 13 AC 4x565/72* | -8.2 | 24.1 | -8.2 | 24.1 |  |  |
| LIQi1854 » | Obj: C420 | 37 seg | 5 AC 4x565/72*  | -8.2 | 24.1 | -8.2 | 24.1 |  |  |
| LIQi1582 » | Obj: C420 | 20 seg | 5 AC 4x565/72*  | -8.2 | 24.1 | -8.2 | 24.1 |  |  |
| LIQi1648 » | Obj: C420 | 24 seg | 7 AC 4x565/72*  | -8.3 | 24.2 | -8.3 | 24.2 |  |  |
| LIQi1581 » | Obj: C420 | 20 seg | 4 AC 4x565/72*  | -8.3 | 24.2 | -8.3 | 24.2 |  |  |
| LIQi1647 » | Obj: C420 | 24 seg | 6 AC 4x565/72*  | -8.4 | 24.2 | -8.4 | 24.2 |  |  |
| LIQi2348 » | Obj: C420 | 68 seg | 3 AC 4x565/72*  | -8.4 | 24.2 | -8.4 | 24.2 |  |  |
| LIQi1397 » | Obj: C420 | 8 seg  | 12 AC 4x565/72* | -8.6 | 24.2 | -8.6 | 24.2 |  |  |
| LIQi2068 » | Obj: C420 | 50 seg | 11 AC 4x565/72* | -8.6 | 24.2 | -8.6 | 24.2 |  |  |
| LIQi2316 » | Obj: C420 | 66 seg | 3 AC 4x565/72*  | -8.7 | 24.2 | -8.7 | 24.2 |  |  |
| LIQi1580 » | Obj: C420 | 20 seg | 3 AC 4x565/72*  | -8.7 | 24.2 | -8.7 | 24.2 |  |  |
| LIQi1853 » | Obj: C420 | 37 seg | 4 AC 4x565/72*  | -8.7 | 24.2 | -8.7 | 24.2 |  |  |
| LIQi2131 » | Obj: C420 | 54 seg | 10 AC 4x565/72* | -8.7 | 24.2 | -8.7 | 24.2 |  |  |
| LIQi1579 » | Obj: C420 | 20 seg | 2 AC 4x565/72*  | -8.8 | 24.2 | -8.8 | 24.2 |  |  |
| LIQi1863 » | Obj: C420 | 37 seg | 14 AC 4x565/72* | -8.9 | 24.2 | -8.9 | 24.2 |  |  |
| LIQi1646 » | Obj: C420 | 24 seg | 5 AC 4x565/72*  | -8.9 | 24.2 | -8.9 | 24.2 |  |  |
| LIQi1365 » | Obj: C420 | 6 seg  | 12 AC 4x565/72* | -8.9 | 24.2 | -8.9 | 24.2 |  |  |
| LIQi1396 » | Obj: C420 | 8 seg  | 11 AC 4x565/72* | -8.9 | 24.2 | -8.9 | 24.2 |  |  |
| LIQi2349 » | Obj: C420 | 68 seg | 4 AC 4x565/72*  | -9.0 | 24.2 | -9.0 | 24.2 |  |  |
| LIQi1864 » | Obj: C420 | 37 seg | 15 AC 4x565/72* | -9.0 | 24.2 | -9.0 | 24.2 |  |  |
| LIQi1810 » | Obj: C420 | 34 seg | 9 AC 4x565/72*  | -9.0 | 24.2 | -9.0 | 24.2 |  |  |
| LIQi1645 » | Obj: C420 | 24 seg | 4 AC 4x565/72*  | -9.1 | 24.2 | -9.1 | 24.2 |  |  |
| LIQi1809 » | Obj: C420 | 34 seg | 8 AC 4x565/72*  | -9.1 | 24.2 | -9.1 | 24.2 |  |  |
| LIQi2069 » | Obj: C420 | 50 seg | 12 AC 4x565/72* | -9.1 | 24.2 | -9.1 | 24.2 |  |  |
| LIQi1811 » | Obj: C420 | 34 seg | 10 AC 4x565/72* | -9.2 | 24.2 | -9.2 | 24.2 |  |  |
| LIQi1578 » | Obj: C420 | 20 seg | 1 AC 4x565/72*  | -9.2 | 24.2 | -9.2 | 24.2 |  |  |
| LIQi1812 » | Obj: C420 | 34 seg | 11 AC 4x565/72* | -9.2 | 24.2 | -9.2 | 24.2 |  |  |
| LIQi2317 » | Obj: C420 | 66 seg | 4 AC 4x565/72*  | -9.2 | 24.2 | -9.2 | 24.2 |  |  |
| LIQi1364 » | Obj: C420 | 6 seg  | 11 AC 4x565/72* | -9.2 | 24.2 | -9.2 | 24.2 |  |  |
| LIQi1808 » | Obj: C420 | 34 seg | 7 AC 4x565/72*  | -9.3 | 24.2 | -9.3 | 24.2 |  |  |



|            |           |        |                 |       |      |       |      |  |  |
|------------|-----------|--------|-----------------|-------|------|-------|------|--|--|
| LIQi2132 » | Obj: C420 | 54 seg | 11 AC 4x565/72* | -9.4  | 24.2 | -9.4  | 24.2 |  |  |
| LIQi1852 » | Obj: C420 | 37 seg | 3 AC 4x565/72*  | -9.4  | 24.2 | -9.4  | 24.2 |  |  |
| LIQi2350 » | Obj: C420 | 68 seg | 5 AC 4x565/72*  | -9.5  | 24.2 | -9.5  | 24.2 |  |  |
| LIQi1644 » | Obj: C420 | 24 seg | 3 AC 4x565/72*  | -9.5  | 24.2 | -9.5  | 24.2 |  |  |
| LIQi1807 » | Obj: C420 | 34 seg | 6 AC 4x565/72*  | -9.6  | 24.2 | -9.6  | 24.2 |  |  |
| LIQi1643 » | Obj: C420 | 24 seg | 2 AC 4x565/72*  | -9.6  | 24.2 | -9.6  | 24.2 |  |  |
| LIQi1813 » | Obj: C420 | 34 seg | 12 AC 4x565/72* | -9.6  | 24.2 | -9.6  | 24.2 |  |  |
| LIQi1395 » | Obj: C420 | 8 seg  | 10 AC 4x565/72* | -9.7  | 24.2 | -9.7  | 24.2 |  |  |
| LIQi1851 » | Obj: C420 | 37 seg | 2 AC 4x565/72*  | -9.7  | 24.2 | -9.7  | 24.2 |  |  |
| LIQi1865 » | Obj: C420 | 37 seg | 16 AC 4x565/72* | -9.7  | 24.2 | -9.7  | 24.2 |  |  |
| LIQi2070 » | Obj: C420 | 50 seg | 13 AC 4x565/72* | -9.7  | 24.2 | -9.7  | 24.2 |  |  |
| LIQi2318 » | Obj: C420 | 66 seg | 5 AC 4x565/72*  | -9.8  | 24.2 | -9.8  | 24.2 |  |  |
| LIQi2133 » | Obj: C420 | 54 seg | 12 AC 4x565/72* | -9.9  | 24.2 | -9.9  | 24.2 |  |  |
| LIQi1814 » | Obj: C420 | 34 seg | 13 AC 4x565/72* | -10.0 | 24.2 | -10.0 | 24.2 |  |  |
| LIQi1363 » | Obj: C420 | 6 seg  | 10 AC 4x565/72* | -10.0 | 24.2 | -10.0 | 24.2 |  |  |
| LIQi1394 » | Obj: C420 | 8 seg  | 9 AC 4x565/72*  | -10.0 | 24.2 | -10.0 | 24.2 |  |  |
| LIQi2351 » | Obj: C420 | 68 seg | 6 AC 4x565/72*  | -10.0 | 24.2 | -10.0 | 24.2 |  |  |
| LIQi1642 » | Obj: C420 | 24 seg | 1 AC 4x565/72*  | -10.0 | 24.2 | -10.0 | 24.2 |  |  |
| LIQi1806 » | Obj: C420 | 34 seg | 5 AC 4x565/72*  | -10.1 | 24.2 | -10.1 | 24.2 |  |  |
| LIQi2071 » | Obj: C420 | 50 seg | 14 AC 4x565/72* | -10.2 | 24.2 | -10.2 | 24.2 |  |  |
| LIQi2319 » | Obj: C420 | 66 seg | 6 AC 4x565/72*  | -10.2 | 24.2 | -10.2 | 24.2 |  |  |
| LIQi1362 » | Obj: C420 | 6 seg  | 9 AC 4x565/72*  | -10.3 | 24.2 | -10.3 | 24.2 |  |  |
| LIQi1850 » | Obj: C420 | 37 seg | 1 AC 4x565/72*  | -10.4 | 24.2 | -10.4 | 24.2 |  |  |
| LIQi1805 » | Obj: C420 | 34 seg | 4 AC 4x565/72*  | -10.4 | 24.2 | -10.4 | 24.2 |  |  |
| LIQi2352 » | Obj: C420 | 68 seg | 7 AC 4x565/72*  | -10.4 | 24.2 | -10.4 | 24.2 |  |  |
| LIQi2072 » | Obj: C420 | 50 seg | 15 AC 4x565/72* | -10.5 | 24.2 | -10.5 | 24.2 |  |  |
| LIQi1353 » | Obj: C420 | 5 seg  | 16 AC 4x565/72* | -10.5 | 24.3 | -10.5 | 24.3 |  |  |
| LIQi1815 » | Obj: C420 | 34 seg | 14 AC 4x565/72* | -10.5 | 24.3 | -10.5 | 24.3 |  |  |
| LIQi1816 » | Obj: C420 | 34 seg | 15 AC 4x565/72* | -10.5 | 24.3 | -10.5 | 24.3 |  |  |
| LIQi2134 » | Obj: C420 | 54 seg | 13 AC 4x565/72* | -10.5 | 24.3 | -10.5 | 24.3 |  |  |
| LIQi1393 » | Obj: C420 | 8 seg  | 8 AC 4x565/72*  | -10.7 | 24.3 | -10.7 | 24.3 |  |  |
| LIQi2320 » | Obj: C420 | 66 seg | 7 AC 4x565/72*  | -10.7 | 24.3 | -10.7 | 24.3 |  |  |
| LIQi1361 » | Obj: C420 | 6 seg  | 8 AC 4x565/72*  | -10.8 | 24.3 | -10.8 | 24.3 |  |  |
| LIQi2353 » | Obj: C420 | 68 seg | 8 AC 4x565/72*  | -10.9 | 24.3 | -10.9 | 24.3 |  |  |
| LIQi2073 » | Obj: C420 | 50 seg | 16 AC 4x565/72* | -10.9 | 24.3 | -10.9 | 24.3 |  |  |
| LIQi1352 » | Obj: C420 | 5 seg  | 15 AC 4x565/72* | -10.9 | 24.3 | -10.9 | 24.3 |  |  |
| LIQi1392 » | Obj: C420 | 8 seg  | 7 AC 4x565/72*  | -10.9 | 24.3 | -10.9 | 24.3 |  |  |
| LIQi2090 » | Obj: C420 | 52 seg | 1 AC 4x565/72*  | -10.9 | 24.3 | -10.9 | 24.3 |  |  |
| LIQi2135 » | Obj: C420 | 54 seg | 14 AC 4x565/72* | -11.0 | 24.3 | -11.0 | 24.3 |  |  |
| LIQi1804 » | Obj: C420 | 34 seg | 3 AC 4x565/72*  | -11.1 | 24.3 | -11.1 | 24.3 |  |  |
| LIQi1360 » | Obj: C420 | 6 seg  | 7 AC 4x565/72*  | -11.1 | 24.3 | -11.1 | 24.3 |  |  |
| LIQi2321 » | Obj: C420 | 66 seg | 8 AC 4x565/72*  | -11.1 | 24.3 | -11.1 | 24.3 |  |  |
| LIQi1817 » | Obj: C420 | 34 seg | 16 AC 4x565/72* | -11.2 | 24.3 | -11.2 | 24.3 |  |  |
| LIQi1417 » | Obj: C420 | 9 seg  | 16 AC 4x565/72* | -11.3 | 24.3 | -11.3 | 24.3 |  |  |
| LIQi1803 » | Obj: C420 | 34 seg | 2 AC 4x565/72*  | -11.3 | 24.3 | -11.3 | 24.3 |  |  |
| LIQi2354 » | Obj: C420 | 68 seg | 9 AC 4x565/72*  | -11.4 | 24.3 | -11.4 | 24.3 |  |  |
| LIQi2136 » | Obj: C420 | 54 seg | 15 AC 4x565/72* | -11.4 | 24.3 | -11.4 | 24.3 |  |  |
| LIQi1391 » | Obj: C420 | 8 seg  | 6 AC 4x565/72*  | -11.5 | 24.3 | -11.5 | 24.3 |  |  |
| LIQi2298 » | Obj: C420 | 65 seg | 1 AC 4x565/72*  | -11.5 | 24.3 | -11.5 | 24.3 |  |  |
| LIQi2322 » | Obj: C420 | 66 seg | 9 AC 4x565/72*  | -11.5 | 24.3 | -11.5 | 24.3 |  |  |
| LIQi1351 » | Obj: C420 | 5 seg  | 14 AC 4x565/72* | -11.6 | 24.3 | -11.6 | 24.3 |  |  |
| LIQi1416 » | Obj: C420 | 9 seg  | 15 AC 4x565/72* | -11.7 | 24.3 | -11.7 | 24.3 |  |  |
| LIQi1390 » | Obj: C420 | 8 seg  | 5 AC 4x565/72*  | -11.7 | 24.3 | -11.7 | 24.3 |  |  |
| LIQi2355 » | Obj: C420 | 68 seg | 10 AC 4x565/72* | -11.8 | 24.3 | -11.8 | 24.3 |  |  |
| LIQi1359 » | Obj: C420 | 6 seg  | 6 AC 4x565/72*  | -11.8 | 24.3 | -11.8 | 24.3 |  |  |





|            |           |        |                 |       |      |       |      |  |  |
|------------|-----------|--------|-----------------|-------|------|-------|------|--|--|
| LIQi2137 » | Obj: C420 | 54 seg | 16 AC 4x565/72* | -11.8 | 24.3 | -11.8 | 24.3 |  |  |
| LIQi2323 » | Obj: C420 | 66 seg | 10 AC 4x565/72* | -11.9 | 24.3 | -11.9 | 24.3 |  |  |
| LIQi1350 » | Obj: C420 | 5 seg  | 13 AC 4x565/72* | -11.9 | 24.3 | -11.9 | 24.3 |  |  |
| LIQi1802 » | Obj: C420 | 34 seg | 1 AC 4x565/72*  | -12.0 | 24.3 | -12.0 | 24.3 |  |  |
| LIQi1358 » | Obj: C420 | 6 seg  | 5 AC 4x565/72*  | -12.0 | 24.3 | -12.0 | 24.3 |  |  |
| LIQi2356 » | Obj: C420 | 68 seg | 11 AC 4x565/72* | -12.1 | 24.3 | -12.1 | 24.3 |  |  |
| LIQi2091 » | Obj: C420 | 52 seg | 2 AC 4x565/72*  | -12.1 | 24.3 | -12.1 | 24.3 |  |  |
| LIQi2299 » | Obj: C420 | 65 seg | 2 AC 4x565/72*  | -12.1 | 24.3 | -12.1 | 24.3 |  |  |
| LIQi1625 » | Obj: C420 | 22 seg | 16 AC 4x565/72* | -12.2 | 24.3 | -12.2 | 24.3 |  |  |
| LIQi2042 » | Obj: C420 | 49 seg | 1 AC 4x565/72*  | -12.2 | 24.3 | -12.2 | 24.3 |  |  |
| LIQi2324 » | Obj: C420 | 66 seg | 11 AC 4x565/72* | -12.3 | 24.3 | -12.3 | 24.3 |  |  |
| LIQi1415 » | Obj: C420 | 9 seg  | 14 AC 4x565/72* | -12.4 | 24.3 | -12.4 | 24.3 |  |  |
| LIQi1389 » | Obj: C420 | 8 seg  | 4 AC 4x565/72*  | -12.4 | 24.3 | -12.4 | 24.3 |  |  |
| LIQi2357 » | Obj: C420 | 68 seg | 12 AC 4x565/72* | -12.5 | 24.3 | -12.5 | 24.3 |  |  |
| LIQi2362 » | Obj: C420 | 69 seg | 1 AC 4x565/72*  | -12.5 | 24.3 | -12.5 | 24.3 |  |  |
| LIQi1349 » | Obj: C420 | 5 seg  | 12 AC 4x565/72* | -12.6 | 24.3 | -12.6 | 24.3 |  |  |
| LIQi2325 » | Obj: C420 | 66 seg | 12 AC 4x565/72* | -12.6 | 24.3 | -12.6 | 24.3 |  |  |
| LIQi1388 » | Obj: C420 | 8 seg  | 3 AC 4x565/72*  | -12.6 | 24.3 | -12.6 | 24.3 |  |  |
| LIQi1357 » | Obj: C420 | 6 seg  | 4 AC 4x565/72*  | -12.7 | 24.3 | -12.7 | 24.3 |  |  |
| LIQi2358 » | Obj: C420 | 68 seg | 13 AC 4x565/72* | -12.7 | 24.3 | -12.7 | 24.3 |  |  |
| LIQi2300 » | Obj: C420 | 65 seg | 3 AC 4x565/72*  | -12.7 | 24.3 | -12.7 | 24.3 |  |  |
| LIQi1414 » | Obj: C420 | 9 seg  | 13 AC 4x565/72* | -12.7 | 24.3 | -12.7 | 24.3 |  |  |
| LIQi1356 » | Obj: C420 | 6 seg  | 3 AC 4x565/72*  | -12.9 | 24.3 | -12.9 | 24.3 |  |  |
| LIQi1348 » | Obj: C420 | 5 seg  | 11 AC 4x565/72* | -12.9 | 24.3 | -12.9 | 24.3 |  |  |
| LIQi2326 » | Obj: C420 | 66 seg | 13 AC 4x565/72* | -12.9 | 24.3 | -12.9 | 24.3 |  |  |
| LIQi2359 » | Obj: C420 | 68 seg | 14 AC 4x565/72* | -13.0 | 24.3 | -13.0 | 24.3 |  |  |
| LIQi1387 » | Obj: C420 | 8 seg  | 2 AC 4x565/72*  | -13.0 | 24.3 | -13.0 | 24.3 |  |  |
| LIQi2363 » | Obj: C420 | 69 seg | 2 AC 4x565/72*  | -13.1 | 24.3 | -13.1 | 24.3 |  |  |
| LIQi1624 » | Obj: C420 | 22 seg | 15 AC 4x565/72* | -13.2 | 24.3 | -13.2 | 24.3 |  |  |
| LIQi2327 » | Obj: C420 | 66 seg | 14 AC 4x565/72* | -13.2 | 24.3 | -13.2 | 24.3 |  |  |
| LIQi1386 » | Obj: C420 | 8 seg  | 1 AC 4x565/72*  | -13.3 | 24.3 | -13.3 | 24.3 |  |  |
| LIQi2301 » | Obj: C420 | 65 seg | 4 AC 4x565/72*  | -13.3 | 24.3 | -13.3 | 24.3 |  |  |
| LIQi2043 » | Obj: C420 | 49 seg | 2 AC 4x565/72*  | -13.3 | 24.3 | -13.3 | 24.3 |  |  |
| LIQi1355 » | Obj: C420 | 6 seg  | 2 AC 4x565/72*  | -13.4 | 24.3 | -13.4 | 24.3 |  |  |
| LIQi1413 » | Obj: C420 | 9 seg  | 12 AC 4x565/72* | -13.5 | 24.3 | -13.5 | 24.3 |  |  |
| LIQi1577 » | Obj: C420 | 19 seg | 16 AC 4x565/72* | -13.6 | 24.3 | -13.6 | 24.3 |  |  |
| LIQi1347 » | Obj: C420 | 5 seg  | 10 AC 4x565/72* | -13.6 | 24.3 | -13.6 | 24.3 |  |  |
| LIQi2364 » | Obj: C420 | 69 seg | 3 AC 4x565/72*  | -13.6 | 24.3 | -13.6 | 24.3 |  |  |
| LIQi1354 » | Obj: C420 | 6 seg  | 1 AC 4x565/72*  | -13.6 | 24.3 | -13.6 | 24.3 |  |  |
| LIQi2360 » | Obj: C420 | 68 seg | 15 AC 4x565/72* | -13.7 | 24.3 | -13.7 | 24.3 |  |  |
| LIQi2302 » | Obj: C420 | 65 seg | 5 AC 4x565/72*  | -13.7 | 24.3 | -13.7 | 24.3 |  |  |
| LIQi2092 » | Obj: C420 | 52 seg | 3 AC 4x565/72*  | -13.7 | 24.3 | -13.7 | 24.3 |  |  |
| LIQi2328 » | Obj: C420 | 66 seg | 15 AC 4x565/72* | -13.8 | 24.3 | -13.8 | 24.3 |  |  |
| LIQi1412 » | Obj: C420 | 9 seg  | 11 AC 4x565/72* | -13.8 | 24.3 | -13.8 | 24.3 |  |  |
| LIQi1346 » | Obj: C420 | 5 seg  | 9 AC 4x565/72*  | -13.9 | 24.3 | -13.9 | 24.3 |  |  |
| LIQi2361 » | Obj: C420 | 68 seg | 16 AC 4x565/72* | -13.9 | 24.3 | -13.9 | 24.3 |  |  |
| LIQi2329 » | Obj: C420 | 66 seg | 16 AC 4x565/72* | -14.1 | 24.3 | -14.1 | 24.3 |  |  |
| LIQi2365 » | Obj: C420 | 69 seg | 4 AC 4x565/72*  | -14.2 | 24.3 | -14.2 | 24.3 |  |  |
| LIQi2303 » | Obj: C420 | 65 seg | 6 AC 4x565/72*  | -14.2 | 24.3 | -14.2 | 24.3 |  |  |
| LIQi1411 » | Obj: C420 | 9 seg  | 10 AC 4x565/72* | -14.4 | 24.3 | -14.4 | 24.3 |  |  |
| LIQi1576 » | Obj: C420 | 19 seg | 15 AC 4x565/72* | -14.5 | 24.3 | -14.5 | 24.3 |  |  |
| LIQi2304 » | Obj: C420 | 65 seg | 7 AC 4x565/72*  | -14.5 | 24.3 | -14.5 | 24.3 |  |  |
| LIQi1623 » | Obj: C420 | 22 seg | 14 AC 4x565/72* | -14.6 | 24.3 | -14.6 | 24.3 |  |  |
| LIQi1345 » | Obj: C420 | 5 seg  | 8 AC 4x565/72*  | -14.6 | 24.3 | -14.6 | 24.3 |  |  |
| LIQi2366 » | Obj: C420 | 69 seg | 5 AC 4x565/72*  | -14.6 | 24.3 | -14.6 | 24.3 |  |  |



|            |           |        |                 |       |      |       |      |  |  |
|------------|-----------|--------|-----------------|-------|------|-------|------|--|--|
| LIQi1410 » | Obj: C420 | 9 seg  | 9 AC 4x565/72*  | -14.7 | 24.3 | -14.7 | 24.3 |  |  |
| LIQi2093 » | Obj: C420 | 52 seg | 4 AC 4x565/72*  | -14.7 | 24.3 | -14.7 | 24.3 |  |  |
| LIQi1344 » | Obj: C420 | 5 seg  | 7 AC 4x565/72*  | -14.8 | 24.3 | -14.8 | 24.3 |  |  |
| LIQi2044 » | Obj: C420 | 49 seg | 3 AC 4x565/72*  | -14.8 | 24.3 | -14.8 | 24.3 |  |  |
| LIQi2305 » | Obj: C420 | 65 seg | 8 AC 4x565/72*  | -14.9 | 24.3 | -14.9 | 24.3 |  |  |
| LIQi2367 » | Obj: C420 | 69 seg | 6 AC 4x565/72*  | -15.1 | 24.3 | -15.1 | 24.3 |  |  |
| LIQi2306 » | Obj: C420 | 65 seg | 9 AC 4x565/72*  | -15.3 | 24.3 | -15.3 | 24.3 |  |  |
| LIQi1343 » | Obj: C420 | 5 seg  | 6 AC 4x565/72*  | -15.4 | 24.3 | -15.4 | 24.3 |  |  |
| LIQi1622 » | Obj: C420 | 22 seg | 13 AC 4x565/72* | -15.4 | 24.3 | -15.4 | 24.3 |  |  |
| LIQi2368 » | Obj: C420 | 69 seg | 7 AC 4x565/72*  | -15.4 | 24.3 | -15.4 | 24.3 |  |  |
| LIQi1409 » | Obj: C420 | 9 seg  | 8 AC 4x565/72*  | -15.4 | 24.3 | -15.4 | 24.3 |  |  |
| LIQi1342 » | Obj: C420 | 5 seg  | 5 AC 4x565/72*  | -15.6 | 24.3 | -15.6 | 24.3 |  |  |
| LIQi1408 » | Obj: C420 | 9 seg  | 7 AC 4x565/72*  | -15.7 | 24.3 | -15.7 | 24.3 |  |  |
| LIQi2307 » | Obj: C420 | 65 seg | 10 AC 4x565/72* | -15.7 | 24.3 | -15.7 | 24.3 |  |  |
| LIQi1575 » | Obj: C420 | 19 seg | 14 AC 4x565/72* | -15.8 | 24.3 | -15.8 | 24.3 |  |  |
| LIQi2045 » | Obj: C420 | 49 seg | 4 AC 4x565/72*  | -15.8 | 24.3 | -15.8 | 24.3 |  |  |
| LIQi2369 » | Obj: C420 | 69 seg | 8 AC 4x565/72*  | -15.9 | 24.3 | -15.9 | 24.3 |  |  |
| LIQi2094 » | Obj: C420 | 52 seg | 5 AC 4x565/72*  | -15.9 | 24.3 | -15.9 | 24.3 |  |  |
| LIQi2308 » | Obj: C420 | 65 seg | 11 AC 4x565/72* | -16.1 | 24.3 | -16.1 | 24.3 |  |  |
| LIQi1341 » | Obj: C420 | 5 seg  | 4 AC 4x565/72*  | -16.2 | 24.3 | -16.2 | 24.3 |  |  |
| LIQi2370 » | Obj: C420 | 69 seg | 9 AC 4x565/72*  | -16.3 | 24.3 | -16.3 | 24.3 |  |  |
| LIQi1407 » | Obj: C420 | 9 seg  | 6 AC 4x565/72*  | -16.3 | 24.3 | -16.3 | 24.3 |  |  |
| LIQi1621 » | Obj: C420 | 22 seg | 12 AC 4x565/72* | -16.4 | 24.3 | -16.4 | 24.3 |  |  |
| LIQi1340 » | Obj: C420 | 5 seg  | 3 AC 4x565/72*  | -16.4 | 24.3 | -16.4 | 24.3 |  |  |
| LIQi2309 » | Obj: C420 | 65 seg | 12 AC 4x565/72* | -16.4 | 24.3 | -16.4 | 24.3 |  |  |
| LIQi1406 » | Obj: C420 | 9 seg  | 5 AC 4x565/72*  | -16.5 | 24.3 | -16.5 | 24.3 |  |  |
| LIQi1339 » | Obj: C420 | 5 seg  | 2 AC 4x565/72*  | -16.5 | 24.3 | -16.5 | 24.3 |  |  |
| LIQi1574 » | Obj: C420 | 19 seg | 13 AC 4x565/72* | -16.6 | 24.3 | -16.6 | 24.3 |  |  |
| LIQi2310 » | Obj: C420 | 65 seg | 13 AC 4x565/72* | -16.6 | 24.3 | -16.6 | 24.3 |  |  |
| LIQi2371 » | Obj: C420 | 69 seg | 10 AC 4x565/72* | -16.6 | 24.3 | -16.6 | 24.3 |  |  |
| LIQi1338 » | Obj: C420 | 5 seg  | 1 AC 4x565/72*  | -16.7 | 24.3 | -16.7 | 24.3 |  |  |
| LIQi2095 » | Obj: C420 | 52 seg | 6 AC 4x565/72*  | -16.7 | 24.3 | -16.7 | 24.3 |  |  |
| LIQi2046 » | Obj: C420 | 49 seg | 5 AC 4x565/72*  | -16.9 | 24.3 | -16.9 | 24.3 |  |  |
| LIQi2372 » | Obj: C420 | 69 seg | 11 AC 4x565/72* | -16.9 | 24.3 | -16.9 | 24.3 |  |  |
| LIQi2311 » | Obj: C420 | 65 seg | 14 AC 4x565/72* | -16.9 | 24.3 | -16.9 | 24.3 |  |  |
| LIQi1620 » | Obj: C420 | 22 seg | 11 AC 4x565/72* | -17.1 | 24.3 | -17.1 | 24.3 |  |  |
| LIQi1405 » | Obj: C420 | 9 seg  | 4 AC 4x565/72*  | -17.2 | 24.3 | -17.2 | 24.3 |  |  |
| LIQi2373 » | Obj: C420 | 69 seg | 12 AC 4x565/72* | -17.2 | 24.3 | -17.2 | 24.3 |  |  |
| LIQi2312 » | Obj: C420 | 65 seg | 15 AC 4x565/72* | -17.3 | 24.3 | -17.3 | 24.3 |  |  |
| LIQi1404 » | Obj: C420 | 9 seg  | 3 AC 4x565/72*  | -17.4 | 24.3 | -17.4 | 24.3 |  |  |
| LIQi1573 » | Obj: C420 | 19 seg | 12 AC 4x565/72* | -17.6 | 24.3 | -17.6 | 24.3 |  |  |
| LIQi2374 » | Obj: C420 | 69 seg | 13 AC 4x565/72* | -17.6 | 24.3 | -17.6 | 24.3 |  |  |
| LIQi2313 » | Obj: C420 | 65 seg | 16 AC 4x565/72* | -17.6 | 24.3 | -17.6 | 24.3 |  |  |
| LIQi1403 » | Obj: C420 | 9 seg  | 2 AC 4x565/72*  | -17.6 | 24.3 | -17.6 | 24.3 |  |  |
| LIQi2096 » | Obj: C420 | 52 seg | 7 AC 4x565/72*  | -17.6 | 24.3 | -17.6 | 24.3 |  |  |
| LIQi2047 » | Obj: C420 | 49 seg | 6 AC 4x565/72*  | -17.7 | 24.3 | -17.7 | 24.3 |  |  |
| LIQi1402 » | Obj: C420 | 9 seg  | 1 AC 4x565/72*  | -17.8 | 24.3 | -17.8 | 24.3 |  |  |
| LIQi2375 » | Obj: C420 | 69 seg | 14 AC 4x565/72* | -17.9 | 24.3 | -17.9 | 24.3 |  |  |
| LIQi1619 » | Obj: C420 | 22 seg | 10 AC 4x565/72* | -18.0 | 24.3 | -18.0 | 24.3 |  |  |
| LIQi2376 » | Obj: C420 | 69 seg | 15 AC 4x565/72* | -18.1 | 24.3 | -18.1 | 24.3 |  |  |
| LIQi1572 » | Obj: C420 | 19 seg | 11 AC 4x565/72* | -18.3 | 24.3 | -18.3 | 24.3 |  |  |
| LIQi2097 » | Obj: C420 | 52 seg | 8 AC 4x565/72*  | -18.4 | 24.3 | -18.4 | 24.3 |  |  |
| LIQi2377 » | Obj: C420 | 69 seg | 16 AC 4x565/72* | -18.4 | 24.3 | -18.4 | 24.3 |  |  |
| LIQi2048 » | Obj: C420 | 49 seg | 7 AC 4x565/72*  | -18.5 | 24.3 | -18.5 | 24.3 |  |  |
| LIQi1618 » | Obj: C420 | 22 seg | 9 AC 4x565/72*  | -18.7 | 24.3 | -18.7 | 24.3 |  |  |



|            |                                 |       |             |       |             |  |  |
|------------|---------------------------------|-------|-------------|-------|-------------|--|--|
| LIQI2098 » | Obj: C420 52 seg 9 AC 4x565/72* | -19.0 | 24.4        | -19.0 | 24.4        |  |  |
| n=924      | Summe                           |       | <b>24.4</b> |       | <b>24.4</b> |  |  |



| IPkt032 »  | 6         | Variante 1      |                 |      |      | Einstellung: Kopie von "Referenzeinstellung" |      |      |  |              |  |  |  |
|------------|-----------|-----------------|-----------------|------|------|--|------|------|--|--------------|--|--|--|
|            |           | x = 717230.46 m |                 |      |      | y = 5404755.72 m                             |      |      |  | z = 445.00 m |  |  |  |
|            |           | Tag             |                 |      |      | Nacht  |      |      |  |              |  |  |  |
|            |           | Lr,i,A          |                 | Lr,A |      | Lr,i,A                                       |      | Lr,A |  |              |  |  |  |
|            |           | /dB             |                 | /dB  |      | /dB  |      | /dB  |  |              |  |  |  |
| LIQi1872 » | Obj: C420 | 38 seg          | 7 AC 4x565/72*  | 5.5  | 5.5  | 5.5  | 5.5  |      |  |              |  |  |  |
| LIQi1871 » | Obj: C420 | 38 seg          | 6 AC 4x565/72*  | 5.5  | 8.5  | 5.5  | 8.5  |      |  |              |  |  |  |
| LIQi1873 » | Obj: C420 | 38 seg          | 8 AC 4x565/72*  | 5.5  | 10.3 | 5.5  | 10.3 |      |  |              |  |  |  |
| LIQi1870 » | Obj: C420 | 38 seg          | 5 AC 4x565/72*  | 5.3  | 11.5 | 5.3  | 11.5 |      |  |              |  |  |  |
| LIQi1874 » | Obj: C420 | 38 seg          | 9 AC 4x565/72*  | 5.3  | 12.4 | 5.3  | 12.4 |      |  |              |  |  |  |
| LIQi1869 » | Obj: C420 | 38 seg          | 4 AC 4x565/72*  | 5.1  | 13.1 | 5.1  | 13.1 |      |  |              |  |  |  |
| LIQi1875 » | Obj: C420 | 38 seg          | 10 AC 4x565/72* | 5.0  | 13.8 | 5.0  | 13.8 |      |  |              |  |  |  |
| LIQi1868 » | Obj: C420 | 38 seg          | 3 AC 4x565/72*  | 4.7  | 14.3 | 4.7  | 14.3 |      |  |              |  |  |  |
| LIQi1876 » | Obj: C420 | 38 seg          | 11 AC 4x565/72* | 4.7  | 14.7 | 4.7  | 14.7 |      |  |              |  |  |  |
| LIQi1840 » | Obj: C420 | 36 seg          | 7 AC 4x565/72*  | 4.7  | 15.1 | 4.7  | 15.1 |      |  |              |  |  |  |
| LIQi1839 » | Obj: C420 | 36 seg          | 6 AC 4x565/72*  | 4.6  | 15.5 | 4.6  | 15.5 |      |  |              |  |  |  |
| LIQi1841 » | Obj: C420 | 36 seg          | 8 AC 4x565/72*  | 4.6  | 15.8 | 4.6  | 15.8 |      |  |              |  |  |  |
| LIQi1838 » | Obj: C420 | 36 seg          | 5 AC 4x565/72*  | 4.5  | 16.2 | 4.5  | 16.2 |      |  |              |  |  |  |
| LIQi1842 » | Obj: C420 | 36 seg          | 9 AC 4x565/72*  | 4.5  | 16.4 | 4.5  | 16.4 |      |  |              |  |  |  |
| LIQi1867 » | Obj: C420 | 38 seg          | 2 AC 4x565/72*  | 4.3  | 16.7 | 4.3  | 16.7 |      |  |              |  |  |  |
| LIQi1877 » | Obj: C420 | 38 seg          | 12 AC 4x565/72* | 4.3  | 16.9 | 4.3  | 16.9 |      |  |              |  |  |  |
| LIQi1837 » | Obj: C420 | 36 seg          | 4 AC 4x565/72*  | 4.3  | 17.2 | 4.3  | 17.2 |      |  |              |  |  |  |
| LIQi1843 » | Obj: C420 | 36 seg          | 10 AC 4x565/72* | 4.2  | 17.4 | 4.2  | 17.4 |      |  |              |  |  |  |
| LIQi1836 » | Obj: C420 | 36 seg          | 3 AC 4x565/72*  | 4.0  | 17.6 | 4.0  | 17.6 |      |  |              |  |  |  |
| LIQi1866 » | Obj: C420 | 38 seg          | 1 AC 4x565/72*  | 3.9  | 17.8 | 3.9  | 17.8 |      |  |              |  |  |  |
| LIQi1844 » | Obj: C420 | 36 seg          | 11 AC 4x565/72* | 3.9  | 17.9 | 3.9  | 17.9 |      |  |              |  |  |  |
| LIQi1878 » | Obj: C420 | 38 seg          | 13 AC 4x565/72* | 3.8  | 18.1 | 3.8  | 18.1 |      |  |              |  |  |  |
| LIQi1835 » | Obj: C420 | 36 seg          | 2 AC 4x565/72*  | 3.7  | 18.3 | 3.7  | 18.3 |      |  |              |  |  |  |
| LIQi1845 » | Obj: C420 | 36 seg          | 12 AC 4x565/72* | 3.5  | 18.4 | 3.5  | 18.4 |      |  |              |  |  |  |
| LIQi1879 » | Obj: C420 | 38 seg          | 14 AC 4x565/72* | 3.3  | 18.5 | 3.3  | 18.5 |      |  |              |  |  |  |
| LIQi1834 » | Obj: C420 | 36 seg          | 1 AC 4x565/72*  | 3.3  | 18.7 | 3.3  | 18.7 |      |  |              |  |  |  |
| LIQi1846 » | Obj: C420 | 36 seg          | 13 AC 4x565/72* | 3.1  | 18.8 | 3.1  | 18.8 |      |  |              |  |  |  |
| LIQi1880 » | Obj: C420 | 38 seg          | 15 AC 4x565/72* | 2.9  | 18.9 | 2.9  | 18.9 |      |  |              |  |  |  |
| LIQi1847 » | Obj: C420 | 36 seg          | 14 AC 4x565/72* | 2.7  | 19.0 | 2.7  | 19.0 |      |  |              |  |  |  |
| LIQi1881 » | Obj: C420 | 38 seg          | 16 AC 4x565/72* | 2.4  | 19.1 | 2.4  | 19.1 |      |  |              |  |  |  |
| LIQi1641 » | Obj: C420 | 23 seg          | 16 AC 4x565/72* | 2.4  | 19.2 | 2.4  | 19.2 |      |  |              |  |  |  |
| LIQi1848 » | Obj: C420 | 36 seg          | 15 AC 4x565/72* | 2.3  | 19.3 | 2.3  | 19.3 |      |  |              |  |  |  |
| LIQi1849 » | Obj: C420 | 36 seg          | 16 AC 4x565/72* | 1.9  | 19.3 | 1.9  | 19.3 |      |  |              |  |  |  |
| LIQi1609 » | Obj: C420 | 21 seg          | 16 AC 4x565/72* | 1.7  | 19.4 | 1.7  | 19.4 |      |  |              |  |  |  |
| LIQi2106 » | Obj: C420 | 53 seg          | 1 AC 4x565/72*  | 1.6  | 19.5 | 1.6  | 19.5 |      |  |              |  |  |  |
| LIQi1640 » | Obj: C420 | 23 seg          | 15 AC 4x565/72* | 1.6  | 19.6 | 1.6  | 19.6 |      |  |              |  |  |  |
| LIQi2074 » | Obj: C420 | 51 seg          | 1 AC 4x565/72*  | 1.1  | 19.6 | 1.1  | 19.6 |      |  |              |  |  |  |
| LIQi1608 » | Obj: C420 | 21 seg          | 15 AC 4x565/72* | 1.0  | 19.7 | 1.0  | 19.7 |      |  |              |  |  |  |
| LIQi1639 » | Obj: C420 | 23 seg          | 14 AC 4x565/72* | 0.9  | 19.7 | 0.9  | 19.7 |      |  |              |  |  |  |
| LIQi2107 » | Obj: C420 | 53 seg          | 2 AC 4x565/72*  | 0.7  | 19.8 | 0.7  | 19.8 |      |  |              |  |  |  |
| LIQi1888 » | Obj: C420 | 39 seg          | 7 AC 4x565/72*  | 0.5  | 19.8 | 0.5  | 19.8 |      |  |              |  |  |  |
| LIQi1887 » | Obj: C420 | 39 seg          | 6 AC 4x565/72*  | 0.5  | 19.9 | 0.5  | 19.9 |      |  |              |  |  |  |
| LIQi1889 » | Obj: C420 | 39 seg          | 8 AC 4x565/72*  | 0.5  | 19.9 | 0.5  | 19.9 |      |  |              |  |  |  |
| LIQi1607 » | Obj: C420 | 21 seg          | 14 AC 4x565/72* | 0.3  | 20.0 | 0.3  | 20.0 |      |  |              |  |  |  |
| LIQi1886 » | Obj: C420 | 39 seg          | 5 AC 4x565/72*  | 0.3  | 20.0 | 0.3  | 20.0 |      |  |              |  |  |  |
| LIQi1890 » | Obj: C420 | 39 seg          | 9 AC 4x565/72*  | 0.3  | 20.1 | 0.3  | 20.1 |      |  |              |  |  |  |
| LIQi1824 » | Obj: C420 | 35 seg          | 7 AC 4x565/72*  | 0.3  | 20.1 | 0.3  | 20.1 |      |  |              |  |  |  |
| LIQi1823 » | Obj: C420 | 35 seg          | 6 AC 4x565/72*  | 0.2  | 20.2 | 0.2  | 20.2 |      |  |              |  |  |  |
| LIQi1825 » | Obj: C420 | 35 seg          | 8 AC 4x565/72*  | 0.2  | 20.2 | 0.2  | 20.2 |      |  |              |  |  |  |
| LIQi2075 » | Obj: C420 | 51 seg          | 2 AC 4x565/72*  | 0.2  | 20.3 | 0.2  | 20.3 |      |  |              |  |  |  |
| LIQi1638 » | Obj: C420 | 23 seg          | 13 AC 4x565/72* | 0.2  | 20.3 | 0.2  | 20.3 |      |  |              |  |  |  |



|            |           |        |                 |      |      |      |      |  |  |
|------------|-----------|--------|-----------------|------|------|------|------|--|--|
| LIQi1822 » | Obj: C420 | 35 seg | 5 AC 4x565/72*  | 0.1  | 20.3 | 0.1  | 20.3 |  |  |
| LIQi1826 » | Obj: C420 | 35 seg | 9 AC 4x565/72*  | 0.1  | 20.4 | 0.1  | 20.4 |  |  |
| LIQi1885 » | Obj: C420 | 39 seg | 4 AC 4x565/72*  | 0.0  | 20.4 | 0.0  | 20.4 |  |  |
| LIQi1891 » | Obj: C420 | 39 seg | 10 AC 4x565/72* | 0.0  | 20.5 | 0.0  | 20.5 |  |  |
| LIQi1821 » | Obj: C420 | 35 seg | 4 AC 4x565/72*  | -0.1 | 20.5 | -0.1 | 20.5 |  |  |
| LIQi1827 » | Obj: C420 | 35 seg | 10 AC 4x565/72* | -0.1 | 20.5 | -0.1 | 20.5 |  |  |
| LIQi2108 » | Obj: C420 | 53 seg | 3 AC 4x565/72*  | -0.3 | 20.6 | -0.3 | 20.6 |  |  |
| LIQi1884 » | Obj: C420 | 39 seg | 3 AC 4x565/72*  | -0.3 | 20.6 | -0.3 | 20.6 |  |  |
| LIQi1637 » | Obj: C420 | 23 seg | 12 AC 4x565/72* | -0.3 | 20.6 | -0.3 | 20.6 |  |  |
| LIQi1606 » | Obj: C420 | 21 seg | 13 AC 4x565/72* | -0.3 | 20.7 | -0.3 | 20.7 |  |  |
| LIQi1892 » | Obj: C420 | 39 seg | 11 AC 4x565/72* | -0.4 | 20.7 | -0.4 | 20.7 |  |  |
| LIQi1820 » | Obj: C420 | 35 seg | 3 AC 4x565/72*  | -0.4 | 20.7 | -0.4 | 20.7 |  |  |
| LIQi1828 » | Obj: C420 | 35 seg | 11 AC 4x565/72* | -0.4 | 20.8 | -0.4 | 20.8 |  |  |
| LIQi1819 » | Obj: C420 | 35 seg | 2 AC 4x565/72*  | -0.7 | 20.8 | -0.7 | 20.8 |  |  |
| LIQi1883 » | Obj: C420 | 39 seg | 2 AC 4x565/72*  | -0.7 | 20.8 | -0.7 | 20.8 |  |  |
| LIQi2076 » | Obj: C420 | 51 seg | 3 AC 4x565/72*  | -0.7 | 20.9 | -0.7 | 20.9 |  |  |
| LIQi1829 » | Obj: C420 | 35 seg | 12 AC 4x565/72* | -0.8 | 20.9 | -0.8 | 20.9 |  |  |
| LIQi1893 » | Obj: C420 | 39 seg | 12 AC 4x565/72* | -0.8 | 20.9 | -0.8 | 20.9 |  |  |
| LIQi1605 » | Obj: C420 | 21 seg | 12 AC 4x565/72* | -0.8 | 21.0 | -0.8 | 21.0 |  |  |
| LIQi1636 » | Obj: C420 | 23 seg | 11 AC 4x565/72* | -1.0 | 21.0 | -1.0 | 21.0 |  |  |
| LIQi1818 » | Obj: C420 | 35 seg | 1 AC 4x565/72*  | -1.1 | 21.0 | -1.1 | 21.0 |  |  |
| LIQi2109 » | Obj: C420 | 53 seg | 4 AC 4x565/72*  | -1.1 | 21.0 | -1.1 | 21.0 |  |  |
| LIQi1882 » | Obj: C420 | 39 seg | 1 AC 4x565/72*  | -1.2 | 21.1 | -1.2 | 21.1 |  |  |
| LIQi1830 » | Obj: C420 | 35 seg | 13 AC 4x565/72* | -1.2 | 21.1 | -1.2 | 21.1 |  |  |
| LIQi1894 » | Obj: C420 | 39 seg | 13 AC 4x565/72* | -1.3 | 21.1 | -1.3 | 21.1 |  |  |
| LIQi1635 » | Obj: C420 | 23 seg | 10 AC 4x565/72* | -1.4 | 21.1 | -1.4 | 21.1 |  |  |
| LIQi1604 » | Obj: C420 | 21 seg | 11 AC 4x565/72* | -1.4 | 21.2 | -1.4 | 21.2 |  |  |
| LIQi2077 » | Obj: C420 | 51 seg | 4 AC 4x565/72*  | -1.5 | 21.2 | -1.5 | 21.2 |  |  |
| LIQi1831 » | Obj: C420 | 35 seg | 14 AC 4x565/72* | -1.6 | 21.2 | -1.6 | 21.2 |  |  |
| LIQi1895 » | Obj: C420 | 39 seg | 14 AC 4x565/72* | -1.8 | 21.2 | -1.8 | 21.2 |  |  |
| LIQi1603 » | Obj: C420 | 21 seg | 10 AC 4x565/72* | -1.8 | 21.3 | -1.8 | 21.3 |  |  |
| LIQi2110 » | Obj: C420 | 53 seg | 5 AC 4x565/72*  | -1.9 | 21.3 | -1.9 | 21.3 |  |  |
| LIQi1634 » | Obj: C420 | 23 seg | 9 AC 4x565/72*  | -2.0 | 21.3 | -2.0 | 21.3 |  |  |
| LIQi1832 » | Obj: C420 | 35 seg | 15 AC 4x565/72* | -2.0 | 21.3 | -2.0 | 21.3 |  |  |
| LIQi1896 » | Obj: C420 | 39 seg | 15 AC 4x565/72* | -2.3 | 21.3 | -2.3 | 21.3 |  |  |
| LIQi2078 » | Obj: C420 | 51 seg | 5 AC 4x565/72*  | -2.3 | 21.4 | -2.3 | 21.4 |  |  |
| LIQi1633 » | Obj: C420 | 23 seg | 8 AC 4x565/72*  | -2.3 | 21.4 | -2.3 | 21.4 |  |  |
| LIQi1602 » | Obj: C420 | 21 seg | 9 AC 4x565/72*  | -2.4 | 21.4 | -2.4 | 21.4 |  |  |
| LIQi1833 » | Obj: C420 | 35 seg | 16 AC 4x565/72* | -2.5 | 21.4 | -2.5 | 21.4 |  |  |
| LIQi1593 » | Obj: C420 | 20 seg | 16 AC 4x565/72* | -2.6 | 21.4 | -2.6 | 21.4 |  |  |
| LIQi2111 » | Obj: C420 | 53 seg | 6 AC 4x565/72*  | -2.6 | 21.4 | -2.6 | 21.4 |  |  |
| LIQi1601 » | Obj: C420 | 21 seg | 8 AC 4x565/72*  | -2.7 | 21.5 | -2.7 | 21.5 |  |  |
| LIQi1897 » | Obj: C420 | 39 seg | 16 AC 4x565/72* | -2.8 | 21.5 | -2.8 | 21.5 |  |  |
| LIQi1657 » | Obj: C420 | 24 seg | 16 AC 4x565/72* | -2.8 | 21.5 | -2.8 | 21.5 |  |  |
| LIQi1632 » | Obj: C420 | 23 seg | 7 AC 4x565/72*  | -2.9 | 21.5 | -2.9 | 21.5 |  |  |
| LIQi2079 » | Obj: C420 | 51 seg | 6 AC 4x565/72*  | -3.0 | 21.5 | -3.0 | 21.5 |  |  |
| LIQi1631 » | Obj: C420 | 23 seg | 6 AC 4x565/72*  | -3.1 | 21.5 | -3.1 | 21.5 |  |  |
| LIQi1600 » | Obj: C420 | 21 seg | 7 AC 4x565/72*  | -3.2 | 21.6 | -3.2 | 21.6 |  |  |
| LIQi2058 » | Obj: C420 | 50 seg | 1 AC 4x565/72*  | -3.2 | 21.6 | -3.2 | 21.6 |  |  |
| LIQi2112 » | Obj: C420 | 53 seg | 7 AC 4x565/72*  | -3.3 | 21.6 | -3.3 | 21.6 |  |  |
| LIQi1592 » | Obj: C420 | 20 seg | 15 AC 4x565/72* | -3.3 | 21.6 | -3.3 | 21.6 |  |  |
| LIQi1599 » | Obj: C420 | 21 seg | 6 AC 4x565/72*  | -3.5 | 21.6 | -3.5 | 21.6 |  |  |
| LIQi1630 » | Obj: C420 | 23 seg | 5 AC 4x565/72*  | -3.5 | 21.6 | -3.5 | 21.6 |  |  |
| LIQi2122 » | Obj: C420 | 54 seg | 1 AC 4x565/72*  | -3.6 | 21.6 | -3.6 | 21.6 |  |  |
| LIQi2080 » | Obj: C420 | 51 seg | 7 AC 4x565/72*  | -3.6 | 21.6 | -3.6 | 21.6 |  |  |



|            |           |        |                 |      |      |      |      |  |  |
|------------|-----------|--------|-----------------|------|------|------|------|--|--|
| LIQi1656 » | Obj: C420 | 24 seg | 15 AC 4x565/72* | -3.7 | 21.7 | -3.7 | 21.7 |  |  |
| LIQi1629 » | Obj: C420 | 23 seg | 4 AC 4x565/72*  | -3.8 | 21.7 | -3.8 | 21.7 |  |  |
| LIQi1591 » | Obj: C420 | 20 seg | 14 AC 4x565/72* | -3.8 | 21.7 | -3.8 | 21.7 |  |  |
| LIQi2113 » | Obj: C420 | 53 seg | 8 AC 4x565/72*  | -3.9 | 21.7 | -3.9 | 21.7 |  |  |
| LIQi1598 » | Obj: C420 | 21 seg | 5 AC 4x565/72*  | -3.9 | 21.7 | -3.9 | 21.7 |  |  |
| LIQi1597 » | Obj: C420 | 21 seg | 4 AC 4x565/72*  | -4.1 | 21.7 | -4.1 | 21.7 |  |  |
| LIQi2059 » | Obj: C420 | 50 seg | 2 AC 4x565/72*  | -4.1 | 21.7 | -4.1 | 21.7 |  |  |
| LIQi1628 » | Obj: C420 | 23 seg | 3 AC 4x565/72*  | -4.2 | 21.7 | -4.2 | 21.7 |  |  |
| LIQi1655 » | Obj: C420 | 24 seg | 14 AC 4x565/72* | -4.2 | 21.8 | -4.2 | 21.8 |  |  |
| LIQi2081 » | Obj: C420 | 51 seg | 8 AC 4x565/72*  | -4.2 | 21.8 | -4.2 | 21.8 |  |  |
| LIQi1627 » | Obj: C420 | 23 seg | 2 AC 4x565/72*  | -4.3 | 21.8 | -4.3 | 21.8 |  |  |
| LIQi2114 » | Obj: C420 | 53 seg | 9 AC 4x565/72*  | -4.5 | 21.8 | -4.5 | 21.8 |  |  |
| LIQi1596 » | Obj: C420 | 21 seg | 3 AC 4x565/72*  | -4.5 | 21.8 | -4.5 | 21.8 |  |  |
| LIQi1590 » | Obj: C420 | 20 seg | 13 AC 4x565/72* | -4.5 | 21.8 | -4.5 | 21.8 |  |  |
| LIQi1595 » | Obj: C420 | 21 seg | 2 AC 4x565/72*  | -4.6 | 21.8 | -4.6 | 21.8 |  |  |
| LIQi2123 » | Obj: C420 | 54 seg | 2 AC 4x565/72*  | -4.6 | 21.8 | -4.6 | 21.8 |  |  |
| LIQi1626 » | Obj: C420 | 23 seg | 1 AC 4x565/72*  | -4.7 | 21.8 | -4.7 | 21.8 |  |  |
| LIQi2082 » | Obj: C420 | 51 seg | 9 AC 4x565/72*  | -4.8 | 21.8 | -4.8 | 21.8 |  |  |
| LIQi1594 » | Obj: C420 | 21 seg | 1 AC 4x565/72*  | -4.9 | 21.9 | -4.9 | 21.9 |  |  |
| LIQi1589 » | Obj: C420 | 20 seg | 12 AC 4x565/72* | -4.9 | 21.9 | -4.9 | 21.9 |  |  |
| LIQi2060 » | Obj: C420 | 50 seg | 3 AC 4x565/72*  | -5.0 | 21.9 | -5.0 | 21.9 |  |  |
| LIQi1654 » | Obj: C420 | 24 seg | 13 AC 4x565/72* | -5.0 | 21.9 | -5.0 | 21.9 |  |  |
| LIQi2115 » | Obj: C420 | 53 seg | 10 AC 4x565/72* | -5.0 | 21.9 | -5.0 | 21.9 |  |  |
| LIQi2083 » | Obj: C420 | 51 seg | 10 AC 4x565/72* | -5.3 | 21.9 | -5.3 | 21.9 |  |  |
| LIQi2124 » | Obj: C420 | 54 seg | 3 AC 4x565/72*  | -5.4 | 21.9 | -5.4 | 21.9 |  |  |
| LIQi1653 » | Obj: C420 | 24 seg | 12 AC 4x565/72* | -5.4 | 21.9 | -5.4 | 21.9 |  |  |
| LIQi2116 » | Obj: C420 | 53 seg | 11 AC 4x565/72* | -5.5 | 21.9 | -5.5 | 21.9 |  |  |
| LIQi1588 » | Obj: C420 | 20 seg | 11 AC 4x565/72* | -5.6 | 21.9 | -5.6 | 21.9 |  |  |
| LIQi2061 » | Obj: C420 | 50 seg | 4 AC 4x565/72*  | -5.7 | 21.9 | -5.7 | 21.9 |  |  |
| LIQi2084 » | Obj: C420 | 51 seg | 11 AC 4x565/72* | -5.8 | 21.9 | -5.8 | 21.9 |  |  |
| LIQi1587 » | Obj: C420 | 20 seg | 10 AC 4x565/72* | -6.0 | 22.0 | -6.0 | 22.0 |  |  |
| LIQi1401 » | Obj: C420 | 8 seg  | 16 AC 4x565/72* | -6.0 | 22.0 | -6.0 | 22.0 |  |  |
| LIQi2117 » | Obj: C420 | 53 seg | 12 AC 4x565/72* | -6.0 | 22.0 | -6.0 | 22.0 |  |  |
| LIQi1652 » | Obj: C420 | 24 seg | 11 AC 4x565/72* | -6.1 | 22.0 | -6.1 | 22.0 |  |  |
| LIQi1369 » | Obj: C420 | 6 seg  | 16 AC 4x565/72* | -6.1 | 22.0 | -6.1 | 22.0 |  |  |
| LIQi2125 » | Obj: C420 | 54 seg | 4 AC 4x565/72*  | -6.2 | 22.0 | -6.2 | 22.0 |  |  |
| LIQi2085 » | Obj: C420 | 51 seg | 12 AC 4x565/72* | -6.3 | 22.0 | -6.3 | 22.0 |  |  |
| LIQi1400 » | Obj: C420 | 8 seg  | 15 AC 4x565/72* | -6.4 | 22.0 | -6.4 | 22.0 |  |  |
| LIQi2062 » | Obj: C420 | 50 seg | 5 AC 4x565/72*  | -6.4 | 22.0 | -6.4 | 22.0 |  |  |
| LIQi2118 » | Obj: C420 | 53 seg | 13 AC 4x565/72* | -6.4 | 22.0 | -6.4 | 22.0 |  |  |
| LIQi1651 » | Obj: C420 | 24 seg | 10 AC 4x565/72* | -6.5 | 22.0 | -6.5 | 22.0 |  |  |
| LIQi1586 » | Obj: C420 | 20 seg | 9 AC 4x565/72*  | -6.5 | 22.0 | -6.5 | 22.0 |  |  |
| LIQi1368 » | Obj: C420 | 6 seg  | 15 AC 4x565/72* | -6.5 | 22.0 | -6.5 | 22.0 |  |  |
| LIQi2086 » | Obj: C420 | 51 seg | 13 AC 4x565/72* | -6.7 | 22.0 | -6.7 | 22.0 |  |  |
| LIQi1585 » | Obj: C420 | 20 seg | 8 AC 4x565/72*  | -6.7 | 22.0 | -6.7 | 22.0 |  |  |
| LIQi2119 » | Obj: C420 | 53 seg | 14 AC 4x565/72* | -6.8 | 22.0 | -6.8 | 22.0 |  |  |
| LIQi2126 » | Obj: C420 | 54 seg | 5 AC 4x565/72*  | -6.9 | 22.1 | -6.9 | 22.1 |  |  |
| LIQi2063 » | Obj: C420 | 50 seg | 6 AC 4x565/72*  | -7.1 | 22.1 | -7.1 | 22.1 |  |  |
| LIQi1650 » | Obj: C420 | 24 seg | 9 AC 4x565/72*  | -7.1 | 22.1 | -7.1 | 22.1 |  |  |
| LIQi2120 » | Obj: C420 | 53 seg | 15 AC 4x565/72* | -7.1 | 22.1 | -7.1 | 22.1 |  |  |
| LIQi2087 » | Obj: C420 | 51 seg | 14 AC 4x565/72* | -7.1 | 22.1 | -7.1 | 22.1 |  |  |
| LIQi1399 » | Obj: C420 | 8 seg  | 14 AC 4x565/72* | -7.2 | 22.1 | -7.2 | 22.1 |  |  |
| LIQi1584 » | Obj: C420 | 20 seg | 7 AC 4x565/72*  | -7.3 | 22.1 | -7.3 | 22.1 |  |  |
| LIQi2088 » | Obj: C420 | 51 seg | 15 AC 4x565/72* | -7.4 | 22.1 | -7.4 | 22.1 |  |  |
| LIQi1649 » | Obj: C420 | 24 seg | 8 AC 4x565/72*  | -7.5 | 22.1 | -7.5 | 22.1 |  |  |



|            |           |        |                 |       |      |       |      |  |  |
|------------|-----------|--------|-----------------|-------|------|-------|------|--|--|
| LIQi2121 » | Obj: C420 | 53 seg | 16 AC 4x565/72* | -7.5  | 22.1 | -7.5  | 22.1 |  |  |
| LIQi1367 » | Obj: C420 | 6 seg  | 14 AC 4x565/72* | -7.5  | 22.1 | -7.5  | 22.1 |  |  |
| LIQi1583 » | Obj: C420 | 20 seg | 6 AC 4x565/72*  | -7.5  | 22.1 | -7.5  | 22.1 |  |  |
| LIQi1398 » | Obj: C420 | 8 seg  | 13 AC 4x565/72* | -7.6  | 22.1 | -7.6  | 22.1 |  |  |
| LIQi2064 » | Obj: C420 | 50 seg | 7 AC 4x565/72*  | -7.6  | 22.1 | -7.6  | 22.1 |  |  |
| LIQi2127 » | Obj: C420 | 54 seg | 6 AC 4x565/72*  | -7.6  | 22.1 | -7.6  | 22.1 |  |  |
| LIQi2089 » | Obj: C420 | 51 seg | 16 AC 4x565/72* | -7.8  | 22.1 | -7.8  | 22.1 |  |  |
| LIQi1366 » | Obj: C420 | 6 seg  | 13 AC 4x565/72* | -7.8  | 22.1 | -7.8  | 22.1 |  |  |
| LIQi1582 » | Obj: C420 | 20 seg | 5 AC 4x565/72*  | -8.0  | 22.1 | -8.0  | 22.1 |  |  |
| LIQi1648 » | Obj: C420 | 24 seg | 7 AC 4x565/72*  | -8.0  | 22.1 | -8.0  | 22.1 |  |  |
| LIQi1581 » | Obj: C420 | 20 seg | 4 AC 4x565/72*  | -8.0  | 22.1 | -8.0  | 22.1 |  |  |
| LIQi2346 » | Obj: C420 | 68 seg | 1 AC 4x565/72*  | -8.1  | 22.1 | -8.1  | 22.1 |  |  |
| LIQi1647 » | Obj: C420 | 24 seg | 6 AC 4x565/72*  | -8.1  | 22.2 | -8.1  | 22.2 |  |  |
| LIQi2128 » | Obj: C420 | 54 seg | 7 AC 4x565/72*  | -8.2  | 22.2 | -8.2  | 22.2 |  |  |
| LIQi2065 » | Obj: C420 | 50 seg | 8 AC 4x565/72*  | -8.2  | 22.2 | -8.2  | 22.2 |  |  |
| LIQi1397 » | Obj: C420 | 8 seg  | 12 AC 4x565/72* | -8.2  | 22.2 | -8.2  | 22.2 |  |  |
| LIQi2314 » | Obj: C420 | 66 seg | 1 AC 4x565/72*  | -8.4  | 22.2 | -8.4  | 22.2 |  |  |
| LIQi1580 » | Obj: C420 | 20 seg | 3 AC 4x565/72*  | -8.4  | 22.2 | -8.4  | 22.2 |  |  |
| LIQi1579 » | Obj: C420 | 20 seg | 2 AC 4x565/72*  | -8.5  | 22.2 | -8.5  | 22.2 |  |  |
| LIQi1396 » | Obj: C420 | 8 seg  | 11 AC 4x565/72* | -8.6  | 22.2 | -8.6  | 22.2 |  |  |
| LIQi1365 » | Obj: C420 | 6 seg  | 12 AC 4x565/72* | -8.6  | 22.2 | -8.6  | 22.2 |  |  |
| LIQi1646 » | Obj: C420 | 24 seg | 5 AC 4x565/72*  | -8.6  | 22.2 | -8.6  | 22.2 |  |  |
| LIQi2347 » | Obj: C420 | 68 seg | 2 AC 4x565/72*  | -8.7  | 22.2 | -8.7  | 22.2 |  |  |
| LIQi1645 » | Obj: C420 | 24 seg | 4 AC 4x565/72*  | -8.7  | 22.2 | -8.7  | 22.2 |  |  |
| LIQi2129 » | Obj: C420 | 54 seg | 8 AC 4x565/72*  | -8.8  | 22.2 | -8.8  | 22.2 |  |  |
| LIQi2066 » | Obj: C420 | 50 seg | 9 AC 4x565/72*  | -8.9  | 22.2 | -8.9  | 22.2 |  |  |
| LIQi1578 » | Obj: C420 | 20 seg | 1 AC 4x565/72*  | -8.9  | 22.2 | -8.9  | 22.2 |  |  |
| LIQi1364 » | Obj: C420 | 6 seg  | 11 AC 4x565/72* | -8.9  | 22.2 | -8.9  | 22.2 |  |  |
| LIQi2315 » | Obj: C420 | 66 seg | 2 AC 4x565/72*  | -8.9  | 22.2 | -8.9  | 22.2 |  |  |
| LIQi1644 » | Obj: C420 | 24 seg | 3 AC 4x565/72*  | -9.2  | 22.2 | -9.2  | 22.2 |  |  |
| LIQi1643 » | Obj: C420 | 24 seg | 2 AC 4x565/72*  | -9.3  | 22.2 | -9.3  | 22.2 |  |  |
| LIQi1395 » | Obj: C420 | 8 seg  | 10 AC 4x565/72* | -9.3  | 22.2 | -9.3  | 22.2 |  |  |
| LIQi2348 » | Obj: C420 | 68 seg | 3 AC 4x565/72*  | -9.3  | 22.2 | -9.3  | 22.2 |  |  |
| LIQi2067 » | Obj: C420 | 50 seg | 10 AC 4x565/72* | -9.4  | 22.2 | -9.4  | 22.2 |  |  |
| LIQi2130 » | Obj: C420 | 54 seg | 9 AC 4x565/72*  | -9.5  | 22.2 | -9.5  | 22.2 |  |  |
| LIQi2316 » | Obj: C420 | 66 seg | 3 AC 4x565/72*  | -9.6  | 22.2 | -9.6  | 22.2 |  |  |
| LIQi1394 » | Obj: C420 | 8 seg  | 9 AC 4x565/72*  | -9.6  | 22.2 | -9.6  | 22.2 |  |  |
| LIQi1363 » | Obj: C420 | 6 seg  | 10 AC 4x565/72* | -9.6  | 22.2 | -9.6  | 22.2 |  |  |
| LIQi1642 » | Obj: C420 | 24 seg | 1 AC 4x565/72*  | -9.6  | 22.2 | -9.6  | 22.2 |  |  |
| LIQi2349 » | Obj: C420 | 68 seg | 4 AC 4x565/72*  | -9.8  | 22.2 | -9.8  | 22.2 |  |  |
| LIQi2068 » | Obj: C420 | 50 seg | 11 AC 4x565/72* | -9.9  | 22.2 | -9.9  | 22.2 |  |  |
| LIQi1362 » | Obj: C420 | 6 seg  | 9 AC 4x565/72*  | -9.9  | 22.2 | -9.9  | 22.2 |  |  |
| LIQi1855 » | Obj: C420 | 37 seg | 6 AC 4x565/72*  | -10.0 | 22.3 | -10.0 | 22.3 |  |  |
| LIQi1856 » | Obj: C420 | 37 seg | 7 AC 4x565/72*  | -10.0 | 22.3 | -10.0 | 22.3 |  |  |
| LIQi2131 » | Obj: C420 | 54 seg | 10 AC 4x565/72* | -10.0 | 22.3 | -10.0 | 22.3 |  |  |
| LIQi1857 » | Obj: C420 | 37 seg | 8 AC 4x565/72*  | -10.1 | 22.3 | -10.1 | 22.3 |  |  |
| LIQi2317 » | Obj: C420 | 66 seg | 4 AC 4x565/72*  | -10.1 | 22.3 | -10.1 | 22.3 |  |  |
| LIQi1854 » | Obj: C420 | 37 seg | 5 AC 4x565/72*  | -10.1 | 22.3 | -10.1 | 22.3 |  |  |
| LIQi1353 » | Obj: C420 | 5 seg  | 16 AC 4x565/72* | -10.2 | 22.3 | -10.2 | 22.3 |  |  |
| LIQi1853 » | Obj: C420 | 37 seg | 4 AC 4x565/72*  | -10.2 | 22.3 | -10.2 | 22.3 |  |  |
| LIQi1858 » | Obj: C420 | 37 seg | 9 AC 4x565/72*  | -10.2 | 22.3 | -10.2 | 22.3 |  |  |
| LIQi1393 » | Obj: C420 | 8 seg  | 8 AC 4x565/72*  | -10.3 | 22.3 | -10.3 | 22.3 |  |  |
| LIQi2350 » | Obj: C420 | 68 seg | 5 AC 4x565/72*  | -10.3 | 22.3 | -10.3 | 22.3 |  |  |
| LIQi2069 » | Obj: C420 | 50 seg | 12 AC 4x565/72* | -10.3 | 22.3 | -10.3 | 22.3 |  |  |
| LIQi1361 » | Obj: C420 | 6 seg  | 8 AC 4x565/72*  | -10.5 | 22.3 | -10.5 | 22.3 |  |  |



|            |           |        |                 |       |      |       |      |  |  |
|------------|-----------|--------|-----------------|-------|------|-------|------|--|--|
| LIQi1851 » | Obj: C420 | 37 seg | 2 AC 4x565/72*  | -10.5 | 22.3 | -10.5 | 22.3 |  |  |
| LIQi1859 » | Obj: C420 | 37 seg | 10 AC 4x565/72* | -10.5 | 22.3 | -10.5 | 22.3 |  |  |
| LIQi1392 » | Obj: C420 | 8 seg  | 7 AC 4x565/72*  | -10.6 | 22.3 | -10.6 | 22.3 |  |  |
| LIQi2318 » | Obj: C420 | 66 seg | 5 AC 4x565/72*  | -10.6 | 22.3 | -10.6 | 22.3 |  |  |
| LIQi1352 » | Obj: C420 | 5 seg  | 15 AC 4x565/72* | -10.6 | 22.3 | -10.6 | 22.3 |  |  |
| LIQi1852 » | Obj: C420 | 37 seg | 3 AC 4x565/72*  | -10.6 | 22.3 | -10.6 | 22.3 |  |  |
| LIQi2132 » | Obj: C420 | 54 seg | 11 AC 4x565/72* | -10.7 | 22.3 | -10.7 | 22.3 |  |  |
| LIQi1360 » | Obj: C420 | 6 seg  | 7 AC 4x565/72*  | -10.8 | 22.3 | -10.8 | 22.3 |  |  |
| LIQi2351 » | Obj: C420 | 68 seg | 6 AC 4x565/72*  | -10.8 | 22.3 | -10.8 | 22.3 |  |  |
| LIQi1860 » | Obj: C420 | 37 seg | 11 AC 4x565/72* | -10.8 | 22.3 | -10.8 | 22.3 |  |  |
| LIQi2070 » | Obj: C420 | 50 seg | 13 AC 4x565/72* | -10.9 | 22.3 | -10.9 | 22.3 |  |  |
| LIQi1417 » | Obj: C420 | 9 seg  | 16 AC 4x565/72* | -10.9 | 22.3 | -10.9 | 22.3 |  |  |
| LIQi1850 » | Obj: C420 | 37 seg | 1 AC 4x565/72*  | -11.0 | 22.3 | -11.0 | 22.3 |  |  |
| LIQi2319 » | Obj: C420 | 66 seg | 6 AC 4x565/72*  | -11.0 | 22.3 | -11.0 | 22.3 |  |  |
| LIQi1391 » | Obj: C420 | 8 seg  | 6 AC 4x565/72*  | -11.1 | 22.3 | -11.1 | 22.3 |  |  |
| LIQi2133 » | Obj: C420 | 54 seg | 12 AC 4x565/72* | -11.1 | 22.3 | -11.1 | 22.3 |  |  |
| LIQi2352 » | Obj: C420 | 68 seg | 7 AC 4x565/72*  | -11.2 | 22.3 | -11.2 | 22.3 |  |  |
| LIQi1351 » | Obj: C420 | 5 seg  | 14 AC 4x565/72* | -11.2 | 22.3 | -11.2 | 22.3 |  |  |
| LIQi2071 » | Obj: C420 | 50 seg | 14 AC 4x565/72* | -11.3 | 22.3 | -11.3 | 22.3 |  |  |
| LIQi1861 » | Obj: C420 | 37 seg | 12 AC 4x565/72* | -11.3 | 22.3 | -11.3 | 22.3 |  |  |
| LIQi1416 » | Obj: C420 | 9 seg  | 15 AC 4x565/72* | -11.3 | 22.3 | -11.3 | 22.3 |  |  |
| LIQi1390 » | Obj: C420 | 8 seg  | 5 AC 4x565/72*  | -11.4 | 22.3 | -11.4 | 22.3 |  |  |
| LIQi1359 » | Obj: C420 | 6 seg  | 6 AC 4x565/72*  | -11.4 | 22.3 | -11.4 | 22.3 |  |  |
| LIQi2320 » | Obj: C420 | 66 seg | 7 AC 4x565/72*  | -11.5 | 22.3 | -11.5 | 22.3 |  |  |
| LIQi1862 » | Obj: C420 | 37 seg | 13 AC 4x565/72* | -11.5 | 22.3 | -11.5 | 22.3 |  |  |
| LIQi2072 » | Obj: C420 | 50 seg | 15 AC 4x565/72* | -11.5 | 22.3 | -11.5 | 22.3 |  |  |
| LIQi1350 » | Obj: C420 | 5 seg  | 13 AC 4x565/72* | -11.6 | 22.3 | -11.6 | 22.3 |  |  |
| LIQi2353 » | Obj: C420 | 68 seg | 8 AC 4x565/72*  | -11.6 | 22.3 | -11.6 | 22.3 |  |  |
| LIQi1358 » | Obj: C420 | 6 seg  | 5 AC 4x565/72*  | -11.7 | 22.3 | -11.7 | 22.3 |  |  |
| LIQi2134 » | Obj: C420 | 54 seg | 13 AC 4x565/72* | -11.7 | 22.3 | -11.7 | 22.3 |  |  |
| LIQi1807 » | Obj: C420 | 34 seg | 6 AC 4x565/72*  | -11.7 | 22.3 | -11.7 | 22.3 |  |  |
| LIQi1808 » | Obj: C420 | 34 seg | 7 AC 4x565/72*  | -11.8 | 22.3 | -11.8 | 22.3 |  |  |
| LIQi1809 » | Obj: C420 | 34 seg | 8 AC 4x565/72*  | -11.9 | 22.3 | -11.9 | 22.3 |  |  |
| LIQi2321 » | Obj: C420 | 66 seg | 8 AC 4x565/72*  | -11.9 | 22.3 | -11.9 | 22.3 |  |  |
| LIQi1806 » | Obj: C420 | 34 seg | 5 AC 4x565/72*  | -11.9 | 22.3 | -11.9 | 22.3 |  |  |
| LIQi2073 » | Obj: C420 | 50 seg | 16 AC 4x565/72* | -11.9 | 22.4 | -11.9 | 22.4 |  |  |
| LIQi1805 » | Obj: C420 | 34 seg | 4 AC 4x565/72*  | -11.9 | 22.4 | -11.9 | 22.4 |  |  |
| LIQi1864 » | Obj: C420 | 37 seg | 15 AC 4x565/72* | -11.9 | 22.4 | -11.9 | 22.4 |  |  |
| LIQi1415 » | Obj: C420 | 9 seg  | 14 AC 4x565/72* | -12.0 | 22.4 | -12.0 | 22.4 |  |  |
| LIQi1863 » | Obj: C420 | 37 seg | 14 AC 4x565/72* | -12.0 | 22.4 | -12.0 | 22.4 |  |  |
| LIQi1389 » | Obj: C420 | 8 seg  | 4 AC 4x565/72*  | -12.0 | 22.4 | -12.0 | 22.4 |  |  |
| LIQi1810 » | Obj: C420 | 34 seg | 9 AC 4x565/72*  | -12.0 | 22.4 | -12.0 | 22.4 |  |  |
| LIQi2135 » | Obj: C420 | 54 seg | 14 AC 4x565/72* | -12.1 | 22.4 | -12.1 | 22.4 |  |  |
| LIQi2354 » | Obj: C420 | 68 seg | 9 AC 4x565/72*  | -12.1 | 22.4 | -12.1 | 22.4 |  |  |
| LIQi1803 » | Obj: C420 | 34 seg | 2 AC 4x565/72*  | -12.2 | 22.4 | -12.2 | 22.4 |  |  |
| LIQi1349 » | Obj: C420 | 5 seg  | 12 AC 4x565/72* | -12.2 | 22.4 | -12.2 | 22.4 |  |  |
| LIQi1804 » | Obj: C420 | 34 seg | 3 AC 4x565/72*  | -12.2 | 22.4 | -12.2 | 22.4 |  |  |
| LIQi1388 » | Obj: C420 | 8 seg  | 3 AC 4x565/72*  | -12.2 | 22.4 | -12.2 | 22.4 |  |  |
| LIQi2322 » | Obj: C420 | 66 seg | 9 AC 4x565/72*  | -12.2 | 22.4 | -12.2 | 22.4 |  |  |
| LIQi1811 » | Obj: C420 | 34 seg | 10 AC 4x565/72* | -12.3 | 22.4 | -12.3 | 22.4 |  |  |
| LIQi1357 » | Obj: C420 | 6 seg  | 4 AC 4x565/72*  | -12.3 | 22.4 | -12.3 | 22.4 |  |  |
| LIQi1414 » | Obj: C420 | 9 seg  | 13 AC 4x565/72* | -12.3 | 22.4 | -12.3 | 22.4 |  |  |
| LIQi1812 » | Obj: C420 | 34 seg | 11 AC 4x565/72* | -12.4 | 22.4 | -12.4 | 22.4 |  |  |
| LIQi2355 » | Obj: C420 | 68 seg | 10 AC 4x565/72* | -12.5 | 22.4 | -12.5 | 22.4 |  |  |
| LIQi1865 » | Obj: C420 | 37 seg | 16 AC 4x565/72* | -12.5 | 22.4 | -12.5 | 22.4 |  |  |





|            |           |        |                 |       |      |       |      |  |  |
|------------|-----------|--------|-----------------|-------|------|-------|------|--|--|
| LIQi2136 » | Obj: C420 | 54 seg | 15 AC 4x565/72* | -12.5 | 22.4 | -12.5 | 22.4 |  |  |
| LIQi2298 » | Obj: C420 | 65 seg | 1 AC 4x565/72*  | -12.5 | 22.4 | -12.5 | 22.4 |  |  |
| LIQi1356 » | Obj: C420 | 6 seg  | 3 AC 4x565/72*  | -12.5 | 22.4 | -12.5 | 22.4 |  |  |
| LIQi1348 » | Obj: C420 | 5 seg  | 11 AC 4x565/72* | -12.5 | 22.4 | -12.5 | 22.4 |  |  |
| LIQi1625 » | Obj: C420 | 22 seg | 16 AC 4x565/72* | -12.6 | 22.4 | -12.6 | 22.4 |  |  |
| LIQi2323 » | Obj: C420 | 66 seg | 10 AC 4x565/72* | -12.6 | 22.4 | -12.6 | 22.4 |  |  |
| LIQi1802 » | Obj: C420 | 34 seg | 1 AC 4x565/72*  | -12.6 | 22.4 | -12.6 | 22.4 |  |  |
| LIQi1387 » | Obj: C420 | 8 seg  | 2 AC 4x565/72*  | -12.7 | 22.4 | -12.7 | 22.4 |  |  |
| LIQi1813 » | Obj: C420 | 34 seg | 12 AC 4x565/72* | -12.8 | 22.4 | -12.8 | 22.4 |  |  |
| LIQi2356 » | Obj: C420 | 68 seg | 11 AC 4x565/72* | -12.8 | 22.4 | -12.8 | 22.4 |  |  |
| LIQi2137 » | Obj: C420 | 54 seg | 16 AC 4x565/72* | -12.8 | 22.4 | -12.8 | 22.4 |  |  |
| LIQi1386 » | Obj: C420 | 8 seg  | 1 AC 4x565/72*  | -12.9 | 22.4 | -12.9 | 22.4 |  |  |
| LIQi2324 » | Obj: C420 | 66 seg | 11 AC 4x565/72* | -12.9 | 22.4 | -12.9 | 22.4 |  |  |
| LIQi1814 » | Obj: C420 | 34 seg | 13 AC 4x565/72* | -13.0 | 22.4 | -13.0 | 22.4 |  |  |
| LIQi1355 » | Obj: C420 | 6 seg  | 2 AC 4x565/72*  | -13.0 | 22.4 | -13.0 | 22.4 |  |  |
| LIQi2299 » | Obj: C420 | 65 seg | 2 AC 4x565/72*  | -13.1 | 22.4 | -13.1 | 22.4 |  |  |
| LIQi1413 » | Obj: C420 | 9 seg  | 12 AC 4x565/72* | -13.1 | 22.4 | -13.1 | 22.4 |  |  |
| LIQi2357 » | Obj: C420 | 68 seg | 12 AC 4x565/72* | -13.1 | 22.4 | -13.1 | 22.4 |  |  |
| LIQi1354 » | Obj: C420 | 6 seg  | 1 AC 4x565/72*  | -13.3 | 22.4 | -13.3 | 22.4 |  |  |
| LIQi1347 » | Obj: C420 | 5 seg  | 10 AC 4x565/72* | -13.3 | 22.4 | -13.3 | 22.4 |  |  |
| LIQi2325 » | Obj: C420 | 66 seg | 12 AC 4x565/72* | -13.3 | 22.4 | -13.3 | 22.4 |  |  |
| LIQi2358 » | Obj: C420 | 68 seg | 13 AC 4x565/72* | -13.3 | 22.4 | -13.3 | 22.4 |  |  |
| LIQi1816 » | Obj: C420 | 34 seg | 15 AC 4x565/72* | -13.3 | 22.4 | -13.3 | 22.4 |  |  |
| LIQi1624 » | Obj: C420 | 22 seg | 15 AC 4x565/72* | -13.4 | 22.4 | -13.4 | 22.4 |  |  |
| LIQi1412 » | Obj: C420 | 9 seg  | 11 AC 4x565/72* | -13.4 | 22.4 | -13.4 | 22.4 |  |  |
| LIQi2362 » | Obj: C420 | 69 seg | 1 AC 4x565/72*  | -13.4 | 22.4 | -13.4 | 22.4 |  |  |
| LIQi1815 » | Obj: C420 | 34 seg | 14 AC 4x565/72* | -13.5 | 22.4 | -13.5 | 22.4 |  |  |
| LIQi2090 » | Obj: C420 | 52 seg | 1 AC 4x565/72*  | -13.5 | 22.4 | -13.5 | 22.4 |  |  |
| LIQi1346 » | Obj: C420 | 5 seg  | 9 AC 4x565/72*  | -13.5 | 22.4 | -13.5 | 22.4 |  |  |
| LIQi2326 » | Obj: C420 | 66 seg | 13 AC 4x565/72* | -13.6 | 22.4 | -13.6 | 22.4 |  |  |
| LIQi2359 » | Obj: C420 | 68 seg | 14 AC 4x565/72* | -13.6 | 22.4 | -13.6 | 22.4 |  |  |
| LIQi2300 » | Obj: C420 | 65 seg | 3 AC 4x565/72*  | -13.6 | 22.4 | -13.6 | 22.4 |  |  |
| LIQi1817 » | Obj: C420 | 34 seg | 16 AC 4x565/72* | -13.8 | 22.4 | -13.8 | 22.4 |  |  |
| LIQi2327 » | Obj: C420 | 66 seg | 14 AC 4x565/72* | -13.8 | 22.4 | -13.8 | 22.4 |  |  |
| LIQi1577 » | Obj: C420 | 19 seg | 16 AC 4x565/72* | -14.0 | 22.4 | -14.0 | 22.4 |  |  |
| LIQi2363 » | Obj: C420 | 69 seg | 2 AC 4x565/72*  | -14.0 | 22.4 | -14.0 | 22.4 |  |  |
| LIQi1411 » | Obj: C420 | 9 seg  | 10 AC 4x565/72* | -14.0 | 22.4 | -14.0 | 22.4 |  |  |
| LIQi2301 » | Obj: C420 | 65 seg | 4 AC 4x565/72*  | -14.1 | 22.4 | -14.1 | 22.4 |  |  |
| LIQi1345 » | Obj: C420 | 5 seg  | 8 AC 4x565/72*  | -14.2 | 22.4 | -14.2 | 22.4 |  |  |
| LIQi2360 » | Obj: C420 | 68 seg | 15 AC 4x565/72* | -14.3 | 22.4 | -14.3 | 22.4 |  |  |
| LIQi1410 » | Obj: C420 | 9 seg  | 9 AC 4x565/72*  | -14.3 | 22.4 | -14.3 | 22.4 |  |  |
| LIQi2328 » | Obj: C420 | 66 seg | 15 AC 4x565/72* | -14.4 | 22.4 | -14.4 | 22.4 |  |  |
| LIQi2091 » | Obj: C420 | 52 seg | 2 AC 4x565/72*  | -14.5 | 22.4 | -14.5 | 22.4 |  |  |
| LIQi2364 » | Obj: C420 | 69 seg | 3 AC 4x565/72*  | -14.5 | 22.4 | -14.5 | 22.4 |  |  |
| LIQi1344 » | Obj: C420 | 5 seg  | 7 AC 4x565/72*  | -14.5 | 22.4 | -14.5 | 22.4 |  |  |
| LIQi2302 » | Obj: C420 | 65 seg | 5 AC 4x565/72*  | -14.5 | 22.4 | -14.5 | 22.4 |  |  |
| LIQi2361 » | Obj: C420 | 68 seg | 16 AC 4x565/72* | -14.5 | 22.4 | -14.5 | 22.4 |  |  |
| LIQi2329 » | Obj: C420 | 66 seg | 16 AC 4x565/72* | -14.7 | 22.4 | -14.7 | 22.4 |  |  |
| LIQi1623 » | Obj: C420 | 22 seg | 14 AC 4x565/72* | -14.7 | 22.4 | -14.7 | 22.4 |  |  |
| LIQi2042 » | Obj: C420 | 49 seg | 1 AC 4x565/72*  | -14.7 | 22.4 | -14.7 | 22.4 |  |  |
| LIQi1576 » | Obj: C420 | 19 seg | 15 AC 4x565/72* | -14.8 | 22.4 | -14.8 | 22.4 |  |  |
| LIQi2303 » | Obj: C420 | 65 seg | 6 AC 4x565/72*  | -15.0 | 22.4 | -15.0 | 22.4 |  |  |
| LIQi2365 » | Obj: C420 | 69 seg | 4 AC 4x565/72*  | -15.0 | 22.4 | -15.0 | 22.4 |  |  |
| LIQi1409 » | Obj: C420 | 9 seg  | 8 AC 4x565/72*  | -15.0 | 22.4 | -15.0 | 22.4 |  |  |
| LIQi1343 » | Obj: C420 | 5 seg  | 6 AC 4x565/72*  | -15.0 | 22.4 | -15.0 | 22.4 |  |  |



|            |           |        |                 |       |             |       |             |  |  |
|------------|-----------|--------|-----------------|-------|-------------|-------|-------------|--|--|
| LIQi2304 » | Obj: C420 | 65 seg | 7 AC 4x565/72*  | -15.3 | 22.4        | -15.3 | 22.4        |  |  |
| LIQi1342 » | Obj: C420 | 5 seg  | 5 AC 4x565/72*  | -15.3 | 22.4        | -15.3 | 22.4        |  |  |
| LIQi1408 » | Obj: C420 | 9 seg  | 7 AC 4x565/72*  | -15.3 | 22.4        | -15.3 | 22.4        |  |  |
| LIQi2366 » | Obj: C420 | 69 seg | 5 AC 4x565/72*  | -15.4 | 22.4        | -15.4 | 22.4        |  |  |
| LIQi1622 » | Obj: C420 | 22 seg | 13 AC 4x565/72* | -15.4 | 22.4        | -15.4 | 22.4        |  |  |
| LIQi2043 » | Obj: C420 | 49 seg | 2 AC 4x565/72*  | -15.6 | 22.4        | -15.6 | 22.4        |  |  |
| LIQi2305 » | Obj: C420 | 65 seg | 8 AC 4x565/72*  | -15.7 | 22.4        | -15.7 | 22.4        |  |  |
| LIQi1341 » | Obj: C420 | 5 seg  | 4 AC 4x565/72*  | -15.8 | 22.4        | -15.8 | 22.4        |  |  |
| LIQi2367 » | Obj: C420 | 69 seg | 6 AC 4x565/72*  | -15.8 | 22.4        | -15.8 | 22.4        |  |  |
| LIQi2092 » | Obj: C420 | 52 seg | 3 AC 4x565/72*  | -15.9 | 22.4        | -15.9 | 22.4        |  |  |
| LIQi1407 » | Obj: C420 | 9 seg  | 6 AC 4x565/72*  | -15.9 | 22.4        | -15.9 | 22.4        |  |  |
| LIQi1575 » | Obj: C420 | 19 seg | 14 AC 4x565/72* | -16.0 | 22.4        | -16.0 | 22.4        |  |  |
| LIQi1340 » | Obj: C420 | 5 seg  | 3 AC 4x565/72*  | -16.1 | 22.4        | -16.1 | 22.4        |  |  |
| LIQi2306 » | Obj: C420 | 65 seg | 9 AC 4x565/72*  | -16.1 | 22.4        | -16.1 | 22.4        |  |  |
| LIQi1406 » | Obj: C420 | 9 seg  | 5 AC 4x565/72*  | -16.1 | 22.5        | -16.1 | 22.5        |  |  |
| n=900      | Summe     |        |                 |       | <b>22.5</b> |       | <b>22.5</b> |  |  |



| IPkt033 »  | 7                                | Variante 1      |      |                  |      | Einstellung: Kopie von "Referenzeinstellung" |  |  |  |
|------------|----------------------------------|-----------------|------|------------------|------|--|--|--|--|
|            |                                  | x = 717222.60 m |      | y = 5404729.99 m |      | z = 445.00 m                                 |  |  |  |
|            |                                  | Tag             |      | Nacht            |      |  |  |  |  |
|            |                                  | Lr,iA           | Lr,A | Lr,iA            | Lr,A |  |  |  |  |
|            |                                  | /dB             | /dB  | /dB              | /dB  |  |  |  |  |
| LIQi1871 » | Obj: C420 38 seg 6 AC 4x565/72*  | 6.3             | 6.3  | 6.3              | 6.3  |  |  |  |  |
| LIQi1870 » | Obj: C420 38 seg 5 AC 4x565/72*  | 6.2             | 9.3  | 6.2              | 9.3  |  |  |  |  |
| LIQi1872 » | Obj: C420 38 seg 7 AC 4x565/72*  | 6.2             | 11.0 | 6.2              | 11.0 |  |  |  |  |
| LIQi1869 » | Obj: C420 38 seg 4 AC 4x565/72*  | 6.1             | 12.2 | 6.1              | 12.2 |  |  |  |  |
| LIQi1873 » | Obj: C420 38 seg 8 AC 4x565/72*  | 6.0             | 13.1 | 6.0              | 13.1 |  |  |  |  |
| LIQi1868 » | Obj: C420 38 seg 3 AC 4x565/72*  | 5.8             | 13.9 | 5.8              | 13.9 |  |  |  |  |
| LIQi1874 » | Obj: C420 38 seg 9 AC 4x565/72*  | 5.7             | 14.5 | 5.7              | 14.5 |  |  |  |  |
| LIQi1867 » | Obj: C420 38 seg 2 AC 4x565/72*  | 5.4             | 15.0 | 5.4              | 15.0 |  |  |  |  |
| LIQi1839 » | Obj: C420 36 seg 6 AC 4x565/72*  | 5.4             | 15.4 | 5.4              | 15.4 |  |  |  |  |
| LIQi1838 » | Obj: C420 36 seg 5 AC 4x565/72*  | 5.3             | 15.8 | 5.3              | 15.8 |  |  |  |  |
| LIQi1840 » | Obj: C420 36 seg 7 AC 4x565/72*  | 5.3             | 16.2 | 5.3              | 16.2 |  |  |  |  |
| LIQi1875 » | Obj: C420 38 seg 10 AC 4x565/72* | 5.3             | 16.6 | 5.3              | 16.6 |  |  |  |  |
| LIQi1837 » | Obj: C420 36 seg 4 AC 4x565/72*  | 5.2             | 16.9 | 5.2              | 16.9 |  |  |  |  |
| LIQi1841 » | Obj: C420 36 seg 8 AC 4x565/72*  | 5.1             | 17.1 | 5.1              | 17.1 |  |  |  |  |
| LIQi1866 » | Obj: C420 38 seg 1 AC 4x565/72*  | 5.0             | 17.4 | 5.0              | 17.4 |  |  |  |  |
| LIQi1836 » | Obj: C420 36 seg 3 AC 4x565/72*  | 4.9             | 17.6 | 4.9              | 17.6 |  |  |  |  |
| LIQi1842 » | Obj: C420 36 seg 9 AC 4x565/72*  | 4.8             | 17.9 | 4.8              | 17.9 |  |  |  |  |
| LIQi1876 » | Obj: C420 38 seg 11 AC 4x565/72* | 4.8             | 18.1 | 4.8              | 18.1 |  |  |  |  |
| LIQi1835 » | Obj: C420 36 seg 2 AC 4x565/72*  | 4.7             | 18.3 | 4.7              | 18.3 |  |  |  |  |
| LIQi1843 » | Obj: C420 36 seg 10 AC 4x565/72* | 4.5             | 18.4 | 4.5              | 18.4 |  |  |  |  |
| LIQi1834 » | Obj: C420 36 seg 1 AC 4x565/72*  | 4.3             | 18.6 | 4.3              | 18.6 |  |  |  |  |
| LIQi1877 » | Obj: C420 38 seg 12 AC 4x565/72* | 4.3             | 18.8 | 4.3              | 18.8 |  |  |  |  |
| LIQi1844 » | Obj: C420 36 seg 11 AC 4x565/72* | 4.1             | 18.9 | 4.1              | 18.9 |  |  |  |  |
| LIQi1878 » | Obj: C420 38 seg 13 AC 4x565/72* | 3.8             | 19.0 | 3.8              | 19.0 |  |  |  |  |
| LIQi1845 » | Obj: C420 36 seg 12 AC 4x565/72* | 3.6             | 19.2 | 3.6              | 19.2 |  |  |  |  |
| LIQi1641 » | Obj: C420 23 seg 16 AC 4x565/72* | 3.4             | 19.3 | 3.4              | 19.3 |  |  |  |  |
| LIQi1879 » | Obj: C420 38 seg 14 AC 4x565/72* | 3.2             | 19.4 | 3.2              | 19.4 |  |  |  |  |
| LIQi1846 » | Obj: C420 36 seg 13 AC 4x565/72* | 3.1             | 19.5 | 3.1              | 19.5 |  |  |  |  |
| LIQi1880 » | Obj: C420 38 seg 15 AC 4x565/72* | 2.7             | 19.6 | 2.7              | 19.6 |  |  |  |  |
| LIQi1609 » | Obj: C420 21 seg 16 AC 4x565/72* | 2.7             | 19.7 | 2.7              | 19.7 |  |  |  |  |
| LIQi1847 » | Obj: C420 36 seg 14 AC 4x565/72* | 2.6             | 19.7 | 2.6              | 19.7 |  |  |  |  |
| LIQi1640 » | Obj: C420 23 seg 15 AC 4x565/72* | 2.6             | 19.8 | 2.6              | 19.8 |  |  |  |  |
| LIQi1881 » | Obj: C420 38 seg 16 AC 4x565/72* | 2.2             | 19.9 | 2.2              | 19.9 |  |  |  |  |
| LIQi1848 » | Obj: C420 36 seg 15 AC 4x565/72* | 2.2             | 20.0 | 2.2              | 20.0 |  |  |  |  |
| LIQi1608 » | Obj: C420 21 seg 15 AC 4x565/72* | 1.9             | 20.0 | 1.9              | 20.0 |  |  |  |  |
| LIQi1639 » | Obj: C420 23 seg 14 AC 4x565/72* | 1.9             | 20.1 | 1.9              | 20.1 |  |  |  |  |
| LIQi1849 » | Obj: C420 36 seg 16 AC 4x565/72* | 1.7             | 20.2 | 1.7              | 20.2 |  |  |  |  |
| LIQi2106 » | Obj: C420 53 seg 1 AC 4x565/72*  | 1.4             | 20.2 | 1.4              | 20.2 |  |  |  |  |
| LIQi1887 » | Obj: C420 39 seg 6 AC 4x565/72*  | 1.3             | 20.3 | 1.3              | 20.3 |  |  |  |  |
| LIQi1607 » | Obj: C420 21 seg 14 AC 4x565/72* | 1.3             | 20.3 | 1.3              | 20.3 |  |  |  |  |
| LIQi1886 » | Obj: C420 39 seg 5 AC 4x565/72*  | 1.2             | 20.4 | 1.2              | 20.4 |  |  |  |  |
| LIQi1888 » | Obj: C420 39 seg 7 AC 4x565/72*  | 1.2             | 20.4 | 1.2              | 20.4 |  |  |  |  |
| LIQi1638 » | Obj: C420 23 seg 13 AC 4x565/72* | 1.1             | 20.5 | 1.1              | 20.5 |  |  |  |  |
| LIQi1885 » | Obj: C420 39 seg 4 AC 4x565/72*  | 1.1             | 20.5 | 1.1              | 20.5 |  |  |  |  |
| LIQi1889 » | Obj: C420 39 seg 8 AC 4x565/72*  | 1.0             | 20.6 | 1.0              | 20.6 |  |  |  |  |
| LIQi1823 » | Obj: C420 35 seg 6 AC 4x565/72*  | 1.0             | 20.6 | 1.0              | 20.6 |  |  |  |  |
| LIQi1822 » | Obj: C420 35 seg 5 AC 4x565/72*  | 0.9             | 20.7 | 0.9              | 20.7 |  |  |  |  |
| LIQi1824 » | Obj: C420 35 seg 7 AC 4x565/72*  | 0.9             | 20.7 | 0.9              | 20.7 |  |  |  |  |
| LIQi2074 » | Obj: C420 51 seg 1 AC 4x565/72*  | 0.9             | 20.8 | 0.9              | 20.8 |  |  |  |  |
| LIQi1821 » | Obj: C420 35 seg 4 AC 4x565/72*  | 0.8             | 20.8 | 0.8              | 20.8 |  |  |  |  |
| LIQi1884 » | Obj: C420 39 seg 3 AC 4x565/72*  | 0.8             | 20.9 | 0.8              | 20.9 |  |  |  |  |



|            |           |        |                 |      |      |      |      |  |  |
|------------|-----------|--------|-----------------|------|------|------|------|--|--|
| LIQi1825 » | Obj: C420 | 35 seg | 8 AC 4x565/72*  | 0.7  | 20.9 | 0.7  | 20.9 |  |  |
| LIQi1890 » | Obj: C420 | 39 seg | 9 AC 4x565/72*  | 0.7  | 20.9 | 0.7  | 20.9 |  |  |
| LIQi1820 » | Obj: C420 | 35 seg | 3 AC 4x565/72*  | 0.6  | 21.0 | 0.6  | 21.0 |  |  |
| LIQi1637 » | Obj: C420 | 23 seg | 12 AC 4x565/72* | 0.5  | 21.0 | 0.5  | 21.0 |  |  |
| LIQi1606 » | Obj: C420 | 21 seg | 13 AC 4x565/72* | 0.5  | 21.1 | 0.5  | 21.1 |  |  |
| LIQi1826 » | Obj: C420 | 35 seg | 9 AC 4x565/72*  | 0.5  | 21.1 | 0.5  | 21.1 |  |  |
| LIQi2107 » | Obj: C420 | 53 seg | 2 AC 4x565/72*  | 0.4  | 21.1 | 0.4  | 21.1 |  |  |
| LIQi1883 » | Obj: C420 | 39 seg | 2 AC 4x565/72*  | 0.4  | 21.2 | 0.4  | 21.2 |  |  |
| LIQi1819 » | Obj: C420 | 35 seg | 2 AC 4x565/72*  | 0.3  | 21.2 | 0.3  | 21.2 |  |  |
| LIQi1891 » | Obj: C420 | 39 seg | 10 AC 4x565/72* | 0.3  | 21.2 | 0.3  | 21.2 |  |  |
| LIQi1827 » | Obj: C420 | 35 seg | 10 AC 4x565/72* | 0.1  | 21.3 | 0.1  | 21.3 |  |  |
| LIQi1605 » | Obj: C420 | 21 seg | 12 AC 4x565/72* | 0.0  | 21.3 | 0.0  | 21.3 |  |  |
| LIQi2075 » | Obj: C420 | 51 seg | 2 AC 4x565/72*  | -0.1 | 21.3 | -0.1 | 21.3 |  |  |
| LIQi1882 » | Obj: C420 | 39 seg | 1 AC 4x565/72*  | -0.1 | 21.4 | -0.1 | 21.4 |  |  |
| LIQi1818 » | Obj: C420 | 35 seg | 1 AC 4x565/72*  | -0.1 | 21.4 | -0.1 | 21.4 |  |  |
| LIQi1636 » | Obj: C420 | 23 seg | 11 AC 4x565/72* | -0.2 | 21.4 | -0.2 | 21.4 |  |  |
| LIQi1892 » | Obj: C420 | 39 seg | 11 AC 4x565/72* | -0.2 | 21.5 | -0.2 | 21.5 |  |  |
| LIQi1828 » | Obj: C420 | 35 seg | 11 AC 4x565/72* | -0.3 | 21.5 | -0.3 | 21.5 |  |  |
| LIQi2108 » | Obj: C420 | 53 seg | 3 AC 4x565/72*  | -0.6 | 21.5 | -0.6 | 21.5 |  |  |
| LIQi1635 » | Obj: C420 | 23 seg | 10 AC 4x565/72* | -0.6 | 21.5 | -0.6 | 21.5 |  |  |
| LIQi1604 » | Obj: C420 | 21 seg | 11 AC 4x565/72* | -0.6 | 21.6 | -0.6 | 21.6 |  |  |
| LIQi1829 » | Obj: C420 | 35 seg | 12 AC 4x565/72* | -0.7 | 21.6 | -0.7 | 21.6 |  |  |
| LIQi1893 » | Obj: C420 | 39 seg | 12 AC 4x565/72* | -0.8 | 21.6 | -0.8 | 21.6 |  |  |
| LIQi2076 » | Obj: C420 | 51 seg | 3 AC 4x565/72*  | -1.0 | 21.6 | -1.0 | 21.6 |  |  |
| LIQi1603 » | Obj: C420 | 21 seg | 10 AC 4x565/72* | -1.1 | 21.7 | -1.1 | 21.7 |  |  |
| LIQi1830 » | Obj: C420 | 35 seg | 13 AC 4x565/72* | -1.2 | 21.7 | -1.2 | 21.7 |  |  |
| LIQi1634 » | Obj: C420 | 23 seg | 9 AC 4x565/72*  | -1.2 | 21.7 | -1.2 | 21.7 |  |  |
| LIQi1894 » | Obj: C420 | 39 seg | 13 AC 4x565/72* | -1.3 | 21.7 | -1.3 | 21.7 |  |  |
| LIQi2109 » | Obj: C420 | 53 seg | 4 AC 4x565/72*  | -1.4 | 21.8 | -1.4 | 21.8 |  |  |
| LIQi1593 » | Obj: C420 | 20 seg | 16 AC 4x565/72* | -1.6 | 21.8 | -1.6 | 21.8 |  |  |
| LIQi1633 » | Obj: C420 | 23 seg | 8 AC 4x565/72*  | -1.6 | 21.8 | -1.6 | 21.8 |  |  |
| LIQi1602 » | Obj: C420 | 21 seg | 9 AC 4x565/72*  | -1.7 | 21.8 | -1.7 | 21.8 |  |  |
| LIQi1831 » | Obj: C420 | 35 seg | 14 AC 4x565/72* | -1.7 | 21.8 | -1.7 | 21.8 |  |  |
| LIQi1657 » | Obj: C420 | 24 seg | 16 AC 4x565/72* | -1.8 | 21.8 | -1.8 | 21.8 |  |  |
| LIQi2077 » | Obj: C420 | 51 seg | 4 AC 4x565/72*  | -1.8 | 21.9 | -1.8 | 21.9 |  |  |
| LIQi1895 » | Obj: C420 | 39 seg | 14 AC 4x565/72* | -1.9 | 21.9 | -1.9 | 21.9 |  |  |
| LIQi1601 » | Obj: C420 | 21 seg | 8 AC 4x565/72*  | -2.0 | 21.9 | -2.0 | 21.9 |  |  |
| LIQi1632 » | Obj: C420 | 23 seg | 7 AC 4x565/72*  | -2.2 | 21.9 | -2.2 | 21.9 |  |  |
| LIQi1832 » | Obj: C420 | 35 seg | 15 AC 4x565/72* | -2.2 | 21.9 | -2.2 | 21.9 |  |  |
| LIQi2110 » | Obj: C420 | 53 seg | 5 AC 4x565/72*  | -2.2 | 22.0 | -2.2 | 22.0 |  |  |
| LIQi1592 » | Obj: C420 | 20 seg | 15 AC 4x565/72* | -2.4 | 22.0 | -2.4 | 22.0 |  |  |
| LIQi1631 » | Obj: C420 | 23 seg | 6 AC 4x565/72*  | -2.4 | 22.0 | -2.4 | 22.0 |  |  |
| LIQi1896 » | Obj: C420 | 39 seg | 15 AC 4x565/72* | -2.5 | 22.0 | -2.5 | 22.0 |  |  |
| LIQi1600 » | Obj: C420 | 21 seg | 7 AC 4x565/72*  | -2.5 | 22.0 | -2.5 | 22.0 |  |  |
| LIQi2078 » | Obj: C420 | 51 seg | 5 AC 4x565/72*  | -2.6 | 22.0 | -2.6 | 22.0 |  |  |
| LIQi1656 » | Obj: C420 | 24 seg | 15 AC 4x565/72* | -2.7 | 22.0 | -2.7 | 22.0 |  |  |
| LIQi1833 » | Obj: C420 | 35 seg | 16 AC 4x565/72* | -2.7 | 22.1 | -2.7 | 22.1 |  |  |
| LIQi1599 » | Obj: C420 | 21 seg | 6 AC 4x565/72*  | -2.8 | 22.1 | -2.8 | 22.1 |  |  |
| LIQi1591 » | Obj: C420 | 20 seg | 14 AC 4x565/72* | -2.9 | 22.1 | -2.9 | 22.1 |  |  |
| LIQi1630 » | Obj: C420 | 23 seg | 5 AC 4x565/72*  | -2.9 | 22.1 | -2.9 | 22.1 |  |  |
| LIQi2111 » | Obj: C420 | 53 seg | 6 AC 4x565/72*  | -2.9 | 22.1 | -2.9 | 22.1 |  |  |
| LIQi1897 » | Obj: C420 | 39 seg | 16 AC 4x565/72* | -3.0 | 22.1 | -3.0 | 22.1 |  |  |
| LIQi1629 » | Obj: C420 | 23 seg | 4 AC 4x565/72*  | -3.2 | 22.1 | -3.2 | 22.1 |  |  |
| LIQi1655 » | Obj: C420 | 24 seg | 14 AC 4x565/72* | -3.3 | 22.2 | -3.3 | 22.2 |  |  |
| LIQi2079 » | Obj: C420 | 51 seg | 6 AC 4x565/72*  | -3.3 | 22.2 | -3.3 | 22.2 |  |  |



|            |           |        |                 |      |      |      |      |  |  |
|------------|-----------|--------|-----------------|------|------|------|------|--|--|
| LIQi1598 » | Obj: C420 | 21 seg | 5 AC 4x565/72*  | -3.3 | 22.2 | -3.3 | 22.2 |  |  |
| LIQi1597 » | Obj: C420 | 21 seg | 4 AC 4x565/72*  | -3.4 | 22.2 | -3.4 | 22.2 |  |  |
| LIQi2058 » | Obj: C420 | 50 seg | 1 AC 4x565/72*  | -3.5 | 22.2 | -3.5 | 22.2 |  |  |
| LIQi2112 » | Obj: C420 | 53 seg | 7 AC 4x565/72*  | -3.6 | 22.2 | -3.6 | 22.2 |  |  |
| LIQi1628 » | Obj: C420 | 23 seg | 3 AC 4x565/72*  | -3.6 | 22.2 | -3.6 | 22.2 |  |  |
| LIQi1590 » | Obj: C420 | 20 seg | 13 AC 4x565/72* | -3.6 | 22.2 | -3.6 | 22.2 |  |  |
| LIQi1627 » | Obj: C420 | 23 seg | 2 AC 4x565/72*  | -3.7 | 22.2 | -3.7 | 22.2 |  |  |
| LIQi1596 » | Obj: C420 | 21 seg | 3 AC 4x565/72*  | -3.9 | 22.3 | -3.9 | 22.3 |  |  |
| LIQi2122 » | Obj: C420 | 54 seg | 1 AC 4x565/72*  | -3.9 | 22.3 | -3.9 | 22.3 |  |  |
| LIQi2080 » | Obj: C420 | 51 seg | 7 AC 4x565/72*  | -3.9 | 22.3 | -3.9 | 22.3 |  |  |
| LIQi1595 » | Obj: C420 | 21 seg | 2 AC 4x565/72*  | -4.0 | 22.3 | -4.0 | 22.3 |  |  |
| LIQi1654 » | Obj: C420 | 24 seg | 13 AC 4x565/72* | -4.1 | 22.3 | -4.1 | 22.3 |  |  |
| LIQi1589 » | Obj: C420 | 20 seg | 12 AC 4x565/72* | -4.1 | 22.3 | -4.1 | 22.3 |  |  |
| LIQi1626 » | Obj: C420 | 23 seg | 1 AC 4x565/72*  | -4.1 | 22.3 | -4.1 | 22.3 |  |  |
| LIQi2113 » | Obj: C420 | 53 seg | 8 AC 4x565/72*  | -4.2 | 22.3 | -4.2 | 22.3 |  |  |
| LIQi1594 » | Obj: C420 | 21 seg | 1 AC 4x565/72*  | -4.4 | 22.3 | -4.4 | 22.3 |  |  |
| LIQi2059 » | Obj: C420 | 50 seg | 2 AC 4x565/72*  | -4.4 | 22.3 | -4.4 | 22.3 |  |  |
| LIQi1653 » | Obj: C420 | 24 seg | 12 AC 4x565/72* | -4.5 | 22.4 | -4.5 | 22.4 |  |  |
| LIQi2081 » | Obj: C420 | 51 seg | 8 AC 4x565/72*  | -4.5 | 22.4 | -4.5 | 22.4 |  |  |
| LIQi1588 » | Obj: C420 | 20 seg | 11 AC 4x565/72* | -4.8 | 22.4 | -4.8 | 22.4 |  |  |
| LIQi2114 » | Obj: C420 | 53 seg | 9 AC 4x565/72*  | -4.8 | 22.4 | -4.8 | 22.4 |  |  |
| LIQi2123 » | Obj: C420 | 54 seg | 2 AC 4x565/72*  | -4.9 | 22.4 | -4.9 | 22.4 |  |  |
| LIQi2082 » | Obj: C420 | 51 seg | 9 AC 4x565/72*  | -5.1 | 22.4 | -5.1 | 22.4 |  |  |
| LIQi1587 » | Obj: C420 | 20 seg | 10 AC 4x565/72* | -5.2 | 22.4 | -5.2 | 22.4 |  |  |
| LIQi2060 » | Obj: C420 | 50 seg | 3 AC 4x565/72*  | -5.2 | 22.4 | -5.2 | 22.4 |  |  |
| LIQi1652 » | Obj: C420 | 24 seg | 11 AC 4x565/72* | -5.2 | 22.4 | -5.2 | 22.4 |  |  |
| LIQi2115 » | Obj: C420 | 53 seg | 10 AC 4x565/72* | -5.3 | 22.4 | -5.3 | 22.4 |  |  |
| LIQi1401 » | Obj: C420 | 8 seg  | 16 AC 4x565/72* | -5.4 | 22.4 | -5.4 | 22.4 |  |  |
| LIQi1369 » | Obj: C420 | 6 seg  | 16 AC 4x565/72* | -5.6 | 22.4 | -5.6 | 22.4 |  |  |
| LIQi2083 » | Obj: C420 | 51 seg | 10 AC 4x565/72* | -5.6 | 22.4 | -5.6 | 22.4 |  |  |
| LIQi2124 » | Obj: C420 | 54 seg | 3 AC 4x565/72*  | -5.7 | 22.5 | -5.7 | 22.5 |  |  |
| LIQi1651 » | Obj: C420 | 24 seg | 10 AC 4x565/72* | -5.7 | 22.5 | -5.7 | 22.5 |  |  |
| LIQi1586 » | Obj: C420 | 20 seg | 9 AC 4x565/72*  | -5.8 | 22.5 | -5.8 | 22.5 |  |  |
| LIQi2116 » | Obj: C420 | 53 seg | 11 AC 4x565/72* | -5.8 | 22.5 | -5.8 | 22.5 |  |  |
| LIQi1400 » | Obj: C420 | 8 seg  | 15 AC 4x565/72* | -5.8 | 22.5 | -5.8 | 22.5 |  |  |
| LIQi1368 » | Obj: C420 | 6 seg  | 15 AC 4x565/72* | -6.0 | 22.5 | -6.0 | 22.5 |  |  |
| LIQi2061 » | Obj: C420 | 50 seg | 4 AC 4x565/72*  | -6.0 | 22.5 | -6.0 | 22.5 |  |  |
| LIQi1585 » | Obj: C420 | 20 seg | 8 AC 4x565/72*  | -6.0 | 22.5 | -6.0 | 22.5 |  |  |
| LIQi2084 » | Obj: C420 | 51 seg | 11 AC 4x565/72* | -6.1 | 22.5 | -6.1 | 22.5 |  |  |
| LIQi2117 » | Obj: C420 | 53 seg | 12 AC 4x565/72* | -6.3 | 22.5 | -6.3 | 22.5 |  |  |
| LIQi1650 » | Obj: C420 | 24 seg | 9 AC 4x565/72*  | -6.3 | 22.5 | -6.3 | 22.5 |  |  |
| LIQi2125 » | Obj: C420 | 54 seg | 4 AC 4x565/72*  | -6.5 | 22.5 | -6.5 | 22.5 |  |  |
| LIQi1584 » | Obj: C420 | 20 seg | 7 AC 4x565/72*  | -6.6 | 22.5 | -6.6 | 22.5 |  |  |
| LIQi2085 » | Obj: C420 | 51 seg | 12 AC 4x565/72* | -6.6 | 22.5 | -6.6 | 22.5 |  |  |
| LIQi2062 » | Obj: C420 | 50 seg | 5 AC 4x565/72*  | -6.7 | 22.5 | -6.7 | 22.5 |  |  |
| LIQi2118 » | Obj: C420 | 53 seg | 13 AC 4x565/72* | -6.7 | 22.5 | -6.7 | 22.5 |  |  |
| LIQi1399 » | Obj: C420 | 8 seg  | 14 AC 4x565/72* | -6.7 | 22.5 | -6.7 | 22.5 |  |  |
| LIQi1649 » | Obj: C420 | 24 seg | 8 AC 4x565/72*  | -6.7 | 22.6 | -6.7 | 22.6 |  |  |
| LIQi1583 » | Obj: C420 | 20 seg | 6 AC 4x565/72*  | -6.9 | 22.6 | -6.9 | 22.6 |  |  |
| LIQi1367 » | Obj: C420 | 6 seg  | 14 AC 4x565/72* | -7.0 | 22.6 | -7.0 | 22.6 |  |  |
| LIQi2086 » | Obj: C420 | 51 seg | 13 AC 4x565/72* | -7.0 | 22.6 | -7.0 | 22.6 |  |  |
| LIQi1398 » | Obj: C420 | 8 seg  | 13 AC 4x565/72* | -7.1 | 22.6 | -7.1 | 22.6 |  |  |
| LIQi2119 » | Obj: C420 | 53 seg | 14 AC 4x565/72* | -7.1 | 22.6 | -7.1 | 22.6 |  |  |
| LIQi2126 » | Obj: C420 | 54 seg | 5 AC 4x565/72*  | -7.2 | 22.6 | -7.2 | 22.6 |  |  |
| LIQi1648 » | Obj: C420 | 24 seg | 7 AC 4x565/72*  | -7.3 | 22.6 | -7.3 | 22.6 |  |  |



|            |           |        |                 |       |      |       |      |  |
|------------|-----------|--------|-----------------|-------|------|-------|------|--|
| LIQi1366 » | Obj: C420 | 6 seg  | 13 AC 4x565/72* | -7.3  | 22.6 | -7.3  | 22.6 |  |
| LIQi1582 » | Obj: C420 | 20 seg | 5 AC 4x565/72*  | -7.4  | 22.6 | -7.4  | 22.6 |  |
| LIQi2063 » | Obj: C420 | 50 seg | 6 AC 4x565/72*  | -7.4  | 22.6 | -7.4  | 22.6 |  |
| LIQi2120 » | Obj: C420 | 53 seg | 15 AC 4x565/72* | -7.4  | 22.6 | -7.4  | 22.6 |  |
| LIQi1581 » | Obj: C420 | 20 seg | 4 AC 4x565/72*  | -7.4  | 22.6 | -7.4  | 22.6 |  |
| LIQi2087 » | Obj: C420 | 51 seg | 14 AC 4x565/72* | -7.4  | 22.6 | -7.4  | 22.6 |  |
| LIQi1647 » | Obj: C420 | 24 seg | 6 AC 4x565/72*  | -7.4  | 22.6 | -7.4  | 22.6 |  |
| LIQi2088 » | Obj: C420 | 51 seg | 15 AC 4x565/72* | -7.7  | 22.6 | -7.7  | 22.6 |  |
| LIQi1397 » | Obj: C420 | 8 seg  | 12 AC 4x565/72* | -7.8  | 22.6 | -7.8  | 22.6 |  |
| LIQi2121 » | Obj: C420 | 53 seg | 16 AC 4x565/72* | -7.8  | 22.6 | -7.8  | 22.6 |  |
| LIQi1580 » | Obj: C420 | 20 seg | 3 AC 4x565/72*  | -7.8  | 22.6 | -7.8  | 22.6 |  |
| LIQi2064 » | Obj: C420 | 50 seg | 7 AC 4x565/72*  | -7.9  | 22.6 | -7.9  | 22.6 |  |
| LIQi1579 » | Obj: C420 | 20 seg | 2 AC 4x565/72*  | -7.9  | 22.6 | -7.9  | 22.6 |  |
| LIQi2127 » | Obj: C420 | 54 seg | 6 AC 4x565/72*  | -7.9  | 22.6 | -7.9  | 22.6 |  |
| LIQi1646 » | Obj: C420 | 24 seg | 5 AC 4x565/72*  | -7.9  | 22.6 | -7.9  | 22.6 |  |
| LIQi2089 » | Obj: C420 | 51 seg | 16 AC 4x565/72* | -8.0  | 22.7 | -8.0  | 22.7 |  |
| LIQi1365 » | Obj: C420 | 6 seg  | 12 AC 4x565/72* | -8.1  | 22.7 | -8.1  | 22.7 |  |
| LIQi1396 » | Obj: C420 | 8 seg  | 11 AC 4x565/72* | -8.1  | 22.7 | -8.1  | 22.7 |  |
| LIQi1645 » | Obj: C420 | 24 seg | 4 AC 4x565/72*  | -8.1  | 22.7 | -8.1  | 22.7 |  |
| LIQi1578 » | Obj: C420 | 20 seg | 1 AC 4x565/72*  | -8.3  | 22.7 | -8.3  | 22.7 |  |
| LIQi2346 » | Obj: C420 | 68 seg | 1 AC 4x565/72*  | -8.4  | 22.7 | -8.4  | 22.7 |  |
| LIQi1364 » | Obj: C420 | 6 seg  | 11 AC 4x565/72* | -8.4  | 22.7 | -8.4  | 22.7 |  |
| LIQi2065 » | Obj: C420 | 50 seg | 8 AC 4x565/72*  | -8.5  | 22.7 | -8.5  | 22.7 |  |
| LIQi2128 » | Obj: C420 | 54 seg | 7 AC 4x565/72*  | -8.5  | 22.7 | -8.5  | 22.7 |  |
| LIQi1644 » | Obj: C420 | 24 seg | 3 AC 4x565/72*  | -8.6  | 22.7 | -8.6  | 22.7 |  |
| LIQi2314 » | Obj: C420 | 66 seg | 1 AC 4x565/72*  | -8.6  | 22.7 | -8.6  | 22.7 |  |
| LIQi1643 » | Obj: C420 | 24 seg | 2 AC 4x565/72*  | -8.7  | 22.7 | -8.7  | 22.7 |  |
| LIQi1395 » | Obj: C420 | 8 seg  | 10 AC 4x565/72* | -8.8  | 22.7 | -8.8  | 22.7 |  |
| LIQi2347 » | Obj: C420 | 68 seg | 2 AC 4x565/72*  | -8.9  | 22.7 | -8.9  | 22.7 |  |
| LIQi1642 » | Obj: C420 | 24 seg | 1 AC 4x565/72*  | -9.1  | 22.7 | -9.1  | 22.7 |  |
| LIQi1855 » | Obj: C420 | 37 seg | 6 AC 4x565/72*  | -9.1  | 22.7 | -9.1  | 22.7 |  |
| LIQi1394 » | Obj: C420 | 8 seg  | 9 AC 4x565/72*  | -9.1  | 22.7 | -9.1  | 22.7 |  |
| LIQi2129 » | Obj: C420 | 54 seg | 8 AC 4x565/72*  | -9.1  | 22.7 | -9.1  | 22.7 |  |
| LIQi1363 » | Obj: C420 | 6 seg  | 10 AC 4x565/72* | -9.1  | 22.7 | -9.1  | 22.7 |  |
| LIQi2066 » | Obj: C420 | 50 seg | 9 AC 4x565/72*  | -9.2  | 22.7 | -9.2  | 22.7 |  |
| LIQi1854 » | Obj: C420 | 37 seg | 5 AC 4x565/72*  | -9.2  | 22.7 | -9.2  | 22.7 |  |
| LIQi1853 » | Obj: C420 | 37 seg | 4 AC 4x565/72*  | -9.2  | 22.7 | -9.2  | 22.7 |  |
| LIQi2315 » | Obj: C420 | 66 seg | 2 AC 4x565/72*  | -9.2  | 22.7 | -9.2  | 22.7 |  |
| LIQi1856 » | Obj: C420 | 37 seg | 7 AC 4x565/72*  | -9.3  | 22.7 | -9.3  | 22.7 |  |
| LIQi1851 » | Obj: C420 | 37 seg | 2 AC 4x565/72*  | -9.4  | 22.7 | -9.4  | 22.7 |  |
| LIQi1362 » | Obj: C420 | 6 seg  | 9 AC 4x565/72*  | -9.4  | 22.7 | -9.4  | 22.7 |  |
| LIQi1857 » | Obj: C420 | 37 seg | 8 AC 4x565/72*  | -9.5  | 22.7 | -9.5  | 22.7 |  |
| LIQi1852 » | Obj: C420 | 37 seg | 3 AC 4x565/72*  | -9.5  | 22.7 | -9.5  | 22.7 |  |
| LIQi2348 » | Obj: C420 | 68 seg | 3 AC 4x565/72*  | -9.6  | 22.7 | -9.6  | 22.7 |  |
| LIQi1353 » | Obj: C420 | 5 seg  | 16 AC 4x565/72* | -9.7  | 22.7 | -9.7  | 22.7 |  |
| LIQi2067 » | Obj: C420 | 50 seg | 10 AC 4x565/72* | -9.7  | 22.7 | -9.7  | 22.7 |  |
| LIQi2130 » | Obj: C420 | 54 seg | 9 AC 4x565/72*  | -9.8  | 22.7 | -9.8  | 22.7 |  |
| LIQi1858 » | Obj: C420 | 37 seg | 9 AC 4x565/72*  | -9.8  | 22.7 | -9.8  | 22.7 |  |
| LIQi1393 » | Obj: C420 | 8 seg  | 8 AC 4x565/72*  | -9.8  | 22.7 | -9.8  | 22.7 |  |
| LIQi2316 » | Obj: C420 | 66 seg | 3 AC 4x565/72*  | -9.8  | 22.8 | -9.8  | 22.8 |  |
| LIQi1850 » | Obj: C420 | 37 seg | 1 AC 4x565/72*  | -9.9  | 22.8 | -9.9  | 22.8 |  |
| LIQi1361 » | Obj: C420 | 6 seg  | 8 AC 4x565/72*  | -10.0 | 22.8 | -10.0 | 22.8 |  |
| LIQi1352 » | Obj: C420 | 5 seg  | 15 AC 4x565/72* | -10.1 | 22.8 | -10.1 | 22.8 |  |
| LIQi2349 » | Obj: C420 | 68 seg | 4 AC 4x565/72*  | -10.1 | 22.8 | -10.1 | 22.8 |  |
| LIQi1392 » | Obj: C420 | 8 seg  | 7 AC 4x565/72*  | -10.1 | 22.8 | -10.1 | 22.8 |  |



|            |           |        |                 |       |             |       |             |  |  |
|------------|-----------|--------|-----------------|-------|-------------|-------|-------------|--|--|
| LIQi2068 » | Obj: C420 | 50 seg | 11 AC 4x565/72* | -10.2 | 22.8        | -10.2 | 22.8        |  |  |
| LIQi1859 » | Obj: C420 | 37 seg | 10 AC 4x565/72* | -10.3 | 22.8        | -10.3 | 22.8        |  |  |
| LIQi1360 » | Obj: C420 | 6 seg  | 7 AC 4x565/72*  | -10.3 | 22.8        | -10.3 | 22.8        |  |  |
| LIQi2317 » | Obj: C420 | 66 seg | 4 AC 4x565/72*  | -10.4 | 22.8        | -10.4 | 22.8        |  |  |
| LIQi1417 » | Obj: C420 | 9 seg  | 16 AC 4x565/72* | -10.4 | 22.8        | -10.4 | 22.8        |  |  |
| LIQi2131 » | Obj: C420 | 54 seg | 10 AC 4x565/72* | -10.4 | 22.8        | -10.4 | 22.8        |  |  |
| LIQi2350 » | Obj: C420 | 68 seg | 5 AC 4x565/72*  | -10.6 | 22.8        | -10.6 | 22.8        |  |  |
| LIQi2069 » | Obj: C420 | 50 seg | 12 AC 4x565/72* | -10.6 | 22.8        | -10.6 | 22.8        |  |  |
| LIQi1860 » | Obj: C420 | 37 seg | 11 AC 4x565/72* | -10.7 | 22.8        | -10.7 | 22.8        |  |  |
| LIQi1391 » | Obj: C420 | 8 seg  | 6 AC 4x565/72*  | -10.7 | 22.8        | -10.7 | 22.8        |  |  |
| LIQi1351 » | Obj: C420 | 5 seg  | 14 AC 4x565/72* | -10.7 | 22.8        | -10.7 | 22.8        |  |  |
| LIQi1416 » | Obj: C420 | 9 seg  | 15 AC 4x565/72* | -10.8 | 22.8        | -10.8 | 22.8        |  |  |
| LIQi2318 » | Obj: C420 | 66 seg | 5 AC 4x565/72*  | -10.8 | 22.8        | -10.8 | 22.8        |  |  |
| LIQi1390 » | Obj: C420 | 8 seg  | 5 AC 4x565/72*  | -11.0 | 22.8        | -11.0 | 22.8        |  |  |
| LIQi2132 » | Obj: C420 | 54 seg | 11 AC 4x565/72* | -11.0 | 22.8        | -11.0 | 22.8        |  |  |
| LIQi1807 » | Obj: C420 | 34 seg | 6 AC 4x565/72*  | -11.0 | 22.8        | -11.0 | 22.8        |  |  |
| LIQi1805 » | Obj: C420 | 34 seg | 4 AC 4x565/72*  | -11.0 | 22.8        | -11.0 | 22.8        |  |  |
| LIQi1359 » | Obj: C420 | 6 seg  | 6 AC 4x565/72*  | -11.0 | 22.8        | -11.0 | 22.8        |  |  |
| LIQi1806 » | Obj: C420 | 34 seg | 5 AC 4x565/72*  | -11.0 | 22.8        | -11.0 | 22.8        |  |  |
| LIQi2351 » | Obj: C420 | 68 seg | 6 AC 4x565/72*  | -11.0 | 22.8        | -11.0 | 22.8        |  |  |
| LIQi1350 » | Obj: C420 | 5 seg  | 13 AC 4x565/72* | -11.1 | 22.8        | -11.1 | 22.8        |  |  |
| LIQi1808 » | Obj: C420 | 34 seg | 7 AC 4x565/72*  | -11.1 | 22.8        | -11.1 | 22.8        |  |  |
| LIQi2070 » | Obj: C420 | 50 seg | 13 AC 4x565/72* | -11.2 | 22.8        | -11.2 | 22.8        |  |  |
| LIQi1803 » | Obj: C420 | 34 seg | 2 AC 4x565/72*  | -11.2 | 22.8        | -11.2 | 22.8        |  |  |
| LIQi1804 » | Obj: C420 | 34 seg | 3 AC 4x565/72*  | -11.2 | 22.8        | -11.2 | 22.8        |  |  |
| LIQi1358 » | Obj: C420 | 6 seg  | 5 AC 4x565/72*  | -11.2 | 22.8        | -11.2 | 22.8        |  |  |
| LIQi1861 » | Obj: C420 | 37 seg | 12 AC 4x565/72* | -11.3 | 22.8        | -11.3 | 22.8        |  |  |
| LIQi2319 » | Obj: C420 | 66 seg | 6 AC 4x565/72*  | -11.3 | 22.8        | -11.3 | 22.8        |  |  |
| LIQi1809 » | Obj: C420 | 34 seg | 8 AC 4x565/72*  | -11.3 | 22.8        | -11.3 | 22.8        |  |  |
| LIQi2133 » | Obj: C420 | 54 seg | 12 AC 4x565/72* | -11.4 | 22.8        | -11.4 | 22.8        |  |  |
| LIQi2352 » | Obj: C420 | 68 seg | 7 AC 4x565/72*  | -11.5 | 22.8        | -11.5 | 22.8        |  |  |
| LIQi1415 » | Obj: C420 | 9 seg  | 14 AC 4x565/72* | -11.5 | 22.8        | -11.5 | 22.8        |  |  |
| LIQi1625 » | Obj: C420 | 22 seg | 16 AC 4x565/72* | -11.5 | 22.8        | -11.5 | 22.8        |  |  |
| LIQi1862 » | Obj: C420 | 37 seg | 13 AC 4x565/72* | -11.5 | 22.8        | -11.5 | 22.8        |  |  |
| LIQi2071 » | Obj: C420 | 50 seg | 14 AC 4x565/72* | -11.6 | 22.8        | -11.6 | 22.8        |  |  |
| LIQi1802 » | Obj: C420 | 34 seg | 1 AC 4x565/72*  | -11.6 | 22.8        | -11.6 | 22.8        |  |  |
| LIQi1389 » | Obj: C420 | 8 seg  | 4 AC 4x565/72*  | -11.6 | 22.8        | -11.6 | 22.8        |  |  |
| LIQi1810 » | Obj: C420 | 34 seg | 9 AC 4x565/72*  | -11.6 | 22.8        | -11.6 | 22.8        |  |  |
| LIQi2320 » | Obj: C420 | 66 seg | 7 AC 4x565/72*  | -11.7 | 22.8        | -11.7 | 22.8        |  |  |
| LIQi1349 » | Obj: C420 | 5 seg  | 12 AC 4x565/72* | -11.7 | 22.8        | -11.7 | 22.8        |  |  |
| LIQi2072 » | Obj: C420 | 50 seg | 15 AC 4x565/72* | -11.8 | 22.8        | -11.8 | 22.8        |  |  |
| LIQi1388 » | Obj: C420 | 8 seg  | 3 AC 4x565/72*  | -11.8 | 22.8        | -11.8 | 22.8        |  |  |
| LIQi1414 » | Obj: C420 | 9 seg  | 13 AC 4x565/72* | -11.8 | 22.8        | -11.8 | 22.8        |  |  |
| LIQi2353 » | Obj: C420 | 68 seg | 8 AC 4x565/72*  | -11.9 | 22.8        | -11.9 | 22.8        |  |  |
| LIQi1357 » | Obj: C420 | 6 seg  | 4 AC 4x565/72*  | -11.9 | 22.8        | -11.9 | 22.8        |  |  |
| LIQi2134 » | Obj: C420 | 54 seg | 13 AC 4x565/72* | -12.0 | 22.8        | -12.0 | 22.8        |  |  |
| LIQi1811 » | Obj: C420 | 34 seg | 10 AC 4x565/72* | -12.0 | 22.8        | -12.0 | 22.8        |  |  |
| LIQi1348 » | Obj: C420 | 5 seg  | 11 AC 4x565/72* | -12.1 | 22.8        | -12.1 | 22.8        |  |  |
| LIQi2321 » | Obj: C420 | 66 seg | 8 AC 4x565/72*  | -12.1 | 22.8        | -12.1 | 22.8        |  |  |
| LIQi1356 » | Obj: C420 | 6 seg  | 3 AC 4x565/72*  | -12.1 | 22.8        | -12.1 | 22.8        |  |  |
| LIQi1864 » | Obj: C420 | 37 seg | 15 AC 4x565/72* | -12.1 | 22.9        | -12.1 | 22.9        |  |  |
| n=908      | Summe     |        |                 |       | <b>22.9</b> |       | <b>22.9</b> |  |  |



| IPkt034 »  | 8                                | Variante 1      |      |                  |      | Einstellung: Kopie von "Referenzeinstellung" |  |  |  |
|------------|----------------------------------|-----------------|------|------------------|------|--|--|--|--|
|            |                                  | x = 717166.88 m |      | y = 5404709.97 m |      | z = 445.00 m                                 |  |  |  |
|            |                                  | Tag             |      | Nacht            |      |  |  |  |  |
|            |                                  | Lr,i,A          | Lr,A | Lr,i,A           | Lr,A |  |  |  |  |
|            |                                  | /dB             | /dB  | /dB              | /dB  |  |  |  |  |
| LIQi1871 » | Obj: C420 38 seg 6 AC 4x565/72*  | 9.7             | 9.7  | 9.7              | 9.7  |  |  |  |  |
| LIQi1870 » | Obj: C420 38 seg 5 AC 4x565/72*  | 9.6             | 12.7 | 9.6              | 12.7 |  |  |  |  |
| LIQi1872 » | Obj: C420 38 seg 7 AC 4x565/72*  | 9.6             | 14.4 | 9.6              | 14.4 |  |  |  |  |
| LIQi1869 » | Obj: C420 38 seg 4 AC 4x565/72*  | 9.3             | 15.6 | 9.3              | 15.6 |  |  |  |  |
| LIQi1873 » | Obj: C420 38 seg 8 AC 4x565/72*  | 9.2             | 16.5 | 9.2              | 16.5 |  |  |  |  |
| LIQi1868 » | Obj: C420 38 seg 3 AC 4x565/72*  | 8.8             | 17.2 | 8.8              | 17.2 |  |  |  |  |
| LIQi1874 » | Obj: C420 38 seg 9 AC 4x565/72*  | 8.6             | 17.7 | 8.6              | 17.7 |  |  |  |  |
| LIQi1839 » | Obj: C420 36 seg 6 AC 4x565/72*  | 8.6             | 18.2 | 8.6              | 18.2 |  |  |  |  |
| LIQi1838 » | Obj: C420 36 seg 5 AC 4x565/72*  | 8.5             | 18.7 | 8.5              | 18.7 |  |  |  |  |
| LIQi1840 » | Obj: C420 36 seg 7 AC 4x565/72*  | 8.5             | 19.1 | 8.5              | 19.1 |  |  |  |  |
| LIQi1837 » | Obj: C420 36 seg 4 AC 4x565/72*  | 8.2             | 19.4 | 8.2              | 19.4 |  |  |  |  |
| LIQi1867 » | Obj: C420 38 seg 2 AC 4x565/72*  | 8.2             | 19.7 | 8.2              | 19.7 |  |  |  |  |
| LIQi1841 » | Obj: C420 36 seg 8 AC 4x565/72*  | 8.1             | 20.0 | 8.1              | 20.0 |  |  |  |  |
| LIQi1875 » | Obj: C420 38 seg 10 AC 4x565/72* | 7.9             | 20.3 | 7.9              | 20.3 |  |  |  |  |
| LIQi1836 » | Obj: C420 36 seg 3 AC 4x565/72*  | 7.8             | 20.5 | 7.8              | 20.5 |  |  |  |  |
| LIQi1842 » | Obj: C420 36 seg 9 AC 4x565/72*  | 7.6             | 20.7 | 7.6              | 20.7 |  |  |  |  |
| LIQi1866 » | Obj: C420 38 seg 1 AC 4x565/72*  | 7.5             | 20.9 | 7.5              | 20.9 |  |  |  |  |
| LIQi1835 » | Obj: C420 36 seg 2 AC 4x565/72*  | 7.4             | 21.1 | 7.4              | 21.1 |  |  |  |  |
| LIQi1876 » | Obj: C420 38 seg 11 AC 4x565/72* | 7.2             | 21.3 | 7.2              | 21.3 |  |  |  |  |
| LIQi1843 » | Obj: C420 36 seg 10 AC 4x565/72* | 7.0             | 21.4 | 7.0              | 21.4 |  |  |  |  |
| LIQi1834 » | Obj: C420 36 seg 1 AC 4x565/72*  | 6.8             | 21.6 | 6.8              | 21.6 |  |  |  |  |
| LIQi1877 » | Obj: C420 38 seg 12 AC 4x565/72* | 6.3             | 21.7 | 6.3              | 21.7 |  |  |  |  |
| LIQi1844 » | Obj: C420 36 seg 11 AC 4x565/72* | 6.3             | 21.8 | 6.3              | 21.8 |  |  |  |  |
| LIQi1641 » | Obj: C420 23 seg 16 AC 4x565/72* | 5.6             | 21.9 | 5.6              | 21.9 |  |  |  |  |
| LIQi1845 » | Obj: C420 36 seg 12 AC 4x565/72* | 5.6             | 22.0 | 5.6              | 22.0 |  |  |  |  |
| LIQi1878 » | Obj: C420 38 seg 13 AC 4x565/72* | 5.5             | 22.1 | 5.5              | 22.1 |  |  |  |  |
| LIQi1609 » | Obj: C420 21 seg 16 AC 4x565/72* | 4.9             | 22.2 | 4.9              | 22.2 |  |  |  |  |
| LIQi1846 » | Obj: C420 36 seg 13 AC 4x565/72* | 4.9             | 22.3 | 4.9              | 22.3 |  |  |  |  |
| LIQi1887 » | Obj: C420 39 seg 6 AC 4x565/72*  | 4.9             | 22.4 | 4.9              | 22.4 |  |  |  |  |
| LIQi1879 » | Obj: C420 38 seg 14 AC 4x565/72* | 4.8             | 22.5 | 4.8              | 22.5 |  |  |  |  |
| LIQi1886 » | Obj: C420 39 seg 5 AC 4x565/72*  | 4.7             | 22.5 | 4.7              | 22.5 |  |  |  |  |
| LIQi1888 » | Obj: C420 39 seg 7 AC 4x565/72*  | 4.7             | 22.6 | 4.7              | 22.6 |  |  |  |  |
| LIQi1640 » | Obj: C420 23 seg 15 AC 4x565/72* | 4.5             | 22.7 | 4.5              | 22.7 |  |  |  |  |
| LIQi1885 » | Obj: C420 39 seg 4 AC 4x565/72*  | 4.4             | 22.7 | 4.4              | 22.7 |  |  |  |  |
| LIQi1889 » | Obj: C420 39 seg 8 AC 4x565/72*  | 4.3             | 22.8 | 4.3              | 22.8 |  |  |  |  |
| LIQi1847 » | Obj: C420 36 seg 14 AC 4x565/72* | 4.2             | 22.9 | 4.2              | 22.9 |  |  |  |  |
| LIQi1880 » | Obj: C420 38 seg 15 AC 4x565/72* | 4.1             | 22.9 | 4.1              | 22.9 |  |  |  |  |
| LIQi1823 » | Obj: C420 35 seg 6 AC 4x565/72*  | 4.1             | 23.0 | 4.1              | 23.0 |  |  |  |  |
| LIQi1822 » | Obj: C420 35 seg 5 AC 4x565/72*  | 4.0             | 23.0 | 4.0              | 23.0 |  |  |  |  |
| LIQi1824 » | Obj: C420 35 seg 7 AC 4x565/72*  | 4.0             | 23.1 | 4.0              | 23.1 |  |  |  |  |
| LIQi1608 » | Obj: C420 21 seg 15 AC 4x565/72* | 3.9             | 23.1 | 3.9              | 23.1 |  |  |  |  |
| LIQi1884 » | Obj: C420 39 seg 3 AC 4x565/72*  | 3.8             | 23.2 | 3.8              | 23.2 |  |  |  |  |
| LIQi1821 » | Obj: C420 35 seg 4 AC 4x565/72*  | 3.8             | 23.2 | 3.8              | 23.2 |  |  |  |  |
| LIQi1890 » | Obj: C420 39 seg 9 AC 4x565/72*  | 3.7             | 23.3 | 3.7              | 23.3 |  |  |  |  |
| LIQi1825 » | Obj: C420 35 seg 8 AC 4x565/72*  | 3.7             | 23.3 | 3.7              | 23.3 |  |  |  |  |
| LIQi1639 » | Obj: C420 23 seg 14 AC 4x565/72* | 3.6             | 23.4 | 3.6              | 23.4 |  |  |  |  |
| LIQi1848 » | Obj: C420 36 seg 15 AC 4x565/72* | 3.6             | 23.4 | 3.6              | 23.4 |  |  |  |  |
| LIQi1881 » | Obj: C420 38 seg 16 AC 4x565/72* | 3.4             | 23.5 | 3.4              | 23.5 |  |  |  |  |
| LIQi1820 » | Obj: C420 35 seg 3 AC 4x565/72*  | 3.4             | 23.5 | 3.4              | 23.5 |  |  |  |  |
| LIQi1826 » | Obj: C420 35 seg 9 AC 4x565/72*  | 3.2             | 23.5 | 3.2              | 23.5 |  |  |  |  |
| LIQi1883 » | Obj: C420 39 seg 2 AC 4x565/72*  | 3.2             | 23.6 | 3.2              | 23.6 |  |  |  |  |





|            |           |        |                 |      |      |      |      |  |  |
|------------|-----------|--------|-----------------|------|------|------|------|--|--|
| LIQi1607 » | Obj: C420 | 21 seg | 14 AC 4x565/72* | 3.0  | 23.6 | 3.0  | 23.6 |  |  |
| LIQi1891 » | Obj: C420 | 39 seg | 10 AC 4x565/72* | 2.9  | 23.7 | 2.9  | 23.7 |  |  |
| LIQi1849 » | Obj: C420 | 36 seg | 16 AC 4x565/72* | 2.9  | 23.7 | 2.9  | 23.7 |  |  |
| LIQi1819 » | Obj: C420 | 35 seg | 2 AC 4x565/72*  | 2.9  | 23.7 | 2.9  | 23.7 |  |  |
| LIQi1638 » | Obj: C420 | 23 seg | 13 AC 4x565/72* | 2.7  | 23.8 | 2.7  | 23.8 |  |  |
| LIQi1827 » | Obj: C420 | 35 seg | 10 AC 4x565/72* | 2.6  | 23.8 | 2.6  | 23.8 |  |  |
| LIQi1882 » | Obj: C420 | 39 seg | 1 AC 4x565/72*  | 2.4  | 23.8 | 2.4  | 23.8 |  |  |
| LIQi2106 » | Obj: C420 | 53 seg | 1 AC 4x565/72*  | 2.4  | 23.9 | 2.4  | 23.9 |  |  |
| LIQi1818 » | Obj: C420 | 35 seg | 1 AC 4x565/72*  | 2.3  | 23.9 | 2.3  | 23.9 |  |  |
| LIQi1892 » | Obj: C420 | 39 seg | 11 AC 4x565/72* | 2.1  | 23.9 | 2.1  | 23.9 |  |  |
| LIQi1606 » | Obj: C420 | 21 seg | 13 AC 4x565/72* | 2.1  | 23.9 | 2.1  | 23.9 |  |  |
| LIQi1637 » | Obj: C420 | 23 seg | 12 AC 4x565/72* | 2.0  | 24.0 | 2.0  | 24.0 |  |  |
| LIQi1828 » | Obj: C420 | 35 seg | 11 AC 4x565/72* | 2.0  | 24.0 | 2.0  | 24.0 |  |  |
| LIQi2074 » | Obj: C420 | 51 seg | 1 AC 4x565/72*  | 1.9  | 24.0 | 1.9  | 24.0 |  |  |
| LIQi1605 » | Obj: C420 | 21 seg | 12 AC 4x565/72* | 1.5  | 24.1 | 1.5  | 24.1 |  |  |
| LIQi2107 » | Obj: C420 | 53 seg | 2 AC 4x565/72*  | 1.3  | 24.1 | 1.3  | 24.1 |  |  |
| LIQi1893 » | Obj: C420 | 39 seg | 12 AC 4x565/72* | 1.3  | 24.1 | 1.3  | 24.1 |  |  |
| LIQi1829 » | Obj: C420 | 35 seg | 12 AC 4x565/72* | 1.3  | 24.1 | 1.3  | 24.1 |  |  |
| LIQi1636 » | Obj: C420 | 23 seg | 11 AC 4x565/72* | 1.1  | 24.1 | 1.1  | 24.1 |  |  |
| LIQi2075 » | Obj: C420 | 51 seg | 2 AC 4x565/72*  | 0.9  | 24.2 | 0.9  | 24.2 |  |  |
| LIQi1604 » | Obj: C420 | 21 seg | 11 AC 4x565/72* | 0.7  | 24.2 | 0.7  | 24.2 |  |  |
| LIQi1830 » | Obj: C420 | 35 seg | 13 AC 4x565/72* | 0.6  | 24.2 | 0.6  | 24.2 |  |  |
| LIQi1593 » | Obj: C420 | 20 seg | 16 AC 4x565/72* | 0.6  | 24.2 | 0.6  | 24.2 |  |  |
| LIQi1635 » | Obj: C420 | 23 seg | 10 AC 4x565/72* | 0.6  | 24.2 | 0.6  | 24.2 |  |  |
| LIQi1894 » | Obj: C420 | 39 seg | 13 AC 4x565/72* | 0.5  | 24.3 | 0.5  | 24.3 |  |  |
| LIQi1657 » | Obj: C420 | 24 seg | 16 AC 4x565/72* | 0.5  | 24.3 | 0.5  | 24.3 |  |  |
| LIQi2108 » | Obj: C420 | 53 seg | 3 AC 4x565/72*  | 0.2  | 24.3 | 0.2  | 24.3 |  |  |
| LIQi1603 » | Obj: C420 | 21 seg | 10 AC 4x565/72* | 0.1  | 24.3 | 0.1  | 24.3 |  |  |
| LIQi1831 » | Obj: C420 | 35 seg | 14 AC 4x565/72* | -0.1 | 24.3 | -0.1 | 24.3 |  |  |
| LIQi1634 » | Obj: C420 | 23 seg | 9 AC 4x565/72*  | -0.2 | 24.3 | -0.2 | 24.3 |  |  |
| LIQi2076 » | Obj: C420 | 51 seg | 3 AC 4x565/72*  | -0.2 | 24.4 | -0.2 | 24.4 |  |  |
| LIQi1895 » | Obj: C420 | 39 seg | 14 AC 4x565/72* | -0.4 | 24.4 | -0.4 | 24.4 |  |  |
| LIQi1592 » | Obj: C420 | 20 seg | 15 AC 4x565/72* | -0.4 | 24.4 | -0.4 | 24.4 |  |  |
| LIQi1602 » | Obj: C420 | 21 seg | 9 AC 4x565/72*  | -0.6 | 24.4 | -0.6 | 24.4 |  |  |
| LIQi1633 » | Obj: C420 | 23 seg | 8 AC 4x565/72*  | -0.7 | 24.4 | -0.7 | 24.4 |  |  |
| LIQi1656 » | Obj: C420 | 24 seg | 15 AC 4x565/72* | -0.7 | 24.4 | -0.7 | 24.4 |  |  |
| LIQi2109 » | Obj: C420 | 53 seg | 4 AC 4x565/72*  | -0.7 | 24.4 | -0.7 | 24.4 |  |  |
| LIQi1832 » | Obj: C420 | 35 seg | 15 AC 4x565/72* | -0.8 | 24.4 | -0.8 | 24.4 |  |  |
| LIQi1601 » | Obj: C420 | 21 seg | 8 AC 4x565/72*  | -1.0 | 24.5 | -1.0 | 24.5 |  |  |
| LIQi2077 » | Obj: C420 | 51 seg | 4 AC 4x565/72*  | -1.1 | 24.5 | -1.1 | 24.5 |  |  |
| LIQi1896 » | Obj: C420 | 39 seg | 15 AC 4x565/72* | -1.1 | 24.5 | -1.1 | 24.5 |  |  |
| LIQi1591 » | Obj: C420 | 20 seg | 14 AC 4x565/72* | -1.2 | 24.5 | -1.2 | 24.5 |  |  |
| LIQi1632 » | Obj: C420 | 23 seg | 7 AC 4x565/72*  | -1.3 | 24.5 | -1.3 | 24.5 |  |  |
| LIQi1833 » | Obj: C420 | 35 seg | 16 AC 4x565/72* | -1.4 | 24.5 | -1.4 | 24.5 |  |  |
| LIQi1655 » | Obj: C420 | 24 seg | 14 AC 4x565/72* | -1.5 | 24.5 | -1.5 | 24.5 |  |  |
| LIQi1600 » | Obj: C420 | 21 seg | 7 AC 4x565/72*  | -1.6 | 24.5 | -1.6 | 24.5 |  |  |
| LIQi1631 » | Obj: C420 | 23 seg | 6 AC 4x565/72*  | -1.6 | 24.6 | -1.6 | 24.6 |  |  |
| LIQi2110 » | Obj: C420 | 53 seg | 5 AC 4x565/72*  | -1.6 | 24.6 | -1.6 | 24.6 |  |  |
| LIQi1897 » | Obj: C420 | 39 seg | 16 AC 4x565/72* | -1.9 | 24.6 | -1.9 | 24.6 |  |  |
| LIQi1599 » | Obj: C420 | 21 seg | 6 AC 4x565/72*  | -2.0 | 24.6 | -2.0 | 24.6 |  |  |
| LIQi2078 » | Obj: C420 | 51 seg | 5 AC 4x565/72*  | -2.0 | 24.6 | -2.0 | 24.6 |  |  |
| LIQi1590 » | Obj: C420 | 20 seg | 13 AC 4x565/72* | -2.0 | 24.6 | -2.0 | 24.6 |  |  |
| LIQi1630 » | Obj: C420 | 23 seg | 5 AC 4x565/72*  | -2.1 | 24.6 | -2.1 | 24.6 |  |  |
| LIQi2111 » | Obj: C420 | 53 seg | 6 AC 4x565/72*  | -2.4 | 24.6 | -2.4 | 24.6 |  |  |
| LIQi2058 » | Obj: C420 | 50 seg | 1 AC 4x565/72*  | -2.4 | 24.6 | -2.4 | 24.6 |  |  |



|            |           |        |                 |      |      |      |      |  |  |
|------------|-----------|--------|-----------------|------|------|------|------|--|--|
| LIQi1629 » | Obj: C420 | 23 seg | 4 AC 4x565/72*  | -2.5 | 24.6 | -2.5 | 24.6 |  |  |
| LIQi1654 » | Obj: C420 | 24 seg | 13 AC 4x565/72* | -2.5 | 24.6 | -2.5 | 24.6 |  |  |
| LIQi1598 » | Obj: C420 | 21 seg | 5 AC 4x565/72*  | -2.5 | 24.7 | -2.5 | 24.7 |  |  |
| LIQi1589 » | Obj: C420 | 20 seg | 12 AC 4x565/72* | -2.7 | 24.7 | -2.7 | 24.7 |  |  |
| LIQi1597 » | Obj: C420 | 21 seg | 4 AC 4x565/72*  | -2.7 | 24.7 | -2.7 | 24.7 |  |  |
| LIQi2079 » | Obj: C420 | 51 seg | 6 AC 4x565/72*  | -2.7 | 24.7 | -2.7 | 24.7 |  |  |
| LIQi2122 » | Obj: C420 | 54 seg | 1 AC 4x565/72*  | -2.9 | 24.7 | -2.9 | 24.7 |  |  |
| LIQi1628 » | Obj: C420 | 23 seg | 3 AC 4x565/72*  | -2.9 | 24.7 | -2.9 | 24.7 |  |  |
| LIQi1653 » | Obj: C420 | 24 seg | 12 AC 4x565/72* | -3.1 | 24.7 | -3.1 | 24.7 |  |  |
| LIQi2112 » | Obj: C420 | 53 seg | 7 AC 4x565/72*  | -3.1 | 24.7 | -3.1 | 24.7 |  |  |
| LIQi1627 » | Obj: C420 | 23 seg | 2 AC 4x565/72*  | -3.1 | 24.7 | -3.1 | 24.7 |  |  |
| LIQi1596 » | Obj: C420 | 21 seg | 3 AC 4x565/72*  | -3.2 | 24.7 | -3.2 | 24.7 |  |  |
| LIQi1595 » | Obj: C420 | 21 seg | 2 AC 4x565/72*  | -3.3 | 24.7 | -3.3 | 24.7 |  |  |
| LIQi2080 » | Obj: C420 | 51 seg | 7 AC 4x565/72*  | -3.4 | 24.7 | -3.4 | 24.7 |  |  |
| LIQi2059 » | Obj: C420 | 50 seg | 2 AC 4x565/72*  | -3.4 | 24.7 | -3.4 | 24.7 |  |  |
| LIQi1588 » | Obj: C420 | 20 seg | 11 AC 4x565/72* | -3.5 | 24.7 | -3.5 | 24.7 |  |  |
| LIQi1626 » | Obj: C420 | 23 seg | 1 AC 4x565/72*  | -3.5 | 24.8 | -3.5 | 24.8 |  |  |
| LIQi1594 » | Obj: C420 | 21 seg | 1 AC 4x565/72*  | -3.8 | 24.8 | -3.8 | 24.8 |  |  |
| LIQi2113 » | Obj: C420 | 53 seg | 8 AC 4x565/72*  | -3.8 | 24.8 | -3.8 | 24.8 |  |  |
| LIQi1652 » | Obj: C420 | 24 seg | 11 AC 4x565/72* | -4.0 | 24.8 | -4.0 | 24.8 |  |  |
| LIQi2123 » | Obj: C420 | 54 seg | 2 AC 4x565/72*  | -4.0 | 24.8 | -4.0 | 24.8 |  |  |
| LIQi1587 » | Obj: C420 | 20 seg | 10 AC 4x565/72* | -4.0 | 24.8 | -4.0 | 24.8 |  |  |
| LIQi2081 » | Obj: C420 | 51 seg | 8 AC 4x565/72*  | -4.1 | 24.8 | -4.1 | 24.8 |  |  |
| LIQi2114 » | Obj: C420 | 53 seg | 9 AC 4x565/72*  | -4.4 | 24.8 | -4.4 | 24.8 |  |  |
| LIQi2060 » | Obj: C420 | 50 seg | 3 AC 4x565/72*  | -4.4 | 24.8 | -4.4 | 24.8 |  |  |
| LIQi1651 » | Obj: C420 | 24 seg | 10 AC 4x565/72* | -4.5 | 24.8 | -4.5 | 24.8 |  |  |
| LIQi1586 » | Obj: C420 | 20 seg | 9 AC 4x565/72*  | -4.7 | 24.8 | -4.7 | 24.8 |  |  |
| LIQi2082 » | Obj: C420 | 51 seg | 9 AC 4x565/72*  | -4.7 | 24.8 | -4.7 | 24.8 |  |  |
| LIQi1401 » | Obj: C420 | 8 seg  | 16 AC 4x565/72* | -4.9 | 24.8 | -4.9 | 24.8 |  |  |
| LIQi2124 » | Obj: C420 | 54 seg | 3 AC 4x565/72*  | -4.9 | 24.8 | -4.9 | 24.8 |  |  |
| LIQi2115 » | Obj: C420 | 53 seg | 10 AC 4x565/72* | -5.0 | 24.8 | -5.0 | 24.8 |  |  |
| LIQi1369 » | Obj: C420 | 6 seg  | 16 AC 4x565/72* | -5.0 | 24.8 | -5.0 | 24.8 |  |  |
| LIQi1585 » | Obj: C420 | 20 seg | 8 AC 4x565/72*  | -5.0 | 24.8 | -5.0 | 24.8 |  |  |
| LIQi2083 » | Obj: C420 | 51 seg | 10 AC 4x565/72* | -5.3 | 24.8 | -5.3 | 24.8 |  |  |
| LIQi1650 » | Obj: C420 | 24 seg | 9 AC 4x565/72*  | -5.3 | 24.8 | -5.3 | 24.8 |  |  |
| LIQi1400 » | Obj: C420 | 8 seg  | 15 AC 4x565/72* | -5.3 | 24.8 | -5.3 | 24.8 |  |  |
| LIQi2061 » | Obj: C420 | 50 seg | 4 AC 4x565/72*  | -5.3 | 24.9 | -5.3 | 24.9 |  |  |
| LIQi1855 » | Obj: C420 | 37 seg | 6 AC 4x565/72*  | -5.4 | 24.9 | -5.4 | 24.9 |  |  |
| LIQi1368 » | Obj: C420 | 6 seg  | 15 AC 4x565/72* | -5.4 | 24.9 | -5.4 | 24.9 |  |  |
| LIQi2116 » | Obj: C420 | 53 seg | 11 AC 4x565/72* | -5.5 | 24.9 | -5.5 | 24.9 |  |  |
| LIQi1854 » | Obj: C420 | 37 seg | 5 AC 4x565/72*  | -5.6 | 24.9 | -5.6 | 24.9 |  |  |
| LIQi1584 » | Obj: C420 | 20 seg | 7 AC 4x565/72*  | -5.7 | 24.9 | -5.7 | 24.9 |  |  |
| LIQi1856 » | Obj: C420 | 37 seg | 7 AC 4x565/72*  | -5.7 | 24.9 | -5.7 | 24.9 |  |  |
| LIQi1853 » | Obj: C420 | 37 seg | 4 AC 4x565/72*  | -5.7 | 24.9 | -5.7 | 24.9 |  |  |
| LIQi1649 » | Obj: C420 | 24 seg | 8 AC 4x565/72*  | -5.8 | 24.9 | -5.8 | 24.9 |  |  |
| LIQi2084 » | Obj: C420 | 51 seg | 11 AC 4x565/72* | -5.8 | 24.9 | -5.8 | 24.9 |  |  |
| LIQi2125 » | Obj: C420 | 54 seg | 4 AC 4x565/72*  | -5.9 | 24.9 | -5.9 | 24.9 |  |  |
| LIQi2117 » | Obj: C420 | 53 seg | 12 AC 4x565/72* | -6.0 | 24.9 | -6.0 | 24.9 |  |  |
| LIQi1583 » | Obj: C420 | 20 seg | 6 AC 4x565/72*  | -6.0 | 24.9 | -6.0 | 24.9 |  |  |
| LIQi2062 » | Obj: C420 | 50 seg | 5 AC 4x565/72*  | -6.0 | 24.9 | -6.0 | 24.9 |  |  |
| LIQi1857 » | Obj: C420 | 37 seg | 8 AC 4x565/72*  | -6.1 | 24.9 | -6.1 | 24.9 |  |  |
| LIQi1399 » | Obj: C420 | 8 seg  | 14 AC 4x565/72* | -6.2 | 24.9 | -6.2 | 24.9 |  |  |
| LIQi2085 » | Obj: C420 | 51 seg | 12 AC 4x565/72* | -6.3 | 24.9 | -6.3 | 24.9 |  |  |
| LIQi1852 » | Obj: C420 | 37 seg | 3 AC 4x565/72*  | -6.3 | 24.9 | -6.3 | 24.9 |  |  |
| LIQi1648 » | Obj: C420 | 24 seg | 7 AC 4x565/72*  | -6.4 | 24.9 | -6.4 | 24.9 |  |  |



|            |           |        |                 |      |      |      |      |  |  |
|------------|-----------|--------|-----------------|------|------|------|------|--|--|
| LIQi2118 » | Obj: C420 | 53 seg | 13 AC 4x565/72* | -6.5 | 24.9 | -6.5 | 24.9 |  |  |
| LIQi1367 » | Obj: C420 | 6 seg  | 14 AC 4x565/72* | -6.5 | 24.9 | -6.5 | 24.9 |  |  |
| LIQi1851 » | Obj: C420 | 37 seg | 2 AC 4x565/72*  | -6.5 | 24.9 | -6.5 | 24.9 |  |  |
| LIQi1582 » | Obj: C420 | 20 seg | 5 AC 4x565/72*  | -6.6 | 24.9 | -6.6 | 24.9 |  |  |
| LIQi1647 » | Obj: C420 | 24 seg | 6 AC 4x565/72*  | -6.6 | 24.9 | -6.6 | 24.9 |  |  |
| LIQi1398 » | Obj: C420 | 8 seg  | 13 AC 4x565/72* | -6.6 | 24.9 | -6.6 | 24.9 |  |  |
| LIQi2126 » | Obj: C420 | 54 seg | 5 AC 4x565/72*  | -6.6 | 24.9 | -6.6 | 24.9 |  |  |
| LIQi1581 » | Obj: C420 | 20 seg | 4 AC 4x565/72*  | -6.7 | 24.9 | -6.7 | 24.9 |  |  |
| LIQi1858 » | Obj: C420 | 37 seg | 9 AC 4x565/72*  | -6.7 | 24.9 | -6.7 | 24.9 |  |  |
| LIQi2086 » | Obj: C420 | 51 seg | 13 AC 4x565/72* | -6.7 | 24.9 | -6.7 | 24.9 |  |  |
| LIQi2063 » | Obj: C420 | 50 seg | 6 AC 4x565/72*  | -6.8 | 25.0 | -6.8 | 25.0 |  |  |
| LIQi1366 » | Obj: C420 | 6 seg  | 13 AC 4x565/72* | -6.8 | 25.0 | -6.8 | 25.0 |  |  |
| LIQi2119 » | Obj: C420 | 53 seg | 14 AC 4x565/72* | -6.9 | 25.0 | -6.9 | 25.0 |  |  |
| LIQi1580 » | Obj: C420 | 20 seg | 3 AC 4x565/72*  | -7.1 | 25.0 | -7.1 | 25.0 |  |  |
| LIQi2087 » | Obj: C420 | 51 seg | 14 AC 4x565/72* | -7.2 | 25.0 | -7.2 | 25.0 |  |  |
| LIQi1646 » | Obj: C420 | 24 seg | 5 AC 4x565/72*  | -7.2 | 25.0 | -7.2 | 25.0 |  |  |
| LIQi2120 » | Obj: C420 | 53 seg | 15 AC 4x565/72* | -7.2 | 25.0 | -7.2 | 25.0 |  |  |
| LIQi1579 » | Obj: C420 | 20 seg | 2 AC 4x565/72*  | -7.3 | 25.0 | -7.3 | 25.0 |  |  |
| LIQi1397 » | Obj: C420 | 8 seg  | 12 AC 4x565/72* | -7.3 | 25.0 | -7.3 | 25.0 |  |  |
| LIQi1850 » | Obj: C420 | 37 seg | 1 AC 4x565/72*  | -7.3 | 25.0 | -7.3 | 25.0 |  |  |
| LIQi2064 » | Obj: C420 | 50 seg | 7 AC 4x565/72*  | -7.4 | 25.0 | -7.4 | 25.0 |  |  |
| LIQi1645 » | Obj: C420 | 24 seg | 4 AC 4x565/72*  | -7.4 | 25.0 | -7.4 | 25.0 |  |  |
| LIQi2127 » | Obj: C420 | 54 seg | 6 AC 4x565/72*  | -7.4 | 25.0 | -7.4 | 25.0 |  |  |
| LIQi2088 » | Obj: C420 | 51 seg | 15 AC 4x565/72* | -7.4 | 25.0 | -7.4 | 25.0 |  |  |
| LIQi1859 » | Obj: C420 | 37 seg | 10 AC 4x565/72* | -7.5 | 25.0 | -7.5 | 25.0 |  |  |
| LIQi2121 » | Obj: C420 | 53 seg | 16 AC 4x565/72* | -7.6 | 25.0 | -7.6 | 25.0 |  |  |
| LIQi1365 » | Obj: C420 | 6 seg  | 12 AC 4x565/72* | -7.6 | 25.0 | -7.6 | 25.0 |  |  |
| LIQi1807 » | Obj: C420 | 34 seg | 6 AC 4x565/72*  | -7.6 | 25.0 | -7.6 | 25.0 |  |  |
| LIQi1396 » | Obj: C420 | 8 seg  | 11 AC 4x565/72* | -7.7 | 25.0 | -7.7 | 25.0 |  |  |
| LIQi1578 » | Obj: C420 | 20 seg | 1 AC 4x565/72*  | -7.7 | 25.0 | -7.7 | 25.0 |  |  |
| LIQi1806 » | Obj: C420 | 34 seg | 5 AC 4x565/72*  | -7.7 | 25.0 | -7.7 | 25.0 |  |  |
| LIQi1805 » | Obj: C420 | 34 seg | 4 AC 4x565/72*  | -7.8 | 25.0 | -7.8 | 25.0 |  |  |
| LIQi2089 » | Obj: C420 | 51 seg | 16 AC 4x565/72* | -7.8 | 25.0 | -7.8 | 25.0 |  |  |
| LIQi1808 » | Obj: C420 | 34 seg | 7 AC 4x565/72*  | -7.9 | 25.0 | -7.9 | 25.0 |  |  |
| LIQi1644 » | Obj: C420 | 24 seg | 3 AC 4x565/72*  | -7.9 | 25.0 | -7.9 | 25.0 |  |  |
| LIQi1364 » | Obj: C420 | 6 seg  | 11 AC 4x565/72* | -8.0 | 25.0 | -8.0 | 25.0 |  |  |
| LIQi2065 » | Obj: C420 | 50 seg | 8 AC 4x565/72*  | -8.0 | 25.0 | -8.0 | 25.0 |  |  |
| LIQi2128 » | Obj: C420 | 54 seg | 7 AC 4x565/72*  | -8.1 | 25.0 | -8.1 | 25.0 |  |  |
| LIQi1643 » | Obj: C420 | 24 seg | 2 AC 4x565/72*  | -8.1 | 25.0 | -8.1 | 25.0 |  |  |
| LIQi2346 » | Obj: C420 | 68 seg | 1 AC 4x565/72*  | -8.2 | 25.0 | -8.2 | 25.0 |  |  |
| LIQi1809 » | Obj: C420 | 34 seg | 8 AC 4x565/72*  | -8.2 | 25.0 | -8.2 | 25.0 |  |  |
| LIQi1860 » | Obj: C420 | 37 seg | 11 AC 4x565/72* | -8.2 | 25.0 | -8.2 | 25.0 |  |  |
| LIQi1804 » | Obj: C420 | 34 seg | 3 AC 4x565/72*  | -8.3 | 25.0 | -8.3 | 25.0 |  |  |
| LIQi1395 » | Obj: C420 | 8 seg  | 10 AC 4x565/72* | -8.4 | 25.0 | -8.4 | 25.0 |  |  |
| LIQi2314 » | Obj: C420 | 66 seg | 1 AC 4x565/72*  | -8.4 | 25.0 | -8.4 | 25.0 |  |  |
| LIQi1803 » | Obj: C420 | 34 seg | 2 AC 4x565/72*  | -8.5 | 25.0 | -8.5 | 25.0 |  |  |
| LIQi1642 » | Obj: C420 | 24 seg | 1 AC 4x565/72*  | -8.5 | 25.0 | -8.5 | 25.0 |  |  |
| LIQi1363 » | Obj: C420 | 6 seg  | 10 AC 4x565/72* | -8.7 | 25.0 | -8.7 | 25.0 |  |  |
| LIQi1810 » | Obj: C420 | 34 seg | 9 AC 4x565/72*  | -8.7 | 25.0 | -8.7 | 25.0 |  |  |
| LIQi2129 » | Obj: C420 | 54 seg | 8 AC 4x565/72*  | -8.7 | 25.0 | -8.7 | 25.0 |  |  |
| LIQi1394 » | Obj: C420 | 8 seg  | 9 AC 4x565/72*  | -8.7 | 25.0 | -8.7 | 25.0 |  |  |
| LIQi2066 » | Obj: C420 | 50 seg | 9 AC 4x565/72*  | -8.7 | 25.0 | -8.7 | 25.0 |  |  |
| LIQi2347 » | Obj: C420 | 68 seg | 2 AC 4x565/72*  | -8.8 | 25.0 | -8.8 | 25.0 |  |  |
| LIQi2315 » | Obj: C420 | 66 seg | 2 AC 4x565/72*  | -9.0 | 25.0 | -9.0 | 25.0 |  |  |
| LIQi1362 » | Obj: C420 | 6 seg  | 9 AC 4x565/72*  | -9.0 | 25.1 | -9.0 | 25.1 |  |  |



|            |           |        |                 |       |      |       |      |  |
|------------|-----------|--------|-----------------|-------|------|-------|------|--|
| LIQi1353 » | Obj: C420 | 5 seg  | 16 AC 4x565/72* | -9.1  | 25.1 | -9.1  | 25.1 |  |
| LIQi1802 » | Obj: C420 | 34 seg | 1 AC 4x565/72*  | -9.1  | 25.1 | -9.1  | 25.1 |  |
| LIQi1861 » | Obj: C420 | 37 seg | 12 AC 4x565/72* | -9.1  | 25.1 | -9.1  | 25.1 |  |
| LIQi1625 » | Obj: C420 | 22 seg | 16 AC 4x565/72* | -9.2  | 25.1 | -9.2  | 25.1 |  |
| LIQi2067 » | Obj: C420 | 50 seg | 10 AC 4x565/72* | -9.3  | 25.1 | -9.3  | 25.1 |  |
| LIQi1811 » | Obj: C420 | 34 seg | 10 AC 4x565/72* | -9.4  | 25.1 | -9.4  | 25.1 |  |
| LIQi2348 » | Obj: C420 | 68 seg | 3 AC 4x565/72*  | -9.4  | 25.1 | -9.4  | 25.1 |  |
| LIQi2130 » | Obj: C420 | 54 seg | 9 AC 4x565/72*  | -9.4  | 25.1 | -9.4  | 25.1 |  |
| LIQi1393 » | Obj: C420 | 8 seg  | 8 AC 4x565/72*  | -9.5  | 25.1 | -9.5  | 25.1 |  |
| LIQi1352 » | Obj: C420 | 5 seg  | 15 AC 4x565/72* | -9.5  | 25.1 | -9.5  | 25.1 |  |
| LIQi1361 » | Obj: C420 | 6 seg  | 8 AC 4x565/72*  | -9.6  | 25.1 | -9.6  | 25.1 |  |
| LIQi2316 » | Obj: C420 | 66 seg | 3 AC 4x565/72*  | -9.7  | 25.1 | -9.7  | 25.1 |  |
| LIQi1862 » | Obj: C420 | 37 seg | 13 AC 4x565/72* | -9.7  | 25.1 | -9.7  | 25.1 |  |
| LIQi1392 » | Obj: C420 | 8 seg  | 7 AC 4x565/72*  | -9.8  | 25.1 | -9.8  | 25.1 |  |
| LIQi1417 » | Obj: C420 | 9 seg  | 16 AC 4x565/72* | -9.8  | 25.1 | -9.8  | 25.1 |  |
| LIQi2068 » | Obj: C420 | 50 seg | 11 AC 4x565/72* | -9.8  | 25.1 | -9.8  | 25.1 |  |
| LIQi1812 » | Obj: C420 | 34 seg | 11 AC 4x565/72* | -9.9  | 25.1 | -9.9  | 25.1 |  |
| LIQi1360 » | Obj: C420 | 6 seg  | 7 AC 4x565/72*  | -9.9  | 25.1 | -9.9  | 25.1 |  |
| LIQi2349 » | Obj: C420 | 68 seg | 4 AC 4x565/72*  | -9.9  | 25.1 | -9.9  | 25.1 |  |
| LIQi2131 » | Obj: C420 | 54 seg | 10 AC 4x565/72* | -10.0 | 25.1 | -10.0 | 25.1 |  |
| LIQi2317 » | Obj: C420 | 66 seg | 4 AC 4x565/72*  | -10.2 | 25.1 | -10.2 | 25.1 |  |
| LIQi1351 » | Obj: C420 | 5 seg  | 14 AC 4x565/72* | -10.2 | 25.1 | -10.2 | 25.1 |  |
| LIQi1416 » | Obj: C420 | 9 seg  | 15 AC 4x565/72* | -10.2 | 25.1 | -10.2 | 25.1 |  |
| LIQi1624 » | Obj: C420 | 22 seg | 15 AC 4x565/72* | -10.3 | 25.1 | -10.3 | 25.1 |  |
| LIQi2069 » | Obj: C420 | 50 seg | 12 AC 4x565/72* | -10.3 | 25.1 | -10.3 | 25.1 |  |
| LIQi1391 » | Obj: C420 | 8 seg  | 6 AC 4x565/72*  | -10.3 | 25.1 | -10.3 | 25.1 |  |
| LIQi2350 » | Obj: C420 | 68 seg | 5 AC 4x565/72*  | -10.4 | 25.1 | -10.4 | 25.1 |  |
| LIQi1863 » | Obj: C420 | 37 seg | 14 AC 4x565/72* | -10.5 | 25.1 | -10.5 | 25.1 |  |
| LIQi1350 » | Obj: C420 | 5 seg  | 13 AC 4x565/72* | -10.6 | 25.1 | -10.6 | 25.1 |  |
| LIQi1390 » | Obj: C420 | 8 seg  | 5 AC 4x565/72*  | -10.6 | 25.1 | -10.6 | 25.1 |  |
| LIQi1359 » | Obj: C420 | 6 seg  | 6 AC 4x565/72*  | -10.6 | 25.1 | -10.6 | 25.1 |  |
| LIQi1813 » | Obj: C420 | 34 seg | 12 AC 4x565/72* | -10.6 | 25.1 | -10.6 | 25.1 |  |
| LIQi2132 » | Obj: C420 | 54 seg | 11 AC 4x565/72* | -10.7 | 25.1 | -10.7 | 25.1 |  |
| LIQi2318 » | Obj: C420 | 66 seg | 5 AC 4x565/72*  | -10.7 | 25.1 | -10.7 | 25.1 |  |
| LIQi1864 » | Obj: C420 | 37 seg | 15 AC 4x565/72* | -10.7 | 25.1 | -10.7 | 25.1 |  |
| LIQi1577 » | Obj: C420 | 19 seg | 16 AC 4x565/72* | -10.8 | 25.1 | -10.8 | 25.1 |  |
| LIQi2070 » | Obj: C420 | 50 seg | 13 AC 4x565/72* | -10.9 | 25.1 | -10.9 | 25.1 |  |
| LIQi1358 » | Obj: C420 | 6 seg  | 5 AC 4x565/72*  | -10.9 | 25.1 | -10.9 | 25.1 |  |
| LIQi2351 » | Obj: C420 | 68 seg | 6 AC 4x565/72*  | -10.9 | 25.1 | -10.9 | 25.1 |  |
| LIQi1415 » | Obj: C420 | 9 seg  | 14 AC 4x565/72* | -11.0 | 25.1 | -11.0 | 25.1 |  |
| LIQi2319 » | Obj: C420 | 66 seg | 6 AC 4x565/72*  | -11.1 | 25.1 | -11.1 | 25.1 |  |
| LIQi2133 » | Obj: C420 | 54 seg | 12 AC 4x565/72* | -11.2 | 25.1 | -11.2 | 25.1 |  |
| LIQi1814 » | Obj: C420 | 34 seg | 13 AC 4x565/72* | -11.2 | 25.1 | -11.2 | 25.1 |  |
| LIQi1349 » | Obj: C420 | 5 seg  | 12 AC 4x565/72* | -11.3 | 25.1 | -11.3 | 25.1 |  |
| LIQi1389 » | Obj: C420 | 8 seg  | 4 AC 4x565/72*  | -11.3 | 25.1 | -11.3 | 25.1 |  |
| LIQi2071 » | Obj: C420 | 50 seg | 14 AC 4x565/72* | -11.3 | 25.1 | -11.3 | 25.1 |  |
| LIQi2352 » | Obj: C420 | 68 seg | 7 AC 4x565/72*  | -11.3 | 25.1 | -11.3 | 25.1 |  |
| LIQi1414 » | Obj: C420 | 9 seg  | 13 AC 4x565/72* | -11.4 | 25.1 | -11.4 | 25.1 |  |
| LIQi1865 » | Obj: C420 | 37 seg | 16 AC 4x565/72* | -11.5 | 25.1 | -11.5 | 25.1 |  |
| LIQi1388 » | Obj: C420 | 8 seg  | 3 AC 4x565/72*  | -11.5 | 25.1 | -11.5 | 25.1 |  |
| LIQi1357 » | Obj: C420 | 6 seg  | 4 AC 4x565/72*  | -11.5 | 25.1 | -11.5 | 25.1 |  |
| LIQi2320 » | Obj: C420 | 66 seg | 7 AC 4x565/72*  | -11.6 | 25.1 | -11.6 | 25.1 |  |
| LIQi2072 » | Obj: C420 | 50 seg | 15 AC 4x565/72* | -11.6 | 25.1 | -11.6 | 25.1 |  |
| LIQi1348 » | Obj: C420 | 5 seg  | 11 AC 4x565/72* | -11.6 | 25.1 | -11.6 | 25.1 |  |
| LIQi2134 » | Obj: C420 | 54 seg | 13 AC 4x565/72* | -11.7 | 25.1 | -11.7 | 25.1 |  |



|            |           |        |                 |       |             |       |             |  |  |
|------------|-----------|--------|-----------------|-------|-------------|-------|-------------|--|--|
| LIQi2353 » | Obj: C420 | 68 seg | 8 AC 4x565/72*  | -11.7 | 25.1        | -11.7 | 25.1        |  |  |
| LIQi1576 » | Obj: C420 | 19 seg | 15 AC 4x565/72* | -11.8 | 25.1        | -11.8 | 25.1        |  |  |
| LIQi1356 » | Obj: C420 | 6 seg  | 3 AC 4x565/72*  | -11.8 | 25.1        | -11.8 | 25.1        |  |  |
| LIQi1623 » | Obj: C420 | 22 seg | 14 AC 4x565/72* | -11.9 | 25.1        | -11.9 | 25.1        |  |  |
| LIQi1815 » | Obj: C420 | 34 seg | 14 AC 4x565/72* | -11.9 | 25.1        | -11.9 | 25.1        |  |  |
| LIQi2073 » | Obj: C420 | 50 seg | 16 AC 4x565/72* | -11.9 | 25.1        | -11.9 | 25.1        |  |  |
| LIQi1387 » | Obj: C420 | 8 seg  | 2 AC 4x565/72*  | -12.0 | 25.1        | -12.0 | 25.1        |  |  |
| LIQi2321 » | Obj: C420 | 66 seg | 8 AC 4x565/72*  | -12.0 | 25.1        | -12.0 | 25.1        |  |  |
| LIQi1816 » | Obj: C420 | 34 seg | 15 AC 4x565/72* | -12.1 | 25.1        | -12.1 | 25.1        |  |  |
| LIQi2135 » | Obj: C420 | 54 seg | 14 AC 4x565/72* | -12.2 | 25.1        | -12.2 | 25.1        |  |  |
| LIQi1413 » | Obj: C420 | 9 seg  | 12 AC 4x565/72* | -12.2 | 25.1        | -12.2 | 25.1        |  |  |
| LIQi1386 » | Obj: C420 | 8 seg  | 1 AC 4x565/72*  | -12.2 | 25.1        | -12.2 | 25.1        |  |  |
| LIQi2354 » | Obj: C420 | 68 seg | 9 AC 4x565/72*  | -12.2 | 25.1        | -12.2 | 25.1        |  |  |
| LIQi1355 » | Obj: C420 | 6 seg  | 2 AC 4x565/72*  | -12.3 | 25.1        | -12.3 | 25.1        |  |  |
| LIQi1347 » | Obj: C420 | 5 seg  | 10 AC 4x565/72* | -12.3 | 25.1        | -12.3 | 25.1        |  |  |
| LIQi2322 » | Obj: C420 | 66 seg | 9 AC 4x565/72*  | -12.4 | 25.1        | -12.4 | 25.1        |  |  |
| LIQi1412 » | Obj: C420 | 9 seg  | 11 AC 4x565/72* | -12.5 | 25.1        | -12.5 | 25.1        |  |  |
| LIQi1354 » | Obj: C420 | 6 seg  | 1 AC 4x565/72*  | -12.5 | 25.1        | -12.5 | 25.1        |  |  |
| LIQi2136 » | Obj: C420 | 54 seg | 15 AC 4x565/72* | -12.6 | 25.1        | -12.6 | 25.1        |  |  |
| LIQi2298 » | Obj: C420 | 65 seg | 1 AC 4x565/72*  | -12.6 | 25.1        | -12.6 | 25.1        |  |  |
| LIQi2355 » | Obj: C420 | 68 seg | 10 AC 4x565/72* | -12.6 | 25.1        | -12.6 | 25.1        |  |  |
| LIQi1346 » | Obj: C420 | 5 seg  | 9 AC 4x565/72*  | -12.7 | 25.1        | -12.7 | 25.1        |  |  |
| LIQi2090 » | Obj: C420 | 52 seg | 1 AC 4x565/72*  | -12.7 | 25.1        | -12.7 | 25.1        |  |  |
| LIQi2323 » | Obj: C420 | 66 seg | 10 AC 4x565/72* | -12.7 | 25.1        | -12.7 | 25.1        |  |  |
| LIQi1817 » | Obj: C420 | 34 seg | 16 AC 4x565/72* | -12.8 | 25.1        | -12.8 | 25.1        |  |  |
| LIQi1622 » | Obj: C420 | 22 seg | 13 AC 4x565/72* | -12.8 | 25.1        | -12.8 | 25.1        |  |  |
| LIQi2137 » | Obj: C420 | 54 seg | 16 AC 4x565/72* | -12.9 | 25.1        | -12.9 | 25.1        |  |  |
| LIQi2356 » | Obj: C420 | 68 seg | 11 AC 4x565/72* | -12.9 | 25.1        | -12.9 | 25.1        |  |  |
| LIQi2324 » | Obj: C420 | 66 seg | 11 AC 4x565/72* | -13.1 | 25.1        | -13.1 | 25.1        |  |  |
| LIQi2299 » | Obj: C420 | 65 seg | 2 AC 4x565/72*  | -13.1 | 25.1        | -13.1 | 25.1        |  |  |
| LIQi1411 » | Obj: C420 | 9 seg  | 10 AC 4x565/72* | -13.2 | 25.1        | -13.2 | 25.1        |  |  |
| LIQi1575 » | Obj: C420 | 19 seg | 14 AC 4x565/72* | -13.3 | 25.1        | -13.3 | 25.1        |  |  |
| LIQi2357 » | Obj: C420 | 68 seg | 12 AC 4x565/72* | -13.3 | 25.1        | -13.3 | 25.1        |  |  |
| LIQi1345 » | Obj: C420 | 5 seg  | 8 AC 4x565/72*  | -13.4 | 25.1        | -13.4 | 25.1        |  |  |
| LIQi2325 » | Obj: C420 | 66 seg | 12 AC 4x565/72* | -13.4 | 25.1        | -13.4 | 25.1        |  |  |
| LIQi2358 » | Obj: C420 | 68 seg | 13 AC 4x565/72* | -13.5 | 25.1        | -13.5 | 25.1        |  |  |
| LIQi1410 » | Obj: C420 | 9 seg  | 9 AC 4x565/72*  | -13.5 | 25.1        | -13.5 | 25.1        |  |  |
| LIQi2362 » | Obj: C420 | 69 seg | 1 AC 4x565/72*  | -13.6 | 25.1        | -13.6 | 25.1        |  |  |
| LIQi1344 » | Obj: C420 | 5 seg  | 7 AC 4x565/72*  | -13.7 | 25.1        | -13.7 | 25.1        |  |  |
| LIQi2326 » | Obj: C420 | 66 seg | 13 AC 4x565/72* | -13.7 | 25.1        | -13.7 | 25.1        |  |  |
| LIQi2300 » | Obj: C420 | 65 seg | 3 AC 4x565/72*  | -13.7 | 25.1        | -13.7 | 25.1        |  |  |
| LIQi2359 » | Obj: C420 | 68 seg | 14 AC 4x565/72* | -13.7 | 25.2        | -13.7 | 25.2        |  |  |
| n=931      | Summe     |        |                 |       | <b>25.2</b> |       | <b>25.2</b> |  |  |



| IPkt035 »  | 9         | Variante 1      |                 | Einstellung: Kopie von "Referenzeinstellung" |      |              |      |  |  |
|------------|-----------|-----------------|-----------------|--|------|--------------|------|--|--|
|            |           | x = 717240.46 m |                 | y = 5404788.60 m                             |      | z = 445.00 m |      |  |  |
|            |           | Tag             |                 | Nacht  |      |              |      |  |  |
|            |           | Lr,i,A          | Lr,A            | Lr,i,A                                       | Lr,A |              |      |  |  |
|            |           | /dB             | /dB             | /dB  | /dB  |              |      |  |  |
| LIQi1873 » | Obj: C420 | 38 seg          | 8 AC 4x565/72*  | 4.7  | 4.7  | 4.7          | 4.7  |  |  |
| LIQi1874 » | Obj: C420 | 38 seg          | 9 AC 4x565/72*  | 4.7  | 7.7  | 4.7          | 7.7  |  |  |
| LIQi1872 » | Obj: C420 | 38 seg          | 7 AC 4x565/72*  | 4.6  | 9.4  | 4.6          | 9.4  |  |  |
| LIQi1875 » | Obj: C420 | 38 seg          | 10 AC 4x565/72* | 4.6  | 10.6 | 4.6          | 10.6 |  |  |
| LIQi1871 » | Obj: C420 | 38 seg          | 6 AC 4x565/72*  | 4.4  | 11.6 | 4.4          | 11.6 |  |  |
| LIQi1876 » | Obj: C420 | 38 seg          | 11 AC 4x565/72* | 4.4  | 12.3 | 4.4          | 12.3 |  |  |
| LIQi1870 » | Obj: C420 | 38 seg          | 5 AC 4x565/72*  | 4.2  | 12.9 | 4.2          | 12.9 |  |  |
| LIQi1877 » | Obj: C420 | 38 seg          | 12 AC 4x565/72* | 4.1  | 13.5 | 4.1          | 13.5 |  |  |
| LIQi1869 » | Obj: C420 | 38 seg          | 4 AC 4x565/72*  | 3.9  | 13.9 | 3.9          | 13.9 |  |  |
| LIQi1841 » | Obj: C420 | 36 seg          | 8 AC 4x565/72*  | 3.9  | 14.3 | 3.9          | 14.3 |  |  |
| LIQi1842 » | Obj: C420 | 36 seg          | 9 AC 4x565/72*  | 3.8  | 14.7 | 3.8          | 14.7 |  |  |
| LIQi1840 » | Obj: C420 | 36 seg          | 7 AC 4x565/72*  | 3.8  | 15.0 | 3.8          | 15.0 |  |  |
| LIQi1878 » | Obj: C420 | 38 seg          | 13 AC 4x565/72* | 3.8  | 15.4 | 3.8          | 15.4 |  |  |
| LIQi1843 » | Obj: C420 | 36 seg          | 10 AC 4x565/72* | 3.7  | 15.6 | 3.7          | 15.6 |  |  |
| LIQi1839 » | Obj: C420 | 36 seg          | 6 AC 4x565/72*  | 3.6  | 15.9 | 3.6          | 15.9 |  |  |
| LIQi1844 » | Obj: C420 | 36 seg          | 11 AC 4x565/72* | 3.6  | 16.2 | 3.6          | 16.2 |  |  |
| LIQi1868 » | Obj: C420 | 38 seg          | 3 AC 4x565/72*  | 3.5  | 16.4 | 3.5          | 16.4 |  |  |
| LIQi1838 » | Obj: C420 | 36 seg          | 5 AC 4x565/72*  | 3.4  | 16.6 | 3.4          | 16.6 |  |  |
| LIQi1879 » | Obj: C420 | 38 seg          | 14 AC 4x565/72* | 3.4  | 16.8 | 3.4          | 16.8 |  |  |
| LIQi1845 » | Obj: C420 | 36 seg          | 12 AC 4x565/72* | 3.3  | 17.0 | 3.3          | 17.0 |  |  |
| LIQi1837 » | Obj: C420 | 36 seg          | 4 AC 4x565/72*  | 3.1  | 17.2 | 3.1          | 17.2 |  |  |
| LIQi1880 » | Obj: C420 | 38 seg          | 15 AC 4x565/72* | 3.1  | 17.3 | 3.1          | 17.3 |  |  |
| LIQi1867 » | Obj: C420 | 38 seg          | 2 AC 4x565/72*  | 3.1  | 17.5 | 3.1          | 17.5 |  |  |
| LIQi1846 » | Obj: C420 | 36 seg          | 13 AC 4x565/72* | 3.1  | 17.7 | 3.1          | 17.7 |  |  |
| LIQi1836 » | Obj: C420 | 36 seg          | 3 AC 4x565/72*  | 2.8  | 17.8 | 2.8          | 17.8 |  |  |
| LIQi1847 » | Obj: C420 | 36 seg          | 14 AC 4x565/72* | 2.7  | 17.9 | 2.7          | 17.9 |  |  |
| LIQi1881 » | Obj: C420 | 38 seg          | 16 AC 4x565/72* | 2.7  | 18.1 | 2.7          | 18.1 |  |  |
| LIQi1866 » | Obj: C420 | 38 seg          | 1 AC 4x565/72*  | 2.7  | 18.2 | 2.7          | 18.2 |  |  |
| LIQi1835 » | Obj: C420 | 36 seg          | 2 AC 4x565/72*  | 2.5  | 18.3 | 2.5          | 18.3 |  |  |
| LIQi1848 » | Obj: C420 | 36 seg          | 15 AC 4x565/72* | 2.4  | 18.4 | 2.4          | 18.4 |  |  |
| LIQi1834 » | Obj: C420 | 36 seg          | 1 AC 4x565/72*  | 2.1  | 18.5 | 2.1          | 18.5 |  |  |
| LIQi1849 » | Obj: C420 | 36 seg          | 16 AC 4x565/72* | 2.1  | 18.6 | 2.1          | 18.6 |  |  |
| LIQi2106 » | Obj: C420 | 53 seg          | 1 AC 4x565/72*  | 1.9  | 18.7 | 1.9          | 18.7 |  |  |
| LIQi2074 » | Obj: C420 | 51 seg          | 1 AC 4x565/72*  | 1.3  | 18.8 | 1.3          | 18.8 |  |  |
| LIQi1641 » | Obj: C420 | 23 seg          | 16 AC 4x565/72* | 1.1  | 18.8 | 1.1          | 18.8 |  |  |
| LIQi2107 » | Obj: C420 | 53 seg          | 2 AC 4x565/72*  | 1.0  | 18.9 | 1.0          | 18.9 |  |  |
| LIQi1609 » | Obj: C420 | 21 seg          | 16 AC 4x565/72* | 0.6  | 19.0 | 0.6          | 19.0 |  |  |
| LIQi2075 » | Obj: C420 | 51 seg          | 2 AC 4x565/72*  | 0.5  | 19.0 | 0.5          | 19.0 |  |  |
| LIQi1640 » | Obj: C420 | 23 seg          | 15 AC 4x565/72* | 0.4  | 19.1 | 0.4          | 19.1 |  |  |
| LIQi2108 » | Obj: C420 | 53 seg          | 3 AC 4x565/72*  | 0.0  | 19.2 | 0.0          | 19.2 |  |  |
| LIQi1608 » | Obj: C420 | 21 seg          | 15 AC 4x565/72* | -0.2   | 19.2 | -0.2         | 19.2 |  |  |
| LIQi1639 » | Obj: C420 | 23 seg          | 14 AC 4x565/72* | -0.2   | 19.3 | -0.2         | 19.3 |  |  |
| LIQi1889 » | Obj: C420 | 39 seg          | 8 AC 4x565/72*  | -0.3   | 19.3 | -0.3         | 19.3 |  |  |
| LIQi1890 » | Obj: C420 | 39 seg          | 9 AC 4x565/72*  | -0.4   | 19.3 | -0.4         | 19.3 |  |  |
| LIQi1888 » | Obj: C420 | 39 seg          | 7 AC 4x565/72*  | -0.4   | 19.4 | -0.4         | 19.4 |  |  |
| LIQi2076 » | Obj: C420 | 51 seg          | 3 AC 4x565/72*  | -0.4   | 19.4 | -0.4         | 19.4 |  |  |
| LIQi1891 » | Obj: C420 | 39 seg          | 10 AC 4x565/72* | -0.5   | 19.5 | -0.5         | 19.5 |  |  |
| LIQi1825 » | Obj: C420 | 35 seg          | 8 AC 4x565/72*  | -0.5   | 19.5 | -0.5         | 19.5 |  |  |
| LIQi1826 » | Obj: C420 | 35 seg          | 9 AC 4x565/72*  | -0.5   | 19.6 | -0.5         | 19.6 |  |  |
| LIQi1824 » | Obj: C420 | 35 seg          | 7 AC 4x565/72*  | -0.6   | 19.6 | -0.6         | 19.6 |  |  |
| LIQi1887 » | Obj: C420 | 39 seg          | 6 AC 4x565/72*  | -0.6   | 19.7 | -0.6         | 19.7 |  |  |



|            |           |        |                 |      |      |      |      |  |  |
|------------|-----------|--------|-----------------|------|------|------|------|--|--|
| LIQi1827 » | Obj: C420 | 35 seg | 10 AC 4x565/72* | -0.6 | 19.7 | -0.6 | 19.7 |  |  |
| LIQi1892 » | Obj: C420 | 39 seg | 11 AC 4x565/72* | -0.7 | 19.7 | -0.7 | 19.7 |  |  |
| LIQi1823 » | Obj: C420 | 35 seg | 6 AC 4x565/72*  | -0.7 | 19.8 | -0.7 | 19.8 |  |  |
| LIQi1607 » | Obj: C420 | 21 seg | 14 AC 4x565/72* | -0.7 | 19.8 | -0.7 | 19.8 |  |  |
| LIQi2109 » | Obj: C420 | 53 seg | 4 AC 4x565/72*  | -0.8 | 19.8 | -0.8 | 19.8 |  |  |
| LIQi1828 » | Obj: C420 | 35 seg | 11 AC 4x565/72* | -0.8 | 19.9 | -0.8 | 19.9 |  |  |
| LIQi1886 » | Obj: C420 | 39 seg | 5 AC 4x565/72*  | -0.9 | 19.9 | -0.9 | 19.9 |  |  |
| LIQi1638 » | Obj: C420 | 23 seg | 13 AC 4x565/72* | -0.9 | 20.0 | -0.9 | 20.0 |  |  |
| LIQi1822 » | Obj: C420 | 35 seg | 5 AC 4x565/72*  | -0.9 | 20.0 | -0.9 | 20.0 |  |  |
| LIQi1893 » | Obj: C420 | 39 seg | 12 AC 4x565/72* | -1.0 | 20.0 | -1.0 | 20.0 |  |  |
| LIQi1829 » | Obj: C420 | 35 seg | 12 AC 4x565/72* | -1.0 | 20.1 | -1.0 | 20.1 |  |  |
| LIQi1885 » | Obj: C420 | 39 seg | 4 AC 4x565/72*  | -1.2 | 20.1 | -1.2 | 20.1 |  |  |
| LIQi1821 » | Obj: C420 | 35 seg | 4 AC 4x565/72*  | -1.2 | 20.1 | -1.2 | 20.1 |  |  |
| LIQi2077 » | Obj: C420 | 51 seg | 4 AC 4x565/72*  | -1.2 | 20.2 | -1.2 | 20.2 |  |  |
| LIQi1830 » | Obj: C420 | 35 seg | 13 AC 4x565/72* | -1.3 | 20.2 | -1.3 | 20.2 |  |  |
| LIQi1894 » | Obj: C420 | 39 seg | 13 AC 4x565/72* | -1.3 | 20.2 | -1.3 | 20.2 |  |  |
| LIQi1637 » | Obj: C420 | 23 seg | 12 AC 4x565/72* | -1.3 | 20.2 | -1.3 | 20.2 |  |  |
| LIQi1606 » | Obj: C420 | 21 seg | 13 AC 4x565/72* | -1.4 | 20.3 | -1.4 | 20.3 |  |  |
| LIQi2110 » | Obj: C420 | 53 seg | 5 AC 4x565/72*  | -1.5 | 20.3 | -1.5 | 20.3 |  |  |
| LIQi1820 » | Obj: C420 | 35 seg | 3 AC 4x565/72*  | -1.5 | 20.3 | -1.5 | 20.3 |  |  |
| LIQi1884 » | Obj: C420 | 39 seg | 3 AC 4x565/72*  | -1.6 | 20.4 | -1.6 | 20.4 |  |  |
| LIQi1831 » | Obj: C420 | 35 seg | 14 AC 4x565/72* | -1.6 | 20.4 | -1.6 | 20.4 |  |  |
| LIQi1895 » | Obj: C420 | 39 seg | 14 AC 4x565/72* | -1.7 | 20.4 | -1.7 | 20.4 |  |  |
| LIQi1605 » | Obj: C420 | 21 seg | 12 AC 4x565/72* | -1.8 | 20.4 | -1.8 | 20.4 |  |  |
| LIQi1819 » | Obj: C420 | 35 seg | 2 AC 4x565/72*  | -1.9 | 20.5 | -1.9 | 20.5 |  |  |
| LIQi1832 » | Obj: C420 | 35 seg | 15 AC 4x565/72* | -1.9 | 20.5 | -1.9 | 20.5 |  |  |
| LIQi2078 » | Obj: C420 | 51 seg | 5 AC 4x565/72*  | -2.0 | 20.5 | -2.0 | 20.5 |  |  |
| LIQi1636 » | Obj: C420 | 23 seg | 11 AC 4x565/72* | -2.0 | 20.5 | -2.0 | 20.5 |  |  |
| LIQi1883 » | Obj: C420 | 39 seg | 2 AC 4x565/72*  | -2.0 | 20.6 | -2.0 | 20.6 |  |  |
| LIQi1896 » | Obj: C420 | 39 seg | 15 AC 4x565/72* | -2.1 | 20.6 | -2.1 | 20.6 |  |  |
| LIQi2111 » | Obj: C420 | 53 seg | 6 AC 4x565/72*  | -2.2 | 20.6 | -2.2 | 20.6 |  |  |
| LIQi1818 » | Obj: C420 | 35 seg | 1 AC 4x565/72*  | -2.3 | 20.6 | -2.3 | 20.6 |  |  |
| LIQi1833 » | Obj: C420 | 35 seg | 16 AC 4x565/72* | -2.3 | 20.7 | -2.3 | 20.7 |  |  |
| LIQi1635 » | Obj: C420 | 23 seg | 10 AC 4x565/72* | -2.3 | 20.7 | -2.3 | 20.7 |  |  |
| LIQi1604 » | Obj: C420 | 21 seg | 11 AC 4x565/72* | -2.4 | 20.7 | -2.4 | 20.7 |  |  |
| LIQi1882 » | Obj: C420 | 39 seg | 1 AC 4x565/72*  | -2.5 | 20.7 | -2.5 | 20.7 |  |  |
| LIQi1897 » | Obj: C420 | 39 seg | 16 AC 4x565/72* | -2.6 | 20.7 | -2.6 | 20.7 |  |  |
| LIQi2079 » | Obj: C420 | 51 seg | 6 AC 4x565/72*  | -2.6 | 20.8 | -2.6 | 20.8 |  |  |
| LIQi1603 » | Obj: C420 | 21 seg | 10 AC 4x565/72* | -2.8 | 20.8 | -2.8 | 20.8 |  |  |
| LIQi2112 » | Obj: C420 | 53 seg | 7 AC 4x565/72*  | -2.9 | 20.8 | -2.9 | 20.8 |  |  |
| LIQi1634 » | Obj: C420 | 23 seg | 9 AC 4x565/72*  | -2.9 | 20.8 | -2.9 | 20.8 |  |  |
| LIQi2058 » | Obj: C420 | 50 seg | 1 AC 4x565/72*  | -3.0 | 20.8 | -3.0 | 20.8 |  |  |
| LIQi1633 » | Obj: C420 | 23 seg | 8 AC 4x565/72*  | -3.2 | 20.9 | -3.2 | 20.9 |  |  |
| LIQi2080 » | Obj: C420 | 51 seg | 7 AC 4x565/72*  | -3.3 | 20.9 | -3.3 | 20.9 |  |  |
| LIQi1602 » | Obj: C420 | 21 seg | 9 AC 4x565/72*  | -3.3 | 20.9 | -3.3 | 20.9 |  |  |
| LIQi2122 » | Obj: C420 | 54 seg | 1 AC 4x565/72*  | -3.3 | 20.9 | -3.3 | 20.9 |  |  |
| LIQi2113 » | Obj: C420 | 53 seg | 8 AC 4x565/72*  | -3.5 | 20.9 | -3.5 | 20.9 |  |  |
| LIQi1601 » | Obj: C420 | 21 seg | 8 AC 4x565/72*  | -3.5 | 20.9 | -3.5 | 20.9 |  |  |
| LIQi1632 » | Obj: C420 | 23 seg | 7 AC 4x565/72*  | -3.7 | 21.0 | -3.7 | 21.0 |  |  |
| LIQi1593 » | Obj: C420 | 20 seg | 16 AC 4x565/72* | -3.7 | 21.0 | -3.7 | 21.0 |  |  |
| LIQi2059 » | Obj: C420 | 50 seg | 2 AC 4x565/72*  | -3.9 | 21.0 | -3.9 | 21.0 |  |  |
| LIQi1631 » | Obj: C420 | 23 seg | 6 AC 4x565/72*  | -3.9 | 21.0 | -3.9 | 21.0 |  |  |
| LIQi2081 » | Obj: C420 | 51 seg | 8 AC 4x565/72*  | -3.9 | 21.0 | -3.9 | 21.0 |  |  |
| LIQi1600 » | Obj: C420 | 21 seg | 7 AC 4x565/72*  | -4.0 | 21.0 | -4.0 | 21.0 |  |  |
| LIQi2114 » | Obj: C420 | 53 seg | 9 AC 4x565/72*  | -4.1 | 21.0 | -4.1 | 21.0 |  |  |



|            |           |        |                 |      |      |      |      |  |  |
|------------|-----------|--------|-----------------|------|------|------|------|--|--|
| LIQi1657 » | Obj: C420 | 24 seg | 16 AC 4x565/72* | -4.1 | 21.0 | -4.1 | 21.0 |  |  |
| LIQi1599 » | Obj: C420 | 21 seg | 6 AC 4x565/72*  | -4.2 | 21.1 | -4.2 | 21.1 |  |  |
| LIQi2123 » | Obj: C420 | 54 seg | 2 AC 4x565/72*  | -4.2 | 21.1 | -4.2 | 21.1 |  |  |
| LIQi1630 » | Obj: C420 | 23 seg | 5 AC 4x565/72*  | -4.3 | 21.1 | -4.3 | 21.1 |  |  |
| LIQi1592 » | Obj: C420 | 20 seg | 15 AC 4x565/72* | -4.4 | 21.1 | -4.4 | 21.1 |  |  |
| LIQi2082 » | Obj: C420 | 51 seg | 9 AC 4x565/72*  | -4.4 | 21.1 | -4.4 | 21.1 |  |  |
| LIQi1629 » | Obj: C420 | 23 seg | 4 AC 4x565/72*  | -4.5 | 21.1 | -4.5 | 21.1 |  |  |
| LIQi2115 » | Obj: C420 | 53 seg | 10 AC 4x565/72* | -4.6 | 21.1 | -4.6 | 21.1 |  |  |
| LIQi2060 » | Obj: C420 | 50 seg | 3 AC 4x565/72*  | -4.7 | 21.1 | -4.7 | 21.1 |  |  |
| LIQi1598 » | Obj: C420 | 21 seg | 5 AC 4x565/72*  | -4.7 | 21.2 | -4.7 | 21.2 |  |  |
| LIQi1597 » | Obj: C420 | 21 seg | 4 AC 4x565/72*  | -4.8 | 21.2 | -4.8 | 21.2 |  |  |
| LIQi1656 » | Obj: C420 | 24 seg | 15 AC 4x565/72* | -4.8 | 21.2 | -4.8 | 21.2 |  |  |
| LIQi1591 » | Obj: C420 | 20 seg | 14 AC 4x565/72* | -4.9 | 21.2 | -4.9 | 21.2 |  |  |
| LIQi1628 » | Obj: C420 | 23 seg | 3 AC 4x565/72*  | -4.9 | 21.2 | -4.9 | 21.2 |  |  |
| LIQi2083 » | Obj: C420 | 51 seg | 10 AC 4x565/72* | -5.0 | 21.2 | -5.0 | 21.2 |  |  |
| LIQi1627 » | Obj: C420 | 23 seg | 2 AC 4x565/72*  | -5.0 | 21.2 | -5.0 | 21.2 |  |  |
| LIQi2124 » | Obj: C420 | 54 seg | 3 AC 4x565/72*  | -5.0 | 21.2 | -5.0 | 21.2 |  |  |
| LIQi2116 » | Obj: C420 | 53 seg | 11 AC 4x565/72* | -5.1 | 21.2 | -5.1 | 21.2 |  |  |
| LIQi1596 » | Obj: C420 | 21 seg | 3 AC 4x565/72*  | -5.2 | 21.3 | -5.2 | 21.3 |  |  |
| LIQi1595 » | Obj: C420 | 21 seg | 2 AC 4x565/72*  | -5.3 | 21.3 | -5.3 | 21.3 |  |  |
| LIQi1655 » | Obj: C420 | 24 seg | 14 AC 4x565/72* | -5.4 | 21.3 | -5.4 | 21.3 |  |  |
| LIQi1626 » | Obj: C420 | 23 seg | 1 AC 4x565/72*  | -5.4 | 21.3 | -5.4 | 21.3 |  |  |
| LIQi2061 » | Obj: C420 | 50 seg | 4 AC 4x565/72*  | -5.4 | 21.3 | -5.4 | 21.3 |  |  |
| LIQi2084 » | Obj: C420 | 51 seg | 11 AC 4x565/72* | -5.5 | 21.3 | -5.5 | 21.3 |  |  |
| LIQi1590 » | Obj: C420 | 20 seg | 13 AC 4x565/72* | -5.5 | 21.3 | -5.5 | 21.3 |  |  |
| LIQi2117 » | Obj: C420 | 53 seg | 12 AC 4x565/72* | -5.6 | 21.3 | -5.6 | 21.3 |  |  |
| LIQi1594 » | Obj: C420 | 21 seg | 1 AC 4x565/72*  | -5.6 | 21.3 | -5.6 | 21.3 |  |  |
| LIQi2125 » | Obj: C420 | 54 seg | 4 AC 4x565/72*  | -5.8 | 21.3 | -5.8 | 21.3 |  |  |
| LIQi1589 » | Obj: C420 | 20 seg | 12 AC 4x565/72* | -5.9 | 21.3 | -5.9 | 21.3 |  |  |
| LIQi2085 » | Obj: C420 | 51 seg | 12 AC 4x565/72* | -5.9 | 21.3 | -5.9 | 21.3 |  |  |
| LIQi2118 » | Obj: C420 | 53 seg | 13 AC 4x565/72* | -6.0 | 21.4 | -6.0 | 21.4 |  |  |
| LIQi2062 » | Obj: C420 | 50 seg | 5 AC 4x565/72*  | -6.1 | 21.4 | -6.1 | 21.4 |  |  |
| LIQi1654 » | Obj: C420 | 24 seg | 13 AC 4x565/72* | -6.1 | 21.4 | -6.1 | 21.4 |  |  |
| LIQi2086 » | Obj: C420 | 51 seg | 13 AC 4x565/72* | -6.4 | 21.4 | -6.4 | 21.4 |  |  |
| LIQi1653 » | Obj: C420 | 24 seg | 12 AC 4x565/72* | -6.4 | 21.4 | -6.4 | 21.4 |  |  |
| LIQi2119 » | Obj: C420 | 53 seg | 14 AC 4x565/72* | -6.5 | 21.4 | -6.5 | 21.4 |  |  |
| LIQi1588 » | Obj: C420 | 20 seg | 11 AC 4x565/72* | -6.5 | 21.4 | -6.5 | 21.4 |  |  |
| LIQi2126 » | Obj: C420 | 54 seg | 5 AC 4x565/72*  | -6.5 | 21.4 | -6.5 | 21.4 |  |  |
| LIQi1401 » | Obj: C420 | 8 seg  | 16 AC 4x565/72* | -6.6 | 21.4 | -6.6 | 21.4 |  |  |
| LIQi2063 » | Obj: C420 | 50 seg | 6 AC 4x565/72*  | -6.7 | 21.4 | -6.7 | 21.4 |  |  |
| LIQi2120 » | Obj: C420 | 53 seg | 15 AC 4x565/72* | -6.7 | 21.4 | -6.7 | 21.4 |  |  |
| LIQi2087 » | Obj: C420 | 51 seg | 14 AC 4x565/72* | -6.8 | 21.4 | -6.8 | 21.4 |  |  |
| LIQi1369 » | Obj: C420 | 6 seg  | 16 AC 4x565/72* | -6.8 | 21.4 | -6.8 | 21.4 |  |  |
| LIQi1587 » | Obj: C420 | 20 seg | 10 AC 4x565/72* | -6.9 | 21.4 | -6.9 | 21.4 |  |  |
| LIQi1400 » | Obj: C420 | 8 seg  | 15 AC 4x565/72* | -7.0 | 21.5 | -7.0 | 21.5 |  |  |
| LIQi2088 » | Obj: C420 | 51 seg | 15 AC 4x565/72* | -7.0 | 21.5 | -7.0 | 21.5 |  |  |
| LIQi1652 » | Obj: C420 | 24 seg | 11 AC 4x565/72* | -7.0 | 21.5 | -7.0 | 21.5 |  |  |
| LIQi2121 » | Obj: C420 | 53 seg | 16 AC 4x565/72* | -7.1 | 21.5 | -7.1 | 21.5 |  |  |
| LIQi1368 » | Obj: C420 | 6 seg  | 15 AC 4x565/72* | -7.2 | 21.5 | -7.2 | 21.5 |  |  |
| LIQi2127 » | Obj: C420 | 54 seg | 6 AC 4x565/72*  | -7.2 | 21.5 | -7.2 | 21.5 |  |  |
| LIQi2064 » | Obj: C420 | 50 seg | 7 AC 4x565/72*  | -7.3 | 21.5 | -7.3 | 21.5 |  |  |
| LIQi1586 » | Obj: C420 | 20 seg | 9 AC 4x565/72*  | -7.4 | 21.5 | -7.4 | 21.5 |  |  |
| LIQi2089 » | Obj: C420 | 51 seg | 16 AC 4x565/72* | -7.4 | 21.5 | -7.4 | 21.5 |  |  |
| LIQi1651 » | Obj: C420 | 24 seg | 10 AC 4x565/72* | -7.4 | 21.5 | -7.4 | 21.5 |  |  |
| LIQi1585 » | Obj: C420 | 20 seg | 8 AC 4x565/72*  | -7.6 | 21.5 | -7.6 | 21.5 |  |  |





|            |           |        |                 |       |      |       |      |  |  |
|------------|-----------|--------|-----------------|-------|------|-------|------|--|--|
| LIQi2346 » | Obj: C420 | 68 seg | 1 AC 4x565/72*  | -7.7  | 21.5 | -7.7  | 21.5 |  |  |
| LIQi2128 » | Obj: C420 | 54 seg | 7 AC 4x565/72*  | -7.8  | 21.5 | -7.8  | 21.5 |  |  |
| LIQi2065 » | Obj: C420 | 50 seg | 8 AC 4x565/72*  | -7.9  | 21.5 | -7.9  | 21.5 |  |  |
| LIQi1399 » | Obj: C420 | 8 seg  | 14 AC 4x565/72* | -7.9  | 21.5 | -7.9  | 21.5 |  |  |
| LIQi1650 » | Obj: C420 | 24 seg | 9 AC 4x565/72*  | -8.0  | 21.5 | -8.0  | 21.5 |  |  |
| LIQi2314 » | Obj: C420 | 66 seg | 1 AC 4x565/72*  | -8.0  | 21.5 | -8.0  | 21.5 |  |  |
| LIQi1584 » | Obj: C420 | 20 seg | 7 AC 4x565/72*  | -8.1  | 21.5 | -8.1  | 21.5 |  |  |
| LIQi1367 » | Obj: C420 | 6 seg  | 14 AC 4x565/72* | -8.1  | 21.6 | -8.1  | 21.6 |  |  |
| LIQi1398 » | Obj: C420 | 8 seg  | 13 AC 4x565/72* | -8.2  | 21.6 | -8.2  | 21.6 |  |  |
| LIQi2347 » | Obj: C420 | 68 seg | 2 AC 4x565/72*  | -8.3  | 21.6 | -8.3  | 21.6 |  |  |
| LIQi1583 » | Obj: C420 | 20 seg | 6 AC 4x565/72*  | -8.3  | 21.6 | -8.3  | 21.6 |  |  |
| LIQi1649 » | Obj: C420 | 24 seg | 8 AC 4x565/72*  | -8.3  | 21.6 | -8.3  | 21.6 |  |  |
| LIQi2129 » | Obj: C420 | 54 seg | 8 AC 4x565/72*  | -8.4  | 21.6 | -8.4  | 21.6 |  |  |
| LIQi1366 » | Obj: C420 | 6 seg  | 13 AC 4x565/72* | -8.4  | 21.6 | -8.4  | 21.6 |  |  |
| LIQi2066 » | Obj: C420 | 50 seg | 9 AC 4x565/72*  | -8.5  | 21.6 | -8.5  | 21.6 |  |  |
| LIQi2315 » | Obj: C420 | 66 seg | 2 AC 4x565/72*  | -8.6  | 21.6 | -8.6  | 21.6 |  |  |
| LIQi1582 » | Obj: C420 | 20 seg | 5 AC 4x565/72*  | -8.7  | 21.6 | -8.7  | 21.6 |  |  |
| LIQi1581 » | Obj: C420 | 20 seg | 4 AC 4x565/72*  | -8.8  | 21.6 | -8.8  | 21.6 |  |  |
| LIQi1648 » | Obj: C420 | 24 seg | 7 AC 4x565/72*  | -8.8  | 21.6 | -8.8  | 21.6 |  |  |
| LIQi1397 » | Obj: C420 | 8 seg  | 12 AC 4x565/72* | -8.8  | 21.6 | -8.8  | 21.6 |  |  |
| LIQi1647 » | Obj: C420 | 24 seg | 6 AC 4x565/72*  | -8.9  | 21.6 | -8.9  | 21.6 |  |  |
| LIQi2348 » | Obj: C420 | 68 seg | 3 AC 4x565/72*  | -9.0  | 21.6 | -9.0  | 21.6 |  |  |
| LIQi2067 » | Obj: C420 | 50 seg | 10 AC 4x565/72* | -9.0  | 21.6 | -9.0  | 21.6 |  |  |
| LIQi2130 » | Obj: C420 | 54 seg | 9 AC 4x565/72*  | -9.1  | 21.6 | -9.1  | 21.6 |  |  |
| LIQi1580 » | Obj: C420 | 20 seg | 3 AC 4x565/72*  | -9.1  | 21.6 | -9.1  | 21.6 |  |  |
| LIQi1396 » | Obj: C420 | 8 seg  | 11 AC 4x565/72* | -9.2  | 21.6 | -9.2  | 21.6 |  |  |
| LIQi1365 » | Obj: C420 | 6 seg  | 12 AC 4x565/72* | -9.2  | 21.6 | -9.2  | 21.6 |  |  |
| LIQi1579 » | Obj: C420 | 20 seg | 2 AC 4x565/72*  | -9.2  | 21.6 | -9.2  | 21.6 |  |  |
| LIQi2316 » | Obj: C420 | 66 seg | 3 AC 4x565/72*  | -9.2  | 21.6 | -9.2  | 21.6 |  |  |
| LIQi1646 » | Obj: C420 | 24 seg | 5 AC 4x565/72*  | -9.4  | 21.6 | -9.4  | 21.6 |  |  |
| LIQi1364 » | Obj: C420 | 6 seg  | 11 AC 4x565/72* | -9.5  | 21.6 | -9.5  | 21.6 |  |  |
| LIQi1645 » | Obj: C420 | 24 seg | 4 AC 4x565/72*  | -9.5  | 21.6 | -9.5  | 21.6 |  |  |
| LIQi2349 » | Obj: C420 | 68 seg | 4 AC 4x565/72*  | -9.5  | 21.6 | -9.5  | 21.6 |  |  |
| LIQi2068 » | Obj: C420 | 50 seg | 11 AC 4x565/72* | -9.5  | 21.7 | -9.5  | 21.7 |  |  |
| LIQi1578 » | Obj: C420 | 20 seg | 1 AC 4x565/72*  | -9.6  | 21.7 | -9.6  | 21.7 |  |  |
| LIQi2131 » | Obj: C420 | 54 seg | 10 AC 4x565/72* | -9.7  | 21.7 | -9.7  | 21.7 |  |  |
| LIQi2317 » | Obj: C420 | 66 seg | 4 AC 4x565/72*  | -9.8  | 21.7 | -9.8  | 21.7 |  |  |
| LIQi1395 » | Obj: C420 | 8 seg  | 10 AC 4x565/72* | -9.9  | 21.7 | -9.9  | 21.7 |  |  |
| LIQi1644 » | Obj: C420 | 24 seg | 3 AC 4x565/72*  | -9.9  | 21.7 | -9.9  | 21.7 |  |  |
| LIQi1643 » | Obj: C420 | 24 seg | 2 AC 4x565/72*  | -10.0 | 21.7 | -10.0 | 21.7 |  |  |
| LIQi2350 » | Obj: C420 | 68 seg | 5 AC 4x565/72*  | -10.0 | 21.7 | -10.0 | 21.7 |  |  |
| LIQi2069 » | Obj: C420 | 50 seg | 12 AC 4x565/72* | -10.0 | 21.7 | -10.0 | 21.7 |  |  |
| LIQi1394 » | Obj: C420 | 8 seg  | 9 AC 4x565/72*  | -10.1 | 21.7 | -10.1 | 21.7 |  |  |
| LIQi1363 » | Obj: C420 | 6 seg  | 10 AC 4x565/72* | -10.2 | 21.7 | -10.2 | 21.7 |  |  |
| LIQi2318 » | Obj: C420 | 66 seg | 5 AC 4x565/72*  | -10.2 | 21.7 | -10.2 | 21.7 |  |  |
| LIQi2132 » | Obj: C420 | 54 seg | 11 AC 4x565/72* | -10.3 | 21.7 | -10.3 | 21.7 |  |  |
| LIQi1642 » | Obj: C420 | 24 seg | 1 AC 4x565/72*  | -10.3 | 21.7 | -10.3 | 21.7 |  |  |
| LIQi2351 » | Obj: C420 | 68 seg | 6 AC 4x565/72*  | -10.4 | 21.7 | -10.4 | 21.7 |  |  |
| LIQi1362 » | Obj: C420 | 6 seg  | 9 AC 4x565/72*  | -10.5 | 21.7 | -10.5 | 21.7 |  |  |
| LIQi2070 » | Obj: C420 | 50 seg | 13 AC 4x565/72* | -10.5 | 21.7 | -10.5 | 21.7 |  |  |
| LIQi2319 » | Obj: C420 | 66 seg | 6 AC 4x565/72*  | -10.7 | 21.7 | -10.7 | 21.7 |  |  |
| LIQi2133 » | Obj: C420 | 54 seg | 12 AC 4x565/72* | -10.7 | 21.7 | -10.7 | 21.7 |  |  |
| LIQi1393 » | Obj: C420 | 8 seg  | 8 AC 4x565/72*  | -10.8 | 21.7 | -10.8 | 21.7 |  |  |
| LIQi1353 » | Obj: C420 | 5 seg  | 16 AC 4x565/72* | -10.9 | 21.7 | -10.9 | 21.7 |  |  |
| LIQi2352 » | Obj: C420 | 68 seg | 7 AC 4x565/72*  | -10.9 | 21.7 | -10.9 | 21.7 |  |  |



|            |           |        |                 |       |      |       |      |  |  |
|------------|-----------|--------|-----------------|-------|------|-------|------|--|--|
| LIQi1857 » | Obj: C420 | 37 seg | 8 AC 4x565/72*  | -10.9 | 21.7 | -10.9 | 21.7 |  |  |
| LIQi2071 » | Obj: C420 | 50 seg | 14 AC 4x565/72* | -10.9 | 21.7 | -10.9 | 21.7 |  |  |
| LIQi1858 » | Obj: C420 | 37 seg | 9 AC 4x565/72*  | -10.9 | 21.7 | -10.9 | 21.7 |  |  |
| LIQi1856 » | Obj: C420 | 37 seg | 7 AC 4x565/72*  | -11.0 | 21.7 | -11.0 | 21.7 |  |  |
| LIQi1361 » | Obj: C420 | 6 seg  | 8 AC 4x565/72*  | -11.0 | 21.7 | -11.0 | 21.7 |  |  |
| LIQi1859 » | Obj: C420 | 37 seg | 10 AC 4x565/72* | -11.0 | 21.7 | -11.0 | 21.7 |  |  |
| LIQi1855 » | Obj: C420 | 37 seg | 6 AC 4x565/72*  | -11.1 | 21.7 | -11.1 | 21.7 |  |  |
| LIQi1392 » | Obj: C420 | 8 seg  | 7 AC 4x565/72*  | -11.1 | 21.7 | -11.1 | 21.7 |  |  |
| LIQi2320 » | Obj: C420 | 66 seg | 7 AC 4x565/72*  | -11.1 | 21.7 | -11.1 | 21.7 |  |  |
| LIQi1860 » | Obj: C420 | 37 seg | 11 AC 4x565/72* | -11.2 | 21.7 | -11.2 | 21.7 |  |  |
| LIQi2072 » | Obj: C420 | 50 seg | 15 AC 4x565/72* | -11.2 | 21.7 | -11.2 | 21.7 |  |  |
| LIQi1352 » | Obj: C420 | 5 seg  | 15 AC 4x565/72* | -11.2 | 21.7 | -11.2 | 21.7 |  |  |
| LIQi2134 » | Obj: C420 | 54 seg | 13 AC 4x565/72* | -11.3 | 21.7 | -11.3 | 21.7 |  |  |
| LIQi1360 » | Obj: C420 | 6 seg  | 7 AC 4x565/72*  | -11.3 | 21.7 | -11.3 | 21.7 |  |  |
| LIQi2353 » | Obj: C420 | 68 seg | 8 AC 4x565/72*  | -11.3 | 21.7 | -11.3 | 21.7 |  |  |
| LIQi1854 » | Obj: C420 | 37 seg | 5 AC 4x565/72*  | -11.3 | 21.7 | -11.3 | 21.7 |  |  |
| LIQi1861 » | Obj: C420 | 37 seg | 12 AC 4x565/72* | -11.4 | 21.7 | -11.4 | 21.7 |  |  |
| LIQi1853 » | Obj: C420 | 37 seg | 4 AC 4x565/72*  | -11.5 | 21.8 | -11.5 | 21.8 |  |  |
| LIQi1862 » | Obj: C420 | 37 seg | 13 AC 4x565/72* | -11.5 | 21.8 | -11.5 | 21.8 |  |  |
| LIQi2073 » | Obj: C420 | 50 seg | 16 AC 4x565/72* | -11.5 | 21.8 | -11.5 | 21.8 |  |  |
| LIQi2321 » | Obj: C420 | 66 seg | 8 AC 4x565/72*  | -11.6 | 21.8 | -11.6 | 21.8 |  |  |
| LIQi1417 » | Obj: C420 | 9 seg  | 16 AC 4x565/72* | -11.6 | 21.8 | -11.6 | 21.8 |  |  |
| LIQi1391 » | Obj: C420 | 8 seg  | 6 AC 4x565/72*  | -11.6 | 21.8 | -11.6 | 21.8 |  |  |
| LIQi2135 » | Obj: C420 | 54 seg | 14 AC 4x565/72* | -11.7 | 21.8 | -11.7 | 21.8 |  |  |
| LIQi1864 » | Obj: C420 | 37 seg | 15 AC 4x565/72* | -11.8 | 21.8 | -11.8 | 21.8 |  |  |
| LIQi2354 » | Obj: C420 | 68 seg | 9 AC 4x565/72*  | -11.8 | 21.8 | -11.8 | 21.8 |  |  |
| LIQi1851 » | Obj: C420 | 37 seg | 2 AC 4x565/72*  | -11.8 | 21.8 | -11.8 | 21.8 |  |  |
| LIQi1351 » | Obj: C420 | 5 seg  | 14 AC 4x565/72* | -11.9 | 21.8 | -11.9 | 21.8 |  |  |
| LIQi1390 » | Obj: C420 | 8 seg  | 5 AC 4x565/72*  | -11.9 | 21.8 | -11.9 | 21.8 |  |  |
| LIQi1852 » | Obj: C420 | 37 seg | 3 AC 4x565/72*  | -11.9 | 21.8 | -11.9 | 21.8 |  |  |
| LIQi1863 » | Obj: C420 | 37 seg | 14 AC 4x565/72* | -11.9 | 21.8 | -11.9 | 21.8 |  |  |
| LIQi1359 » | Obj: C420 | 6 seg  | 6 AC 4x565/72*  | -11.9 | 21.8 | -11.9 | 21.8 |  |  |
| LIQi2322 » | Obj: C420 | 66 seg | 9 AC 4x565/72*  | -11.9 | 21.8 | -11.9 | 21.8 |  |  |
| LIQi1416 » | Obj: C420 | 9 seg  | 15 AC 4x565/72* | -11.9 | 21.8 | -11.9 | 21.8 |  |  |
| LIQi2136 » | Obj: C420 | 54 seg | 15 AC 4x565/72* | -12.1 | 21.8 | -12.1 | 21.8 |  |  |
| LIQi2355 » | Obj: C420 | 68 seg | 10 AC 4x565/72* | -12.1 | 21.8 | -12.1 | 21.8 |  |  |
| LIQi2298 » | Obj: C420 | 65 seg | 1 AC 4x565/72*  | -12.1 | 21.8 | -12.1 | 21.8 |  |  |
| LIQi1358 » | Obj: C420 | 6 seg  | 5 AC 4x565/72*  | -12.2 | 21.8 | -12.2 | 21.8 |  |  |
| LIQi1350 » | Obj: C420 | 5 seg  | 13 AC 4x565/72* | -12.2 | 21.8 | -12.2 | 21.8 |  |  |
| LIQi1865 » | Obj: C420 | 37 seg | 16 AC 4x565/72* | -12.2 | 21.8 | -12.2 | 21.8 |  |  |
| LIQi2323 » | Obj: C420 | 66 seg | 10 AC 4x565/72* | -12.3 | 21.8 | -12.3 | 21.8 |  |  |
| LIQi1850 » | Obj: C420 | 37 seg | 1 AC 4x565/72*  | -12.3 | 21.8 | -12.3 | 21.8 |  |  |
| LIQi2137 » | Obj: C420 | 54 seg | 16 AC 4x565/72* | -12.5 | 21.8 | -12.5 | 21.8 |  |  |
| LIQi2356 » | Obj: C420 | 68 seg | 11 AC 4x565/72* | -12.5 | 21.8 | -12.5 | 21.8 |  |  |
| LIQi1389 » | Obj: C420 | 8 seg  | 4 AC 4x565/72*  | -12.5 | 21.8 | -12.5 | 21.8 |  |  |
| LIQi1415 » | Obj: C420 | 9 seg  | 14 AC 4x565/72* | -12.6 | 21.8 | -12.6 | 21.8 |  |  |
| LIQi1809 » | Obj: C420 | 34 seg | 8 AC 4x565/72*  | -12.6 | 21.8 | -12.6 | 21.8 |  |  |
| LIQi1810 » | Obj: C420 | 34 seg | 9 AC 4x565/72*  | -12.6 | 21.8 | -12.6 | 21.8 |  |  |
| LIQi2324 » | Obj: C420 | 66 seg | 11 AC 4x565/72* | -12.6 | 21.8 | -12.6 | 21.8 |  |  |
| LIQi1808 » | Obj: C420 | 34 seg | 7 AC 4x565/72*  | -12.7 | 21.8 | -12.7 | 21.8 |  |  |
| LIQi1812 » | Obj: C420 | 34 seg | 11 AC 4x565/72* | -12.7 | 21.8 | -12.7 | 21.8 |  |  |
| LIQi2299 » | Obj: C420 | 65 seg | 2 AC 4x565/72*  | -12.7 | 21.8 | -12.7 | 21.8 |  |  |
| LIQi1388 » | Obj: C420 | 8 seg  | 3 AC 4x565/72*  | -12.7 | 21.8 | -12.7 | 21.8 |  |  |
| LIQi1811 » | Obj: C420 | 34 seg | 10 AC 4x565/72* | -12.7 | 21.8 | -12.7 | 21.8 |  |  |
| LIQi1807 » | Obj: C420 | 34 seg | 6 AC 4x565/72*  | -12.8 | 21.8 | -12.8 | 21.8 |  |  |



|            |           |        |                 |       |             |       |             |  |  |
|------------|-----------|--------|-----------------|-------|-------------|-------|-------------|--|--|
| LIQi1357 » | Obj: C420 | 6 seg  | 4 AC 4x565/72*  | -12.8 | 21.8        | -12.8 | 21.8        |  |  |
| LIQi2357 » | Obj: C420 | 68 seg | 12 AC 4x565/72* | -12.8 | 21.8        | -12.8 | 21.8        |  |  |
| LIQi1349 » | Obj: C420 | 5 seg  | 12 AC 4x565/72* | -12.8 | 21.8        | -12.8 | 21.8        |  |  |
| LIQi1414 » | Obj: C420 | 9 seg  | 13 AC 4x565/72* | -13.0 | 21.8        | -13.0 | 21.8        |  |  |
| LIQi2325 » | Obj: C420 | 66 seg | 12 AC 4x565/72* | -13.0 | 21.8        | -13.0 | 21.8        |  |  |
| LIQi1813 » | Obj: C420 | 34 seg | 12 AC 4x565/72* | -13.0 | 21.8        | -13.0 | 21.8        |  |  |
| LIQi1806 » | Obj: C420 | 34 seg | 5 AC 4x565/72*  | -13.0 | 21.8        | -13.0 | 21.8        |  |  |
| LIQi2358 » | Obj: C420 | 68 seg | 13 AC 4x565/72* | -13.0 | 21.8        | -13.0 | 21.8        |  |  |
| LIQi1356 » | Obj: C420 | 6 seg  | 3 AC 4x565/72*  | -13.0 | 21.8        | -13.0 | 21.8        |  |  |
| LIQi1814 » | Obj: C420 | 34 seg | 13 AC 4x565/72* | -13.1 | 21.8        | -13.1 | 21.8        |  |  |
| LIQi2362 » | Obj: C420 | 69 seg | 1 AC 4x565/72*  | -13.1 | 21.8        | -13.1 | 21.8        |  |  |
| LIQi1805 » | Obj: C420 | 34 seg | 4 AC 4x565/72*  | -13.1 | 21.8        | -13.1 | 21.8        |  |  |
| LIQi1348 » | Obj: C420 | 5 seg  | 11 AC 4x565/72* | -13.1 | 21.8        | -13.1 | 21.8        |  |  |
| LIQi1387 » | Obj: C420 | 8 seg  | 2 AC 4x565/72*  | -13.2 | 21.8        | -13.2 | 21.8        |  |  |
| LIQi2090 » | Obj: C420 | 52 seg | 1 AC 4x565/72*  | -13.2 | 21.8        | -13.2 | 21.8        |  |  |
| LIQi1816 » | Obj: C420 | 34 seg | 15 AC 4x565/72* | -13.2 | 21.8        | -13.2 | 21.8        |  |  |
| LIQi2326 » | Obj: C420 | 66 seg | 13 AC 4x565/72* | -13.3 | 21.8        | -13.3 | 21.8        |  |  |
| LIQi2300 » | Obj: C420 | 65 seg | 3 AC 4x565/72*  | -13.3 | 21.8        | -13.3 | 21.8        |  |  |
| LIQi2359 » | Obj: C420 | 68 seg | 14 AC 4x565/72* | -13.3 | 21.8        | -13.3 | 21.8        |  |  |
| LIQi1386 » | Obj: C420 | 8 seg  | 1 AC 4x565/72*  | -13.4 | 21.8        | -13.4 | 21.8        |  |  |
| LIQi1803 » | Obj: C420 | 34 seg | 2 AC 4x565/72*  | -13.4 | 21.8        | -13.4 | 21.8        |  |  |
| LIQi1815 » | Obj: C420 | 34 seg | 14 AC 4x565/72* | -13.4 | 21.8        | -13.4 | 21.8        |  |  |
| LIQi1804 » | Obj: C420 | 34 seg | 3 AC 4x565/72*  | -13.4 | 21.8        | -13.4 | 21.8        |  |  |
| LIQi1355 » | Obj: C420 | 6 seg  | 2 AC 4x565/72*  | -13.5 | 21.8        | -13.5 | 21.8        |  |  |
| LIQi2327 » | Obj: C420 | 66 seg | 14 AC 4x565/72* | -13.6 | 21.9        | -13.6 | 21.9        |  |  |
| n=892      | Summe     |        |                 |       | <b>21.9</b> |       | <b>21.9</b> |  |  |



## Anhang 4: Erläuterungen zu den Ergebnislisten

### DIN ISO 9613-2 Dämpfung des Schalls bei der Ausbreitung im Freien

$$L_{FT} = L_W + D_c - A_{div} - A_{atm} - A_{gr} - A_{fol} - A_{hous} - A_{bar} - C_{met}$$

wobei  $D_c = D_0 + D_1$  (frequenzabhängige Berechnung)

oder  $D_c = D_0 + D_1 + D_2$  (frequenzunabhängige Berechnung)

mit  $D_2$  = Korrektur für Bodenreflexion bei frequenzunabhängiger Berechnung (entspricht Gl. 11 der DIN ISO 9613-2); wird nicht gesondert ausgewiesen

#### Nomenklatur der Tabellenspalten:

|                   |   |
|-------------------|---|
| IPkt              | Immissionspunkt und fortlaufende Nummer   |
| IPkt: Bezeichnung | benutzerdefinierter Name des Immissionspunktes  |
| IPkt: IP_x/y/z    | x/y/z-Koordinaten des Immissionspunktes   |
| Quelle            | Art und fortlaufende Nummer der Schallquelle (EZQ = Punktschallquelle; LIQ = Linienschallquelle; FLQ = Flächenschallquelle) |
| Bezeichnung       | benutzerdefinierter Name der Schallquelle   |
| Ab.               | Abschnitt des Teilstücks einer Linienschallquelle bzw. der Teilfläche einer Flächenschallquelle                             |
| QP_x/y/z          | x/y/z-Koordinaten der Schallquelle  |
| RO                | Reflexionsordnung (0 = Direktschall, n = n-te Ordnung der Reflexion)  |
| Abstand           | Abstand der Schallquelle zum Immissionsort in m   |
| Frq               | Oktavmittenfrequenz des Frequenzbandes (500 Hz bei frequenzunabhängiger Berechnung)   |
| $L_{W,i}$         | Schalleistungspegel der Quelle  |
| $D_c$             | Raumwinkelmaß ( $D_0 = 0$ für Quellen frei im Raum)   |
| $D_1$             | Richtwirkungsmaß  |
| $A_{div}$         | Dämpfung aufgrund geometrischer Ausbreitung   |
| $A_{atm}$         | Dämpfung aufgrund von Luftabsorption  |
| $A_{gr}$          | Dämpfung aufgrund des Bodeneffekts  |
| $A_{fol}$         | Dämpfung aufgrund von Bewuchs   |
| $A_{hous}$        | Dämpfung aufgrund von Bebauung  |
| $A_{bar}$         | Dämpfung aufgrund von Abschirmung   |
| $C_{met}$         | Meteorologische Korrektur   |
| $L_{r,i}$         | A-bewerteter Teilbeurteilungspegel der Schallquelle bzw. Teilquelle   |
| $L_{r(SQ)}$       | A-bewerteter Teilbeurteilungspegel der Schallquelle (Summe aller Teilschallquellen)   |
| $L_{r(IP)}$       | Beurteilungspegel am Immissionsort  |



## Anhang 5: Ausgangsdaten der Berechnungen (Baulärm)

| Immissionspunkt (6) |                  |                   |                   |            |            |                   |            | Baulärm             |  |
|---------------------|------------------|-------------------|-------------------|------------|------------|-------------------|------------|---------------------|--|
| Bezeichnung         | Gruppe           | Richtwerte /dB(A) |                   | Nutzung    | T1         | T2                |            |                     |  |
|                     |                  | Geometrie: x / m  |                   | y / m      | z(abs) / m |                   | z(rel) / m |                     |  |
| IPkt012             | Gl               | Baulärm           | Richtwerte /dB(A) |            | ---        | -99.00            | -99.00     |                     |  |
|                     | <b>Geometrie</b> |                   | <b>Nr</b>         | <b>x/m</b> | <b>y/m</b> | <b>z(abs) / m</b> |            | <b>! z(rel) / m</b> |  |
|                     |                  |                   | Geometrie:        | 734572.95  | 5387800.00 | 435.00            |            | 5.00                |  |
| IPkt013             | GE               | Baulärm           | Richtwerte /dB(A) |            | ---        | -99.00            | -99.00     |                     |  |
|                     | <b>Geometrie</b> |                   | <b>Nr</b>         | <b>x/m</b> | <b>y/m</b> | <b>z(abs) / m</b> |            | <b>! z(rel) / m</b> |  |
|                     |                  |                   | Geometrie:        | 734589.14  | 5387800.00 | 435.00            |            | 5.00                |  |
| IPkt014             | MVMD             | Baulärm           | Richtwerte /dB(A) |            | ---        | -99.00            | -99.00     |                     |  |
|                     | <b>Geometrie</b> |                   | <b>Nr</b>         | <b>x/m</b> | <b>y/m</b> | <b>z(abs) / m</b> |            | <b>! z(rel) / m</b> |  |
|                     |                  |                   | Geometrie:        | 734608.12  | 5387800.00 | 435.00            |            | 5.00                |  |
| IPkt015             | WA               | Baulärm           | Richtwerte /dB(A) |            | ---        | -99.00            | -99.00     |                     |  |
|                     | <b>Geometrie</b> |                   | <b>Nr</b>         | <b>x/m</b> | <b>y/m</b> | <b>z(abs) / m</b> |            | <b>! z(rel) / m</b> |  |
|                     |                  |                   | Geometrie:        | 734639.08  | 5387800.00 | 435.00            |            | 5.00                |  |
| IPkt016             | WR               | Baulärm           | Richtwerte /dB(A) |            | ---        | -99.00            | -99.00     |                     |  |
|                     | <b>Geometrie</b> |                   | <b>Nr</b>         | <b>x/m</b> | <b>y/m</b> | <b>z(abs) / m</b> |            | <b>! z(rel) / m</b> |  |
|                     |                  |                   | Geometrie:        | 734691.08  | 5387800.00 | 435.00            |            | 5.00                |  |
| IPkt017             | SO               | Baulärm           | Richtwerte /dB(A) |            | ---        | -99.00            | -99.00     |                     |  |
|                     | <b>Geometrie</b> |                   | <b>Nr</b>         | <b>x/m</b> | <b>y/m</b> | <b>z(abs) / m</b> |            | <b>! z(rel) / m</b> |  |
|                     |                  |                   | Geometrie:        | 734781.60  | 5387800.00 | 435.00            |            | 5.00                |  |

| Linien-SQ /ISO 9613 (1) |                      |             |                     |                 |                |                          |           | Baulärm             |  |
|-------------------------|----------------------|-------------|---------------------|-----------------|----------------|--------------------------|-----------|---------------------|--|
| LIQI1273                | Bezeichnung          | Gründung 2c | Wirkradius /m       |                 |                | 99999.00                 |           |                     |  |
|                         | <b>Gruppe</b>        | Baulärm     | <b>D0</b>           |                 |                | 0.00                     |           |                     |  |
|                         | <b>Länge /m</b>      | 15.00       | <b>Emission ist</b> |                 |                | Schalleistungspegel (Lw) |           |                     |  |
|                         | <b>Länge /m (2D)</b> | 0.00        | <b>Emi.Variante</b> | <b>Emission</b> | <b>Dämmung</b> | <b>Zuschlag</b>          | <b>Lw</b> | <b>Lw'</b>          |  |
|                         | <b>Fläche /m²</b>    | ---         |                     | dB(A)           | dB             | dB                       | dB(A)     | dB(A)               |  |
|                         |                      |             | <b>Tag</b>          | 125.00          | -              | -5.00                    | 120.00    | 108.24              |  |
|                         | <b>Geometrie</b>     |             | <b>Nr</b>           | <b>x/m</b>      | <b>y/m</b>     | <b>z(abs) / m</b>        |           | <b>! z(rel) / m</b> |  |
|                         |                      |             | Knoten:             | 1               | 734550.00      | 5387800.00               | 430.00    | 0.00                |  |
|                         |                      |             |                     | 2               | 734550.00      | 5387800.00               | 445.00    | 15.00               |  |

| Flächen-SQ /ISO 9613 (4) |                      |                                  |                      |                 |                |                          |           | Baulärm             |  |
|--------------------------|----------------------|----------------------------------|----------------------|-----------------|----------------|--------------------------|-----------|---------------------|--|
| FLQI001                  | Bezeichnung          | Vorbereitung                     | Wirkradius /m        |                 |                | 99999.00                 |           |                     |  |
|                          | <b>Gruppe</b>        | Baulärm                          | <b>D0</b>            |                 |                | 0.00                     |           |                     |  |
|                          | <b>Länge /m</b>      | 80.00                            | <b>Emission ist</b>  |                 |                | Schalleistungspegel (Lw) |           |                     |  |
|                          | <b>Länge /m (2D)</b> | 80.00                            | <b>Emi.Variante</b>  | <b>Emission</b> | <b>Dämmung</b> | <b>Zuschlag</b>          | <b>Lw</b> | <b>Lw''</b>         |  |
|                          | <b>Fläche /m²</b>    | 400.00                           |                      | dB(A)           | dB             | dB                       | dB(A)     | dB(A)               |  |
|                          |                      |                                  | <b>Tag</b>           | 110.00          | -              | -5.00                    | 105.00    | 78.98               |  |
|                          | <b>Geometrie</b>     |                                  | <b>Nr</b>            | <b>x/m</b>      | <b>y/m</b>     | <b>z(abs) / m</b>        |           | <b>! z(rel) / m</b> |  |
|                          |                      |                                  | Knoten:              | 1               | 734540.31      | 5387790.10               | 433.00    | 3.00                |  |
|                          |                      |                                  |                      | 2               | 734560.31      | 5387790.10               | 433.00    | 3.00                |  |
|                          |                      |                                  |                      | 3               | 734560.31      | 5387810.10               | 433.00    | 3.00                |  |
|                          |                      |                                  |                      | 4               | 734540.31      | 5387810.10               | 433.00    | 3.00                |  |
|                          |                      |                                  |                      | 5               | 734540.31      | 5387790.10               | 433.00    | 3.00                |  |
| FLQI002                  | <b>Bezeichnung</b>   | Gründung 2a/Freilegung Fundament | <b>Wirkradius /m</b> |                 |                | 99999.00                 |           |                     |  |
|                          | <b>Gruppe</b>        | Baulärm                          | <b>D0</b>            |                 |                | 0.00                     |           |                     |  |
|                          | <b>Länge /m</b>      | 80.00                            | <b>Emission ist</b>  |                 |                | Schalleistungspegel (Lw) |           |                     |  |
|                          | <b>Länge /m (2D)</b> | 80.00                            | <b>Emi.Variante</b>  | <b>Emission</b> | <b>Dämmung</b> | <b>Zuschlag</b>          | <b>Lw</b> | <b>Lw''</b>         |  |
|                          | <b>Fläche /m²</b>    | 400.00                           |                      | dB(A)           | dB             | dB                       | dB(A)     | dB(A)               |  |
|                          |                      |                                  | <b>Tag</b>           | 110.00          | -              | -5.00                    | 105.00    | 78.98               |  |
|                          | <b>Geometrie</b>     |                                  | <b>Nr</b>            | <b>x/m</b>      | <b>y/m</b>     | <b>z(abs) / m</b>        |           | <b>! z(rel) / m</b> |  |
|                          |                      |                                  | Knoten:              | 1               | 734540.31      | 5387790.10               | 433.00    | 3.00                |  |
|                          |                      |                                  |                      | 2               | 734560.31      | 5387790.10               | 433.00    | 3.00                |  |
|                          |                      |                                  |                      | 3               | 734560.31      | 5387810.10               | 433.00    | 3.00                |  |
|                          |                      |                                  |                      | 4               | 734540.31      | 5387810.10               | 433.00    | 3.00                |  |
|                          |                      |                                  |                      | 5               | 734540.31      | 5387790.10               | 433.00    | 3.00                |  |
| FLQI003                  | <b>Bezeichnung</b>   | Gründung 2b                      | <b>Wirkradius /m</b> |                 |                | 99999.00                 |           |                     |  |
|                          | <b>Gruppe</b>        | Baulärm                          | <b>D0</b>            |                 |                | 0.00                     |           |                     |  |
|                          | <b>Länge /m</b>      | 80.00                            | <b>Emission ist</b>  |                 |                | Schalleistungspegel (Lw) |           |                     |  |



|                |                      |                   |                      |            |            |                          |                    |       |
|----------------|----------------------|-------------------|----------------------|------------|------------|--------------------------|--------------------|-------|
|                | <b>Länge /m (2D)</b> | 80.00             | <b>Emi.Variante</b>  | Emission   | Dämmung    | Zuschlag                 | Lw                 | Lw"   |
|                | <b>Fläche /m²</b>    | 400.00            |                      | dB(A)      | dB         | dB                       | dB(A)              | dB(A) |
|                |                      |                   | <b>Tag</b>           | 115.00     | -          | -5.00                    | 110.00             | 83.98 |
|                | <b>Geometrie</b>     |                   | <b>Nr</b>            | <b>x/m</b> | <b>y/m</b> | <b>z(abs) /m</b>         | <b>! z(rel) /m</b> |       |
|                |                      | Knoten:           | 1                    | 734540.31  | 5387790.10 | 433.00                   | 3.00               |       |
|                |                      |                   | 2                    | 734560.31  | 5387790.10 | 433.00                   | 3.00               |       |
|                |                      |                   | 3                    | 734560.31  | 5387810.10 | 433.00                   | 3.00               |       |
|                |                      |                   | 4                    | 734540.31  | 5387810.10 | 433.00                   | 3.00               |       |
|                |                      |                   | 5                    | 734540.31  | 5387790.10 | 433.00                   | 3.00               |       |
| <b>FLQi004</b> | <b>Bezeichnung</b>   | Montage/Demontage | <b>Wirkradius /m</b> |            |            | 99999.00                 |                    |       |
|                | <b>Gruppe</b>        | Baulärm           | <b>D0</b>            |            |            | 0.00                     |                    |       |
|                | <b>Länge /m</b>      | 80.00             | <b>Emission ist</b>  |            |            | Schalleistungspegel (Lw) |                    |       |
|                | <b>Länge /m (2D)</b> | 80.00             | <b>Emi.Variante</b>  | Emission   | Dämmung    | Zuschlag                 | Lw                 | Lw"   |
|                | <b>Fläche /m²</b>    | 400.00            |                      | dB(A)      | dB         | dB                       | dB(A)              | dB(A) |
|                |                      |                   | <b>Tag</b>           | 108.00     | -          | -5.00                    | 103.00             | 76.98 |
|                | <b>Geometrie</b>     |                   | <b>Nr</b>            | <b>x/m</b> | <b>y/m</b> | <b>z(abs) /m</b>         | <b>! z(rel) /m</b> |       |
|                |                      | Knoten:           | 1                    | 734540.31  | 5387790.10 | 433.00                   | 3.00               |       |
|                |                      |                   | 2                    | 734560.31  | 5387790.10 | 433.00                   | 3.00               |       |
|                |                      |                   | 3                    | 734560.31  | 5387810.10 | 433.00                   | 3.00               |       |
|                |                      |                   | 4                    | 734540.31  | 5387810.10 | 433.00                   | 3.00               |       |
|                |                      |                   | 5                    | 734540.31  | 5387790.10 | 433.00                   | 3.00               |       |
| <b>FLQi005</b> | <b>Bezeichnung</b>   | Meiße lbagger     | <b>Wirkradius /m</b> |            |            | 99999.00                 |                    |       |
|                | <b>Gruppe</b>        | Rückbau           | <b>D0</b>            |            |            | 0.00                     |                    |       |
|                | <b>Knotenzahl</b>    | 5                 | <b>Hohe Quelle</b>   |            |            | Nein                     |                    |       |
|                | <b>Länge /m</b>      | 80.00             | <b>Emission ist</b>  |            |            | Schalleistungspegel (Lw) |                    |       |
|                | <b>Länge /m (2D)</b> | 80.00             | <b>Emi.Variant</b>   | Emission   | Dämmung    | Zuschlag                 | Lw                 | Lw"   |
|                | <b>Fläche /m²</b>    | 400.00            |                      | dB(A)      | dB         | dB                       | dB(A)              | dB(A) |
|                |                      |                   | <b>Tag</b>           | 120.00     | -          | -5.00                    | 115.00             | 88.98 |
|                |                      |                   | <b>Nacht</b>         | -99.00     | -          | -                        | -99.00             |       |
|                | <b>Geometrie</b>     |                   | <b>Nr</b>            | <b>x/m</b> | <b>y/m</b> | <b>z(abs) /m</b>         | <b>! z(rel) /m</b> |       |
|                |                      | Knoten:           | 1                    | 734540.31  | 5387790.10 | 434.51                   | 3.00               |       |
|                |                      |                   | 2                    | 734560.31  | 5387790.10 | 434.51                   | 3.00               |       |
|                |                      |                   | 3                    | 734560.31  | 5387810.10 | 434.52                   | 3.00               |       |
|                |                      |                   | 4                    | 734540.31  | 5387810.10 | 434.52                   | 3.00               |       |
|                |                      |                   | 5                    | 734540.31  | 5387790.10 | 434.51                   | 3.00               |       |



## Anhang 6: Ergebnisse der Berechnungen (Baulärm)

| Lange Liste - Elemente zusammengefasst |  |  |  |  |  |  |  |  |  |  |  |  |
|--|--|--|--|--|--|--|--|--|--|--|--|--|
| Baulärm                                |  |  |  |  |  |  |  |  |  |  |  |  |

| IPKT  | IPKT: Bezeichnung | IPKT: x/m |     |         | IPKT: y/m |      |     | IPKT: z/m |       |      | Lr(IP) /dB(A) |      |
|---|-------------------|-----------|-----|---------|-----------|------|-----|-----------|-------|------|---------------|------|
| IPkt012   | GI                | 734572.9  |     |         | 5387800.0 |      |     | 435.0     |       |      | 70.0          |      |
| ISO 9613-2 LfT = Lw + Dc - Adiv - Aatm - Agr - Afol - Ahous - Abar - Cmet |                   |           |     |         |           |      |     |           |       |      |               |      |
| Element   | Bezeichnung       | Lw        | Dc  | Abstand | Adiv      | Aatm | Agr | Afol      | Ahous | Abar | Cmet          | LfT  |
|   |                   | /dB(A)    | /dB |         | /dB       | /dB  | /dB | /dB       | /dB   | /dB  | /dB           | /dB  |
| FLQi001   | Vorbereitung      | 105.0     | 2.7 |         | 37.7      | 0.0  | 0.0 | 0.0       | 0.0   | 0.0  | 0.0           | 70.0 |

| IPKT  | IPKT: Bezeichnung | IPKT: x/m |     |         | IPKT: y/m |      |     | IPKT: z/m |       |      | Lr(IP) /dB(A) |      |
|---|-------------------|-----------|-----|---------|-----------|------|-----|-----------|-------|------|---------------|------|
| IPkt013   | GE                | 734589.1  |     |         | 5387800.0 |      |     | 435.0     |       |      | 65.0          |      |
| ISO 9613-2 LfT = Lw + Dc - Adiv - Aatm - Agr - Afol - Ahous - Abar - Cmet |                   |           |     |         |           |      |     |           |       |      |               |      |
| Element   | Bezeichnung       | Lw        | Dc  | Abstand | Adiv      | Aatm | Agr | Afol      | Ahous | Abar | Cmet          | LfT  |
|   |                   | /dB(A)    | /dB |         | /dB       | /dB  | /dB | /dB       | /dB   | /dB  | /dB           | /dB  |
| FLQi001   | Vorbereitung      | 105.0     | 2.9 |         | 42.6      | 0.1  | 0.2 | 0.0       | 0.0   | 0.0  | 0.0           | 65.0 |

| IPKT  | IPKT: Bezeichnung | IPKT: x/m |     |         | IPKT: y/m |      |     | IPKT: z/m |       |      | Lr(IP) /dB(A) |      |
|---|-------------------|-----------|-----|---------|-----------|------|-----|-----------|-------|------|---------------|------|
| IPkt014   | MVMD              | 734608.1  |     |         | 5387800.0 |      |     | 435.0     |       |      | 60.0          |      |
| ISO 9613-2 LfT = Lw + Dc - Adiv - Aatm - Agr - Afol - Ahous - Abar - Cmet |                   |           |     |         |           |      |     |           |       |      |               |      |
| Element   | Bezeichnung       | Lw        | Dc  | Abstand | Adiv      | Aatm | Agr | Afol      | Ahous | Abar | Cmet          | LfT  |
|   |                   | /dB(A)    | /dB |         | /dB       | /dB  | /dB | /dB       | /dB   | /dB  | /dB           | /dB  |
| FLQi001   | Vorbereitung      | 105.0     | 3.0 |         | 46.1      | 0.1  | 1.7 | 0.0       | 0.0   | 0.0  | 0.0           | 60.0 |

| IPKT  | IPKT: Bezeichnung | IPKT: x/m |     |         | IPKT: y/m |      |     | IPKT: z/m |       |      | Lr(IP) /dB(A) |      |
|---|-------------------|-----------|-----|---------|-----------|------|-----|-----------|-------|------|---------------|------|
| IPkt015   | WA                | 734639.1  |     |         | 5387800.0 |      |     | 435.0     |       |      | 54.9          |      |
| ISO 9613-2 LfT = Lw + Dc - Adiv - Aatm - Agr - Afol - Ahous - Abar - Cmet |                   |           |     |         |           |      |     |           |       |      |               |      |
| Element   | Bezeichnung       | Lw        | Dc  | Abstand | Adiv      | Aatm | Agr | Afol      | Ahous | Abar | Cmet          | LfT  |
|   |                   | /dB(A)    | /dB |         | /dB       | /dB  | /dB | /dB       | /dB   | /dB  | /dB           | /dB  |
| FLQi001   | Vorbereitung      | 105.0     | 3.0 |         | 49.9      | 0.2  | 3.0 | 0.0       | 0.0   | 0.0  | 0.0           | 54.9 |

| IPKT  | IPKT: Bezeichnung | IPKT: x/m |     |         | IPKT: y/m |      |     | IPKT: z/m |       |      | Lr(IP) /dB(A) |      |
|---|-------------------|-----------|-----|---------|-----------|------|-----|-----------|-------|------|---------------|------|
| IPkt016   | WR                | 734691.1  |     |         | 5387800.0 |      |     | 435.0     |       |      | 50.1          |      |
| ISO 9613-2 LfT = Lw + Dc - Adiv - Aatm - Agr - Afol - Ahous - Abar - Cmet |                   |           |     |         |           |      |     |           |       |      |               |      |
| Element   | Bezeichnung       | Lw        | Dc  | Abstand | Adiv      | Aatm | Agr | Afol      | Ahous | Abar | Cmet          | LfT  |
|   |                   | /dB(A)    | /dB |         | /dB       | /dB  | /dB | /dB       | /dB   | /dB  | /dB           | /dB  |
| FLQi001   | Vorbereitung      | 105.0     | 3.0 |         | 54.0      | 0.3  | 3.7 | 0.0       | 0.0   | 0.0  | 0.0           | 50.1 |

| IPKT  | IPKT: Bezeichnung | IPKT: x/m |     |         | IPKT: y/m |      |     | IPKT: z/m |       |      | Lr(IP) /dB(A) |      |
|---|-------------------|-----------|-----|---------|-----------|------|-----|-----------|-------|------|---------------|------|
| IPkt017   | SO                | 734781.6  |     |         | 5387800.0 |      |     | 435.0     |       |      | 45.1          |      |
| ISO 9613-2 LfT = Lw + Dc - Adiv - Aatm - Agr - Afol - Ahous - Abar - Cmet |                   |           |     |         |           |      |     |           |       |      |               |      |
| Element   | Bezeichnung       | Lw        | Dc  | Abstand | Adiv      | Aatm | Agr | Afol      | Ahous | Abar | Cmet          | LfT  |
|   |                   | /dB(A)    | /dB |         | /dB       | /dB  | /dB | /dB       | /dB   | /dB  | /dB           | /dB  |
| FLQi001   | Vorbereitung      | 105.0     | 3.0 |         | 58.3      | 0.4  | 4.2 | 0.0       | 0.0   | 0.0  | 0.0           | 45.1 |



**Lange Liste - Elemente zusammengefasst**  
 Baulärm

| IPKT       | IPKT: Bezeichnung            | IPKT: x/m  |     |         | IPKT: y/m |      |     | IPKT: z/m |       |      | Lr(IP) /dB(A) |      |
|------------|------------------------------|--|-----|---------|-----------|------|-----|-----------|-------|------|---------------|------|
| IPkt012    | GI                           | 734572.9   |     |         | 5387800.0 |      |     | 435.0     |       |      | 70.0          |      |
| ISO 9613-2 |                              | LFT = Lw + Dc - Adiv - Aatm - Agr - Afol - Ahous - Abar - Cmet |     |         |           |      |     |           |       |      |               |      |
| Element    | Bezeichnung                  | Lw   | Dc  | Abstand | Adiv      | Aatm | Agr | Afol      | Ahous | Abar | Cmet          | LFT  |
|            |                              | /dB(A)   | /dB |         | /dB       | /dB  | /dB | /dB       | /dB   | /dB  | /dB           | /dB  |
| FLQi002    | Gründung 2a/Freilegung Fund. | 105.0  | 2.7 |         | 37.7      | 0.0  | 0.0 | 0.0       | 0.0   | 0.0  | 0.0           | 70.0 |

| IPKT       | IPKT: Bezeichnung            | IPKT: x/m  |     |         | IPKT: y/m |      |     | IPKT: z/m |       |      | Lr(IP) /dB(A) |      |
|------------|------------------------------|--|-----|---------|-----------|------|-----|-----------|-------|------|---------------|------|
| IPkt013    | GE                           | 734589.1   |     |         | 5387800.0 |      |     | 435.0     |       |      | 65.0          |      |
| ISO 9613-2 |                              | LFT = Lw + Dc - Adiv - Aatm - Agr - Afol - Ahous - Abar - Cmet |     |         |           |      |     |           |       |      |               |      |
| Element    | Bezeichnung                  | Lw   | Dc  | Abstand | Adiv      | Aatm | Agr | Afol      | Ahous | Abar | Cmet          | LFT  |
|            |                              | /dB(A)   | /dB |         | /dB       | /dB  | /dB | /dB       | /dB   | /dB  | /dB           | /dB  |
| FLQi002    | Gründung 2a/Freilegung Fund. | 105.0  | 2.9 |         | 42.6      | 0.1  | 0.2 | 0.0       | 0.0   | 0.0  | 0.0           | 65.0 |

| IPKT       | IPKT: Bezeichnung            | IPKT: x/m  |     |         | IPKT: y/m |      |     | IPKT: z/m |       |      | Lr(IP) /dB(A) |      |
|------------|------------------------------|--|-----|---------|-----------|------|-----|-----------|-------|------|---------------|------|
| IPkt014    | MVMD                         | 734608.1   |     |         | 5387800.0 |      |     | 435.0     |       |      | 60.0          |      |
| ISO 9613-2 |                              | LFT = Lw + Dc - Adiv - Aatm - Agr - Afol - Ahous - Abar - Cmet |     |         |           |      |     |           |       |      |               |      |
| Element    | Bezeichnung                  | Lw   | Dc  | Abstand | Adiv      | Aatm | Agr | Afol      | Ahous | Abar | Cmet          | LFT  |
|            |                              | /dB(A)   | /dB |         | /dB       | /dB  | /dB | /dB       | /dB   | /dB  | /dB           | /dB  |
| FLQi002    | Gründung 2a/Freilegung Fund. | 105.0  | 3.0 |         | 46.1      | 0.1  | 1.7 | 0.0       | 0.0   | 0.0  | 0.0           | 60.0 |

| IPKT       | IPKT: Bezeichnung            | IPKT: x/m  |     |         | IPKT: y/m |      |     | IPKT: z/m |       |      | Lr(IP) /dB(A) |      |
|------------|------------------------------|--|-----|---------|-----------|------|-----|-----------|-------|------|---------------|------|
| IPkt015    | WA                           | 734639.1   |     |         | 5387800.0 |      |     | 435.0     |       |      | 54.9          |      |
| ISO 9613-2 |                              | LFT = Lw + Dc - Adiv - Aatm - Agr - Afol - Ahous - Abar - Cmet |     |         |           |      |     |           |       |      |               |      |
| Element    | Bezeichnung                  | Lw   | Dc  | Abstand | Adiv      | Aatm | Agr | Afol      | Ahous | Abar | Cmet          | LFT  |
|            |                              | /dB(A)   | /dB |         | /dB       | /dB  | /dB | /dB       | /dB   | /dB  | /dB           | /dB  |
| FLQi002    | Gründung 2a/Freilegung Fund. | 105.0  | 3.0 |         | 49.9      | 0.2  | 3.0 | 0.0       | 0.0   | 0.0  | 0.0           | 54.9 |

| IPKT       | IPKT: Bezeichnung            | IPKT: x/m  |     |         | IPKT: y/m |      |     | IPKT: z/m |       |      | Lr(IP) /dB(A) |      |
|------------|------------------------------|--|-----|---------|-----------|------|-----|-----------|-------|------|---------------|------|
| IPkt016    | WR                           | 734691.1   |     |         | 5387800.0 |      |     | 435.0     |       |      | 50.1          |      |
| ISO 9613-2 |                              | LFT = Lw + Dc - Adiv - Aatm - Agr - Afol - Ahous - Abar - Cmet |     |         |           |      |     |           |       |      |               |      |
| Element    | Bezeichnung                  | Lw   | Dc  | Abstand | Adiv      | Aatm | Agr | Afol      | Ahous | Abar | Cmet          | LFT  |
|            |                              | /dB(A)   | /dB |         | /dB       | /dB  | /dB | /dB       | /dB   | /dB  | /dB           | /dB  |
| FLQi002    | Gründung 2a/Freilegung Fund. | 105.0  | 3.0 |         | 54.0      | 0.3  | 3.7 | 0.0       | 0.0   | 0.0  | 0.0           | 50.1 |

| IPKT       | IPKT: Bezeichnung            | IPKT: x/m  |     |         | IPKT: y/m |      |     | IPKT: z/m |       |      | Lr(IP) /dB(A) |      |
|------------|------------------------------|--|-----|---------|-----------|------|-----|-----------|-------|------|---------------|------|
| IPkt017    | SO                           | 734781.6   |     |         | 5387800.0 |      |     | 435.0     |       |      | 45.1          |      |
| ISO 9613-2 |                              | LFT = Lw + Dc - Adiv - Aatm - Agr - Afol - Ahous - Abar - Cmet |     |         |           |      |     |           |       |      |               |      |
| Element    | Bezeichnung                  | Lw   | Dc  | Abstand | Adiv      | Aatm | Agr | Afol      | Ahous | Abar | Cmet          | LFT  |
|            |                              | /dB(A)   | /dB |         | /dB       | /dB  | /dB | /dB       | /dB   | /dB  | /dB           | /dB  |
| FLQi002    | Gründung 2a/Freilegung Fund. | 105.0  | 3.0 |         | 58.3      | 0.4  | 4.2 | 0.0       | 0.0   | 0.0  | 0.0           | 45.1 |





**Lange Liste - Elemente zusammengefasst**

|         |  |
|---------|--|
| Baulärm |  |
|---------|--|

| IPKT       | IPKT: Bezeichnung        | IPKT: x/m  |     |         | IPKT: y/m |      |     | IPKT: z/m |       |      | Lr(IP) /dB(A) |      |
|------------|--------------------------|--|-----|---------|-----------|------|-----|-----------|-------|------|---------------|------|
| IPkt013    | GI                       | 734589.1   |     |         | 5387800.0 |      |     | 435.0     |       |      | 70.0          |      |
| ISO 9613-2 |                          | LFT = Lw + Dc - Adiv - Aatm - Agr - Afol - Ahous - Abar - Cmet |     |         |           |      |     |           |       |      |               |      |
| Element    | Bezeichnung              | Lw   | Dc  | Abstand | Adiv      | Aatm | Agr | Afol      | Ahous | Abar | Cmet          | LFT  |
|            |                          | /dB(A)   | /dB |         | /dB       | /dB  | /dB | /dB       | /dB   | /dB  | /dB           | /dB  |
| FLQi003    | Gründung 2b/Abbruchzange | 110.0  | 2.9 |         | 42.6      | 0.1  | 0.2 | 0.0       | 0.0   | 0.0  | 0.0           | 70.0 |

| IPKT       | IPKT: Bezeichnung        | IPKT: x/m  |     |         | IPKT: y/m |      |     | IPKT: z/m |       |      | Lr(IP) /dB(A) |      |
|------------|--------------------------|--|-----|---------|-----------|------|-----|-----------|-------|------|---------------|------|
| IPkt014    | GE                       | 734608.1   |     |         | 5387800.0 |      |     | 435.0     |       |      | 65.0          |      |
| ISO 9613-2 |                          | LFT = Lw + Dc - Adiv - Aatm - Agr - Afol - Ahous - Abar - Cmet |     |         |           |      |     |           |       |      |               |      |
| Element    | Bezeichnung              | Lw   | Dc  | Abstand | Adiv      | Aatm | Agr | Afol      | Ahous | Abar | Cmet          | LFT  |
|            |                          | /dB(A)   | /dB |         | /dB       | /dB  | /dB | /dB       | /dB   | /dB  | /dB           | /dB  |
| FLQi003    | Gründung 2b/Abbruchzange | 110.0  | 3.0 |         | 46.1      | 0.1  | 1.7 | 0.0       | 0.0   | 0.0  | 0.0           | 65.0 |

| IPKT       | IPKT: Bezeichnung        | IPKT: x/m  |     |         | IPKT: y/m |      |     | IPKT: z/m |       |      | Lr(IP) /dB(A) |      |
|------------|--------------------------|--|-----|---------|-----------|------|-----|-----------|-------|------|---------------|------|
| IPkt015    | MVMD                     | 734639.1   |     |         | 5387800.0 |      |     | 435.0     |       |      | 59.9          |      |
| ISO 9613-2 |                          | LFT = Lw + Dc - Adiv - Aatm - Agr - Afol - Ahous - Abar - Cmet |     |         |           |      |     |           |       |      |               |      |
| Element    | Bezeichnung              | Lw   | Dc  | Abstand | Adiv      | Aatm | Agr | Afol      | Ahous | Abar | Cmet          | LFT  |
|            |                          | /dB(A)   | /dB |         | /dB       | /dB  | /dB | /dB       | /dB   | /dB  | /dB           | /dB  |
| FLQi003    | Gründung 2b/Abbruchzange | 110.0  | 3.0 |         | 49.9      | 0.2  | 3.0 | 0.0       | 0.0   | 0.0  | 0.0           | 59.9 |

| IPKT       | IPKT: Bezeichnung        | IPKT: x/m  |     |         | IPKT: y/m |      |     | IPKT: z/m |       |      | Lr(IP) /dB(A) |      |
|------------|--------------------------|--|-----|---------|-----------|------|-----|-----------|-------|------|---------------|------|
| IPkt016    | WA                       | 734691.1   |     |         | 5387800.0 |      |     | 435.0     |       |      | 55.1          |      |
| ISO 9613-2 |                          | LFT = Lw + Dc - Adiv - Aatm - Agr - Afol - Ahous - Abar - Cmet |     |         |           |      |     |           |       |      |               |      |
| Element    | Bezeichnung              | Lw   | Dc  | Abstand | Adiv      | Aatm | Agr | Afol      | Ahous | Abar | Cmet          | LFT  |
|            |                          | /dB(A)   | /dB |         | /dB       | /dB  | /dB | /dB       | /dB   | /dB  | /dB           | /dB  |
| FLQi003    | Gründung 2b/Abbruchzange | 110.0  | 3.0 |         | 54.0      | 0.3  | 3.7 | 0.0       | 0.0   | 0.0  | 0.0           | 55.1 |

| IPKT       | IPKT: Bezeichnung        | IPKT: x/m  |     |         | IPKT: y/m |      |     | IPKT: z/m |       |      | Lr(IP) /dB(A) |      |
|------------|--------------------------|--|-----|---------|-----------|------|-----|-----------|-------|------|---------------|------|
| IPkt017    | WR                       | 734781.6   |     |         | 5387800.0 |      |     | 435.0     |       |      | 50.1          |      |
| ISO 9613-2 |                          | LFT = Lw + Dc - Adiv - Aatm - Agr - Afol - Ahous - Abar - Cmet |     |         |           |      |     |           |       |      |               |      |
| Element    | Bezeichnung              | Lw   | Dc  | Abstand | Adiv      | Aatm | Agr | Afol      | Ahous | Abar | Cmet          | LFT  |
|            |                          | /dB(A)   | /dB |         | /dB       | /dB  | /dB | /dB       | /dB   | /dB  | /dB           | /dB  |
| FLQi003    | Gründung 2b/Abbruchzange | 110.0  | 3.0 |         | 58.3      | 0.4  | 4.2 | 0.0       | 0.0   | 0.0  | 0.0           | 50.1 |

| IPKT       | IPKT: Bezeichnung        | IPKT: x/m  |     |         | IPKT: y/m |      |     | IPKT: z/m |       |      | Lr(IP) /dB(A) |      |
|------------|--------------------------|--|-----|---------|-----------|------|-----|-----------|-------|------|---------------|------|
| IPkt012    | SO                       | 734933.1   |     |         | 5387800.0 |      |     | 435.0     |       |      | 45.2          |      |
| ISO 9613-2 |                          | LFT = Lw + Dc - Adiv - Aatm - Agr - Afol - Ahous - Abar - Cmet |     |         |           |      |     |           |       |      |               |      |
| Element    | Bezeichnung              | Lw   | Dc  | Abstand | Adiv      | Aatm | Agr | Afol      | Ahous | Abar | Cmet          | LFT  |
|            |                          | /dB(A)   | /dB |         | /dB       | /dB  | /dB | /dB       | /dB   | /dB  | /dB           | /dB  |
| FLQi003    | Gründung 2b/Abbruchzange | 110.0  | 3.0 |         | 62.7      | 0.7  | 4.4 | 0.0       | 0.0   | 0.0  | 0.0           | 45.2 |



**Lange Liste - Elemente zusammengefasst**

|         |  |
|---------|--|
| Baulärm |  |
|---------|--|

| IPKT       | IPKT: Bezeichnung | IPKT: x/m  |     |         | IPKT: y/m |      |     | IPKT: z/m |       |      | Lr(IP) /dB(A) |      |
|------------|-------------------|--|-----|---------|-----------|------|-----|-----------|-------|------|---------------|------|
| IPkt012    | GI                | 734645.0   |     |         | 5387800.0 |      |     | 435.0     |       |      | 70.1          |      |
| ISO 9613-2 |                   | LFT = Lw + Dc - Adiv - Aatm - Agr - Afol - Ahous - Abar - Cmet |     |         |           |      |     |           |       |      |               |      |
| Element    | Bezeichnung       | Lw   | Dc  | Abstand | Adiv      | Aatm | Agr | Afol      | Ahous | Abar | Cmet          | LFT  |
|            |                   | /dB(A)   | /dB |         | /dB       | /dB  | /dB | /dB       | /dB   | /dB  | /dB           | /dB  |
| LIQ1273    | Gründung 2c       | 120.0  | 3.0 |         | 50.6      | 0.2  | 2.1 | 0.0       | 0.0   | 0.0  | 0.0           | 70.1 |

| IPKT       | IPKT: Bezeichnung | IPKT: x/m  |     |         | IPKT: y/m |      |     | IPKT: z/m |       |      | Lr(IP) /dB(A) |      |
|------------|-------------------|--|-----|---------|-----------|------|-----|-----------|-------|------|---------------|------|
| IPkt013    | GE                | 734700.0   |     |         | 5387800.0 |      |     | 435.0     |       |      | 65.0          |      |
| ISO 9613-2 |                   | LFT = Lw + Dc - Adiv - Aatm - Agr - Afol - Ahous - Abar - Cmet |     |         |           |      |     |           |       |      |               |      |
| Element    | Bezeichnung       | Lw   | Dc  | Abstand | Adiv      | Aatm | Agr | Afol      | Ahous | Abar | Cmet          | LFT  |
|            |                   | /dB(A)   | /dB |         | /dB       | /dB  | /dB | /dB       | /dB   | /dB  | /dB           | /dB  |
| LIQ1273    | Gründung 2c       | 120.0  | 3.0 |         | 54.5      | 0.3  | 3.2 | 0.0       | 0.0   | 0.0  | 0.0           | 65.0 |

| IPKT       | IPKT: Bezeichnung | IPKT: x/m  |     |         | IPKT: y/m |      |     | IPKT: z/m |       |      | Lr(IP) /dB(A) |      |
|------------|-------------------|--|-----|---------|-----------|------|-----|-----------|-------|------|---------------|------|
| IPkt014    | MVMD              | 734785.0   |     |         | 5387800.0 |      |     | 435.0     |       |      | 60.3          |      |
| ISO 9613-2 |                   | LFT = Lw + Dc - Adiv - Aatm - Agr - Afol - Ahous - Abar - Cmet |     |         |           |      |     |           |       |      |               |      |
| Element    | Bezeichnung       | Lw   | Dc  | Abstand | Adiv      | Aatm | Agr | Afol      | Ahous | Abar | Cmet          | LFT  |
|            |                   | /dB(A)   | /dB |         | /dB       | /dB  | /dB | /dB       | /dB   | /dB  | /dB           | /dB  |
| LIQ1273    | Gründung 2c       | 120.0  | 3.0 |         | 58.4      | 0.5  | 3.8 | 0.0       | 0.0   | 0.0  | 0.0           | 60.3 |

| IPKT       | IPKT: Bezeichnung | IPKT: x/m  |     |         | IPKT: y/m |      |     | IPKT: z/m |       |      | Lr(IP) /dB(A) |      |
|------------|-------------------|--|-----|---------|-----------|------|-----|-----------|-------|------|---------------|------|
| IPkt015    | WA                | 734935.0   |     |         | 5387800.0 |      |     | 435.0     |       |      | 55.3          |      |
| ISO 9613-2 |                   | LFT = Lw + Dc - Adiv - Aatm - Agr - Afol - Ahous - Abar - Cmet |     |         |           |      |     |           |       |      |               |      |
| Element    | Bezeichnung       | Lw   | Dc  | Abstand | Adiv      | Aatm | Agr | Afol      | Ahous | Abar | Cmet          | LFT  |
|            |                   | /dB(A)   | /dB |         | /dB       | /dB  | /dB | /dB       | /dB   | /dB  | /dB           | /dB  |
| LIQ1273    | Gründung 2c       | 120.0  | 3.0 |         | 62.7      | 0.7  | 4.2 | 0.0       | 0.0   | 0.0  | 0.0           | 55.3 |

| IPKT       | IPKT: Bezeichnung | IPKT: x/m  |     |         | IPKT: y/m |      |     | IPKT: z/m |       |      | Lr(IP) /dB(A) |      |
|------------|-------------------|--|-----|---------|-----------|------|-----|-----------|-------|------|---------------|------|
| IPkt016    | WR                | 735205.0   |     |         | 5387800.0 |      |     | 435.0     |       |      | 50.0          |      |
| ISO 9613-2 |                   | LFT = Lw + Dc - Adiv - Aatm - Agr - Afol - Ahous - Abar - Cmet |     |         |           |      |     |           |       |      |               |      |
| Element    | Bezeichnung       | Lw   | Dc  | Abstand | Adiv      | Aatm | Agr | Afol      | Ahous | Abar | Cmet          | LFT  |
|            |                   | /dB(A)   | /dB |         | /dB       | /dB  | /dB | /dB       | /dB   | /dB  | /dB           | /dB  |
| LIQ1273    | Gründung 2c       | 120.0  | 3.0 |         | 67.3      | 1.3  | 4.5 | 0.0       | 0.0   | 0.0  | 0.0           | 50.0 |

| IPKT       | IPKT: Bezeichnung | IPKT: x/m  |     |         | IPKT: y/m |      |     | IPKT: z/m |       |      | Lr(IP) /dB(A) |      |
|------------|-------------------|--|-----|---------|-----------|------|-----|-----------|-------|------|---------------|------|
| IPkt017    | SO                | 735570.0   |     |         | 5387800.0 |      |     | 435.0     |       |      | 45.3          |      |
| ISO 9613-2 |                   | LFT = Lw + Dc - Adiv - Aatm - Agr - Afol - Ahous - Abar - Cmet |     |         |           |      |     |           |       |      |               |      |
| Element    | Bezeichnung       | Lw   | Dc  | Abstand | Adiv      | Aatm | Agr | Afol      | Ahous | Abar | Cmet          | LFT  |
|            |                   | /dB(A)   | /dB |         | /dB       | /dB  | /dB | /dB       | /dB   | /dB  | /dB           | /dB  |
| LIQ1273    | Gründung 2c       | 120.0  | 3.0 |         | 71.2      | 2.0  | 4.6 | 0.0       | 0.0   | 0.0  | 0.0           | 45.3 |



**Lange Liste - Elemente zusammengefasst**

|         |  |
|---------|--|
| Baulärm |  |
|---------|--|

| IPKT       | IPKT: Bezeichnung | IPKT: x/m  |     |         | IPKT: y/m |      |     | IPKT: z/m |       |      | Lr(IP) /dB(A) |      |
|------------|-------------------|--|-----|---------|-----------|------|-----|-----------|-------|------|---------------|------|
| IPkt012    | GI                | 734568.0   |     |         | 5387800.0 |      |     | 435.0     |       |      | 70.2          |      |
| ISO 9613-2 |                   | LFT = Lw + Dc - Adiv - Aatm - Agr - Afol - Ahous - Abar - Cmet |     |         |           |      |     |           |       |      |               |      |
| Element    | Bezeichnung       | Lw   | Dc  | Abstand | Adiv      | Aatm | Agr | Afol      | Ahous | Abar | Cmet          | LFT  |
|            |                   | /dB(A)   | /dB |         | /dB       | /dB  | /dB | /dB       | /dB   | /dB  | /dB           | /dB  |
| FLQi004    | Montage/Demontage | 103.0  | 2.5 |         | 35.4      | 0.0  | 0.0 | 0.0       | 0.0   | 0.0  | 0.0           | 70.2 |

| IPKT       | IPKT: Bezeichnung | IPKT: x/m  |     |         | IPKT: y/m |      |     | IPKT: z/m |       |      | Lr(IP) /dB(A) |      |
|------------|-------------------|--|-----|---------|-----------|------|-----|-----------|-------|------|---------------|------|
| IPkt013    | GE                | 734582.0   |     |         | 5387800.0 |      |     | 435.0     |       |      | 65.0          |      |
| ISO 9613-2 |                   | LFT = Lw + Dc - Adiv - Aatm - Agr - Afol - Ahous - Abar - Cmet |     |         |           |      |     |           |       |      |               |      |
| Element    | Bezeichnung       | Lw   | Dc  | Abstand | Adiv      | Aatm | Agr | Afol      | Ahous | Abar | Cmet          | LFT  |
|            |                   | /dB(A)   | /dB |         | /dB       | /dB  | /dB | /dB       | /dB   | /dB  | /dB           | /dB  |
| FLQi004    | Montage/Demontage | 103.0  | 2.9 |         | 40.8      | 0.1  | 0.0 | 0.0       | 0.0   | 0.0  | 0.0           | 65.0 |

| IPKT       | IPKT: Bezeichnung | IPKT: x/m  |     |         | IPKT: y/m |      |     | IPKT: z/m |       |      | Lr(IP) /dB(A) |      |
|------------|-------------------|--|-----|---------|-----------|------|-----|-----------|-------|------|---------------|------|
| IPkt014    | MVMD              | 734600.0   |     |         | 5387800.0 |      |     | 435.0     |       |      | 60.1          |      |
| ISO 9613-2 |                   | LFT = Lw + Dc - Adiv - Aatm - Agr - Afol - Ahous - Abar - Cmet |     |         |           |      |     |           |       |      |               |      |
| Element    | Bezeichnung       | Lw   | Dc  | Abstand | Adiv      | Aatm | Agr | Afol      | Ahous | Abar | Cmet          | LFT  |
|            |                   | /dB(A)   | /dB |         | /dB       | /dB  | /dB | /dB       | /dB   | /dB  | /dB           | /dB  |
| FLQi004    | Montage/Demontage | 103.0  | 3.0 |         | 44.8      | 0.1  | 1.0 | 0.0       | 0.0   | 0.0  | 0.0           | 60.1 |

| IPKT       | IPKT: Bezeichnung | IPKT: x/m  |     |         | IPKT: y/m |      |     | IPKT: z/m |       |      | Lr(IP) /dB(A) |      |
|------------|-------------------|--|-----|---------|-----------|------|-----|-----------|-------|------|---------------|------|
| IPkt015    | WA                | 734625.0   |     |         | 5387800.0 |      |     | 435.0     |       |      | 54.9          |      |
| ISO 9613-2 |                   | LFT = Lw + Dc - Adiv - Aatm - Agr - Afol - Ahous - Abar - Cmet |     |         |           |      |     |           |       |      |               |      |
| Element    | Bezeichnung       | Lw   | Dc  | Abstand | Adiv      | Aatm | Agr | Afol      | Ahous | Abar | Cmet          | LFT  |
|            |                   | /dB(A)   | /dB |         | /dB       | /dB  | /dB | /dB       | /dB   | /dB  | /dB           | /dB  |
| FLQi004    | Montage/Demontage | 103.0  | 3.0 |         | 48.4      | 0.1  | 2.5 | 0.0       | 0.0   | 0.0  | 0.0           | 54.9 |

| IPKT       | IPKT: Bezeichnung | IPKT: x/m  |     |         | IPKT: y/m |      |     | IPKT: z/m |       |      | Lr(IP) /dB(A) |      |
|------------|-------------------|--|-----|---------|-----------|------|-----|-----------|-------|------|---------------|------|
| IPkt016    | WR                | 734665.0   |     |         | 5387800.0 |      |     | 435.0     |       |      | 50.2          |      |
| ISO 9613-2 |                   | LFT = Lw + Dc - Adiv - Aatm - Agr - Afol - Ahous - Abar - Cmet |     |         |           |      |     |           |       |      |               |      |
| Element    | Bezeichnung       | Lw   | Dc  | Abstand | Adiv      | Aatm | Agr | Afol      | Ahous | Abar | Cmet          | LFT  |
|            |                   | /dB(A)   | /dB |         | /dB       | /dB  | /dB | /dB       | /dB   | /dB  | /dB           | /dB  |
| FLQi004    | Montage/Demontage | 103.0  | 3.0 |         | 52.2      | 0.2  | 3.4 | 0.0       | 0.0   | 0.0  | 0.0           | 50.2 |

| IPKT       | IPKT: Bezeichnung | IPKT: x/m  |     |         | IPKT: y/m |      |     | IPKT: z/m |       |      | Lr(IP) /dB(A) |      |
|------------|-------------------|--|-----|---------|-----------|------|-----|-----------|-------|------|---------------|------|
| IPkt017    | SO                | 734740.0   |     |         | 5387800.0 |      |     | 435.0     |       |      | 45.1          |      |
| ISO 9613-2 |                   | LFT = Lw + Dc - Adiv - Aatm - Agr - Afol - Ahous - Abar - Cmet |     |         |           |      |     |           |       |      |               |      |
| Element    | Bezeichnung       | Lw   | Dc  | Abstand | Adiv      | Aatm | Agr | Afol      | Ahous | Abar | Cmet          | LFT  |
|            |                   | /dB(A)   | /dB |         | /dB       | /dB  | /dB | /dB       | /dB   | /dB  | /dB           | /dB  |
| FLQi004    | Montage/Demontage | 103.0  | 3.0 |         | 56.6      | 0.4  | 4.0 | 0.0       | 0.0   | 0.0  | 0.0           | 45.1 |



**Lange Liste - Elemente zusammengefasst**

|         |  |
|---------|--|
| Baulärm |  |
|---------|--|

| IPKT       | IPKT: Bezeichnung | IPKT: x /m   |      |         | IPKT: y /m |      |      | IPKT: z /m |       |      | Lr(IP) /dB(A) |       |
|------------|-------------------|--|------|---------|------------|------|------|------------|-------|------|---------------|-------|
| IPkt012    | GI                | 734610.00  |      |         | 5387800.41 |      |      | 435.841    |       |      | 69.60         |       |
| ISO 9613-2 |                   | LFT = Lw + Dc - Adiv - Aatm - Agr - Afol - Ahous - Abar - Cmet |      |         |            |      |      |            |       |      |               |       |
| Element    | Bezeichnung       | Lw   | Dc   | Abstand | Adiv       | Aatm | Agr  | Afol       | Ahous | Abar | Cmet          | LFT   |
|            |                   | /dB(A)   | /dB  |         | /dB        | /dB  | /dB  | /dB        | /dB   | /dB  | /dB           | /dB   |
| FLQi005    | Meißelbagger      | 115.00   | 2.97 |         | 46.43      | 0.11 | 1.79 | 0.00       | 0.00  | 0.00 | 0.00          | 69.60 |

| IPKT       | IPKT: Bezeichnung | IPKT: x /m   |      |         | IPKT: y /m |      |      | IPKT: z /m |       |      | Lr(IP) /dB(A) |       |
|------------|-------------------|--|------|---------|------------|------|------|------------|-------|------|---------------|-------|
| IPkt013    | GE                | 734640.69  |      |         | 5387800.00 |      |      | 435.841    |       |      | 64.72         |       |
| ISO 9613-2 |                   | LFT = Lw + Dc - Adiv - Aatm - Agr - Afol - Ahous - Abar - Cmet |      |         |            |      |      |            |       |      |               |       |
| Element    | Bezeichnung       | Lw   | Dc   | Abstand | Adiv       | Aatm | Agr  | Afol       | Ahous | Abar | Cmet          | LFT   |
|            |                   | /dB(A)   | /dB  |         | /dB        | /dB  | /dB  | /dB        | /dB   | /dB  | /dB           | /dB   |
| FLQi005    | Meißelbagger      | 115.00   | 2.99 |         | 50.11      | 0.17 | 2.99 | 0.00       | 0.00  | 0.00 | 0.00          | 64.72 |

| IPKT       | IPKT: Bezeichnung | IPKT: x /m   |      |         | IPKT: y /m |      |      | IPKT: z /m |       |      | Lr(IP) /dB(A) |       |
|------------|-------------------|--|------|---------|------------|------|------|------------|-------|------|---------------|-------|
| IPkt014    | MVMD              | 734689.50  |      |         | 5387799.17 |      |      | 435.841    |       |      | 60.17         |       |
| ISO 9613-2 |                   | LFT = Lw + Dc - Adiv - Aatm - Agr - Afol - Ahous - Abar - Cmet |      |         |            |      |      |            |       |      |               |       |
| Element    | Bezeichnung       | Lw   | Dc   | Abstand | Adiv       | Aatm | Agr  | Afol       | Ahous | Abar | Cmet          | LFT   |
|            |                   | /dB(A)   | /dB  |         | /dB        | /dB  | /dB  | /dB        | /dB   | /dB  | /dB           | /dB   |
| FLQi005    | Meißelbagger      | 115.00   | 3.00 |         | 53.87      | 0.27 | 3.70 | 0.00       | 0.00  | 0.00 | 0.00          | 60.17 |

| IPKT       | IPKT: Bezeichnung | IPKT: x /m   |      |         | IPKT: y /m |      |      | IPKT: z /m |       |      | Lr(IP) /dB(A) |       |
|------------|-------------------|--|------|---------|------------|------|------|------------|-------|------|---------------|-------|
| IPkt015    | WA                | 734780.00  |      |         | 5387800.00 |      |      | 435.841    |       |      | 55.18         |       |
| ISO 9613-2 |                   | LFT = Lw + Dc - Adiv - Aatm - Agr - Afol - Ahous - Abar - Cmet |      |         |            |      |      |            |       |      |               |       |
| Element    | Bezeichnung       | Lw   | Dc   | Abstand | Adiv       | Aatm | Agr  | Afol       | Ahous | Abar | Cmet          | LFT   |
|            |                   | /dB(A)   | /dB  |         | /dB        | /dB  | /dB  | /dB        | /dB   | /dB  | /dB           | /dB   |
| FLQi005    | Meißelbagger      | 115.00   | 3.01 |         | 58.22      | 0.44 | 4.16 | 0.00       | 0.00  | 0.00 | 0.00          | 55.18 |

| IPKT       | IPKT: Bezeichnung | IPKT: x /m   |      |         | IPKT: y /m |      |      | IPKT: z /m |       |      | Lr(IP) /dB(A) |       |
|------------|-------------------|--|------|---------|------------|------|------|------------|-------|------|---------------|-------|
| IPkt016    | WR                | 734928.00  |      |         | 5387800.00 |      |      | 435.841    |       |      | 50.32         |       |
| ISO 9613-2 |                   | LFT = Lw + Dc - Adiv - Aatm - Agr - Afol - Ahous - Abar - Cmet |      |         |            |      |      |            |       |      |               |       |
| Element    | Bezeichnung       | Lw   | Dc   | Abstand | Adiv       | Aatm | Agr  | Afol       | Ahous | Abar | Cmet          | LFT   |
|            |                   | /dB(A)   | /dB  |         | /dB        | /dB  | /dB  | /dB        | /dB   | /dB  | /dB           | /dB   |
| FLQi005    | Meißelbagger      | 115.00   | 3.01 |         | 62.54      | 0.73 | 4.42 | 0.00       | 0.00  | 0.00 | 0.00          | 50.32 |

| IPKT       | IPKT: Bezeichnung | IPKT: x /m   |      |         | IPKT: y /m |      |      | IPKT: z /m |       |      | Lr(IP) /dB(A) |       |
|------------|-------------------|--|------|---------|------------|------|------|------------|-------|------|---------------|-------|
| IPkt017    | SO                | 735200.59  |      |         | 5387800.41 |      |      | 435.841    |       |      | 44.91         |       |
| ISO 9613-2 |                   | LFT = Lw + Dc - Adiv - Aatm - Agr - Afol - Ahous - Abar - Cmet |      |         |            |      |      |            |       |      |               |       |
| Element    | Bezeichnung       | Lw   | Dc   | Abstand | Adiv       | Aatm | Agr  | Afol       | Ahous | Abar | Cmet          | LFT   |
|            |                   | /dB(A)   | /dB  |         | /dB        | /dB  | /dB  | /dB        | /dB   | /dB  | /dB           | /dB   |
| FLQi005    | Meißelbagger      | 115.00   | 3.01 |         | 67.26      | 1.25 | 4.59 | 0.00       | 0.00  | 0.00 | 0.00          | 44.91 |